









34

~~570.2~~  
~~B869~~

9

9644.7  
Smithy  
1

QL  
703  
525  
1874  
Lfg. 1-60  
Plates  
MAMM

Säugetiere  
''

# Erklärung von Tafel I.

**Osteologie.**



Fig.

1. Skelet des Löwen.

*a* Atlas. *c*<sup>23</sup> Epistropheus, abnorm verwachsen mit dem dritten Halswirbel. *c*<sup>4-7</sup> viert bis siebenter Halswirbel. *d*<sup>1-10</sup> Brustwirbel. *d* diaphragmatischer Wirbel. *l*<sup>1-9</sup> Lendenwirbel. *cd* Schwanzwirbel. *sc* Schulterblatt. *st* Brustbein. *h* Oberarm. *r* Speiche. *ob* Elle. *ep* Handwurzel. *mc* Mittelhand. *il* Darmbein. *p* Schambein. *isch* Sitzbein. *f* Oberschenkel. *tr* äusserer Schenkeldreher. *pat* Kniescheibe. *tib* Schienbein. *fb* Pfeifenbein. *tars* Fusswurzel. *calc* Fersenbein. *mt* Mittelfuss.

2. Schädel desselben Skelets von oben.

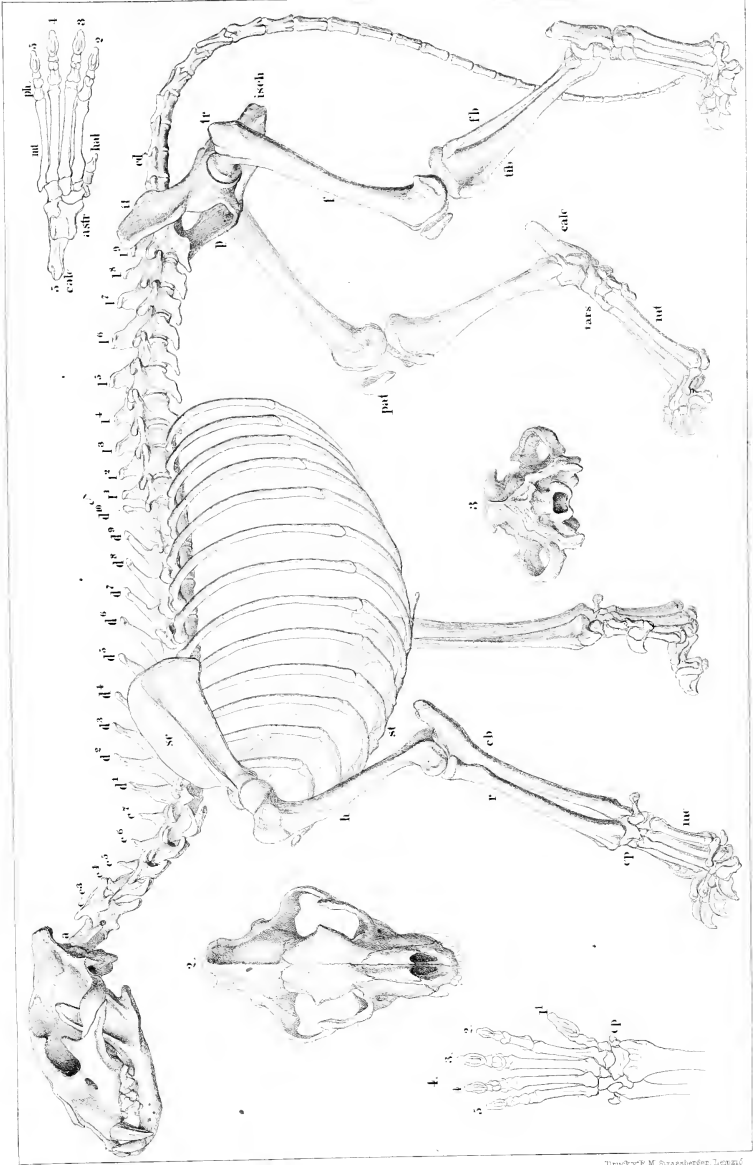
3. Derselbe von hinten.

4. Vorderfuss desselben Skelets. *ep* Handwurzel. 1 2 3 4 5 Finger.

5. Hinterfuss desselben. *calc* Fersenbein. *astr* Sprungbein. *mt* Mittelfuss. *hal* verkümmert Innenzehe. *ph* Zehenglieder. 2 3 4 5 vier Zehen.

Alle Zeichnungen sind Originale.







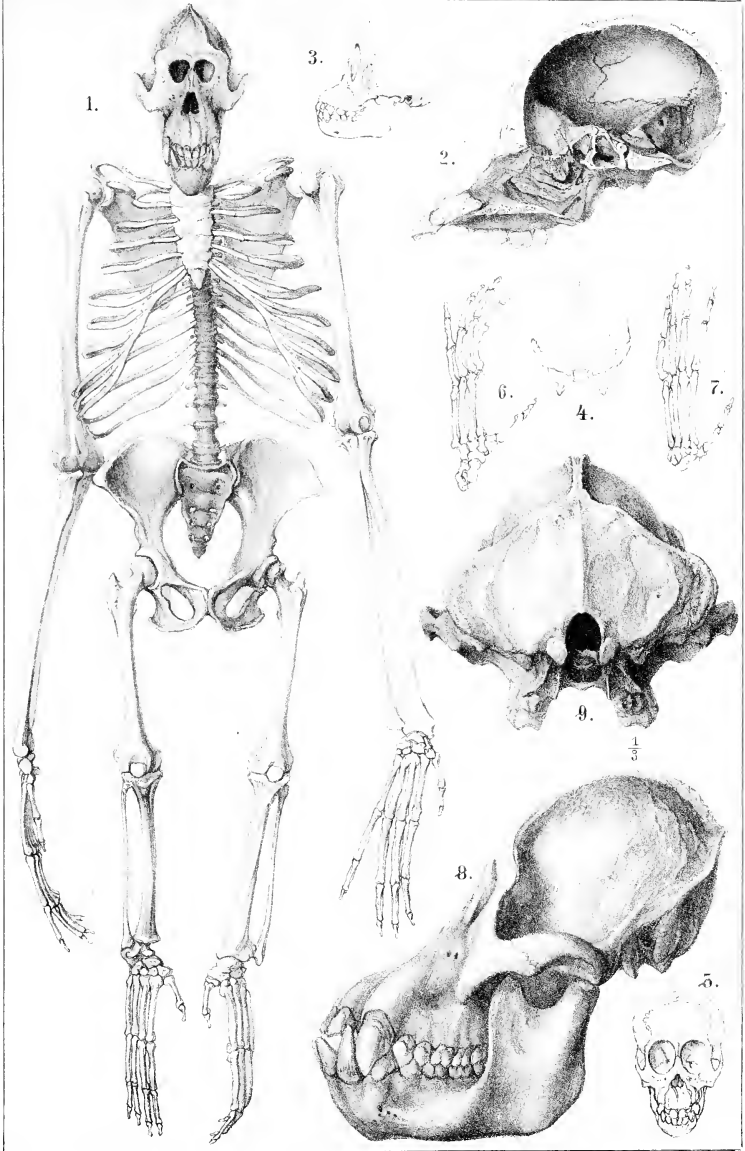
## Erklärung von Tafel II.

Osteologie.

---

Fig.

1. Skelet des Orang Utan nach Owen.
  2. Durchschnitt des Schädels eines jungen Orang Utan. Original.
  3. Seitliche, 4. hintere, 5. vordere Ansicht des Schädels eines jungen Orang Utan. Original.
  6. Fuss, 7. Hand des Orang Utan, nach Lucä.
  8. Seitliche, 9. hintere Ansicht des Schädels eines erwachsenen Orang Utan. Original
-





## Erklärung von Tafel III.

Osteologie.

---

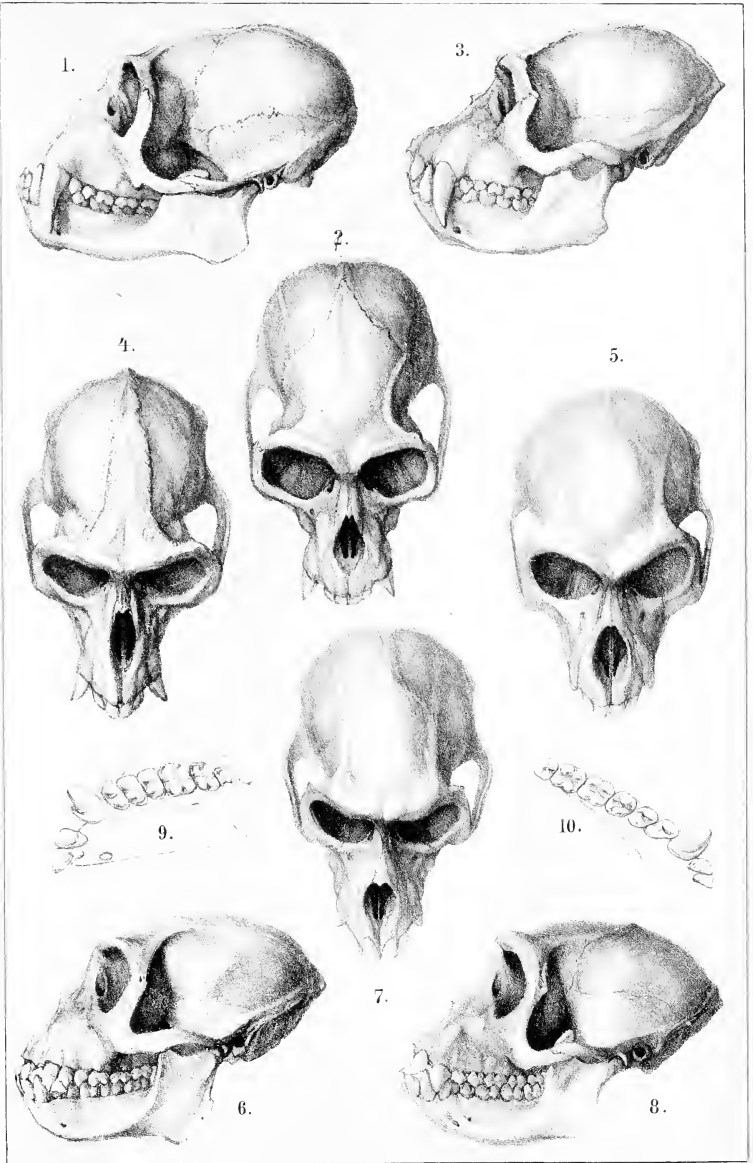
Fig.

1. Seitliche, 2. obere Ansicht des Schädels von *Hylobates syndactylus*.
3. Seitliche, 4. obere Ansicht des Schädels von *Colobus guereza*.
5. Obere, 6. seitliche Ansicht des Schädels von *Semnopithecus nasicus*.
7. Obere, 8. seitliche Ansicht des Schädels von *Inuus silenus*.
9. Obere, 10. untere Zahnreihe von *Cebus capucinus*.

Alle Zeichnungen sind Originale.

---







## Erklärung von Tafel IV.

Osteologie.

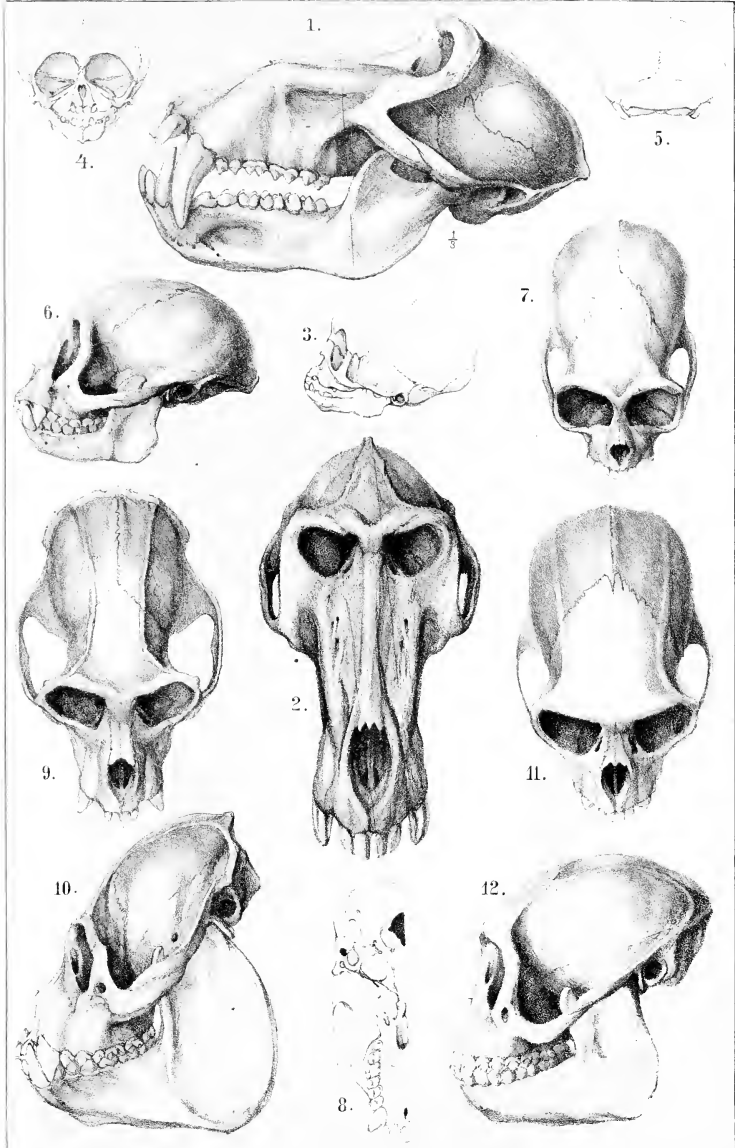
---

Fig.

1. Schädel von *Cynocephalus ursinus*, seitliche Ansicht. — 2. Obere Ansicht desselben.
3. Seitliche Ansicht des Schädels eines wenige Tage alten *Semnopithecus maurus*. — 4. vordere, 5. hintere Ansicht desselben.
6. Seitliche, 7. obere, 8. untere Ansicht des Schädels von *Cebus capucinus* (Seite 26: IV. 3.).
9. Obere, 10. seitliche Ansicht des Schädels von *Mycetes ursinus* (Seite 28: IV. 4.).
11. Obere, 12. seitliche Ansicht des Schädels von *Ateles arachnoideus*.

Alle Zeichnungen sind Originale.

---





## Erklärung von Tafel V.

**Osteologie.**

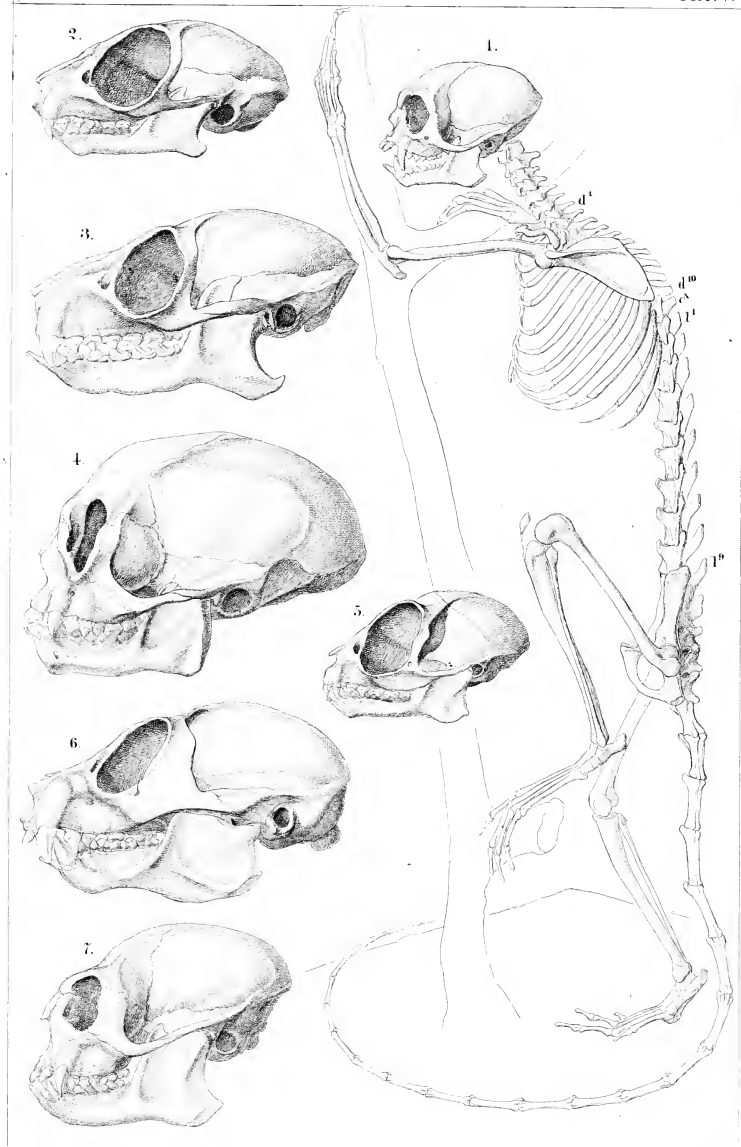
---

Fig.

1. Skelet von *Hapale oedipus*.  $d^1-d^{10}$  Brustwirbel.  $\delta$  diaphragmatischer Wirbel.  
 $l^1-l^9$  Lendenwirbel.
2. Schädel von *Otolienus galago*, Seitenansicht.
3. Schädel von *Lepidilemur ruficaudatus*, Seitenansicht.
4. Schädel von *Chrysothrix sciurea*, Seitenansicht.
5. Schädel von *Tarsius Fischeri*, Seitenansicht.
6. Schädel von *Stenops tardigradus*, Seitenansicht.
7. Schädel von *Hapale penicillata*, Seitenansicht.

Alle Zeichnungen sind Originale.







# Erklärung von Tafel VI.

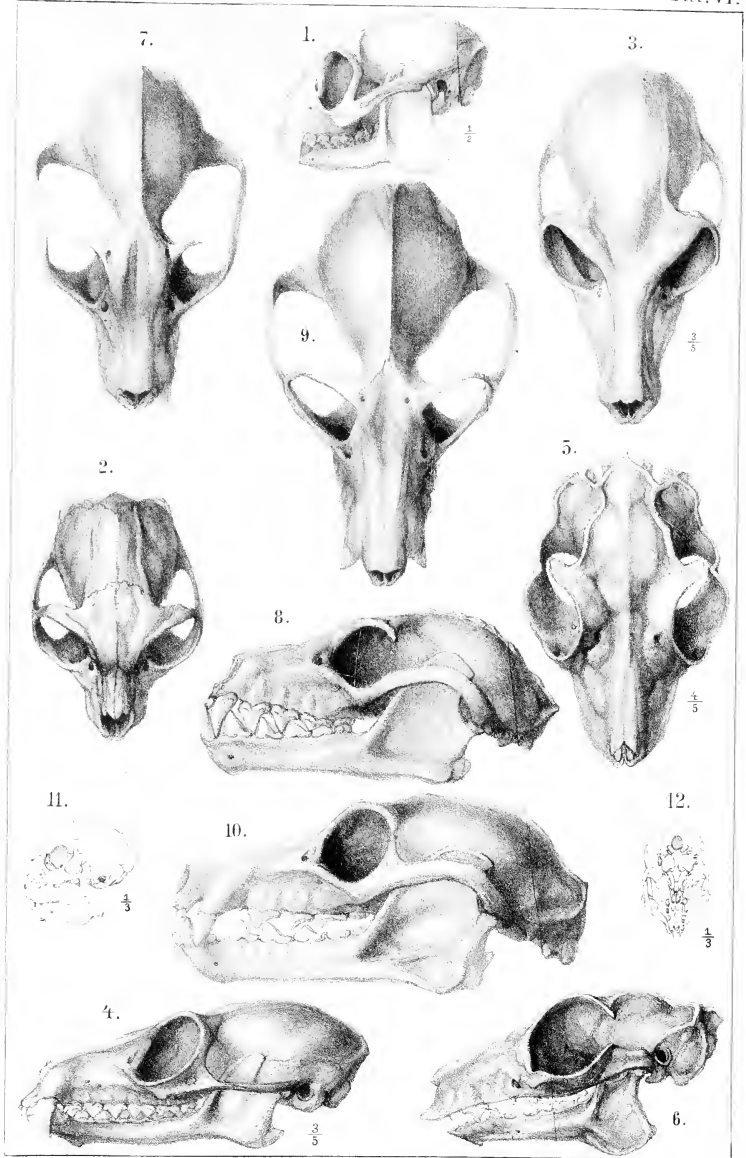
Osteologie.

---

Fig.

1. Seitliche, 2. obere Ansicht des Schädels von *Propithecus diadema*.
3. Obere, 4. seitliche Ansicht des Schädels von *Hypoderma Peroni*.
5. Obere, 6. seitliche Ansicht des Schädels von *Galeopithecus volans*.
7. Obere, 8. seitliche Ansicht des Schädels von *Pteropus Edwardsi*.
9. Obere, 10. seitliche Ansicht des Schädels von *Lemur macao* (Seite 50: Vl. 4).
11. Seitliche, 12. untere Ansicht des Schädels eines jungen *Chironmys* nach Peters.

Fig. 1 — 10. sind Originale.





## Erklärung von Tafel VII.

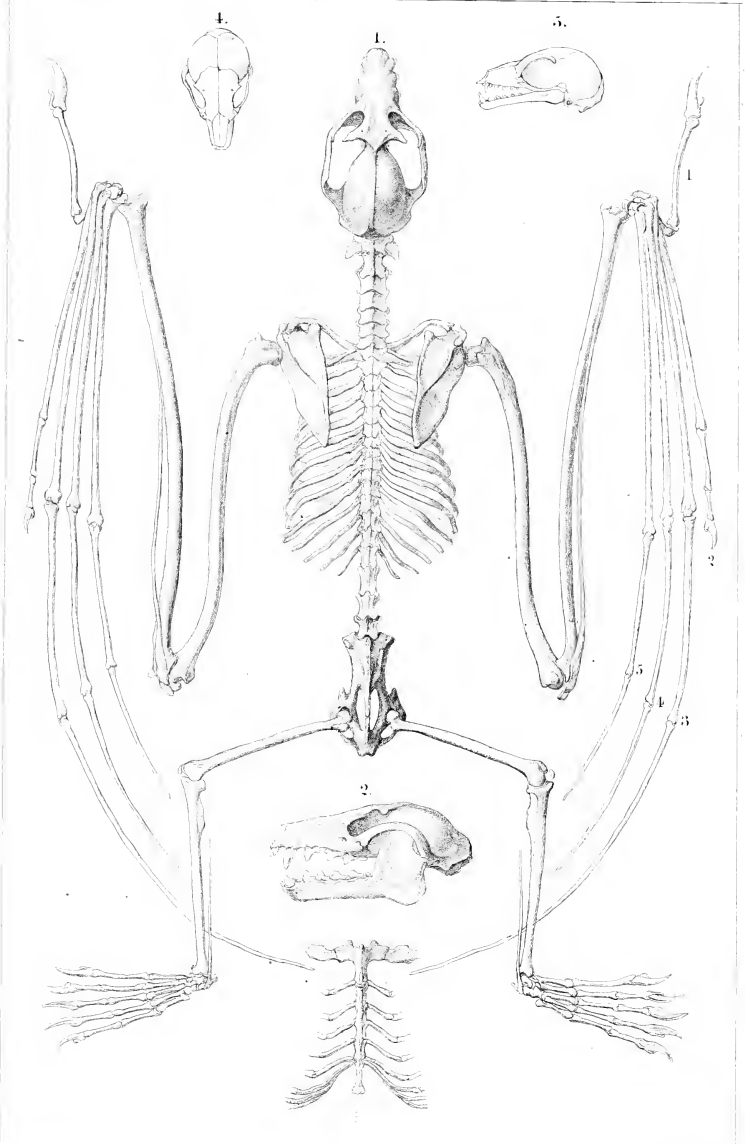
**Osteologie.**

---

Fig.

1. Skelet von *Pteropus jubatus* nach Blainville.
2. Schädel von *Pteropus jubatus*. Original.
3. Brustbein von *Pteropus jubatus* nach Blainville.
4. Obere, 5 untere Ansicht des Schädels von *Pteropus minimus* nach Temminck.







# Erklärung von Tafel VIII.

Osteologie.

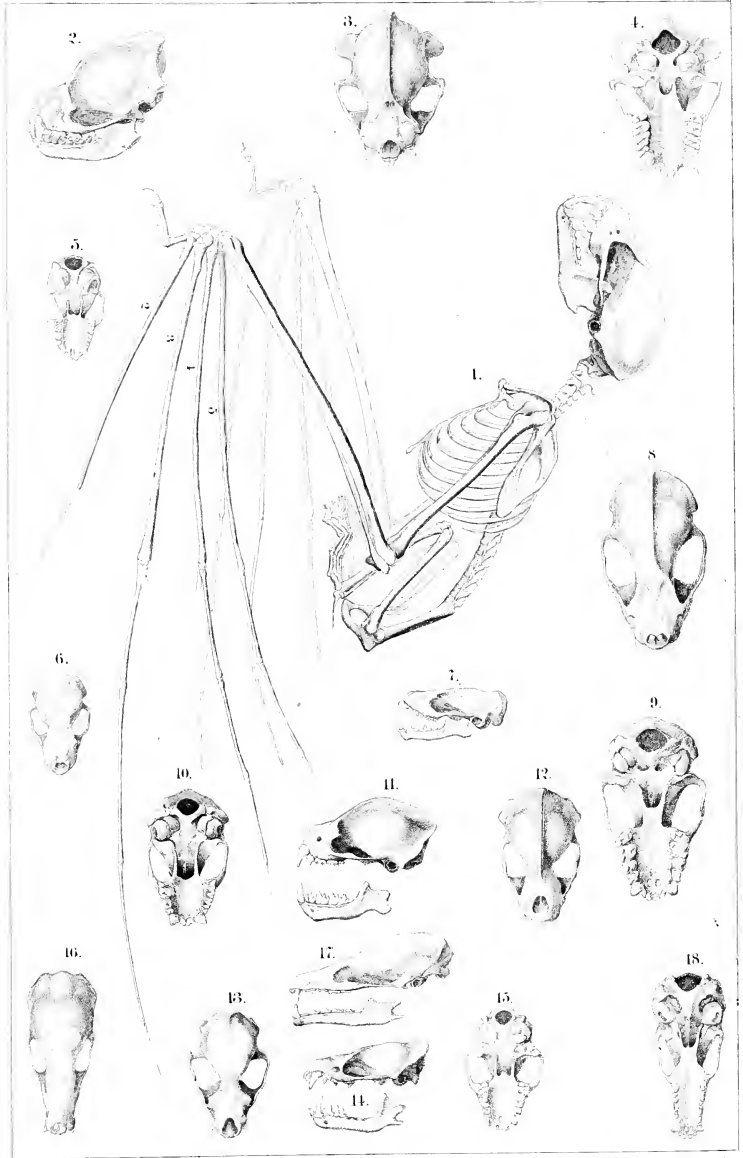
---

**Fig.**

1. Skelet von *Phyllostoma perspicillatum*.
2. Seitenansicht, 3 obere, 4 untere Ansicht des Schädels von *Noctilio leporinus*.
5. Untere, 6 obere, 7 seitliche Ansicht des Schädels von *Dysopes brasiliensis*.
8. Obere, 9 untere Ansicht des Schädels von *Phyllostoma perspicillatum*.
10. Untere, 11 seitliche, 12 obere Ansicht des Schädels von *Molossus ursinus* nach Peters.
13. Obere, 14 seitliche, 15 untere Ansicht des Schädels von *Vespertilio murinus*.
16. Obere, 17 seitliche, 18 untere Ansicht des Schädels von *Ischnoglossa nivalis* nach Peters.

Fig. 1—9 und 13—15 sind Original.

---





**Erklärung von Tafel IX.**

**Osteologie.**

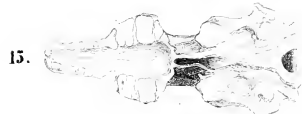
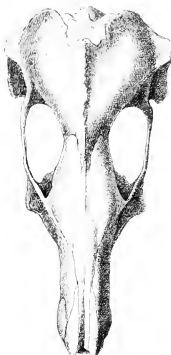
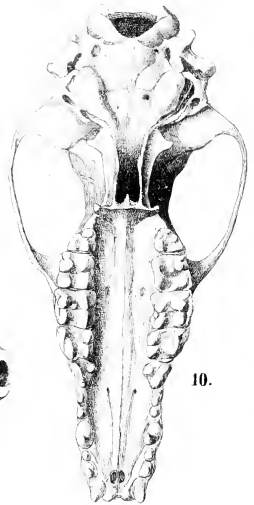
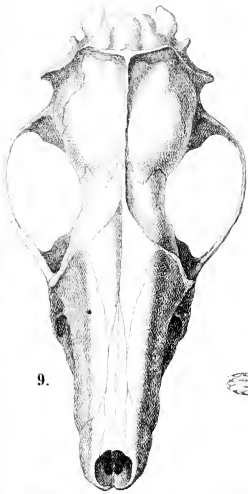
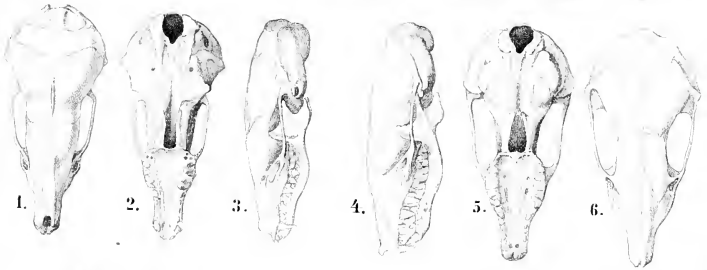
---

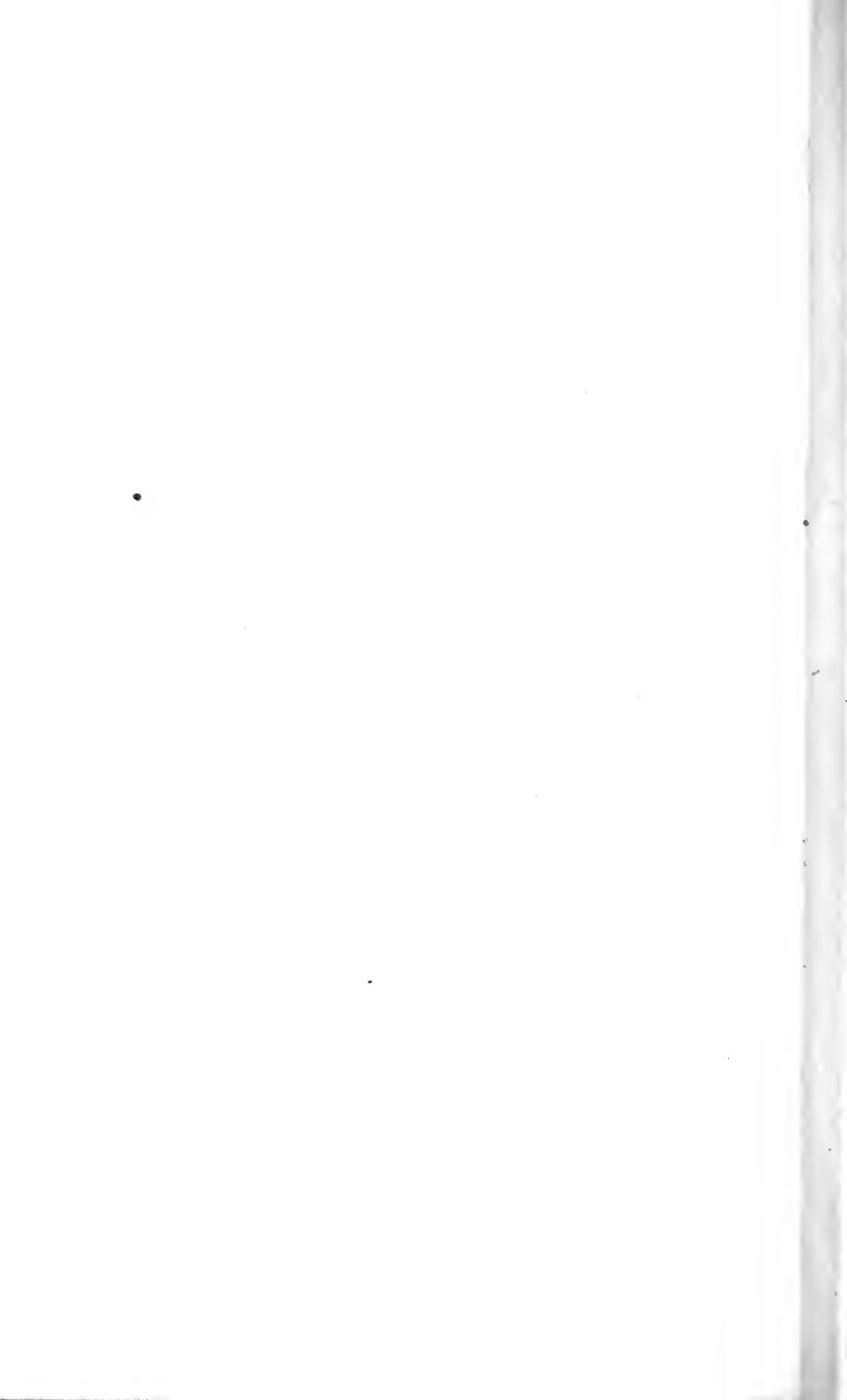
Fig.

1. Obere, 2 untere, 3 Seitenansicht des Schädels von *Talpa europaea*.
4. Seitliche, 5 untere, 6 obere Ansicht des Schädels von *Scalops aquaticus*.
7. Obere, 8 untere Ansicht des Schädels von *Sorex araneus*.
9. Obere, 10 untere Ansicht des Schädels von *Gymnura*.
11. Seitliche, 12 obere Ansicht des Schädels von *Myogale mosehata*.
13. Seitliche, 14 obere, 15 untere Ansicht von *Sorex indicus*.

Alle Zeichnungen sind Originale.







## **Erklärung von Tafel X.**

**Osteologie.**

---

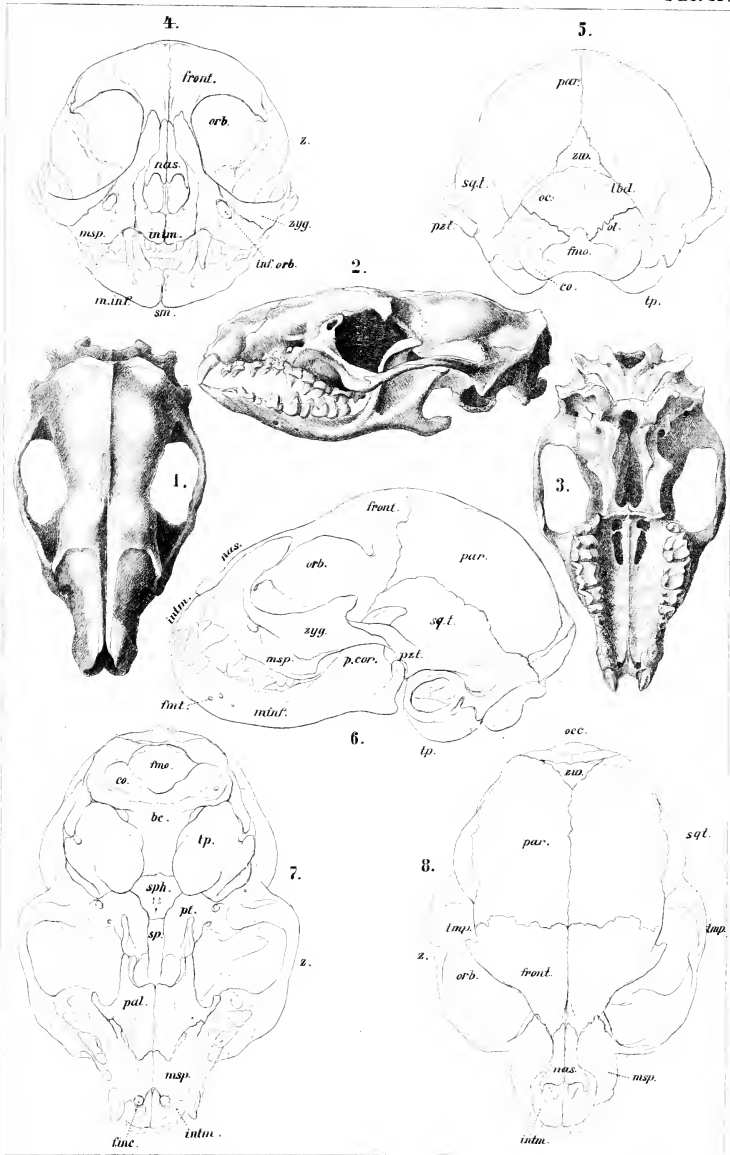
*sm.* sutura mentalis. — *minf.* maxilla inferior. — *intm.* intermaxillare. — *nsp.* maxilla superior. — *inf. orb.* Foramen infraorbitale. — *nas.* Ossa nasalia. — *zyg.* os zygomaticum. — *z.* processus zygomaticus. — *orb.* Orbita. — *front.* Ossa frontalia. — *par.* Ossa parietalia. — *zw.* Os interparietale. — *sgt.* Squama temporalis. — *lbd.* Crista lambdoialis. — *co.* Condylus occipitalis. — *fmo.* Foramen magnum occipitale. — *ol.* Ossa occipitalia lateralia. — *ocsp.* Os occipitale superius. — *tp.* Tympanum. — *fml.* Foramen mentale. — *pcor.* Processus coronoideus. — *bc.* Basis cranii. — *sph.* Os sphenoidcum posterius. — *sp.* Os sphenoidcum anterius. — *pal.* Ossa palatina. — *pt.* Ossa pterygoidea. — *finc.* Foramina incisiva. — *z.* Zygoma.

Fig.

1. Obere, 2 seitliche, 3 untere Ansicht des Schädels von *Erinaceus europaeus*.

4—8. Schädel einer jungen Katze: 4 vordere, 5 hintere, 6 seitliche, 7 untere, 8 obere Ansicht.

Alle Zeichnungen sind Originale.





**Erklärung von Tafel XI.**

**Osteologie.**

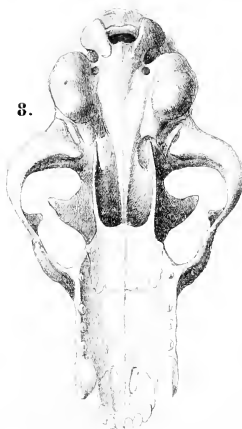
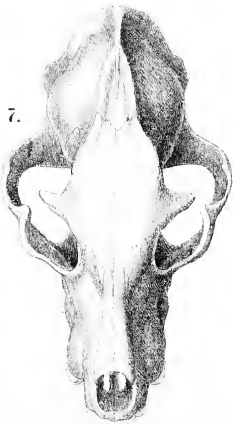
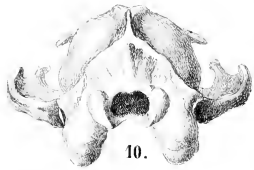
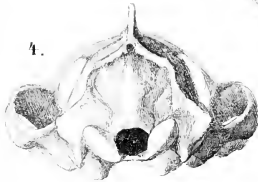
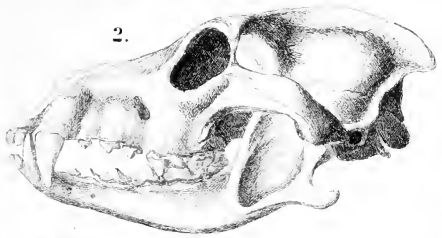
---

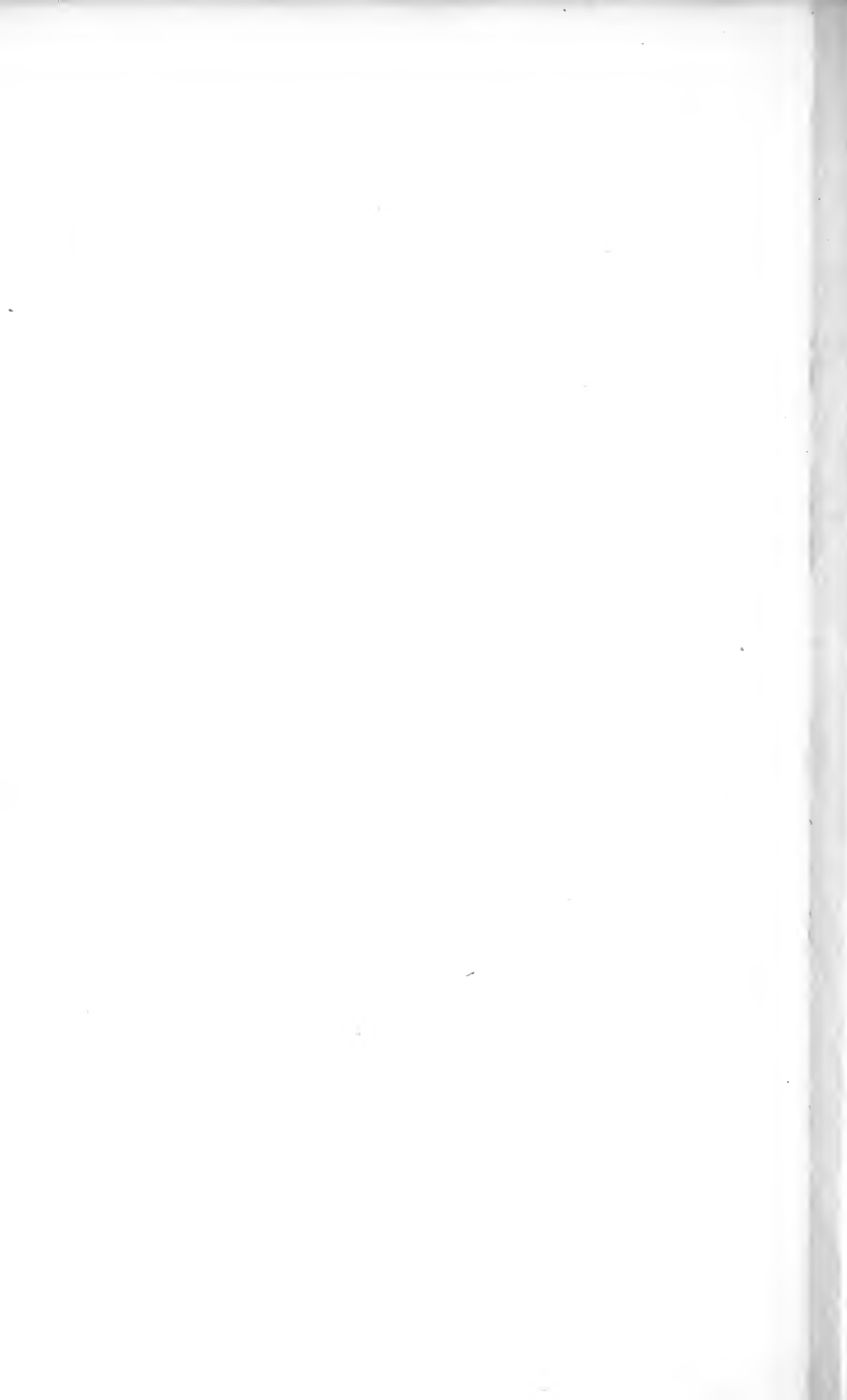
Fig.

1. Obere, 2 seitliche, 3 untere, 4 hintere Ansicht des Schädels von *Canis lupus*.
5. Untere Ansicht des Schädels von *Otoeyon caffer*. — 6 Unterkiefer desselben.
7. Obere, 8 untere, 9 seitliche, 10 hintere Ansicht des Schädels von *Proteles Lalandi*.

Alle Zeichnungen sind Originale.







## Erklärung von Tafel XII.

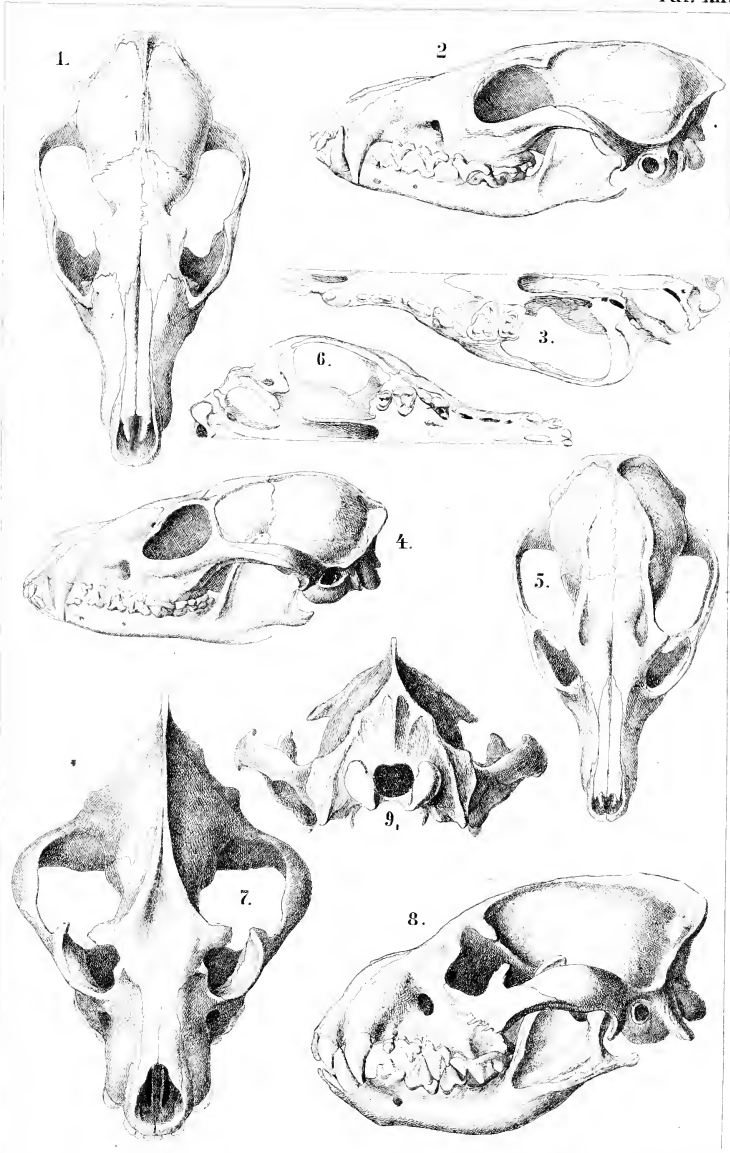
Osteologie.

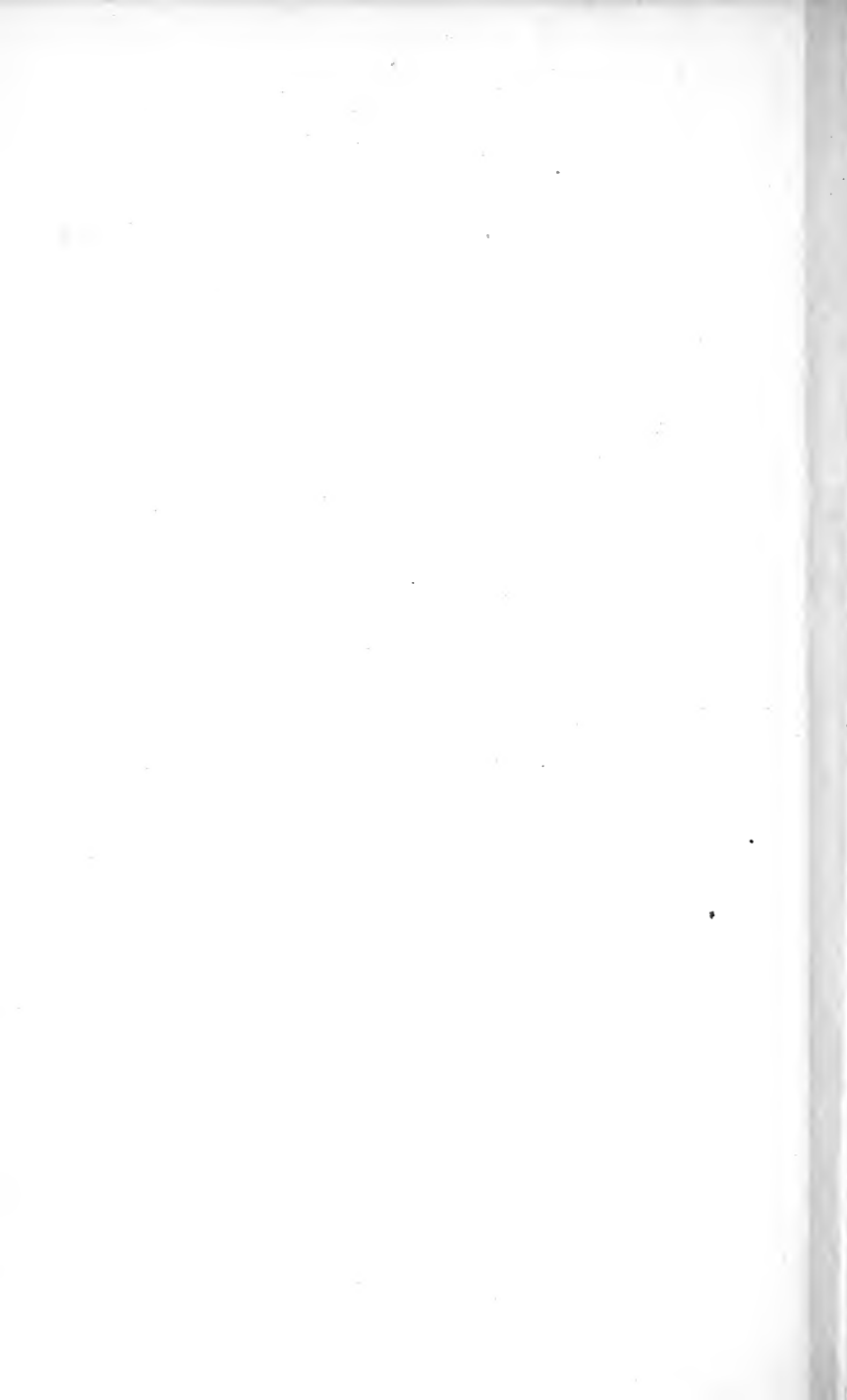
---

Fig.

1. Obere, 2 seitliche, 3 untere Ansicht des Schädels von *Canis vulpes*.
4. Seitliche, 5 obere, 6 untere Ansicht von *Canis cinereoargenteus*.
7. Obere, 8 untere, 9 hintere Ansicht von *Hyaena crocuta*.

Alle Zeichnungen sind Originale.





**Erklärung von Tafel XIII.**

**Osteologie.**

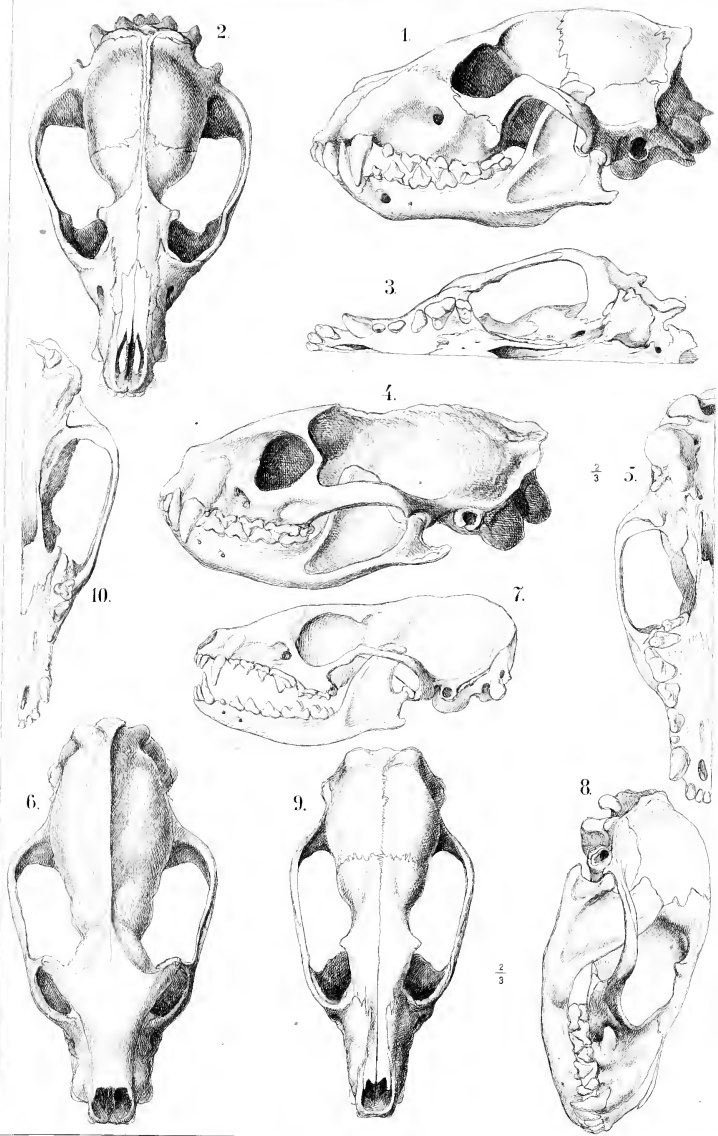
Fig.

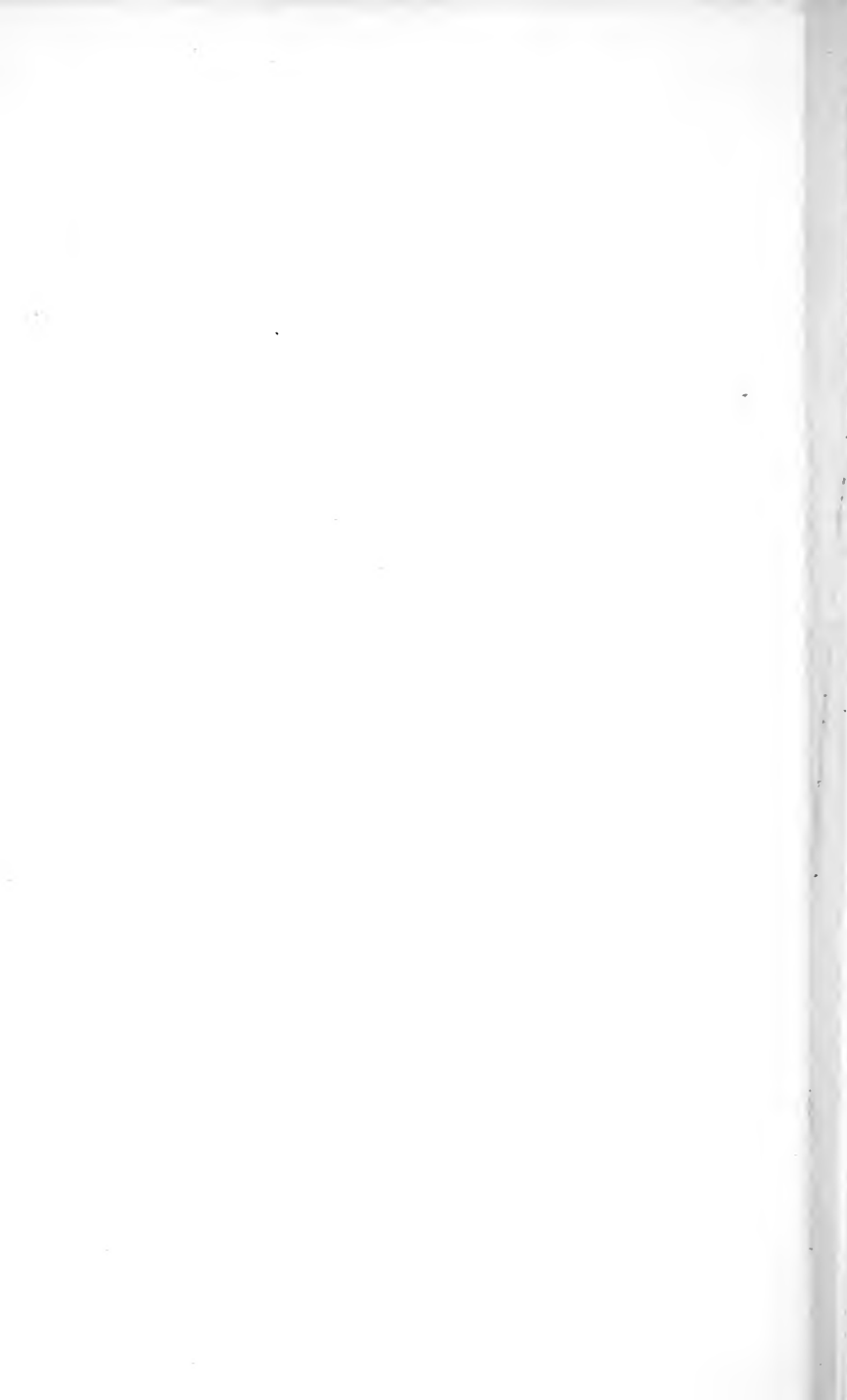
1. Seitliche, 2. obere, 3. untere Ansicht des Schädels von *Icticyon venaticus*.
4. Seitliche, 5. untere, 6. obere Ansicht des Schädels von *Herpestes paludosus*.
7. Seitliche Ansicht des Schädels von *Bassaris astuta*.
8. Seitliche, 9. obere, 10. untere Ansicht des Schädels von *Paradoxurus typus*.

Alle Zeichnungen sind Originale.

---







## **Erklärung von Tafel XIV.**

**Osteologie.**

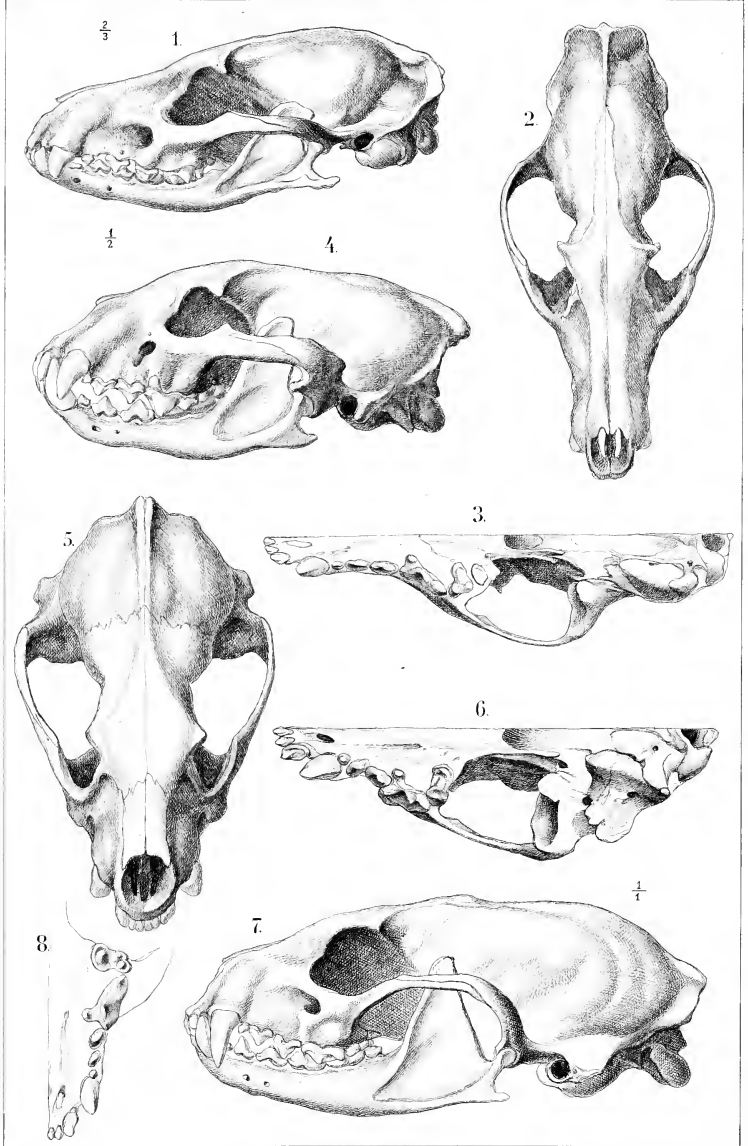
---

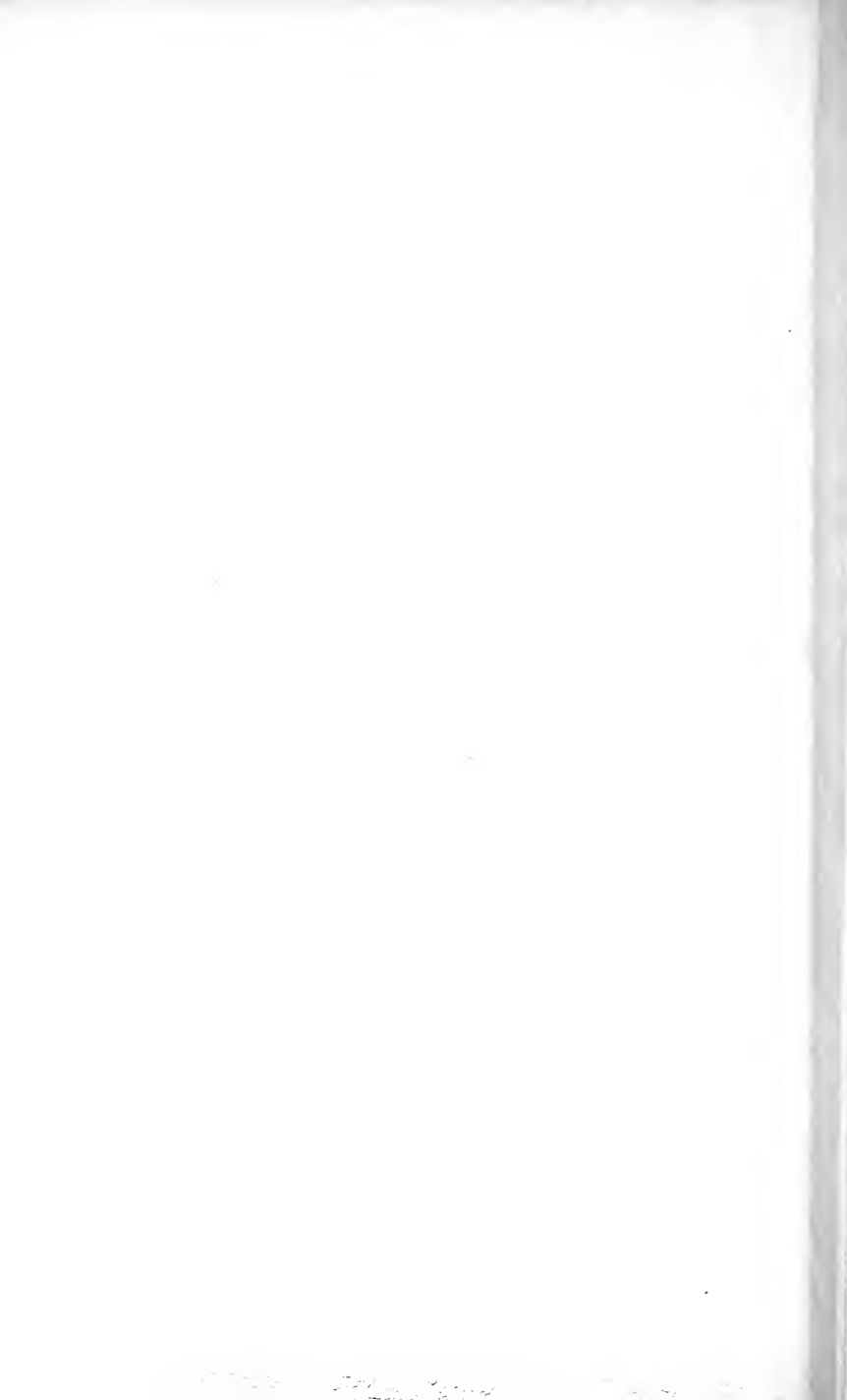
Fig.

1. Seitliche, 2. obere, 3. untere Ansicht des Schädels von *Viverra zibetha*.
4. Seitliche, 5. obere, 6. untere Ansicht des Schädels von *Gulo borealis*.
7. Seitliche Ansicht des Schädels von *Mustela foina*, 8. obere Zahnreihe desselben.

Alle Zeichnungen sind Originale.

---





**Erklärung von Tafel XV.**

**Osteologie.**

---

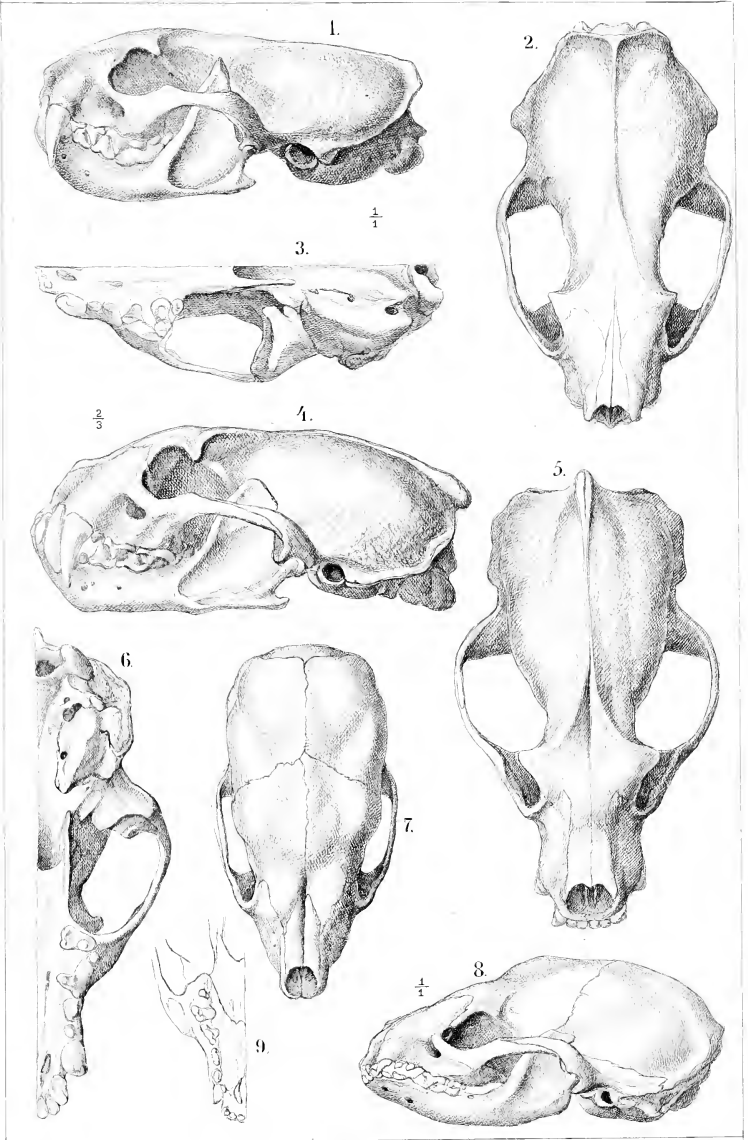
Fig.

1. Seitliche, 2. obere, 3. untere Ansicht des Schädels von *Putorius typus*.
4. Seitliche, 5. obere, 6. untere Ansicht des Schädels von *Galicteis barbara*.
7. Obere, 8. seitliche, 9. untere Ansicht des Schädels von *Melictis orientalis*.

Alle Zeichnungen sind Originale.

---







**Erklärung von Tafel XVI.**

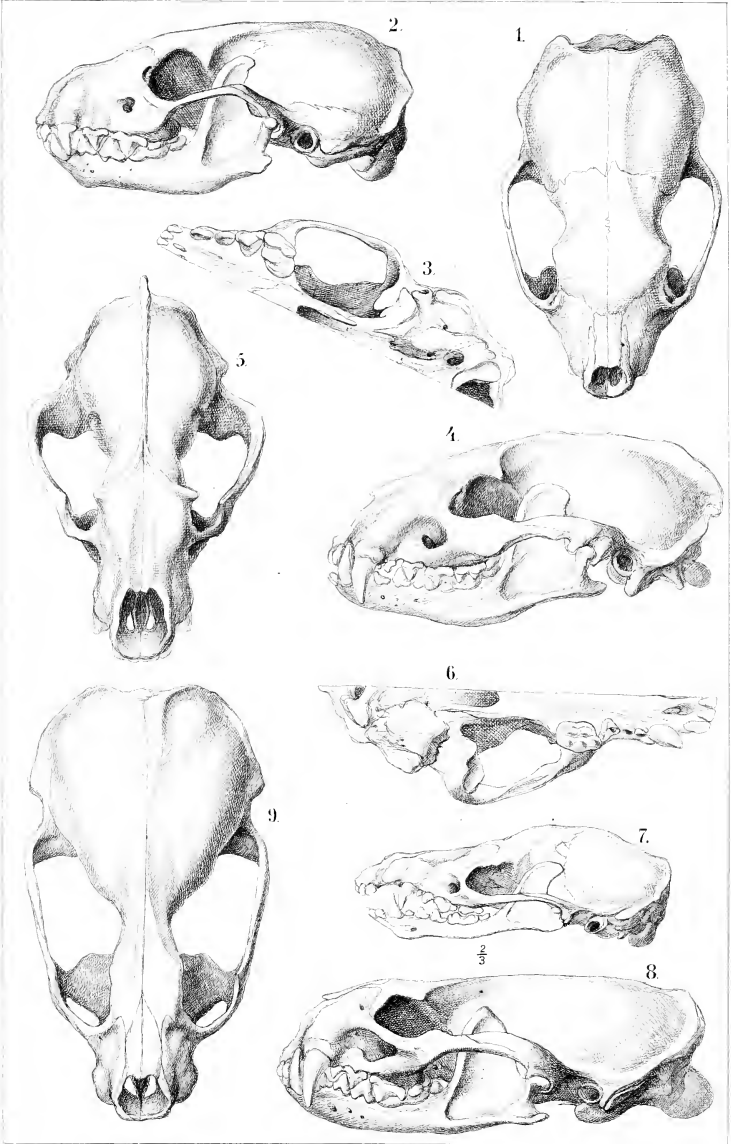
**Osteologie.**

---

Fig.

1. Obere, 2. seitliche, 3. untere Ansicht des Schädels von *Mephitis suffocans*.
4. Seitliche, 5. obere, 6. untere Ansicht des Schädels von *Meles taxus*.
7. Seitliche Ansicht des Schädels von *Mydaus meliceps*.
8. Seitliche, 9. obere Ansicht des Schädels von *Lutra vulgaris*.

Alle Zeichnungen sind Originale.





## **Erklärung von Tafel XVII.**

**Osteologie.**

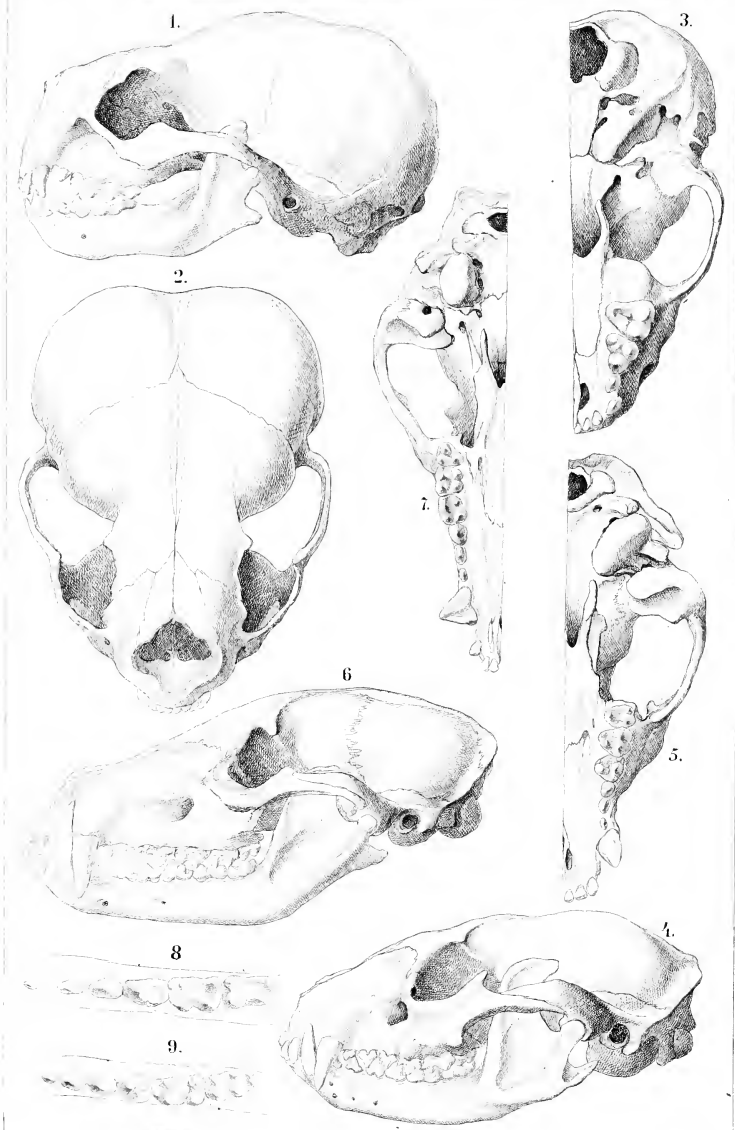
---

Fig.

1. Seitliche, 2. obere, 3. untere Ansicht des Schädels von *Enhydris marina* nach Lichtenstein.
4. Seitliche, 5. untere Ansicht des Schädels von *Procyon lotor*.
6. Seitliche, 7. untere Ansicht des Schädels von *Nasua solitaria*.
8. Untere linke Backzahnreihe von *Nasua solitaria*.
9. Dieselbe von *Procyon lotor*.

Figur 4—9 sind Originale.







# Erklärung von Tafel XVIII.

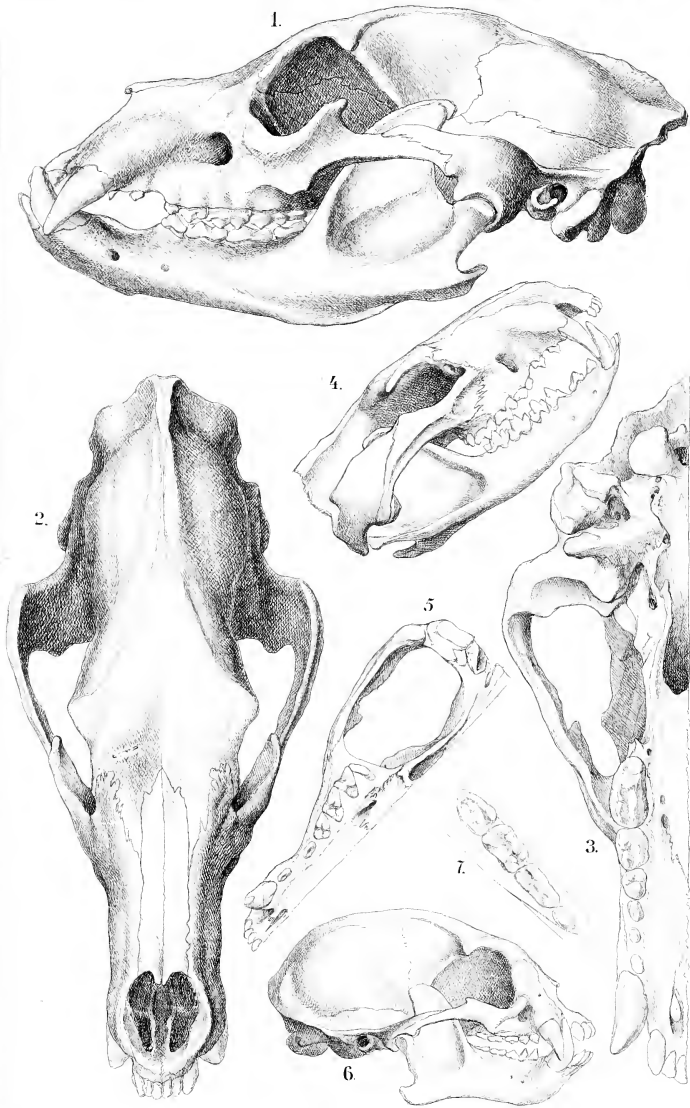
Osteologie.

---

Fig.

1. Seitliche, 2. obere, 3. untere Ansicht des Schädels von *Ursus arctos*.
4. Seitliche, 5. untere Ansicht des Schädels von *Dasyurus ursinus*.
6. Seitliche Ansicht des Schädels von *Cercoleptes caudivolvulus*.
7. Untere Backzähne von *Ursus arctos*.

Alle Zeichnungen sind Originale.





**Erklärung von Tafel XIX.**

**Osteologie.**

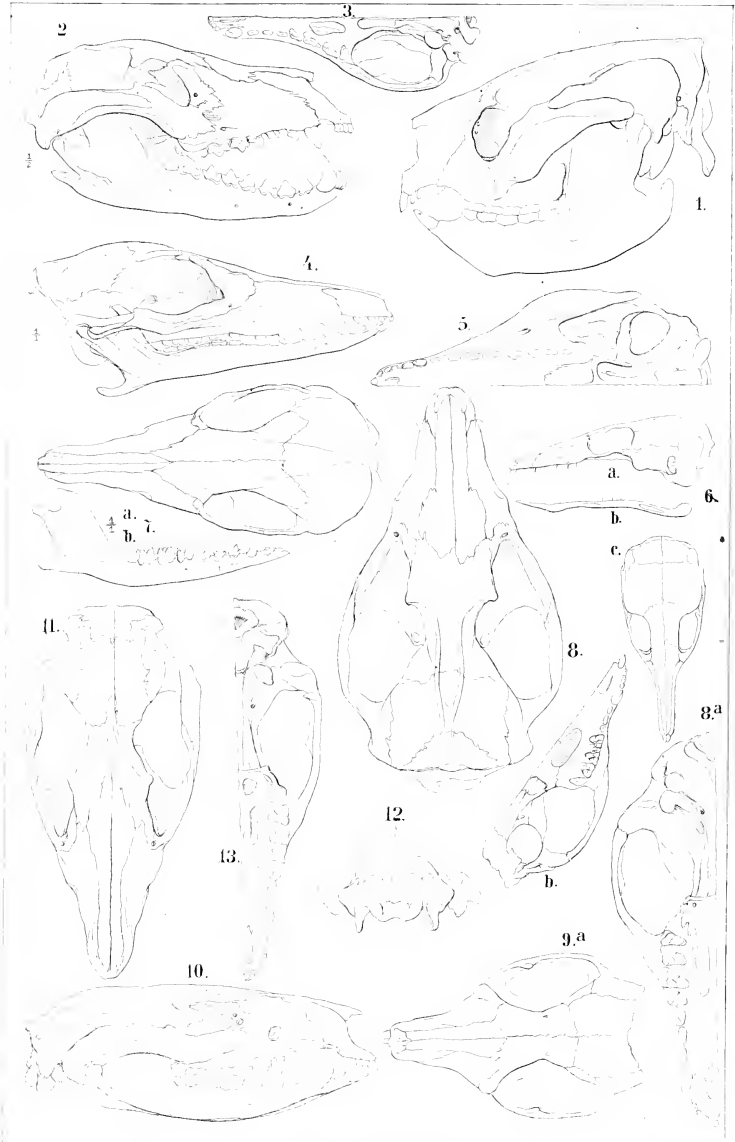
---

Fig.

1. Seitliche Ansicht des Schädels von *Phaseolaretos cinereus*.
2. Seitliche, 3. untere Ansicht des Schädels von *Thylacinus cynocephalus* nach Temminck und Waterhouse.
4. Seitliche, 5. untere Ansicht des Schädels von *Myrmecobius fasciatus*.
6. Schädel von *Tarsipes Speneeri*, a. seitliche, c. obere Ansicht, b. Unterkiefer, nach Waterhouse.
- 7<sup>a</sup>. Obere Ansicht des Schädels von *Perameles obesula*, 7<sup>b</sup>. Unterkiefer desselben nach Waterhouse.
8. Obere, 8<sup>a</sup>. untere Ansicht des Schädels von *Chironectes minimus*.
- 9<sup>a</sup>. Obere, 9<sup>b</sup>. untere Ansicht des Schädels von *Phasecolagale penicillata* nach Temminck.
10. Seitliche, 11. obere, 12. hintere, 13. untere Ansicht des Schädels von *Didelphys aurita*.

Figur 1. 4. 5. 8. 9—13. sind Originale.







# Erklärung von Tafel XX.

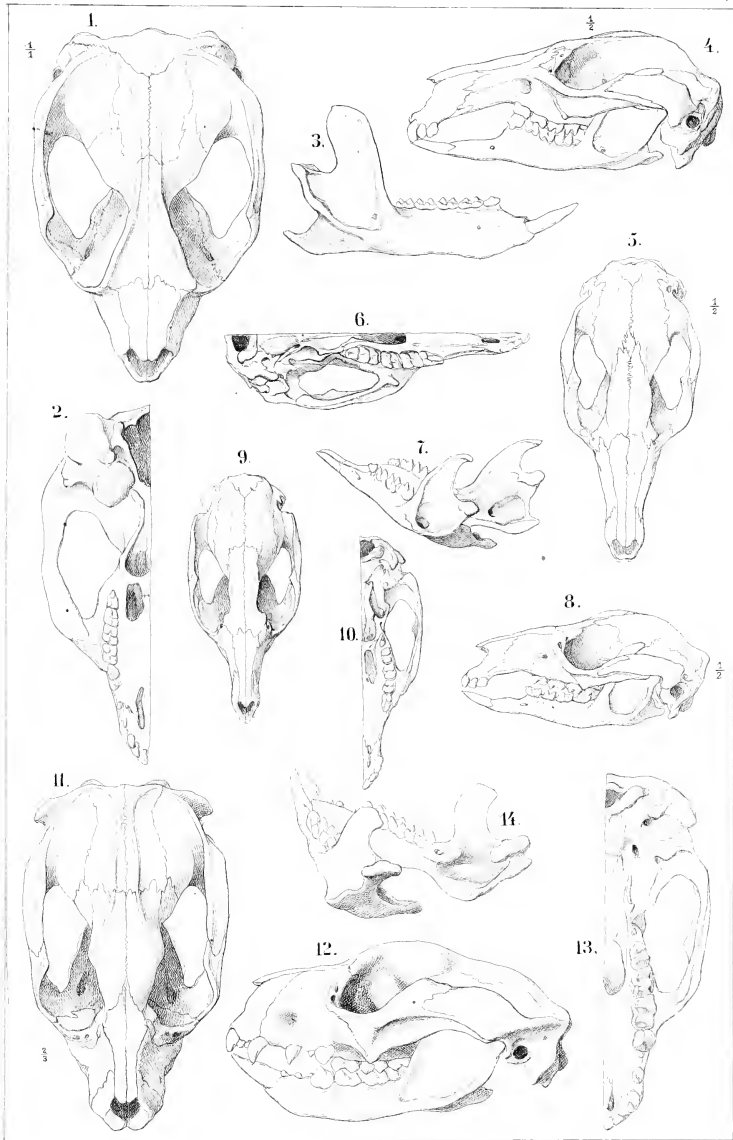
Osteologie.

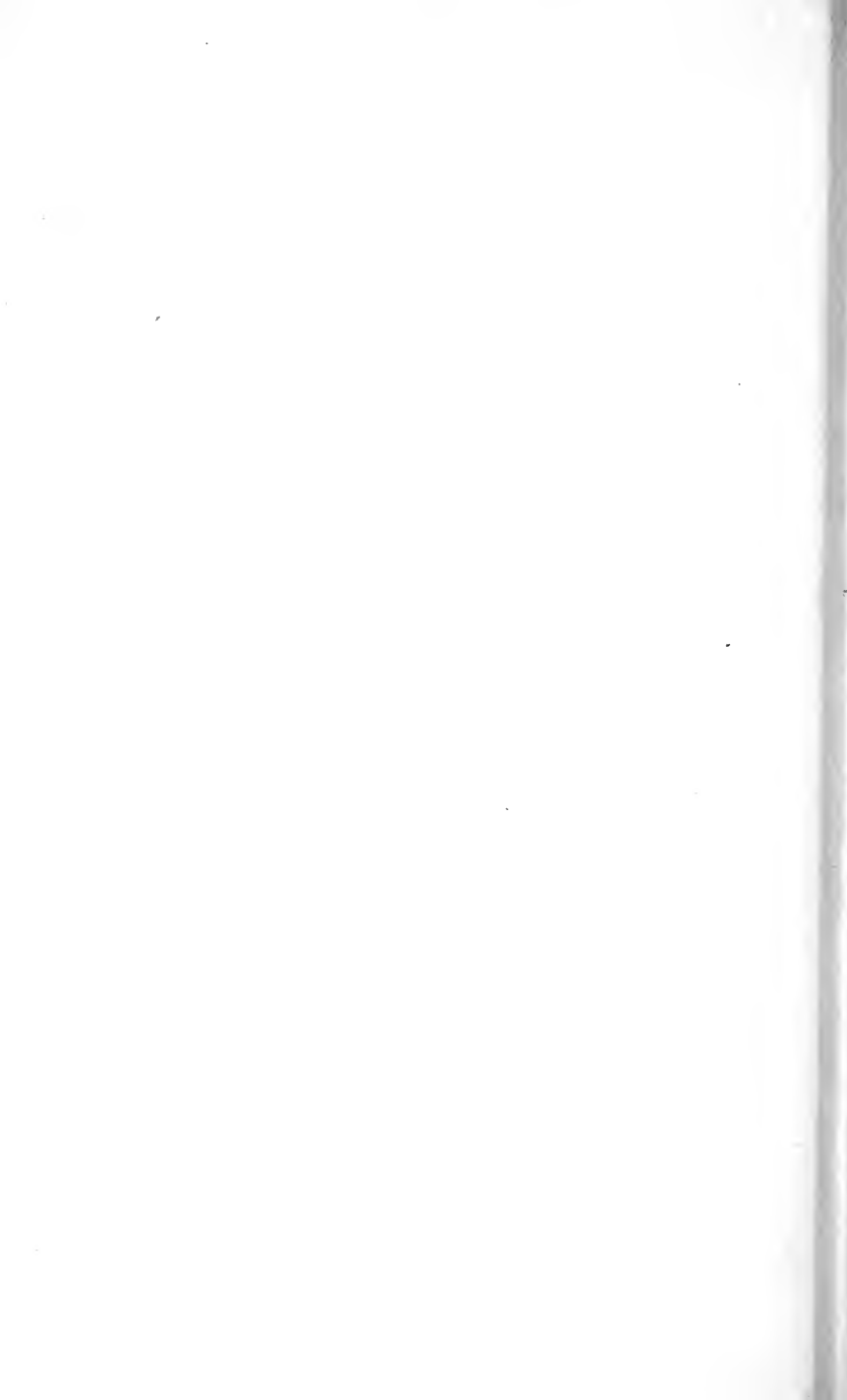
---

Fig.

1. Obere, 2. untere Ansicht des Schädels und 3. Unterkiefer von *Petaurus australis*.
4. Seitliche, 5. obere, 6. untere Ansicht des Schädels und 7. Unterkiefer von *Phalangista xanthopygus*.
8. Seitliche, 9. obere, 10. untere Ansicht des Schädels von *Dorcopsis Brunni*.
11. Obere, 12. seitliche, 13. untere Ansicht des Schädels und 14. Unterkiefer von *Phalangista maculata*.

Alle Zeichnungen sind Originale.





# Erklärung von Tafel XXI.

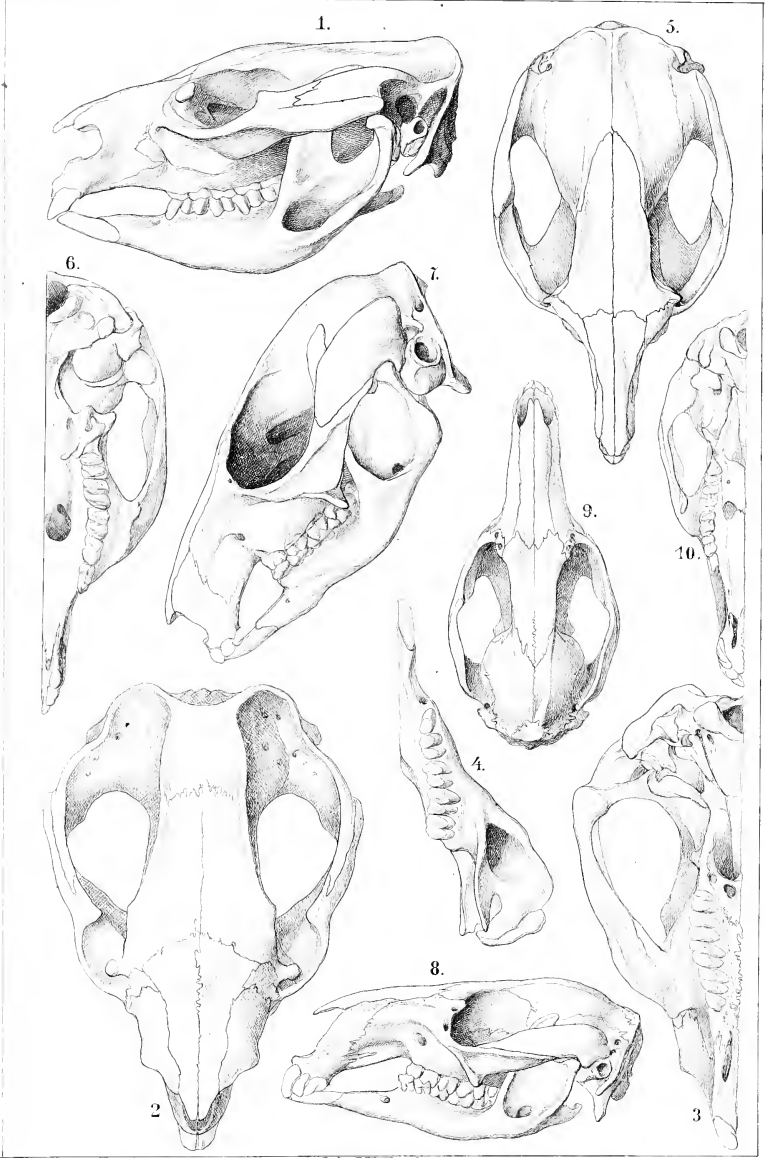
Osteologie.

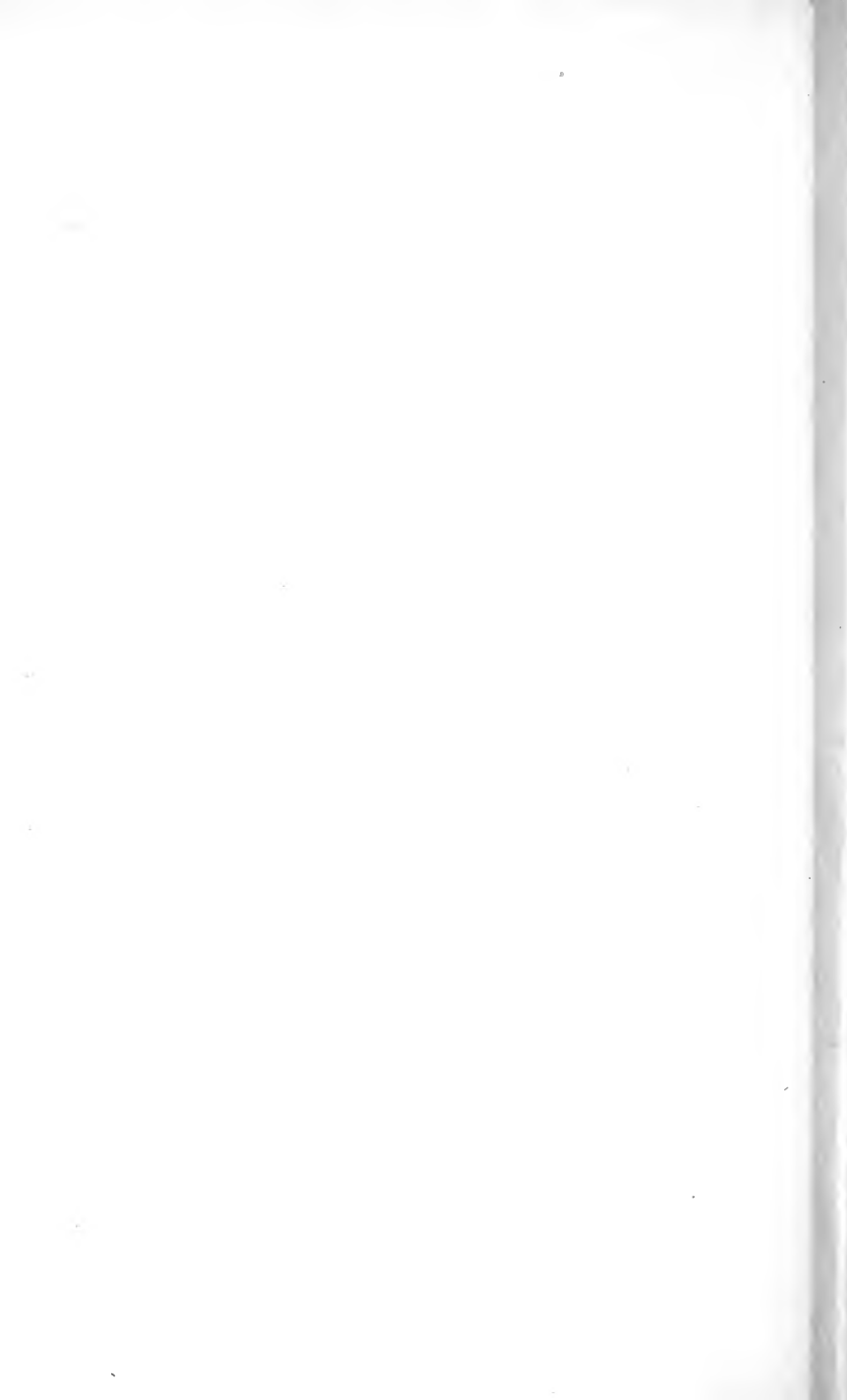
Fig.

1. Seitliche, 2. obere, 3. untere Ansicht des Schädels von *Phascolomys fossor*.
4. Unterkiefer desselben Schädels von oben.
5. Obere, 6. untere, 7. seitliche Ansicht des Schädels von *Lagorchestes albigulus*.
8. Seitliche, 9. obere, 10. untere Ansicht des Schädels von *Halmaturus Bennetti*.

Alle Zeichnungen sind Originale.







**Erklärung von Tafel XXII.**

**Osteologie.**

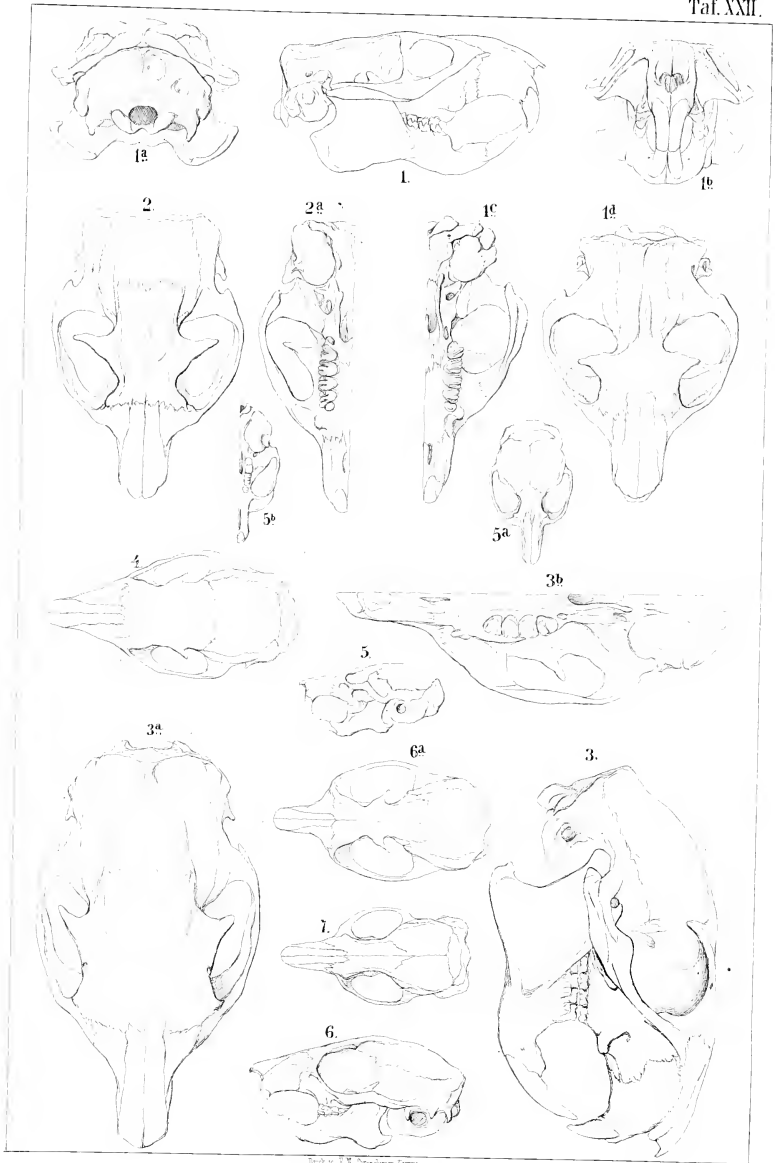
---

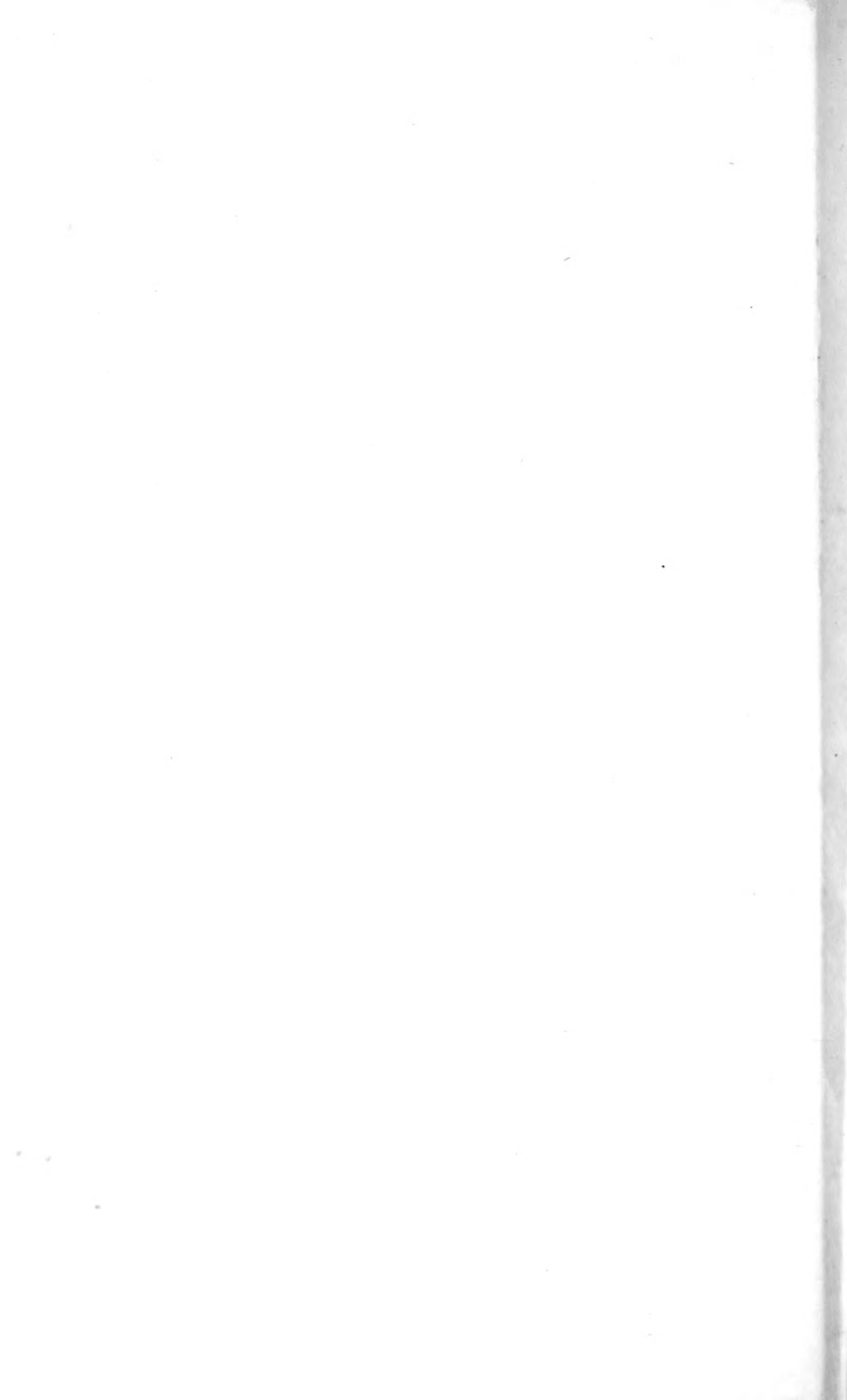
Fig.

1. Seitliche, 1<sup>a</sup>. hintere, 1<sup>b</sup>. vordere, 1<sup>c</sup>. untere, 1<sup>d</sup>. obere Ansicht des Schädels von *Arctomys monax*.
2. Obere, 2<sup>a</sup>. untere Ansicht des Schädels von *Pteromys elegans*.
3. Seitliche, 3<sup>a</sup>. obere, 3<sup>b</sup>. untere Ansicht des Schädels von *Sciurus ludovicianus*.
4. Obere Ansicht des Schädels von *Tamias Lysteri*.
5. Seitliche, 5<sup>a</sup>. obere, 5<sup>b</sup>. untere Ansicht des Schädels von *Muscardinus avellanarius*.
6. Seitliche, 6<sup>a</sup>. obere Ansicht des Schädels von *Spermophilus Hoodi*.
7. Obere Ansicht des Schädels von *Myoxus nitela*.

Alle Zeichnungen sind Originale.

---





**Erklärung von Tafel XXIII.**

**Osteologie.**

---

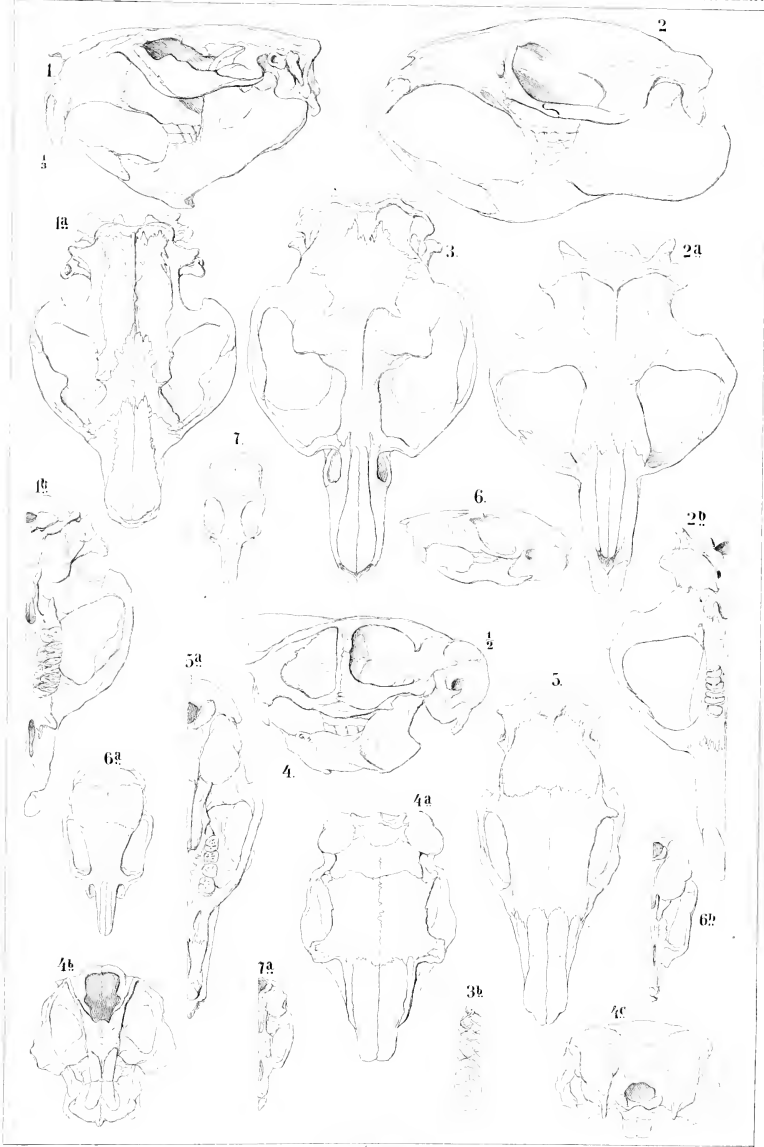
Fig.

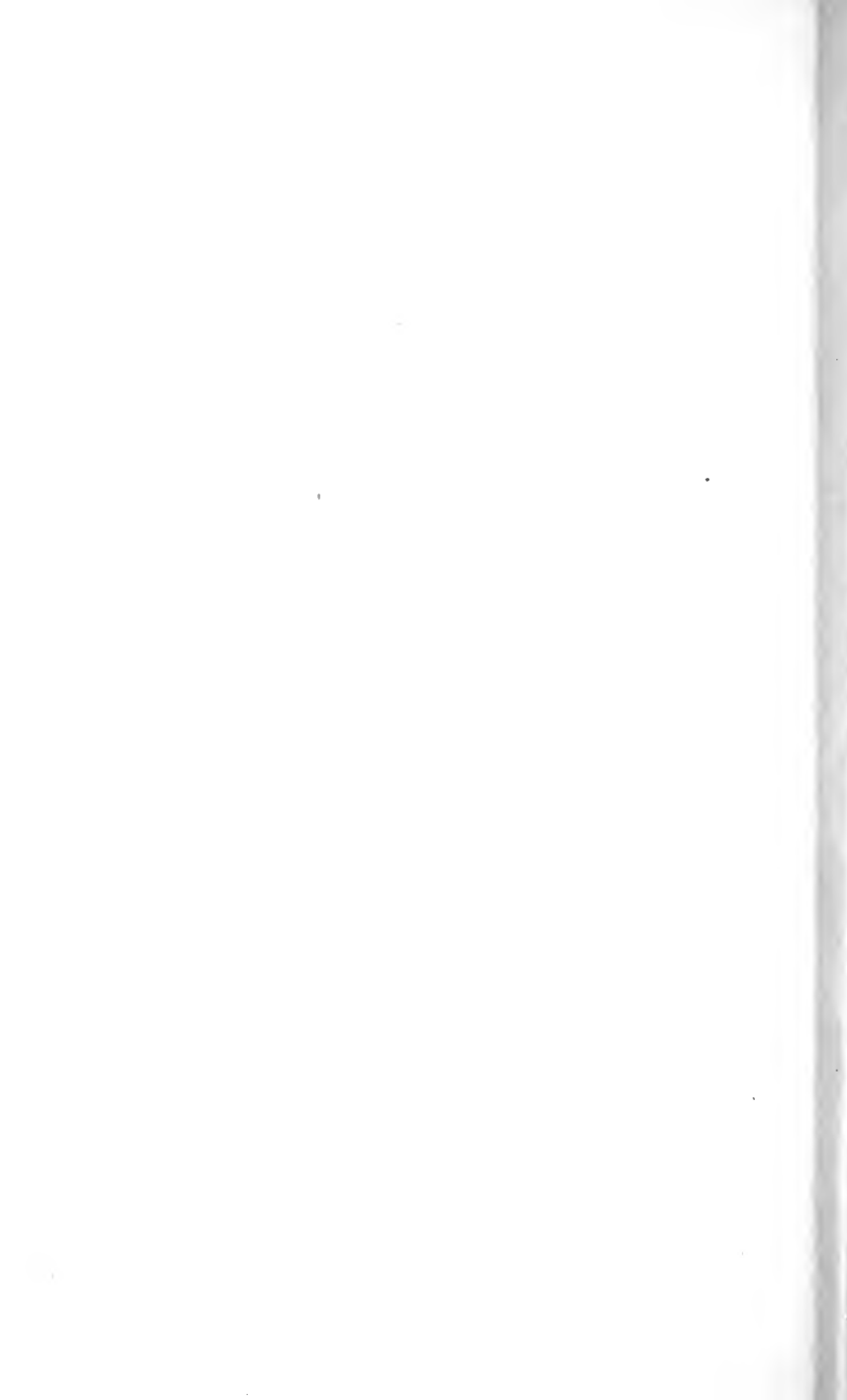
1. Seitliche, 1<sup>a</sup>. obere, 1<sup>b</sup>. untere Ansicht des Schädels von *Castor fiber*.
2. Seitliche, 2<sup>a</sup>. obere, 2<sup>b</sup>. untere Ansicht des Schädels von *Georchus capensis*.
3. Obere Ansicht des Schädels von *Fiber zibethicus*. — 3<sup>b</sup>. Obere Backzahnreihe desselben Schädels.
4. Seitliche, 4<sup>a</sup>. obere, 4<sup>b</sup>. vordere, 4<sup>c</sup>. hintere Ansicht des Schädels von *Pedetes caffer*.
5. Obere, 5<sup>a</sup>. untere Ansicht des Schädels von *Dasyprocta aguti*.
6. Seitliche, 6<sup>a</sup>. obere, 6<sup>b</sup>. untere Ansicht des Schädels von *Dipus aegypticus*.
7. Obere, 7<sup>a</sup>. untere Ansicht des Schädels von *Jaculus labradorius*.

Alle Zeichnungen sind Originale.

---







**Erklärung von Tafel XXIV.**

**Osteologie.**

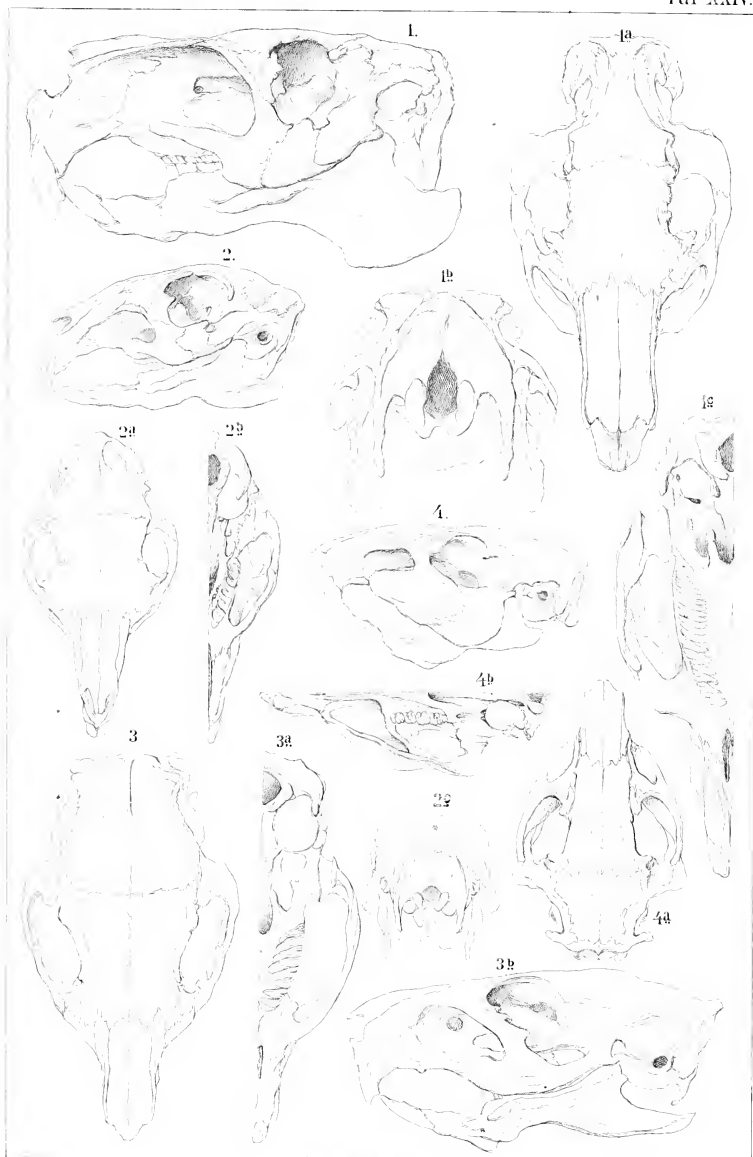
---

Fig.

1. Seitliche, 1<sup>a</sup>. obere, 1<sup>b</sup>. hintere, 1<sup>c</sup>. untere Ansicht des Schädels von *Hydrochoerus capybara*.
2. Seitliche, 2<sup>a</sup>. obere, 2<sup>b</sup>. untere, 2<sup>c</sup>. hintere Ansicht des Schädels von *Dolichotis patagonica*.
3. Obere, 3<sup>a</sup>. untere, 3<sup>b</sup>. seitliche Ansicht des Schädels einer wilden brasilianischen *Cavia aperea*.
4. Seitliche, 4<sup>a</sup>. obere, 4<sup>b</sup>. untere Ansicht des Schädels von *Coelogenys paca*.

Alle Zeichnungen sind Originale.

---





**Erklärung von Tafel XXV.**

**Osteologie.**

---

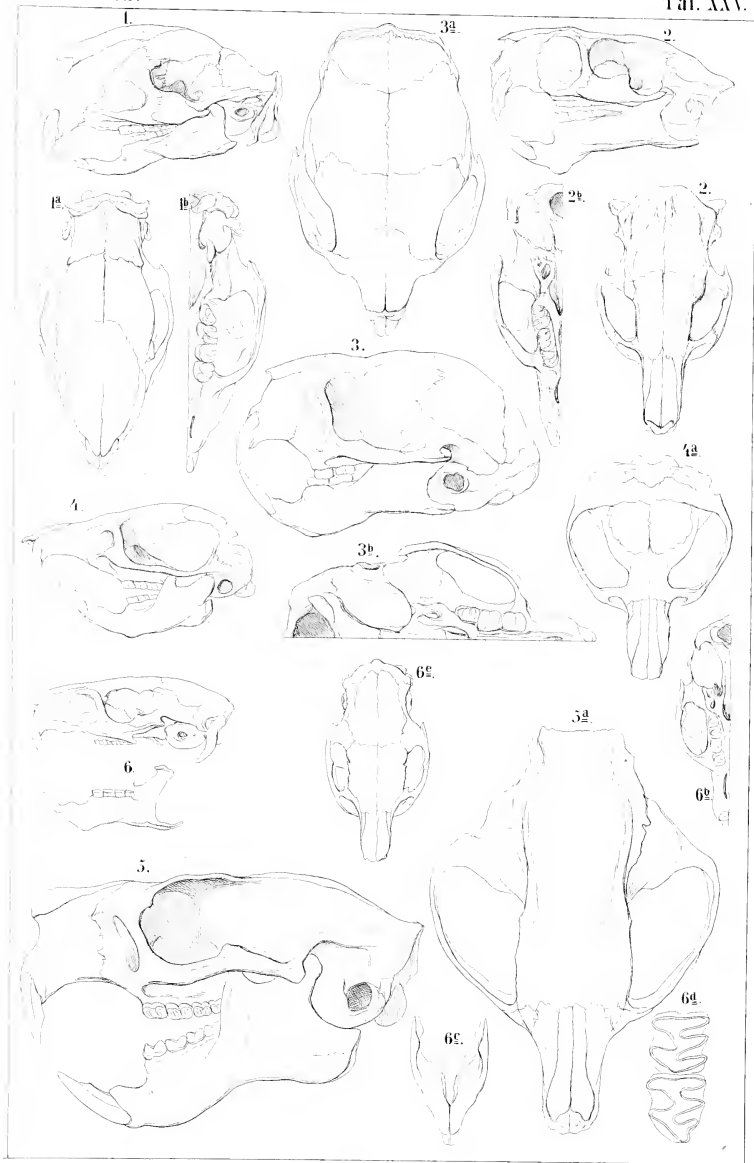
Fig.

1. Seitliche, 1<sup>a</sup>. obere, 1<sup>b</sup>. untere Ansicht des Schädels von *Hystrix cristata*.
2. Seitliche, 2<sup>a</sup>. obere, 2<sup>b</sup>. untere Ansicht des Schädels von *Myopotamus coypu*.
3. Seitliche, 3<sup>a</sup>. obere, 3<sup>b</sup>. untere Ansicht des Schädels von *Cercolabes juv.*
4. Seitliche, 4<sup>a</sup>. obere Ansicht des Schädels von *Spalax typhlus*.
5. Seitliche, 5<sup>a</sup>. obere Ansicht des Schädels von *Anomalurus Pelei*.
6. Seitliche, 6<sup>a</sup>. obere, 6<sup>b</sup>. untere Ansicht des Schädels von *Capromys*, 6<sup>c</sup>. Unterkiefer, 6<sup>d</sup>. zwei Backzähne desselben nach Waterhouse.

Figur 1 — 5. sind Originale.

---







**Erklärung von Tafel XXVI.**

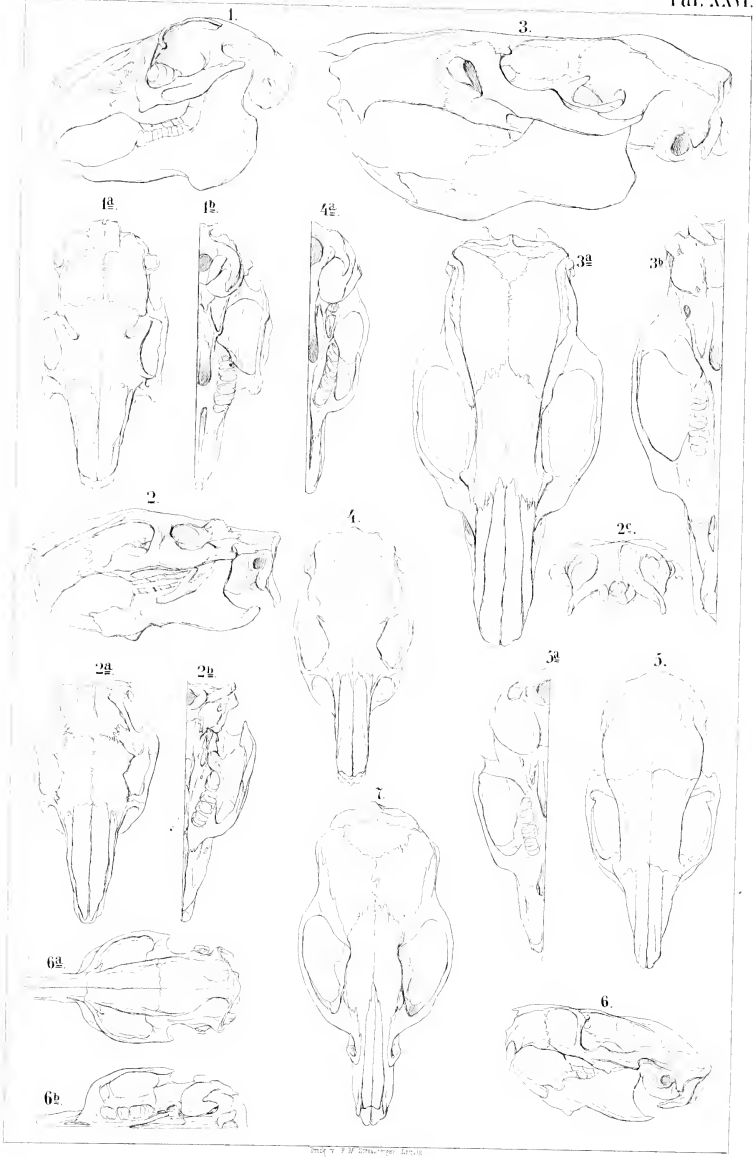
**Osteologie.**

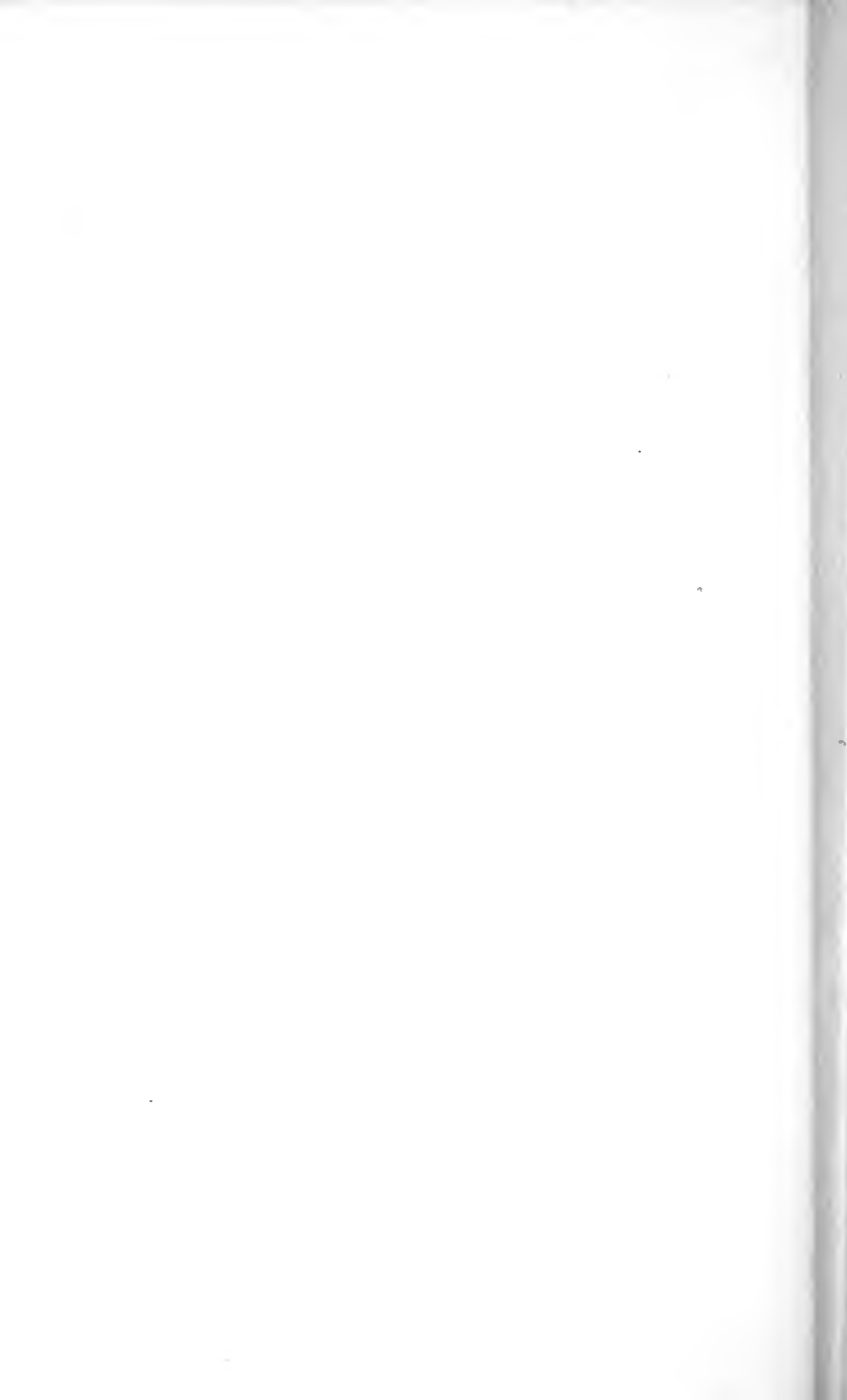
---

Fig.

1. Seitliche, 1<sup>a</sup>. obere, 1<sup>b</sup>. untere Ansicht des Schädels von *Lepus timidus*.
2. Seitliche, 2<sup>a</sup>. obere, 2<sup>b</sup>. untere, 2<sup>c</sup>. hintere Ansicht des Schädels von *Lagostomus trichodactylus*.
3. Seitliche, 3<sup>a</sup>. obere, 3<sup>b</sup>. untere Ansicht des Schädels von *Cricetomys gambianus*.
4. Obere, 4<sup>a</sup>. untere Ansicht des Schädels von *Lagotis Cuvieri*.
5. Obere, 5<sup>a</sup>. untere Ansicht des Schädels von *Echinomys myosurus*.
6. Seitliche, 6<sup>a</sup>. obere, 6<sup>b</sup>. untere Ansicht des Schädels von *Loncheres cristatus*.
7. Obere Ansicht des Schädels von *Hydromys leucogaster*.

Alle Zeichnungen sind Originale.





**Erklärung von Tafel XXVII.**

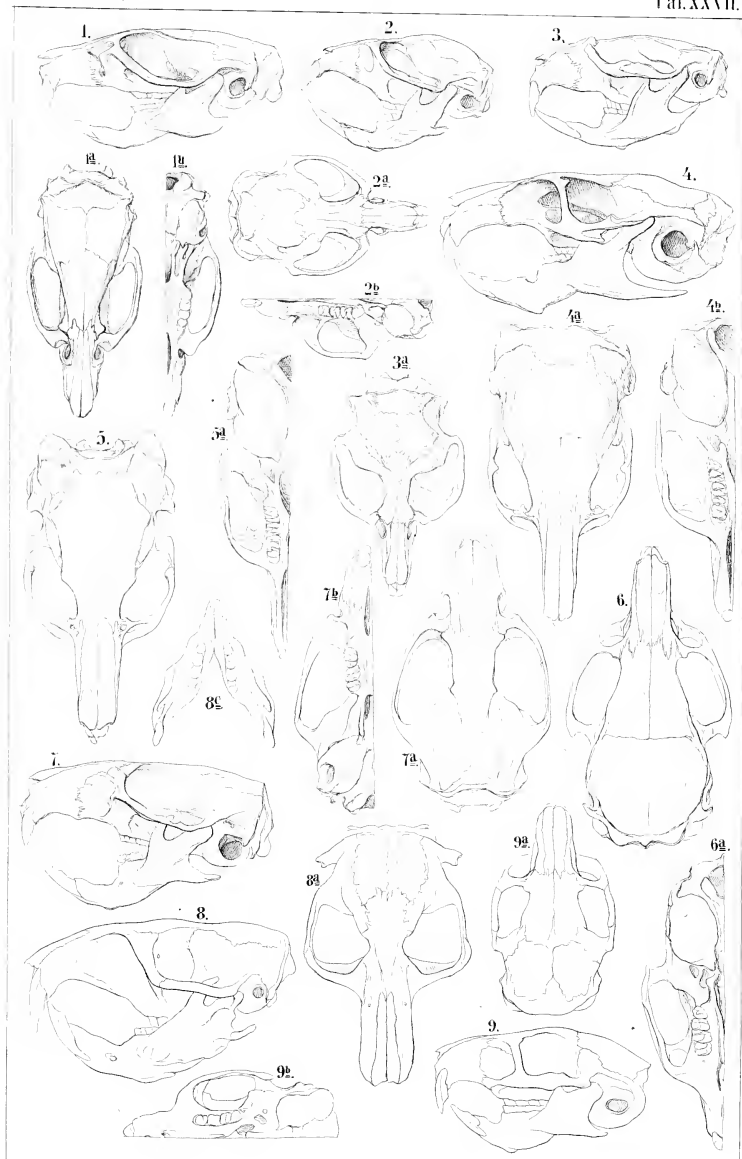
**Osteologie.**

Fig.

1. Seitliche, 1<sup>a</sup>. obere, 1<sup>b</sup>. untere Ansicht des Schädels von *Mus decumanus*.
2. Seitliche, 2<sup>a</sup>. obere, 2<sup>b</sup>. untere Ansicht des Schädels von *Hypudaeus amphibius*.
3. Seitliche, 3<sup>a</sup>. obere Ansicht des Schädels von *Lemmus norvegicus*.
4. Seitliche, 4<sup>a</sup>. obere, 4<sup>b</sup>. untere Ansicht des Schädels von *Habrocoma Benneſti*.
5. Obere, 5<sup>a</sup>. untere Ansicht des Schädels von *Octodon Cumingi*.
6. Obere, 6<sup>a</sup>. untere Ansicht des Schädels von *Mesomys spinosus*.
7. Seitliche, 7<sup>a</sup>. obere, 7<sup>b</sup>. untere Ansicht des Schädels von *Cricetus vulgaris*.
8. Seitliche, 8<sup>a</sup>. obere Ansicht des Schädels von *Geomys bursarius*.
9. Seitliche, 9<sup>a</sup>. obere, 9<sup>b</sup>. untere Ansicht des Schädels von *Schizodon fuscus*.

Alle Zeichnungen sind Originale.







**Erklärung von Tafel XXVIII.**

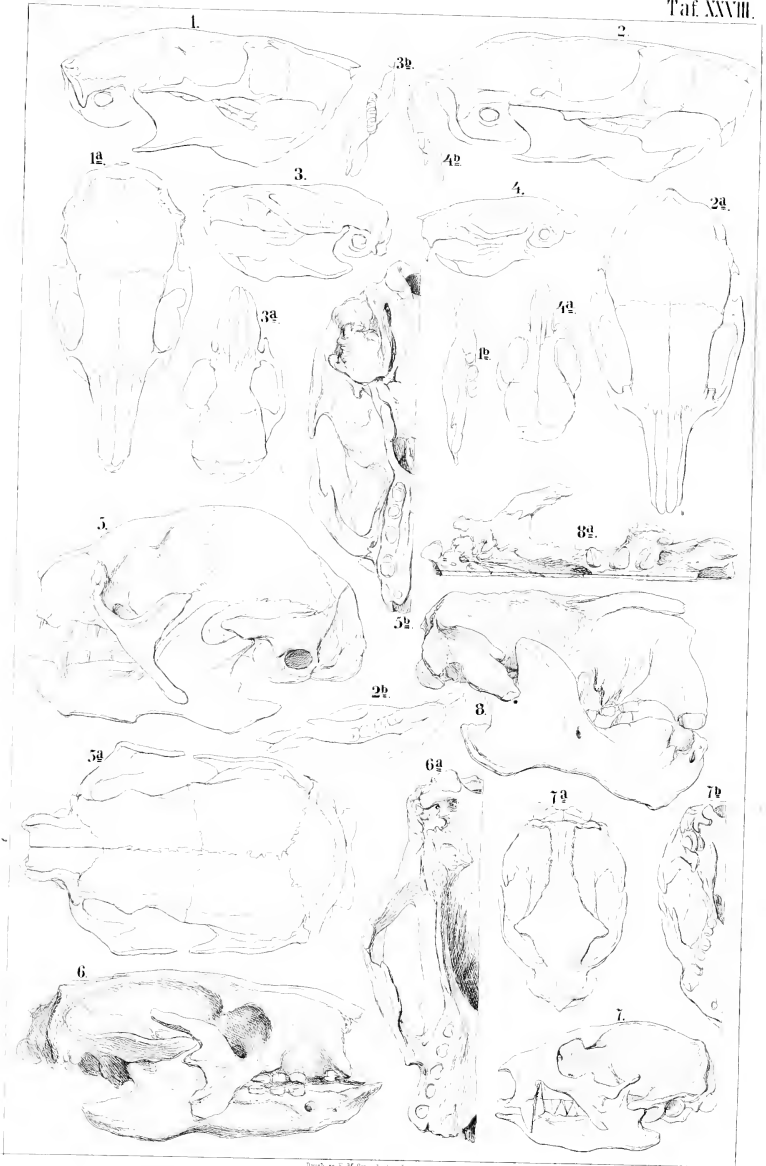
**Osteologie.**

---

Fig.

1. Seitliche, 1<sup>a</sup>. obere Ansicht des Schädels, 1<sup>b</sup>. des Unterkiefers von *Echinomys cayennensis*.
2. Seitliche, 2<sup>a</sup>. obere Ansicht des Schädels, 2<sup>b</sup>. des Unterkiefers von *Nelomys antricola*.
3. Seitliche, 3<sup>a</sup>. obere Ansicht des Schädels, 3<sup>b</sup>. des Unterkiefers von *Lasiomys hirsutus*.
4. Seitliche, 4<sup>a</sup>. obere Ansicht des Schädels, 4<sup>b</sup>. des Unterkiefers von *Hesperomys longicaudatus*.
5. Seitliche, 5<sup>a</sup>. obere, 5<sup>b</sup>. untere Ansicht des Schädels von *Bradypus cuculliger*.
6. Seitliche, 6<sup>a</sup>. untere Ansicht des Schädels von *Myiodon robustus* nach Owen.
7. Seitliche, 7<sup>a</sup>. obere, 7<sup>b</sup>. untere Ansicht des Schädels von *Choloepus didactylus*.
8. Seitliche, 8<sup>a</sup>. untere Ansicht des Schädels von *Megalonyx Jeffersoni* nach Leidy.

Figur 1—5. und 7. sind Originale.





# Erklärung von Tafel XXIX.

Osteologie.

---

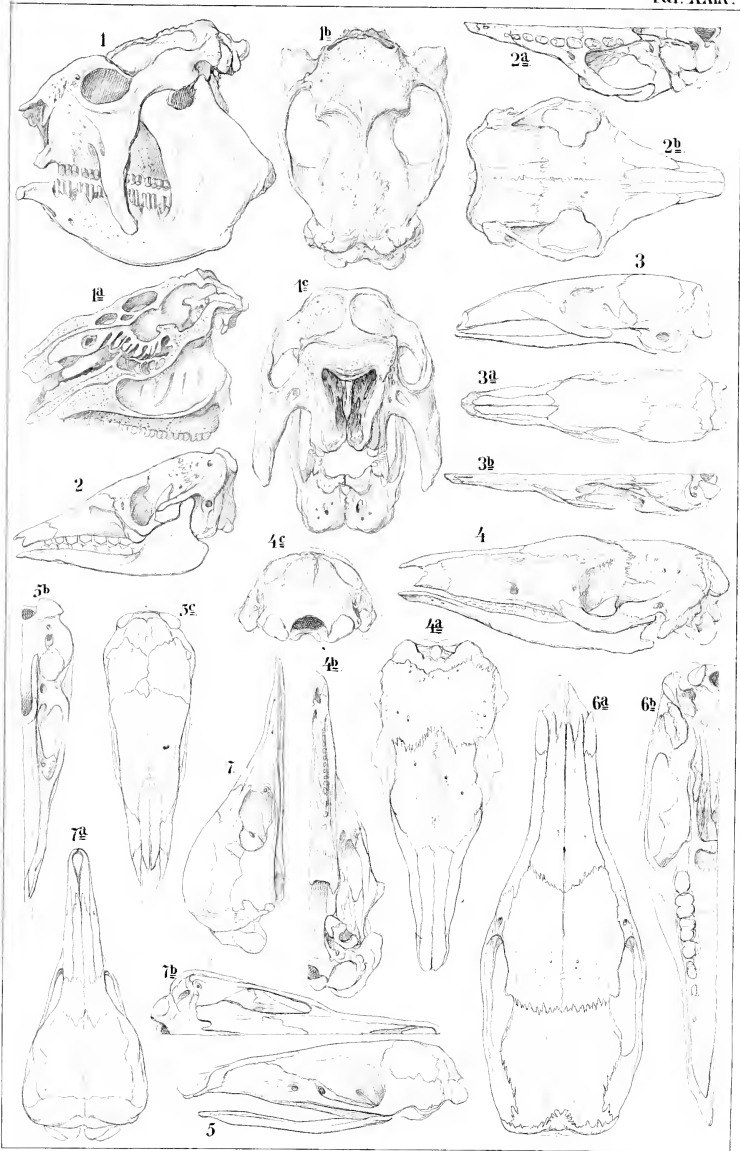
Fig.

1. Seitenansicht, 1<sup>a</sup>. Durchschnitt, 1<sup>b</sup>. obere, 1<sup>c</sup>. vordere Ansicht des Schädels von *Glyptodon asper* nach Burmeister.
2. Seitliche, 2<sup>a</sup>. untere, 2<sup>b</sup>. obere Ansicht des Schädels von *Dasypus villosus*.
3. Seitliche, 3<sup>a</sup>. obere, 3<sup>b</sup>. untere Ansicht des Schädels von *Myrmecophaga tetradactyla*.
4. Seitliche, 4<sup>a</sup>. obere, 4<sup>b</sup>. untere, 4<sup>c</sup>. hintere Ansicht des Schädels von *Dasypus gigas*.
5. Seitliche, 5<sup>a</sup>. untere, 5<sup>b</sup>. obere Ansicht des Schädels von *Manis*.
- 6<sup>a</sup>. Obere, 6<sup>b</sup>. untere Ansicht des Schädels von *Orycteropus capensis*.
7. Seitliche, 7<sup>a</sup>. obere, 7<sup>b</sup>. untere Ansicht des Schädels von *Echidna hystrix*.

Figur 2—7. sind Originale.

---







**Erklärung von Tafel XXX.**

**Osteologie.**

---

Fig.

1. Skelet von *Equus caballus*.

*a.* Atlas. — *c*<sup>2</sup>. Epistropheus. — *c*<sup>7</sup>. siebenter Halswirbel. — *d*<sup>1</sup>. erster Brustwirbel. — *δ*. diaphragmatischer Wirbel. — *l*<sup>1</sup>. erster Lendenwirbel. — *sacr.*: Kreuzbein. — *cd.* Schwanzwirbel. — *sc.* Schulterblatt. — *h.* Oberarm. — *cb.* Elle. — *cp.* Handwurzel. — *mc.* Mittelhand. — *il.* Darmbein. — *isch.* Sitzbein. — *p.* Schambein. — *f.* Oberschenkel. — *pat.* Kniescheibe. — *calc.* Fersenbein. — *astr.* Sprungbein. — *mt.* Mittelfuss.

1<sup>a</sup>. Obere, 1<sup>b</sup>. untere Ansicht des Pferdeschädels.

1<sup>c</sup>. Längsdurchschnitt des Pferdeschädels.

*intm.* Zwischenkiefer. — *msp.* Oberkiefer. — *n.* Nasenbein. — *es.* obere, *ei.* untere Muschel der Nasenhöhle. — *vo.* Pflugschar. — *pal.* Gaumenbein. — *pt.* Flügelbein. — *lab.* Labyrinth des Siebbeines. — *c.* Siebbein. — *bc.* Grundbein. — *co.* Hinterhauptsgelenkkopf. — *front.* Stirnbein.

2. Seitliche, 2<sup>a</sup>. obere, 2<sup>b</sup>. untere Ansicht des Schädels, 2<sup>c</sup>. des Unterkiefers von *Ornithorhynchus paradoxus*.

3. Mittler unterer Backzahn, 4. Mittler oberer Backzahn von *Hippotherium gracile* nach Kaup.

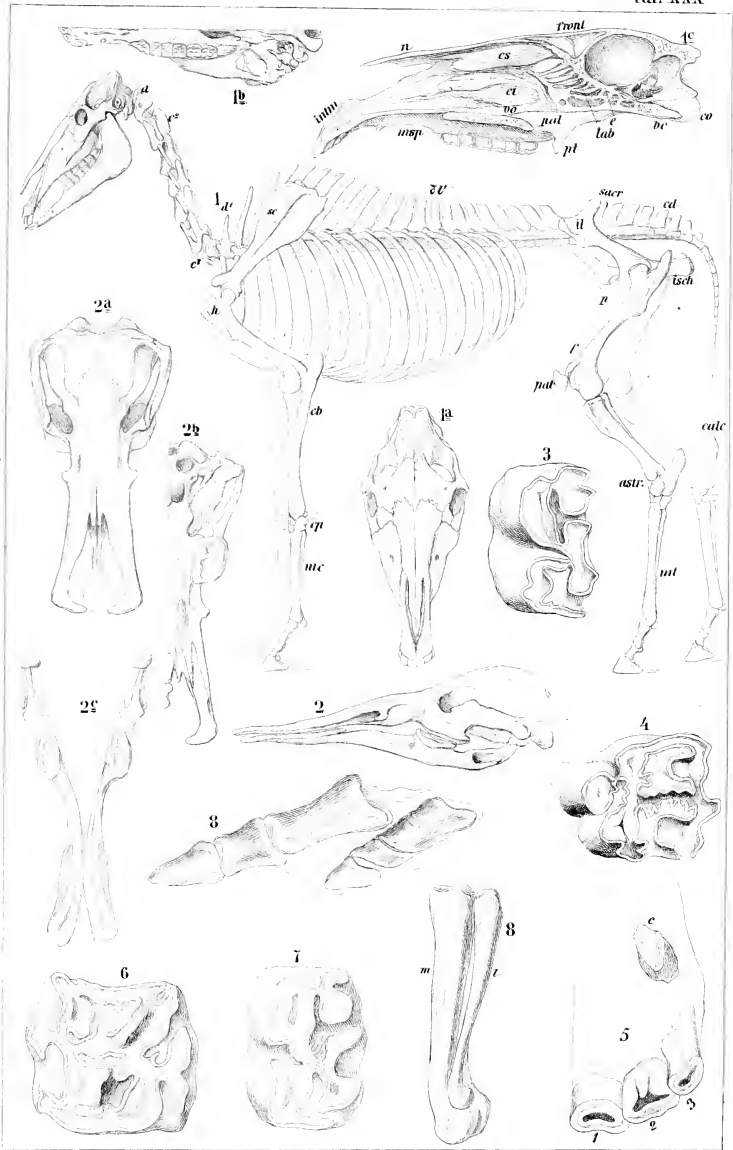
5. Oberer Schneide- und Eckzahn von *Equus caballus*.

6. Dritter oberer, 7. dritter unterer Backzahn von *Equus caballus*.

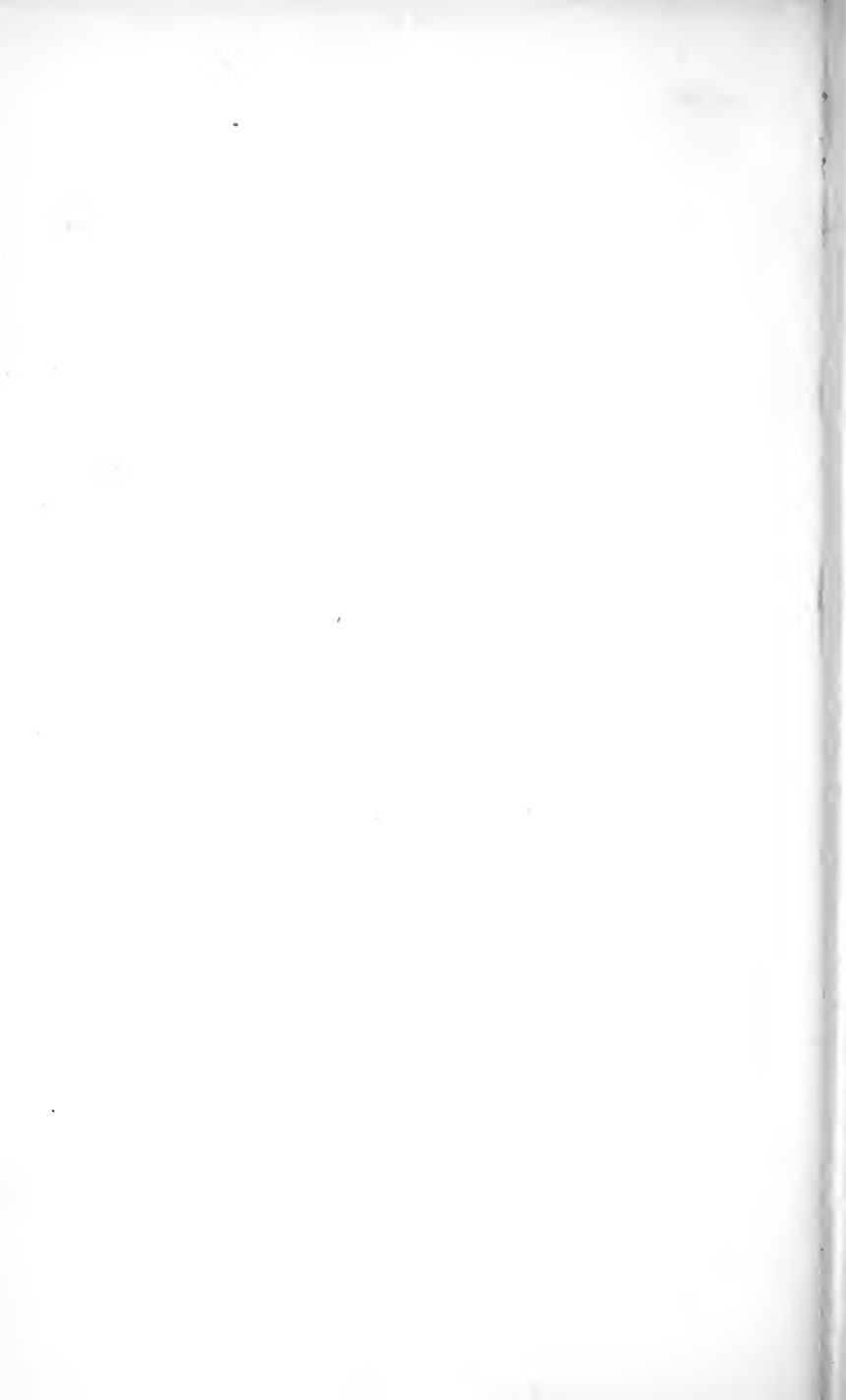
8. Zwei Mittelfussknochen des *Hippotherium* (*m.* mittler und *l.* seitlicher) nach A. Wagner.

9 (5). Zwei Zehen des *Hippotherium gracile* nach A. Wagner.

Figur 1. 2. 5. 6. 7. sind Originale.



Druck. v. F. M. Strassburger, Leipzig



**Erklärung von Tafel XXXI.**

**Osteologie.**

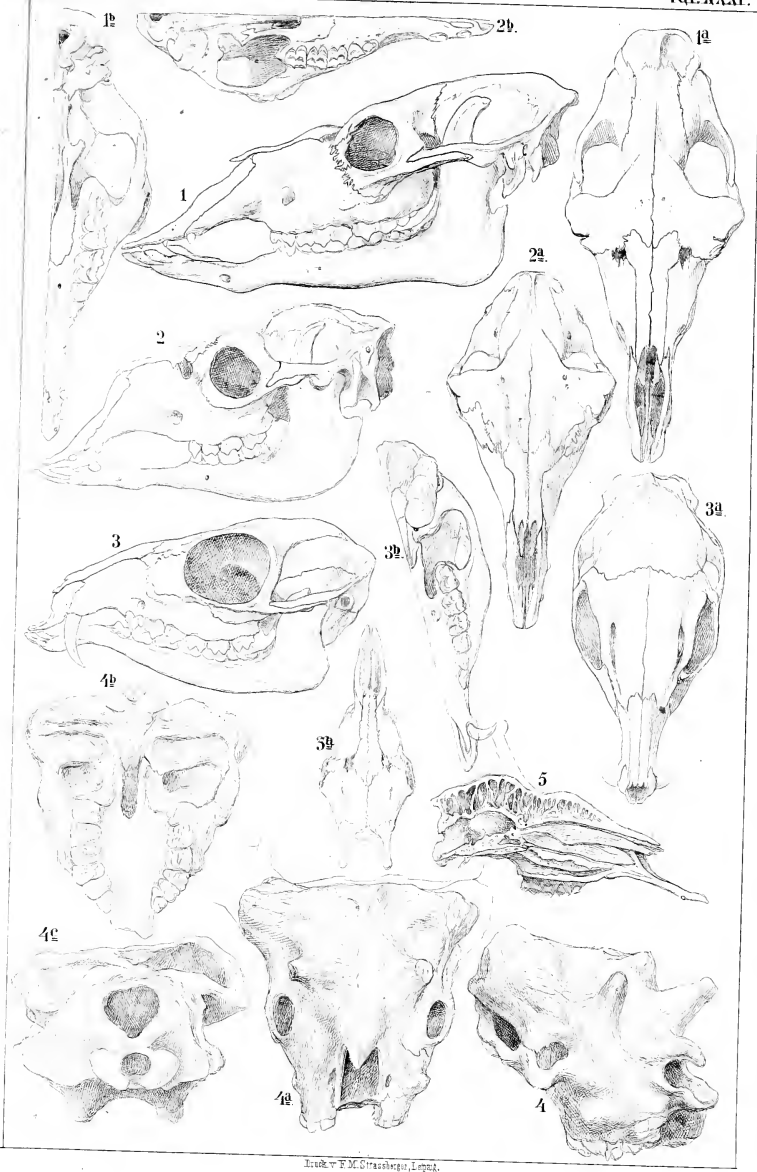
---

Fig.

1. Seitliche, 1<sup>a</sup>. obere, 1<sup>b</sup>. untere Ansicht des Schädels von *Camelus bactrianus*.
2. Seitliche, 2<sup>a</sup>. obere, 2<sup>b</sup>. untere Ansicht des Schädels von *Auchenia lama*.
3. Seitliche, 3<sup>a</sup>. obere, 3<sup>b</sup>. untere Ansicht des Schädels von *Moschus javanicus*.
4. Seitliche, 4<sup>a</sup>. obere, 4<sup>b</sup>. untere, 4<sup>c</sup>. hintere Ansicht des Schädels von *Sivatherium* nach Cantley und Falconer.
5. Längsdurchschnitt und 5<sup>a</sup>. obere Ansicht des Schädels von *Camelopardalis* nach Owen.

Figur 1—3. sind Originale.







**Erklärung von Tafel XXXII.**

**Osteologie.**

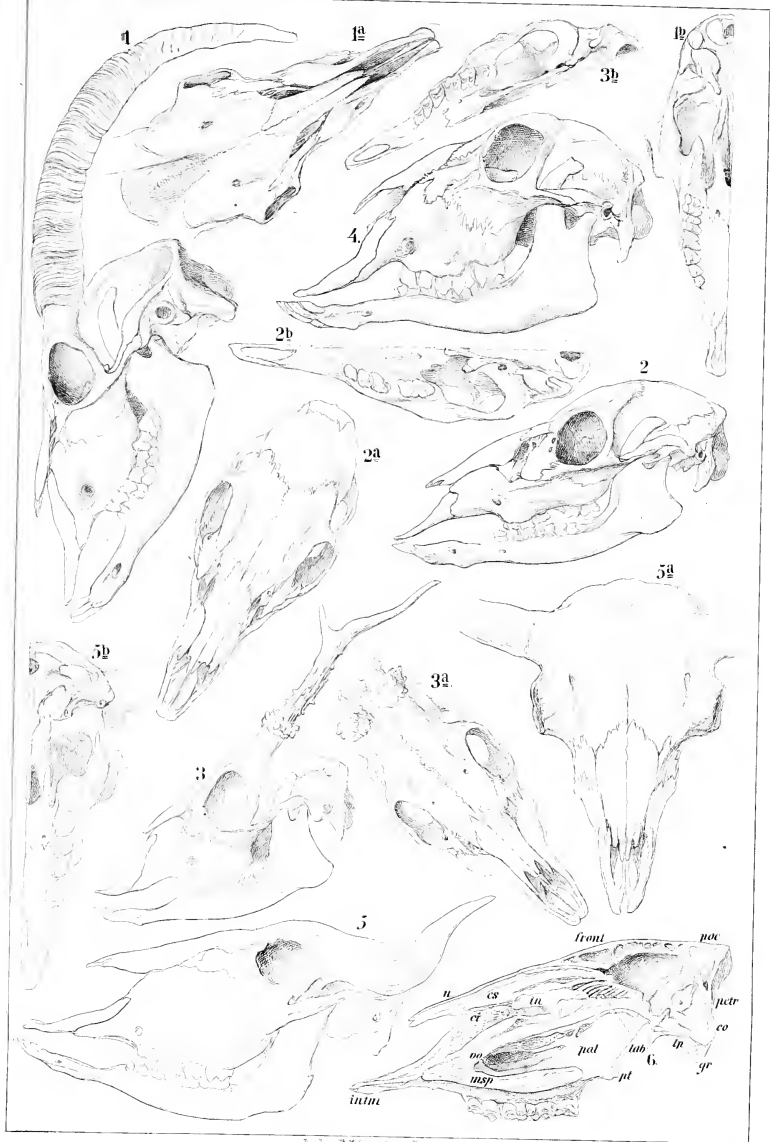
---

Fig.

1. Seitliche, 1<sup>a</sup>. obere, 1<sup>b</sup>. untere Ansicht des Schädels von *Capra hircus*.
2. Seitliche, 2<sup>a</sup>. obere, 2<sup>b</sup>. untere Ansicht des weiblichen Schädels von *Cervus simplicicornis*.
3. Seitliche, 3<sup>a</sup>. obere, 3<sup>b</sup>. untere Ansicht des Schädels von *Cervus capreolus*.
4. Seitliche Ansicht des Schädels von *Ovis steatopygos*.
5. Seitliche, 5<sup>a</sup>. obere Ansicht des Schädels von *Bos banteng*.
6. Längsdurchschnitt des Schädels vom Haustier.

*intm.* Zwischenkiefer. — *msp.* Oberkiefer. — *vo.* Pflugschar. — *n.* Nasenbein. —  
*es.* obere, *ei.* untere Muschel der Nasenhöhle und *i.* Scheidewand in derselben. —  
*pal.* Gaumenbein. — *pt.* Flügelbein. — *lab.* Labyrinth des Siebbeines. — *tp.* Tym-  
panum. — *gr.* Griffelfortsatz. — *co.* Hinterhauptsgelenkkopf. — *petr.* Felsenbein. —  
*poc.* vereinigttes Scheitel- und oberes Hinterhauptbein. — *front.* Stirnbein.

Alle Figuren sind Originale.





**Erklärung von Tafel XXXIII.**

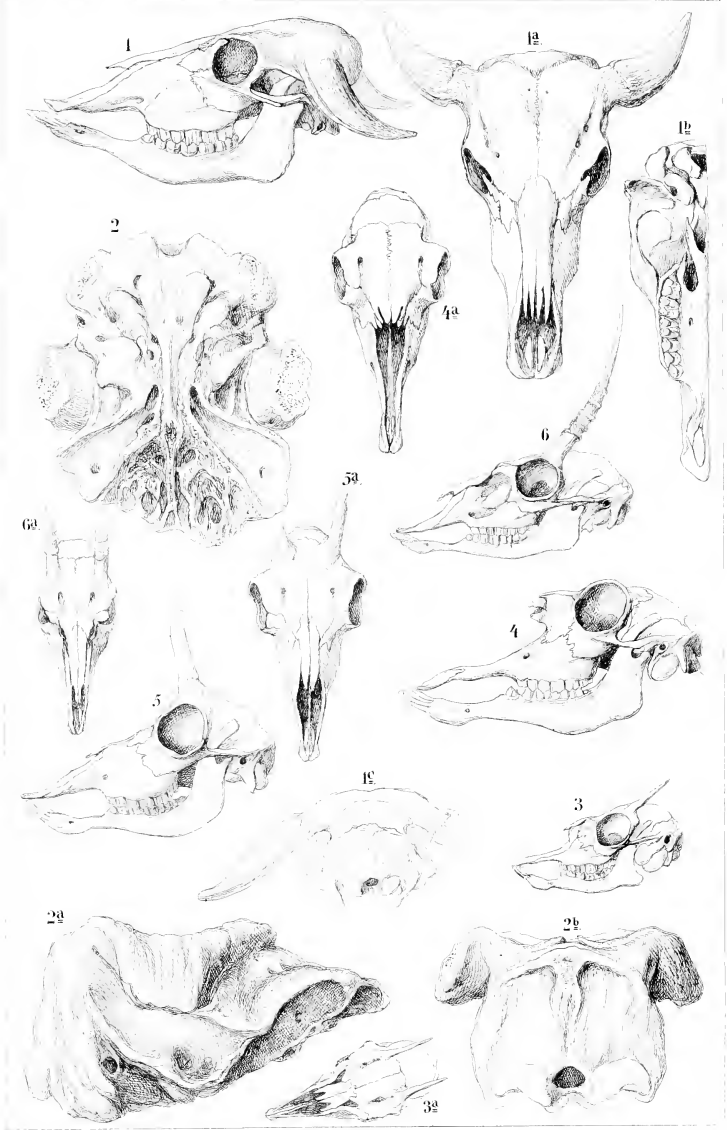
---

Fig.

1. Seitliche, 1<sup>a</sup>. obere, 1<sup>b</sup>. untere, 1<sup>c</sup>. hintere Ansicht des Schädels von *Bos bubalus*.
2. Untere, 2<sup>a</sup>. seitliche, 2<sup>b</sup>. hintere Ansicht eines fossilen Schädels von *Bos moschatus* ohne Vordertheil aus dem Diluvium bei Merseburg.
3. Seitliche, 3<sup>a</sup>. obere Ansicht des Schädels von *Antilope saltiana*.
4. Seitliche, 4<sup>a</sup>. obere Ansicht des Schädels von *Antilope saiga*.
5. Seitliche, 5<sup>a</sup>. obere Ansicht des Schädels von *Antilope rupicapra*.
6. Seitliche, 6<sup>a</sup>. obere Ansicht des Schädels von *Antilope mergens*.

Alle Zeichnungen sind Originale.





Leuck. H. d. Naturw. Ver. Leipzig



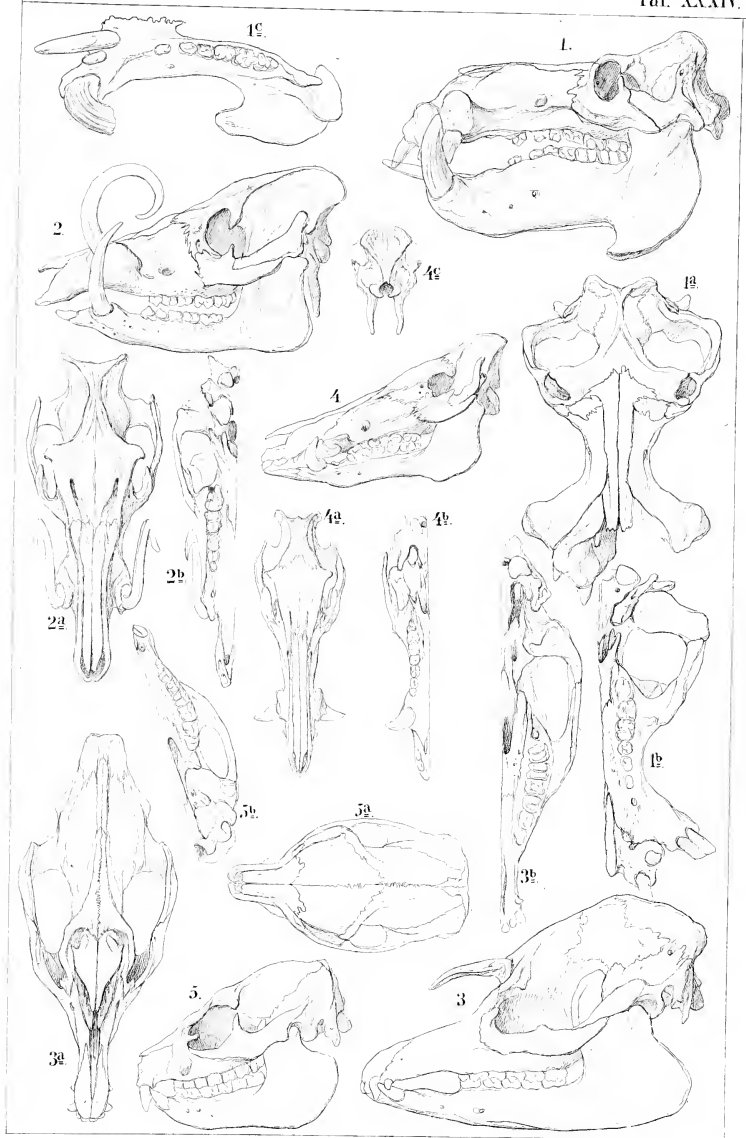
**Erklärung von Tafel XXXIV.**

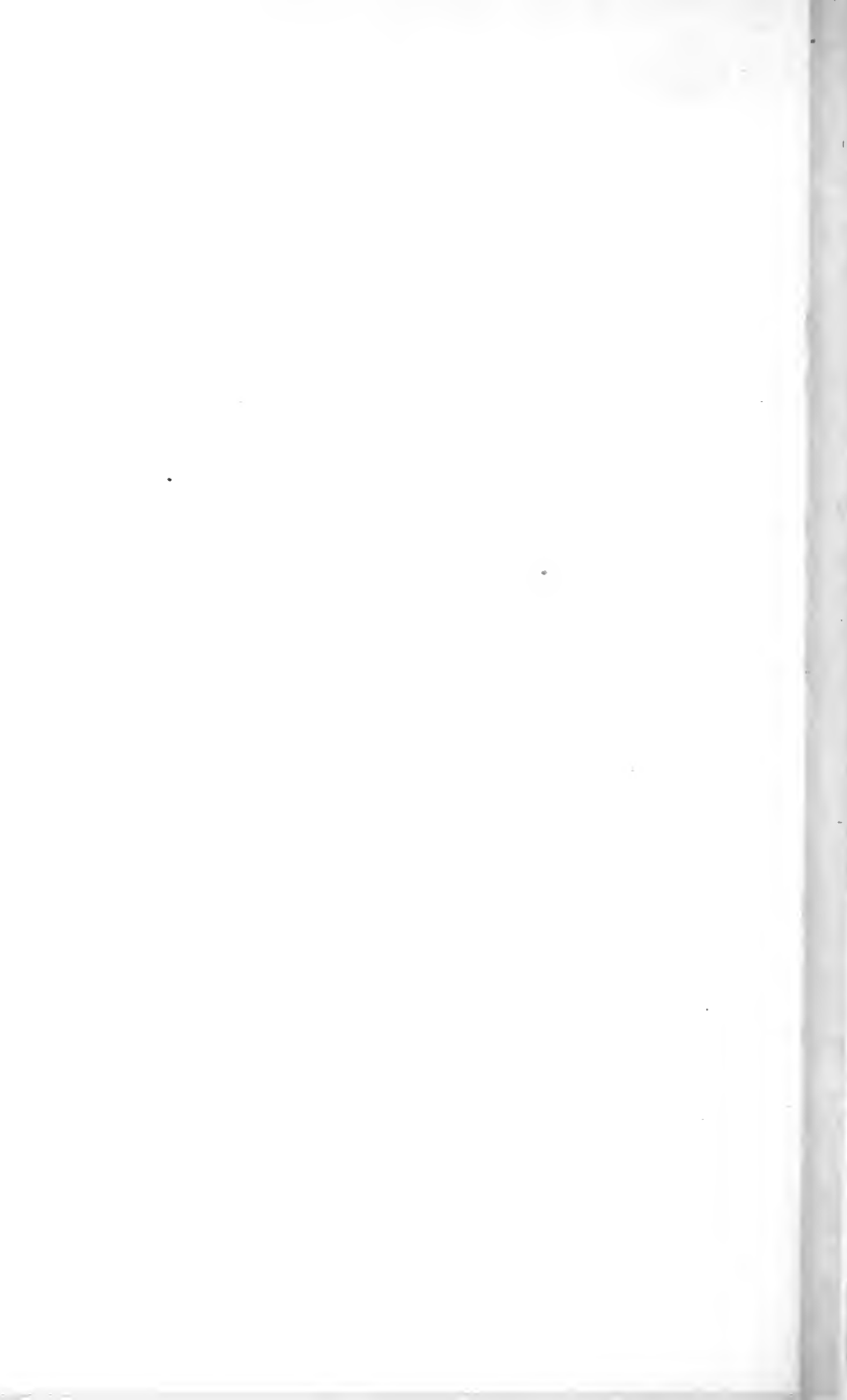
---

Fig.

1. Seitliche, 1<sup>a</sup>. obere (ohne linken Zwischenkiefer), 1<sup>b</sup>. untere Ansicht des Schädels von Hippopotamus. — 1<sup>c</sup>. Ansicht des dazu gehörigen Unterkiefers von oben.
2. Seitliche, 2<sup>a</sup>. obere, 2<sup>b</sup>. untere Ansicht des Schädels von Porcus babyrussa.
3. Seitliche, 3<sup>a</sup>. obere, 3<sup>b</sup>. untere Ansicht des Schädels von Tapirus americanus.
4. Seitliche, 4<sup>a</sup>. obere, 4<sup>b</sup>. untere, 4<sup>c</sup>. hintere Ansicht des gemeinen Hausschweines.
5. Seitliche, 5<sup>a</sup>. obere, 5<sup>b</sup>. untere Ansicht des Schädels von Hyrax syriacus.

Alle Zeichnungen sind Originale.





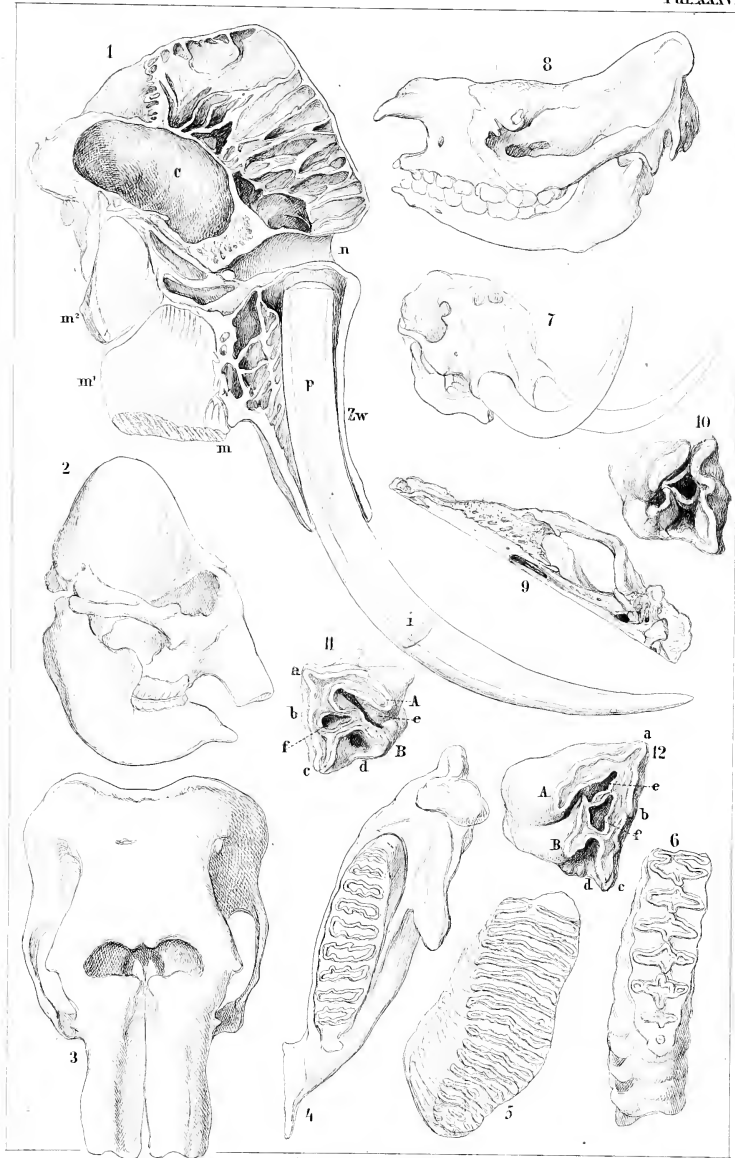
**Erklärung von Tafel XXXV.**

---

Fig.

1. Senkrechter Durchschnitt des Schädels vom asiatischen Elephanten nach Owen. — *n.* Nasenhöhle, *c.* Hirnhöhle, über beiden die weiten Zellen in den Knochen der Schädeldecke. — *zw.* Zwischenkiefer. — *p.* Pulpalhöhle des bis *i* halb durchgeschnittenen Stosszahnes. — *m.* völlig abgenutzter, *m*<sup>1.</sup> in Function stehender, *m*<sup>2.</sup> nachrückender Mahlzahn.
2. Seitliche Ansicht des Schädels vom asiatischen Elephanten, nach Cuvier.
3. Obere Ansicht desselben Schädels.
4. Linker Unterkiefer desselben von oben, wie Fig. 3 nach Cuvier.
5. Backzahn von *Elephas primigenius*, Original.
6. Backzahn von *Elephas africanus*, Original.
7. Seitliche Ansicht des Schädels von *Mastodon giganteum*, nach Owen.
8. Seitliche Ansicht des Schädels von *Rhinoceros bicornis*, Original.
9. Untere Ansicht des Schädels von *Rhinoceros tichorhinus*, nach Cuvier.
10. Hinterer oberer Mahlzahn von *Rhinoceros tichorhinus*, noch nicht abgenutzt, Original.
11. und 12. Hintere obere Mahlzähne von *Rhinoceros tichorhinus*, abgekaut, Originale. — *A.* vorderes, *B.* hinteres schiefes Querjoch, *c.* beide trennendes, von der Innenseite eindringendes Thal, von welchem die hintere Grube *f.* getrennt ist, bei *d.* hintere Grube, *a.* vordere, *e.* hintere Kante der äussern Schmelzwand, bei *b.* deren mitte Anschwellung — *abc.* bilden die drei zur äusseren Schmelzwand verschmolzenen Höcker, *ABd.* die drei innern in schiefe Joche ausgezogenen Höcker.







**Erklärung von Tafel XXXVI.**

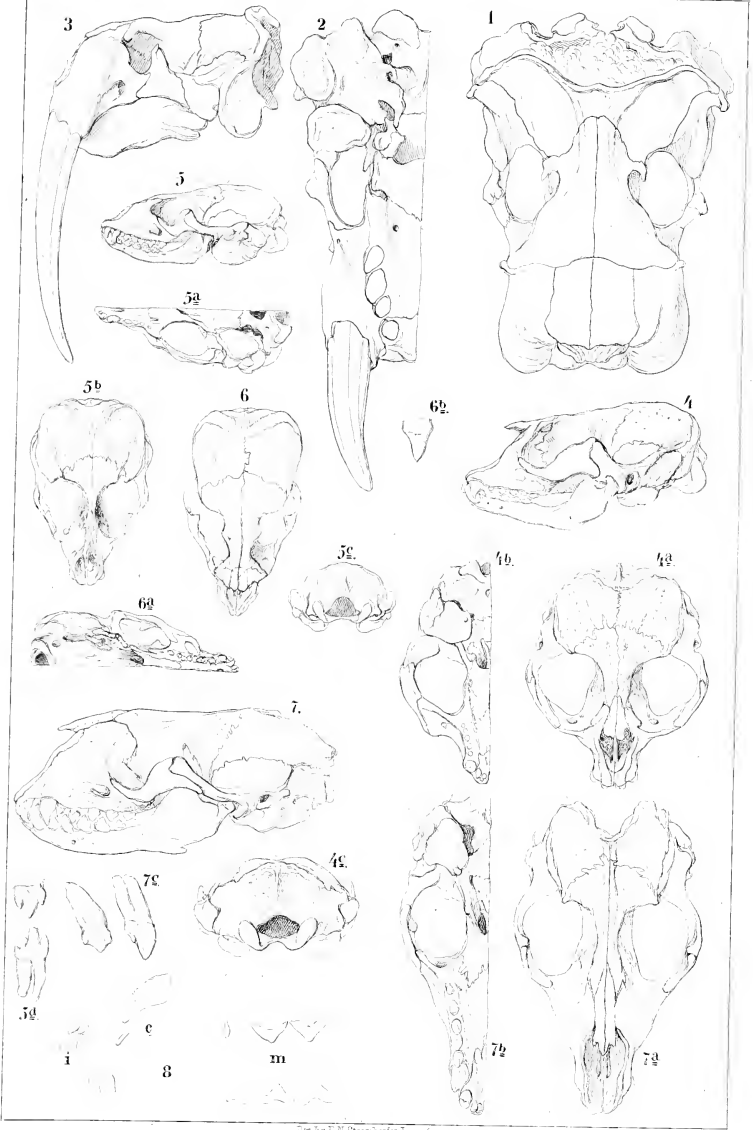
---

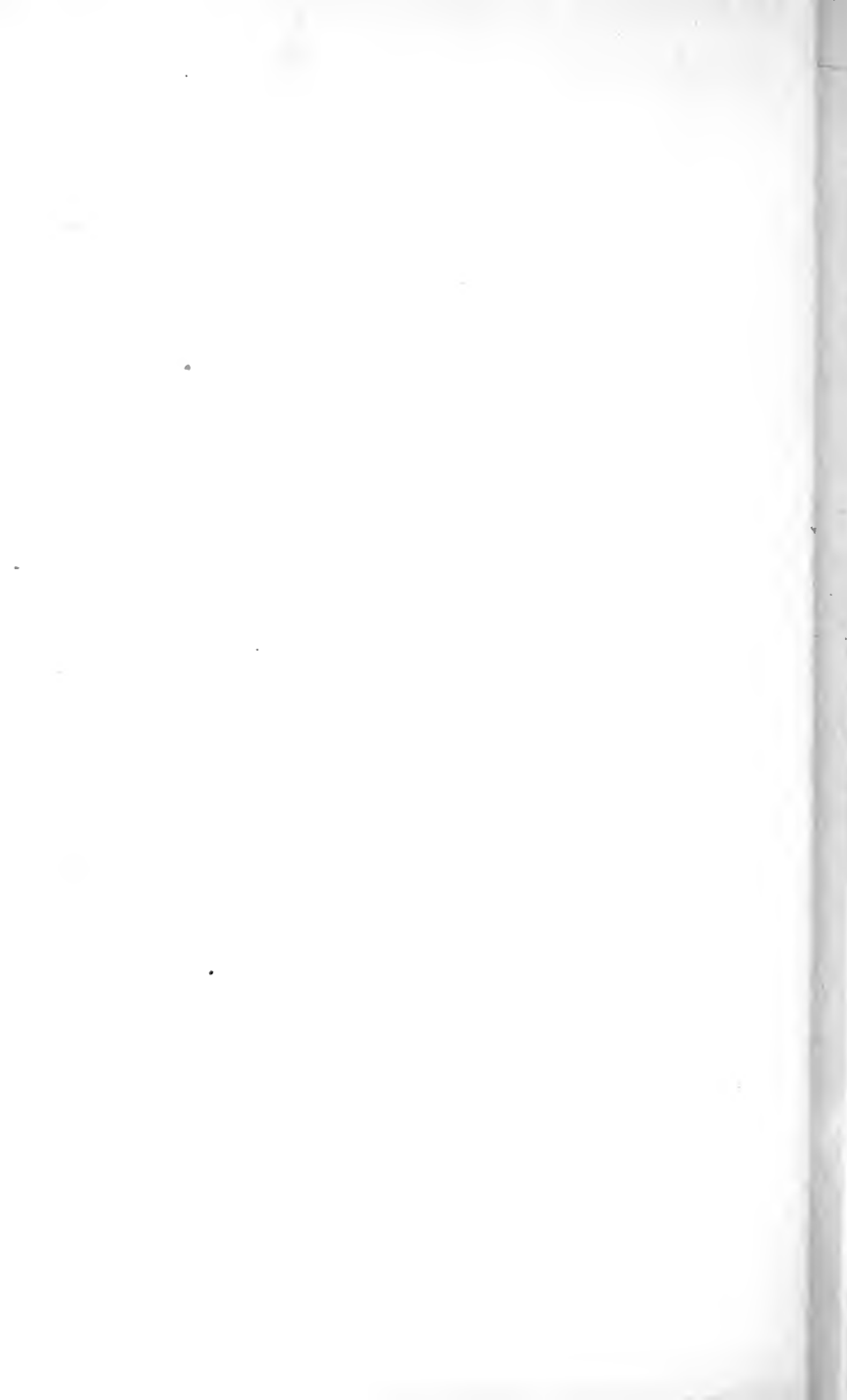
Fig.

1. Obere Ansicht des Schädels von *Trichechus rosmarus*.
2. Untere Ansicht desselben.
3. Seitliche Ansicht desselben.
4. Seitliche, 4<sup>a</sup>. obere, 4<sup>b</sup>. untere, 4<sup>c</sup>. hintere Ansicht des Schädels von *Cystophora cristata*. — (Seite 107 als Figur 5. G. citirt.)
5. Seitliche, 5<sup>a</sup>. untere, 5<sup>b</sup>. obere, 5<sup>c</sup>. hintere Ansicht des Schädels von *Phoca annellata*. — 5<sup>d</sup>. Zweiter Ober- und zweiter Unterkiefer-Backzahn. — (Seite 107 als Figur S. 9. citirt.)
6. Obere, 6<sup>a</sup>. untere Ansicht des Schädels von *Otaria ursina*. — 6<sup>b</sup>. mittler oberer Backzahn desselben. — (Seite 106 als Figur 11 citirt.)
7. Seitliche, 7<sup>a</sup>. obere, 7<sup>b</sup>. untere Ansicht des Schädels von *Halichoerus grypus*. — 7<sup>c</sup>. dritter und fünfter oberer Backzahn desselben. — (Seite 107 als Figur 10 citirt.)
8. Milchgebiss von *Phoca vitulina*, nach van Beneden. — *i*. die stiftförmigen Vorderzähne, *c*. der Eckzahn, *m*. die drei obern und untern Backzähne.

Die Zeichnungen 1—7. sind Originale.

---





**Erklärung von Tafel XXXVII.**

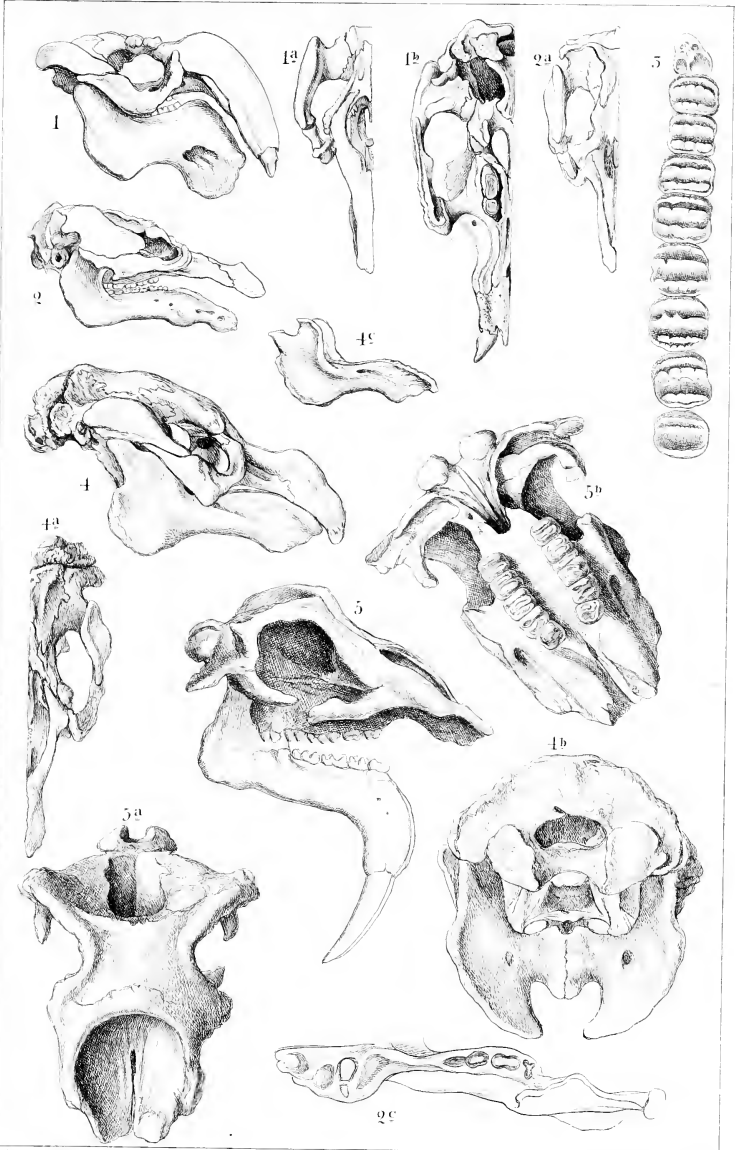
**Osteologie.**

---

Fig.

1. Seitenansicht des Schädels von *Halicore*. — 1<sup>a</sup>. Hälfte der Oberseite desselben. — 1<sup>b</sup>. Hälfte der unteren Ansicht, alle verkleinert, nach Cuvier.
2. Seitenansicht des Schädels von *Manatus*. — 2<sup>a</sup>. Hälfte der Oberseite desselben, beide verkleinert, nach Cuvier. — 2<sup>c</sup>. Linker Unterkieferast von oben mit den Zähnen, verkleinert, nach Owen.
3. Kaufläche der oberen Backzahnreihe von *Manatus americanus*, in  $\frac{2}{3}$  natürl. Gr., nach Owen.
4. Seitenansicht des Schädels von *Rhytine*. — 4<sup>a</sup>. Hälfte der oberen Ansicht desselben — 4<sup>b</sup>. Hintere Ansicht desselben. — 4<sup>c</sup>. Seitliche Ansicht des Unterkiefers, alle verkleinert, nach Brandt.
5. Seitenansicht des Schädels von *Dinotherium giganteum*. — 5<sup>a</sup>. obere und 5<sup>b</sup>. untere Ansicht desselben, verkleinert, nach Kaup.







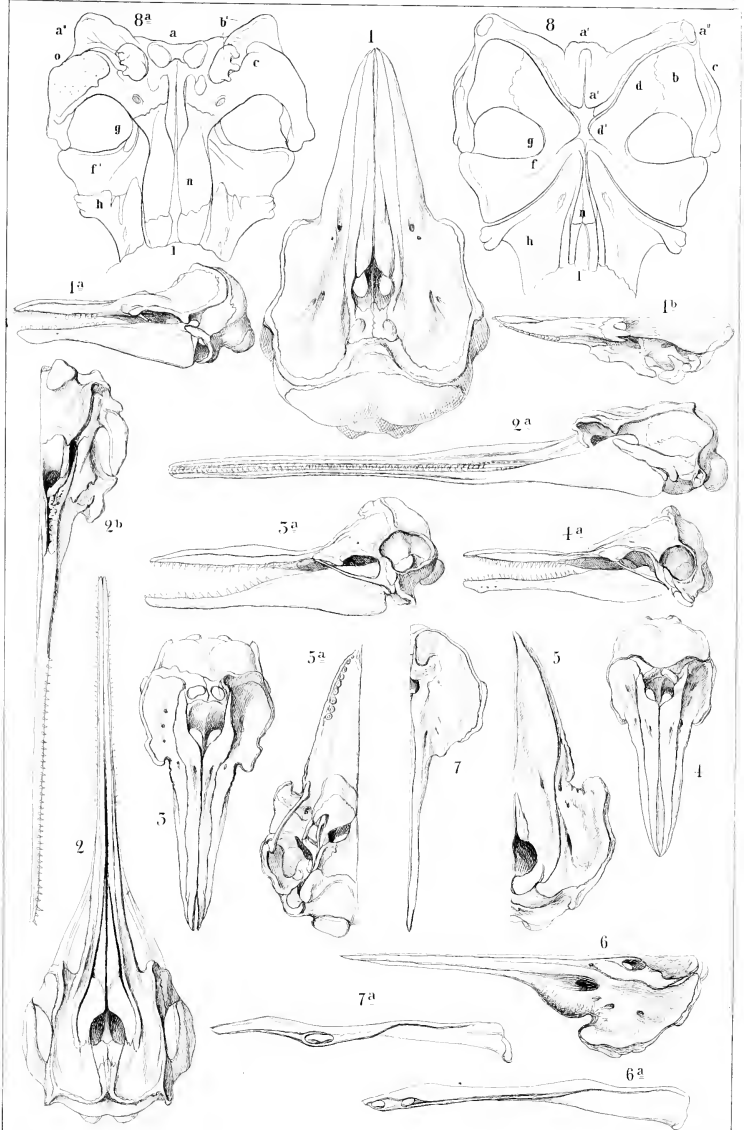
**Erklärung von Tafel XXXVIII.**

**Osteologie.**

---

Fig.

1. Obere Ansicht, 1<sup>a</sup>. seitliche Ansicht, 1<sup>b</sup>. Hälfte der unteren Ansicht des Schädels von *Phocaena communis*, verkleinert, Original.
2. Obere, 2<sup>a</sup>. seitliche, 2<sup>b</sup>. halbe untere Ansicht des Schädels von *Pontoparia Blainvillei*, verkleinert, Original.
3. Obere, 3<sup>a</sup>. seitliche Ansicht des Schädels von *Delphinus tursio*, verkleinert, nach Cuvier.
4. Obere, 4<sup>a</sup>. seitliche Ansicht des Schädels von *Delphinapterus leucas*, verkleinert, nach Cuvier.
5. Obere, 5<sup>a</sup>. untere Ansicht der Schädelhälfte von *Phocaena globiceps*, verkleinert, nach Cuvier.
6. Ansicht der oberen Schädelhälfte von *Berardius Arnouxi*, 6<sup>a</sup>. obere Ansicht eines dazu gehörigen Unterkieferastes, beide verkleinert, nach Duvernoy.
7. Ansicht der oberen Schädelhälfte des *Mesiododon densirostre*, 7<sup>a</sup>. obere Ansicht eines dazu gehörigen Unterkieferastes, verkleinert, nach Duvernoy.
5. Obere, 8<sup>a</sup>. untere Ansicht des Schädels von *Cetotherium Rathkei* ohne Schnauzenspitze, verkleinert, nach Brandt. — *a a'* Hinterhaupt, *b* Schläfenschuppe, *b'* Bulla tympani, *c* Jochfortsatz der Schläfenschuppe, *d d'* Scheitelbein, *ff'* Stirnbein, *g* Keilbeinflügel, *h* Frontaltheil des Oberkiefers, *l* Pflugschar, *n* (Fig. 8) Nasenbein, *n* (Fig. 8<sup>a</sup>) Gaumenbein.





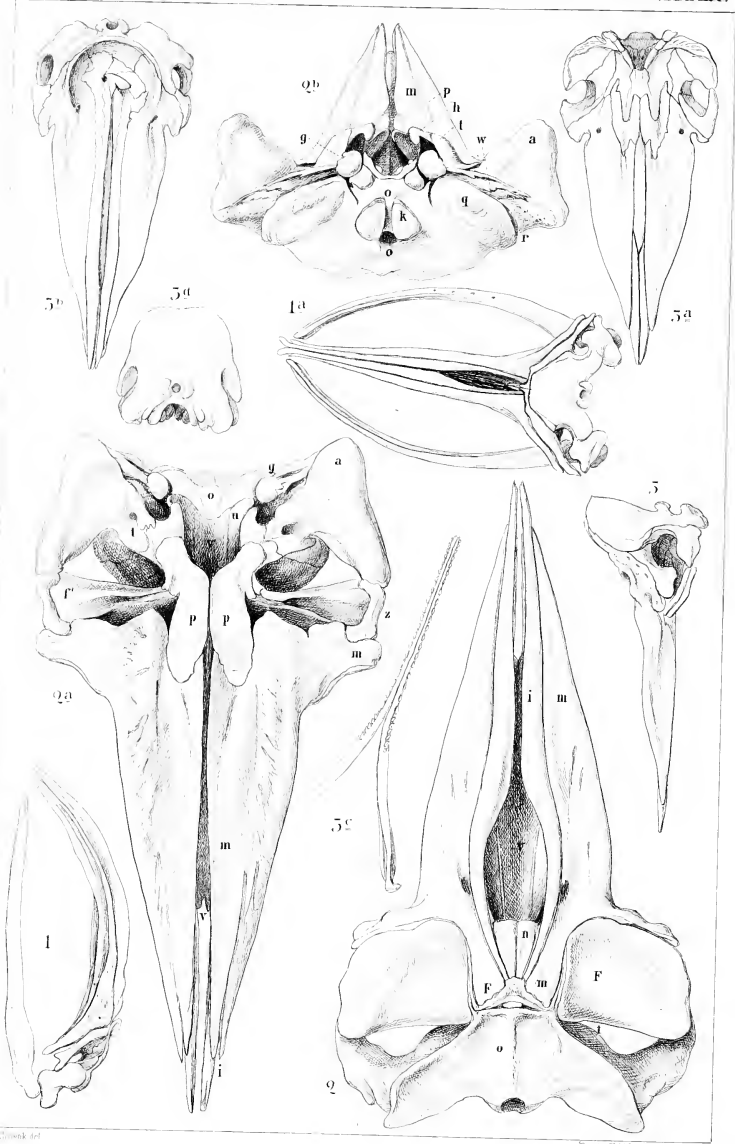
**Erklärung von Tafel XXXIX.**  
**Osteologie.**

---

Fig.

1. Seitliche, 1<sup>a</sup>. obere Ansicht des Schädels von *Balaena mysticetus*, verkleinert, nach Cuvier.
2. Obere, 2<sup>a</sup>. untere, 2<sup>b</sup>. hintere Ansicht des Schädels von *Balaenoptera*, verkleinert, nach Eschricht. — *a* Gelenkfortsatz des Schläfenbeines, *b* Scheitelbein, *f* Stirnbein, *f'* Orbitalfortsatz des Stirnbeines, *g* Bulla tympani, *h* Haken des Flügelbeines, *i* Zwischenkiefer, *k* Hinterhauptgelenkkopf, *m* Oberkiefer, *n* Nasenbein, *o* Hinterhaupt, *p* Gaumenbein, *q* Felsenbein, *r* Mastoidfortsatz des Schläfenbeines, *t* Schläfenbein, *u* Flügelbein, *v* Pflugschar, *w* Felsentheil des Schläfenbeines, *z* Jochbein.
3. Seitliche, 3<sup>a</sup>. untere, 3<sup>b</sup>. obere, 3<sup>d</sup>. hintere Ansicht des Schädels, 3<sup>c</sup>. obere Ansicht des Unterkiefers von *Physeter*, verkleinert, nach Cuvier.







**Erklärung von Tafel XXXX.**

**Zahnsystem.**

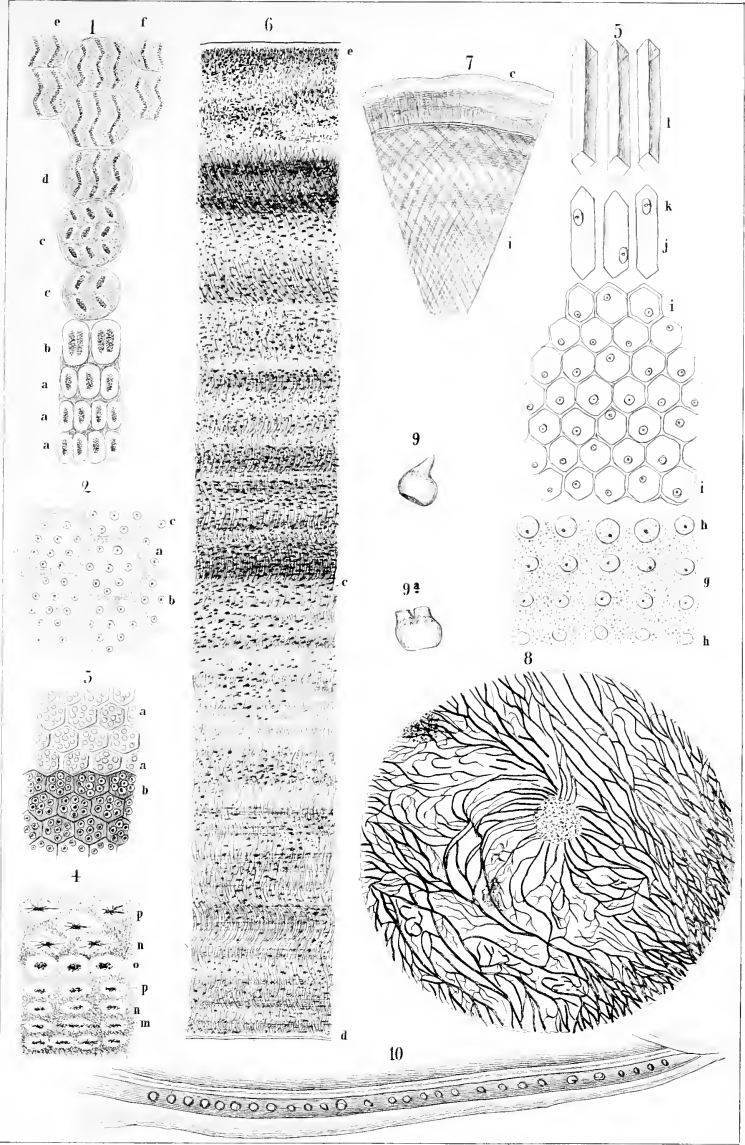
---

Fig

1. Schematische Darstellung der Entwicklung der Dentine oder Zahnschubstanz. — *aaa* primäre Dentinezellen mit einfachem Nucleus, *b* solche mit getheiltem Nucleus, *cc* solche mit verlängertem mehrfach getheiltem Nucleus, secundäre Dentinezellen, *d* secundäre Dentinezellen, deren verlängerte Nuclei sich zu Dentineröhren gestalten, *e* verkalkter Inhalt der Zellen.
2. Innere Oberfläche eines Theiles der verkalkten Dentinepulpa. — *a* Zwischenräume der primären Dentinezellen, *b* Anlage der secundären Zellen zu den Wandungen der Dentineröhren, *c* Areole derselben.
- 3<sup>a</sup>. verkalkte und 3<sup>b</sup>. nicht verkalkte Schicht der Pulpa.
4. Caementdurchschnitt. — *m* primäre Zellen, *p* deren körniger Nucleus, *n* deren feinkörniges Blastem.
5. Schematische Darstellung der Entwicklung des Schmelzes. — *hh* primäre Zellen in dem flüssigen Blastem *g* schwebend, *ii* dieselben zur Gewebebildung aneinander gereiht, *j* dieselben verlängert und walzig, mit verschwindendem Nucleus *k*, *l* dieselben zu Schmelzfasern verkalkt.
6. Durchschnitt durch den Stosszahn des asiatischen Elephanten bei 250 Linear-Vergrößerung, um die mikroskopische Structur des Elfenbeins zu zeigen.
7. Theil eines Querschnittes durch denselben Stosszahn, bei *i* die sich kreuzenden Linien des Elfenbeins, bei *c* das Cäment.
8. Vergrösserte Darstellung der Gefässe auf der Zahnkapsel des Schneidezahnes vom Kalbe.
9. 9<sup>a</sup>. Zahnkeime aus dem Oberkiefer eines Fötus von *Balaenoptera boops*; in natürl. Gr.
10. Dieselben in dem Kiefer steckend, verkleinert.

Fig. 1—8. (mikroskopische schematische Darstellungen) nach Owen.

Fig. 9. 10. nach Eschricht.





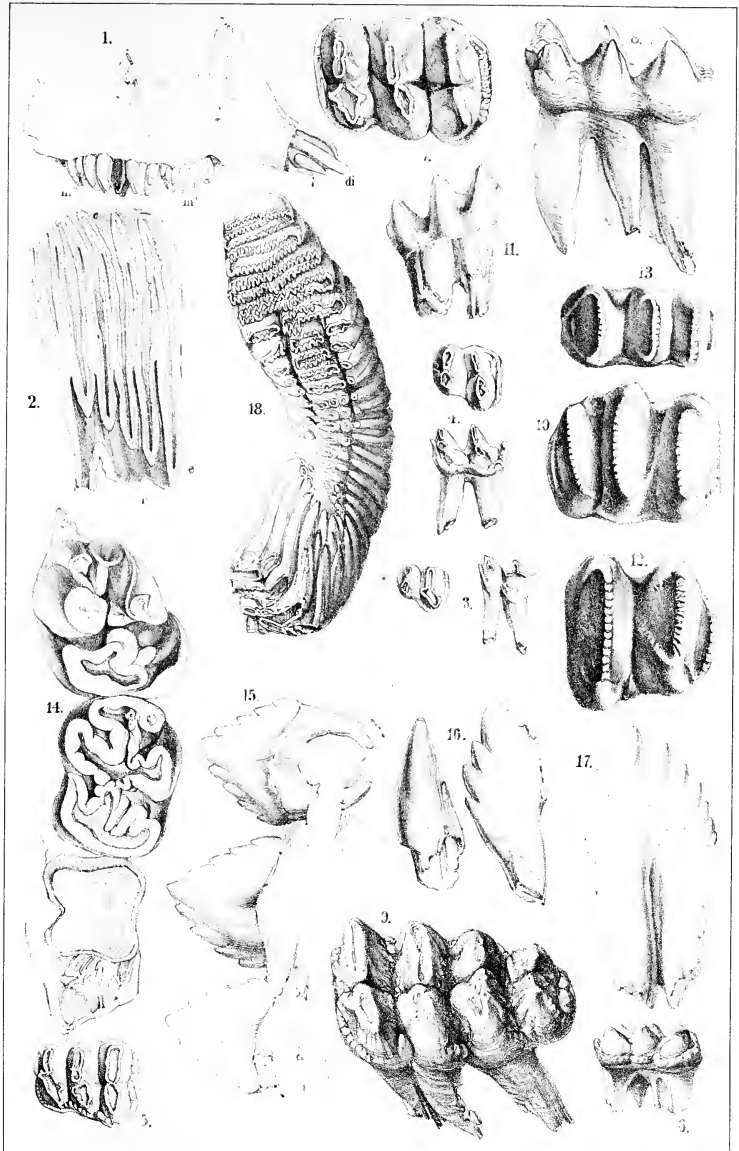
**Erklärung von Tafel XXXXI.**  
**Zahnsystem.**

---

Fig.

1. Rechter Oberkiefer eines sehr jungen Elephanten in  $\frac{2}{5}$  natürl. Gr. — *di* der Stosssahn des Milchgebisses, *i* der hervorbrechende bleibende Stosssahn, *m'* der erste, *m''* der zweite Backzahn. — Nach Owen. — Seite 109. 110.
  2. Theil des Längsschnittes vom Backzahn des indischen Elephanten. — *p* die gemeinschaftliche Pulpalhöhle, *e* die Schmelzplatten, welche die Dentine einschliessen und deren Zwischenräume durch das Cäment *c* gefüllt sind. — Nach Owen. — Seite 110.
  - 3—9. Mastodon giganteum, Backzähne des Unterkiefers in  $\frac{1}{4}$  natürl. Gr. — 3. und 4. Die beiden ersten Milchzähne von der Seite und von oben. — 5. und 6. Dieselben Ansichten des dritten. — 7. und 8. Dieselben des zweiten ächten Mahlzahnes, alle nach Owen. — 9. Der letzte Mahlzahn mit fragmentärer Wurzel, Original. — Seite 112.
  - 10—13. Dinotherium giganteum, Backzähne, verkleinert, nach Kaup, und zwar 10. und 11. obere und Seitenansicht des dritten der rechten Reihe, — 12. obere Ansicht des noch nicht abgenutzten vierten, — 13. dritter letzter Milchbackzahn des Unterkiefers. — Seite 104.
  14. Halitherium Cuvieri, drei untere Mahlzähne in natürl. Gr., nach Blainville. — Seite 104.
  15. Squalodon, drei Backzähne, verkleinert, nach Scilla. — Seite 105.
  16. Zeuglodon brachyspondylus, Zähne, verkleinert, nach Müller. — Seite 105.
  17. Zeuglodon macrospondylus, ein Zahn, verkleinert, nach Emmons. — Seite 105.
  18. Elephas primigenius, letzter unterer Mahlzahn, stark verkleinert, nach Owen. — Seite 111.
-





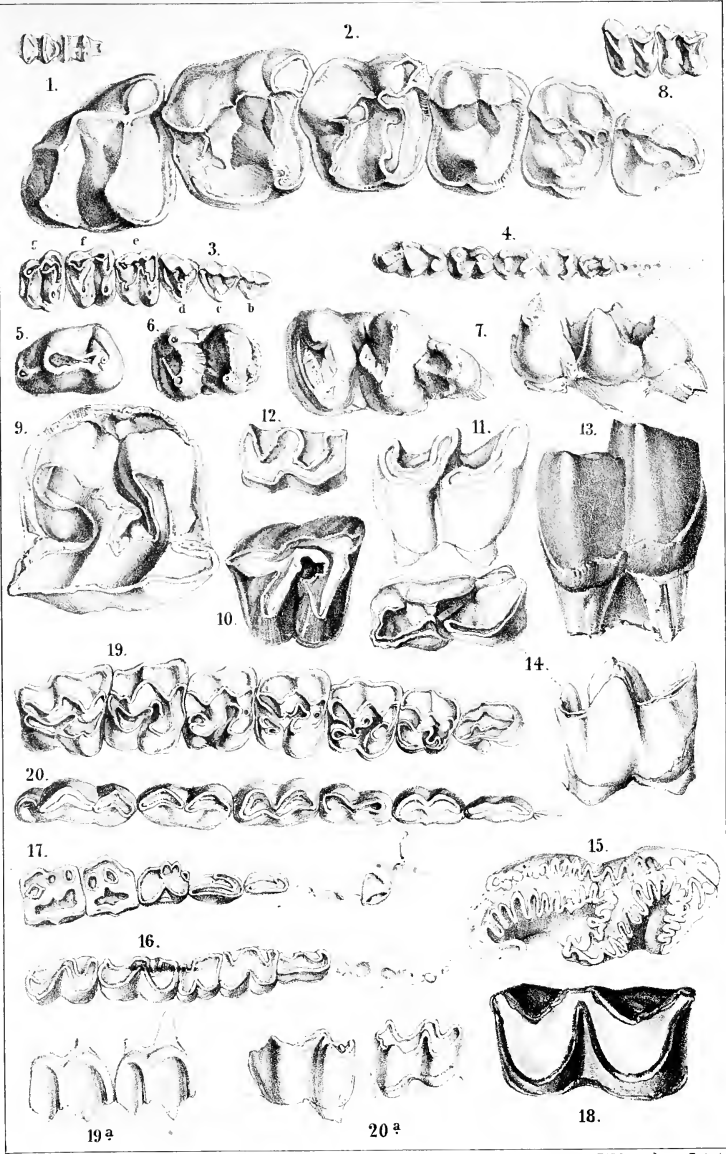


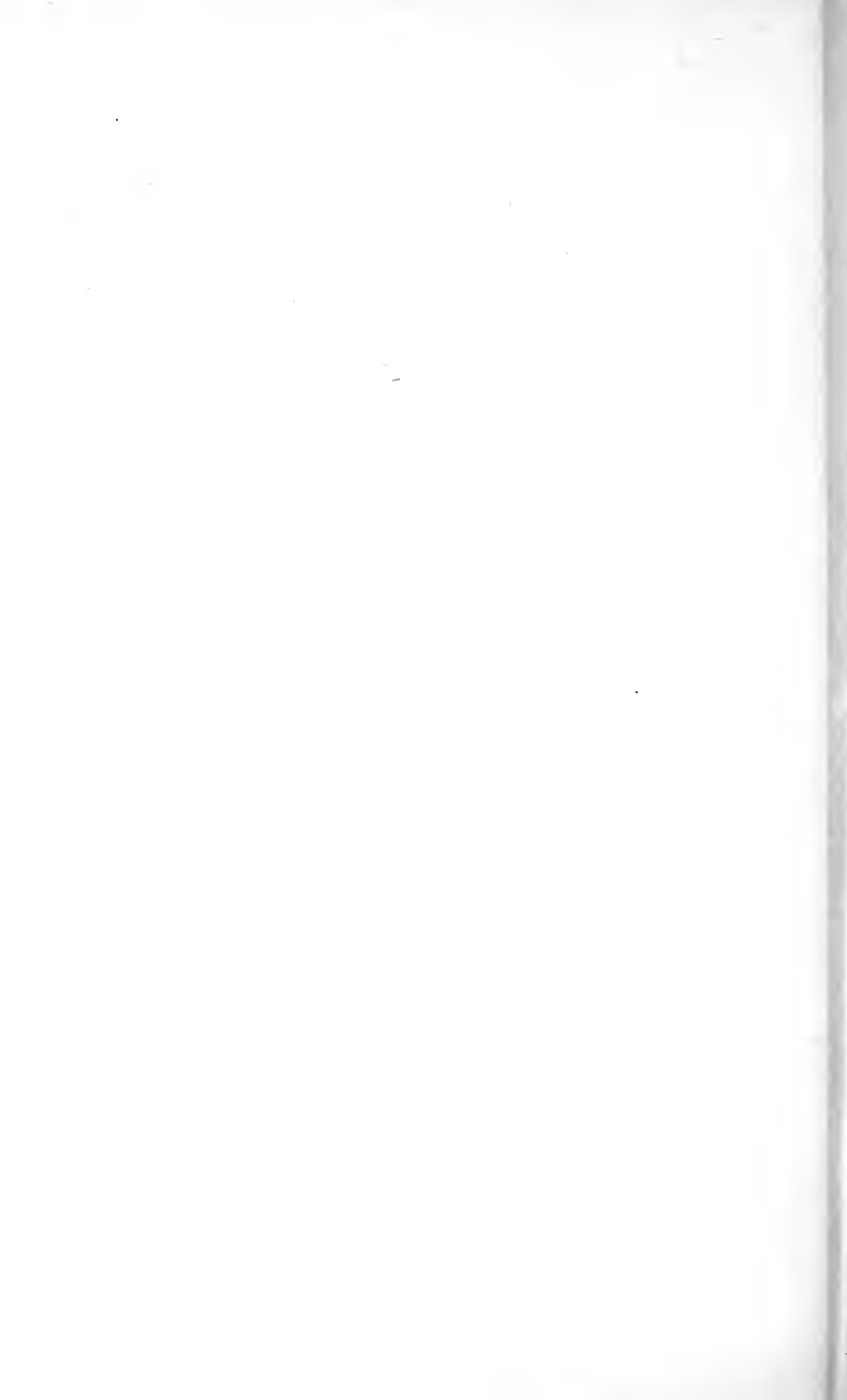
**Erklärung von Tafel XXXII.**  
**Zahnsystem.**

---

Fig.

1. *Tapirus hyracinus*, die beiden letzten Backzähne des linken Unterkiefers von der Kaufläche betrachtet, in natürl. Gr., nach Gervais. — Seite 114.
2. *Lophiodon isselense*, die sechs oberen Backzähne von der Kaufläche betrachtet,  $\frac{2}{3}$  natürl. Gr., nach Gervais; vor dem kleinsten ersten eine den Eckzahn trennende Lücke. — Seite 114.
3. *Lophiodon (Pachynolophus) Duvali*, sechs obere Backzähne von der Kaufläche in natürl. Gr., nach Gervais; der sehr kleine erste Lückzahn fehlt, *b c d* die drei folgenden Backzähne, *e f g* die Mahlzähne. — Seite 114.
4. *Lophiotherium cervulum*, rechte untere Backzahnreihe von der Kaufläche in natürl. Gr., nach Gervais; von den beiden ersten Zähnen sind nur die Alveolen gezeichnet. — Seite 114.
5. 6. 7. *Listriodon Larteti*. — 5. Erster unterer Mahlzahn, 6. dritter und 7. letzter unterer Mahlzahn in natürl. Gr., nach Gervais. — Fig. 7. von der Kaufläche und der Seitenansicht. — Seite 114.
8. *Anchilophus Desmaresti*, die beiden letzten oberen Mahlzähne von der Kaufläche in natürl. Gr., nach Gervais. — Seite 114.
9. *Rhinoeeros incisivus*, zweiter oberer Backzahn der rechten Reihe von der Kaufläche in natürl. Gr. — Seite 115.
10. *Rhinoeeros nebrascensis*, drittletzter oberer Backzahn des rechten Kiefers von der Kaufläche in natürl. Gr., nach Leidy. — Seite 115.
11. *Rhinoeeros tichorhinus*, hinterer unterer Backzahn von der Seite; aus dem Diluvium von Quedlinburg. — Seite 115.
12. *Rhinoeeros Schleiermacheri*, zweiter unterer Backzahn des linken Kiefers von der Kaufläche in natürl. Gr., nach Kaup. — Seite 115.
13. *Rhinoeeros occidentalis*, äussere Ansicht eines hinteren unteren Mahlzahnes des rechten Kiefers in natürl. Gr., nach Leidy. — Seite 115.
11. *Rhinoeeros tichorhinus*, äussere und obere Ansicht des dritten Milchbackzahnes linkerseits, etwas verkleinert, nach einem Kiefer aus dem Diluvium von Quedlinburg. — Seite 116.
15. *Elasmotherium*, unterer Backzahn von der Kaufläche, verkleinert, nach Cuvier.
16. 17. *Macrauchenia patagonica*. — 16. Die untere Backzahnreihe von der Kaufläche, von den ersten nur die Alveolen. — 17. Die obere Zahnreihe des rechten Kiefers mit den Schneidezähnen und den Backzähnen bis zum drittletzten,  $\frac{1}{3}$  natürl. Gr., nach Burmeister. — Seite 116.
18. *Titanotherium Prouti*, ächter unterer Mahlzahn von der Kaufläche,  $\frac{1}{2}$  natürl. Gr., nach Leidy. — Seite 117.
19. 20. *Palaeotherium crassum*, Backzahnreihen von der Kaufläche in  $\frac{1}{3}$  natürl. Gr. — 19. obere und 20. untere Reihe, nach Owen. — 19<sup>a</sup>. Zwei mittlere obere Backzähne des *Palaeotherium medium* von der Aussenseite und 20<sup>a</sup>. zwei dergleichen untere von *Palaeotherium annectens*, nach Gervais. — Seite 117.





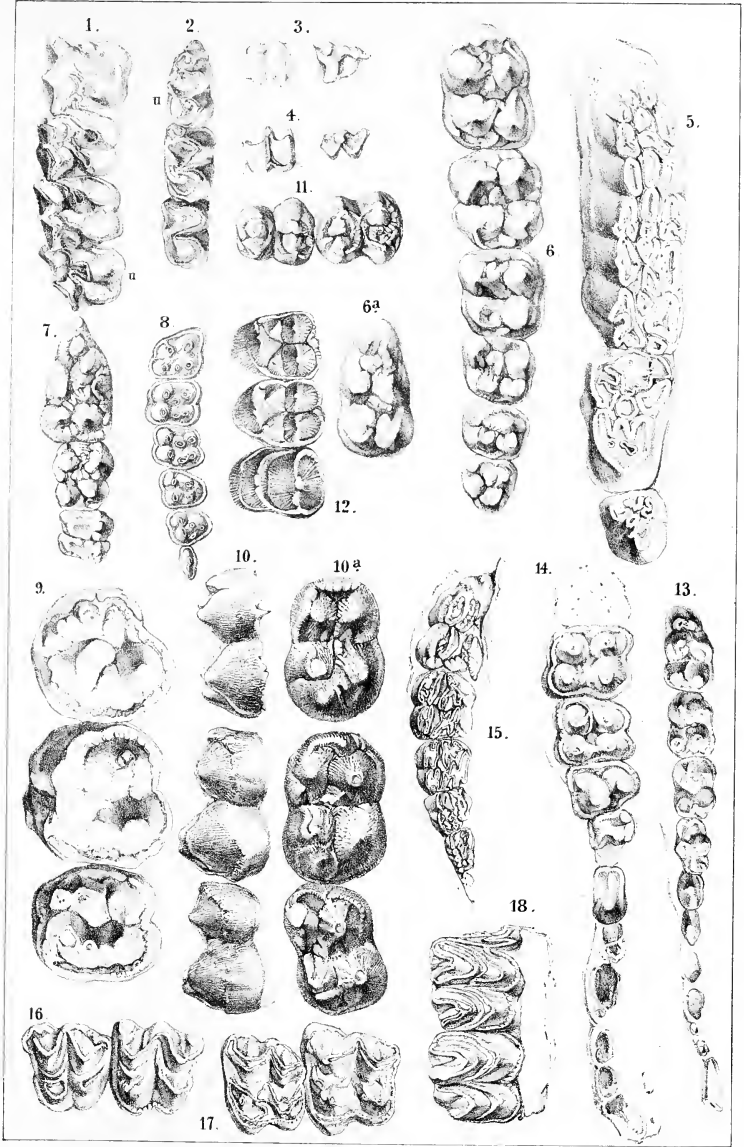
**Erklärung von Tafel XXXXIII.  
Zahnsystem.**

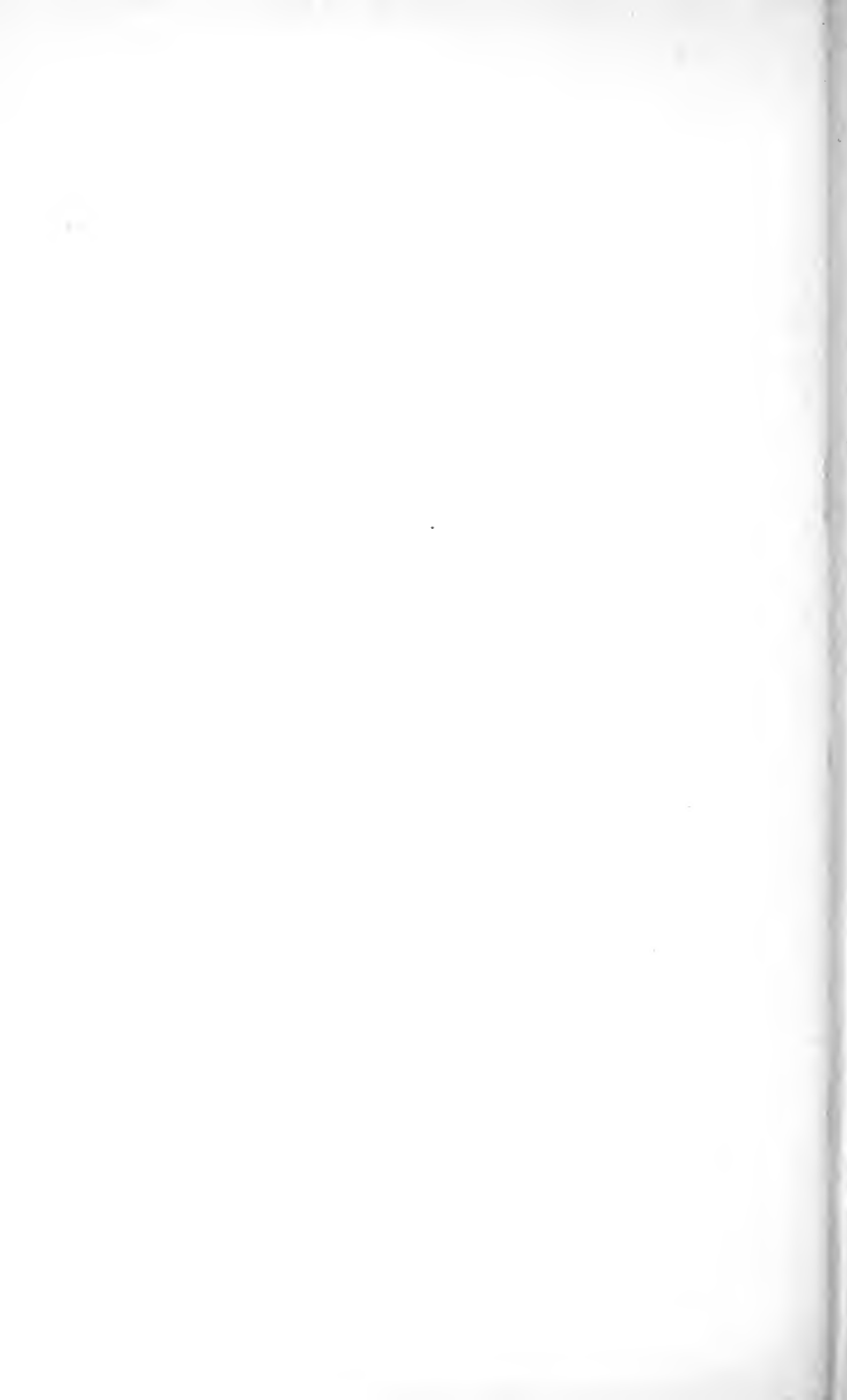
---

Fig.

1. 2. *Anchitherium Bairdi*, Backzähne von der Kaufläche in natürl. Gr., nach Leidy. — 1. Die vier letzten des rechten Oberkiefers. — 2. Die drei letzten des linken Unterkiefers. — *u* der letzte in beiden Reihen. — Seite 118.
3. 1. *Hyrax syriacus*, Backzähne in natürl. Gr., Original. — 3. Fünfter Backzahn des linken Oberkiefers von der Kaufläche und der Aussenseite. — 4. Sechster Backzahn der unteren Reihe von oben und von der Aussenseite. — Seite 119.
5. *Phacochoerus Pallasi*, rechte obere Backzahnreihe von der Kaufläche in natürl. Gr., nach Owen. — Seite 120.
6. *Dicotyles labiatus*, obere rechte Backzahnreihe von der Kaufläche in natürl. Gr., Original. — Seite 121.
7. *Sus scrofa*, die drei letzten Backzähne der linken oberen Reihe der Berkshirer Cultur-rasse von der Kaufläche in  $\frac{1}{2}$  natürl. Gr., nach v. Nathusius. — Seite 122.
8. *Hyracotherium leporinum*, linke obere Backzahnreihe von der Kaufläche in natürl. Gr., nach Owen. — Seite 123.
9. *Elotherium (Entelodon) magnum*, die drei letzten oberen Backzähne von der Kaufläche in  $\frac{2}{3}$  natürl. Gr., nach Gervais. — Seite 124.
10. 10<sup>a</sup>. *Elotherium (Archaeotherium) Mortoni*, der letzte Lück- und die ächten Mahlzähne des linken Unterkiefers, bei 10<sup>a</sup>. von der Kaufläche, bei 10 von der Aussenseite in natürl. Gr., nach Leidy. — Seite 124.
11. *Perchoerus probus*, Kaufläche der beiden letzten unteren Mahlzähne in natürl. Gr., nach Leidy. — Seite 124.
12. *Leptochoerus spectabilis*, Kaufläche des letzten vorderen und der beiden folgenden ächten Mahlzähne der rechten oberen Reihe, nach Leidy. — Seite 124.
13. 14. *Palaeochoerus typus*, beide Zahnreihen in natürl. Gr. von den Kauflächen, nach Gervais. — 13. rechte untere, 14. rechte obere, von den Eck- und ersten Lückzähnen nur die Alveolen. — Seite 125.
15. *Sus (Hippohyus) sivalensis*, die fünf hinteren Backzähne der linken oberen Reihe von der Kaufläche, verkleinert, nach Cautley und Falconer. — Seite 126.
16. *Hyopotamus porcinus*, Kaufläche der beiden vorletzten Mahlzähne des linken Oberkiefers in natürl. Gr., nach Gervais. — Seite 126.
17. *Anthracotherium magnum*, Kaufläche der beiden letzten oberen Mahlzähne der linken Reihe,  $\frac{1}{3}$  der natürl. Gr., nach Gervais. — Seite 127.
18. *Merycopotamus dissimilis*, Kaufläche der beiden letzten oberen Mahlzähne in  $\frac{1}{2}$  natürl. Gr., nach Cautley und Falconer. — Seite 127.





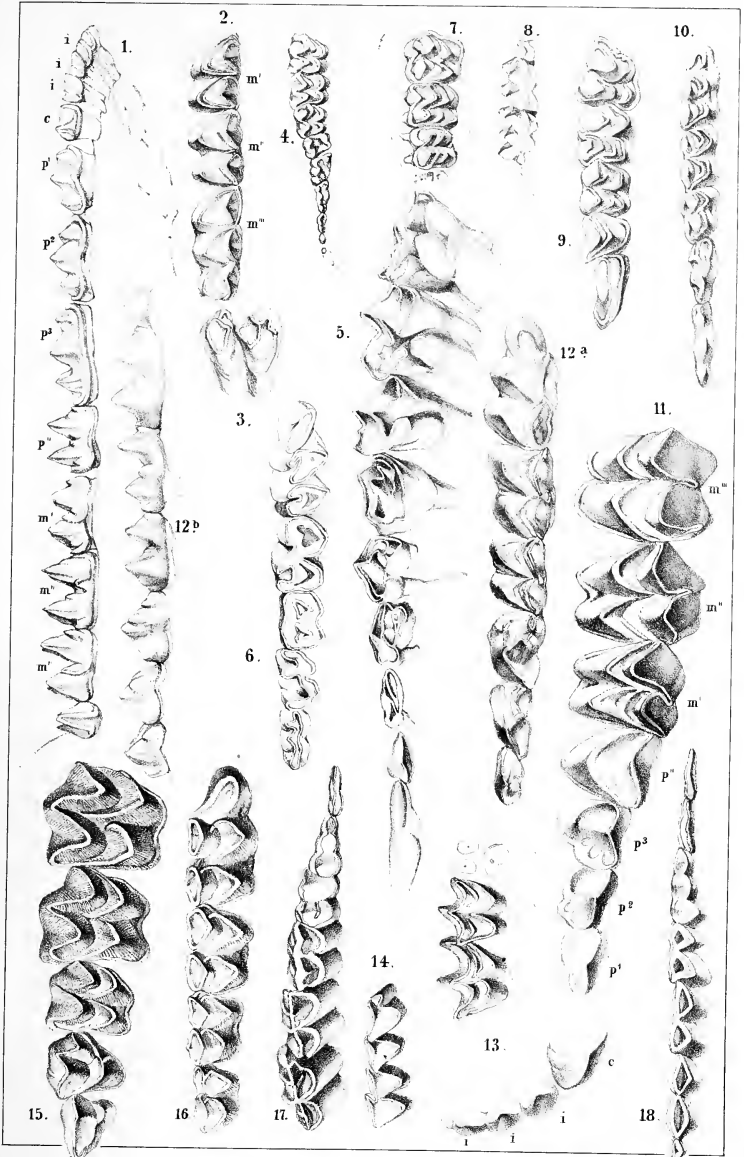


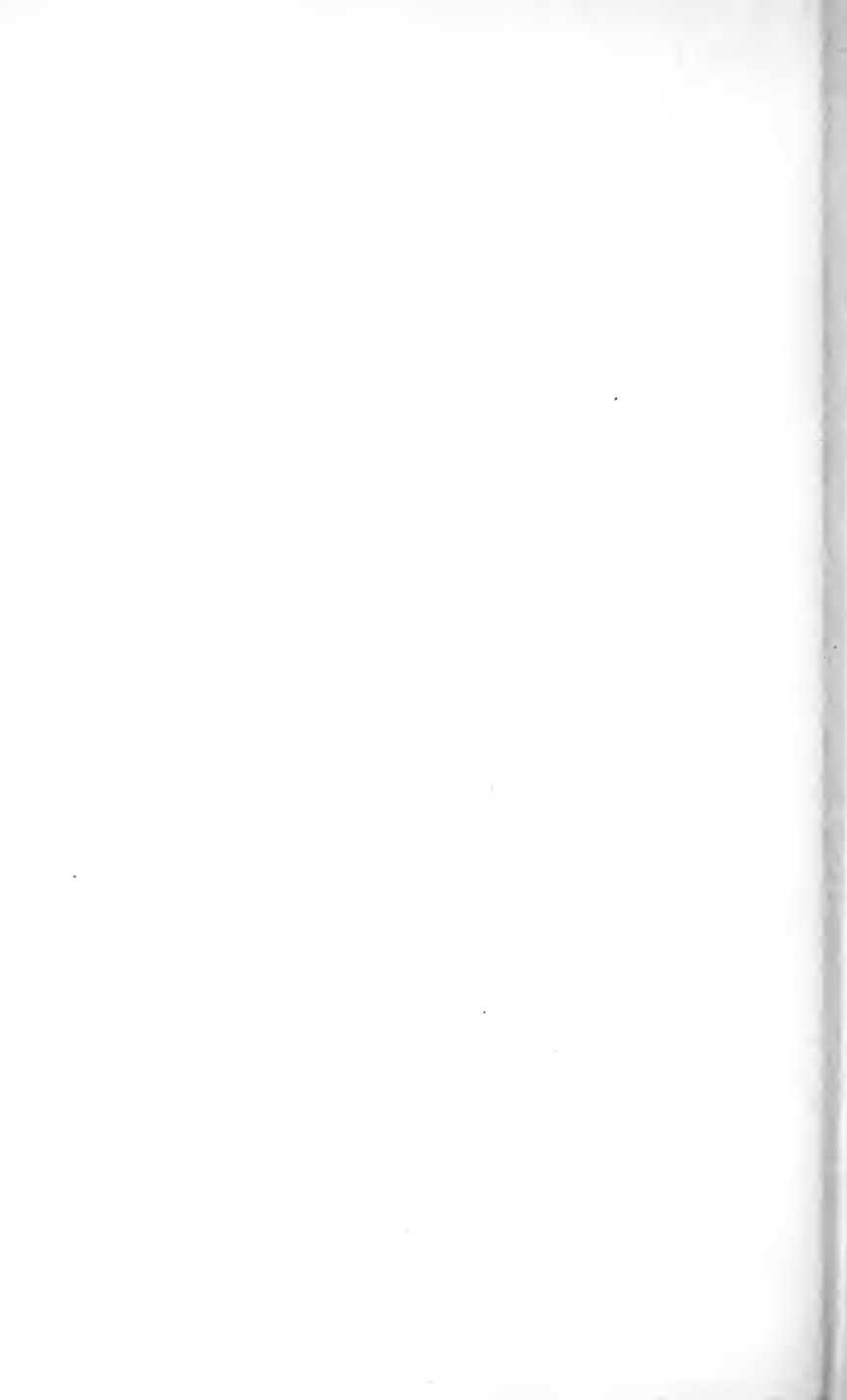
**Erklärung von Tafel XXXXIV.**  
**Zahnsystem.**

---

Fig.

1. 2. 3. *Dichodon cuspidatus* nach Owen. — 1. Untere Zahnreihe von der inneren Seite, *iii* Schneidezähne, *c* Eckzahn, *p*<sup>1</sup>—*p*<sup>4</sup> vordere Back- oder Lückzähne, *m*<sup>1</sup>*m*<sup>2</sup>*m*<sup>3</sup> ächte Mahlzähne. — 2. Die drei ächten Mahlzähne des Unterkiefers von oben. — 3. Ein oberer Mahlzahn von der Kaufläche. — Seite 128.
4. *Caenotherium commune*, linke obere Zahnreihe von der Kaufläche in natürl. Gr. nach Gervais. — 3 Schneide-, 1 Eck-, 4 Lück-, 3 Mahlzähne. — Seite 129.
5. 6. *Anoplotherium commune* in halber natürl. Gr. nach Cuvier. — 5. Obere Zahnreihe von innen und oben. — 6. Die fünf letzten Backzähne des Unterkiefers von der Kaufläche. — Seite 130.
7. 8. *Dichobune leporinum*, Mahlzähne nach O. Fraas. — 7. Drei hintere Mahlzähne des linken Oberkiefers von der Kaufläche. — 8. Die zwei letzten unteren Mahlzähne des rechten Kiefers von der Seite. — Seite 130.
9. 10. *Xiphodon gracile*, Backzahnreihe von der Kaufläche in natürl. Gr. nach Gervais. — 9. Die fünf letzten Backzähne der linken oberen Reihe. — 10. Ebendieselben der linken unteren Reihe. — Seite 130.
11. *Oreodon major*, rechte obere Zahnreihe von der Kaufläche in natürl. Gr. nach Leidy. — *iii* Schneidezähne, *p*<sup>1</sup>—*p*<sup>4</sup> Lückzähne, *m*<sup>1</sup>*m*<sup>2</sup>*m*<sup>3</sup> ächte Mahlzähne. — Seite 132.
- 12<sup>a</sup>. 12<sup>b</sup>. *Oreodon Culbertsoni*, untere rechte Backzahnreihe von innen und oben und von der Innenseite in natürl. Gr. nach Leidy. — 3 Lück- und 3 ächte Mahlzähne. — Seite 132.
13. 14. *Leptauchenia decora*, die beiden letzten Mahlzähne von der Kaufläche in natürl. Gr. nach Leidy. — 13. Die oberen der rechten Reihe. — 14. Die unteren der linken Reihe. — Seite 133.
15. 16. *Agriochoerus latifrons*, Backzahnreihen von der Kaufläche in natürl. Gr. nach Leidy. — 15. der oberen, 16. der unteren Reihe. — Seite 133.
17. 18. *Poebrotherium Wilsoni*, Backzahnreihen von der Kaufläche in natürl. Gr. nach Leidy. — 17. rechte obere Reihe ohne ersten weit abgerückten Lückzahn, 18. der rechten unteren Reihe. — Seite 135.





## **Erklärung von Tafel XXXXIVa.**

(Auf Seite 137—145 als Tafel 45 citirt.)

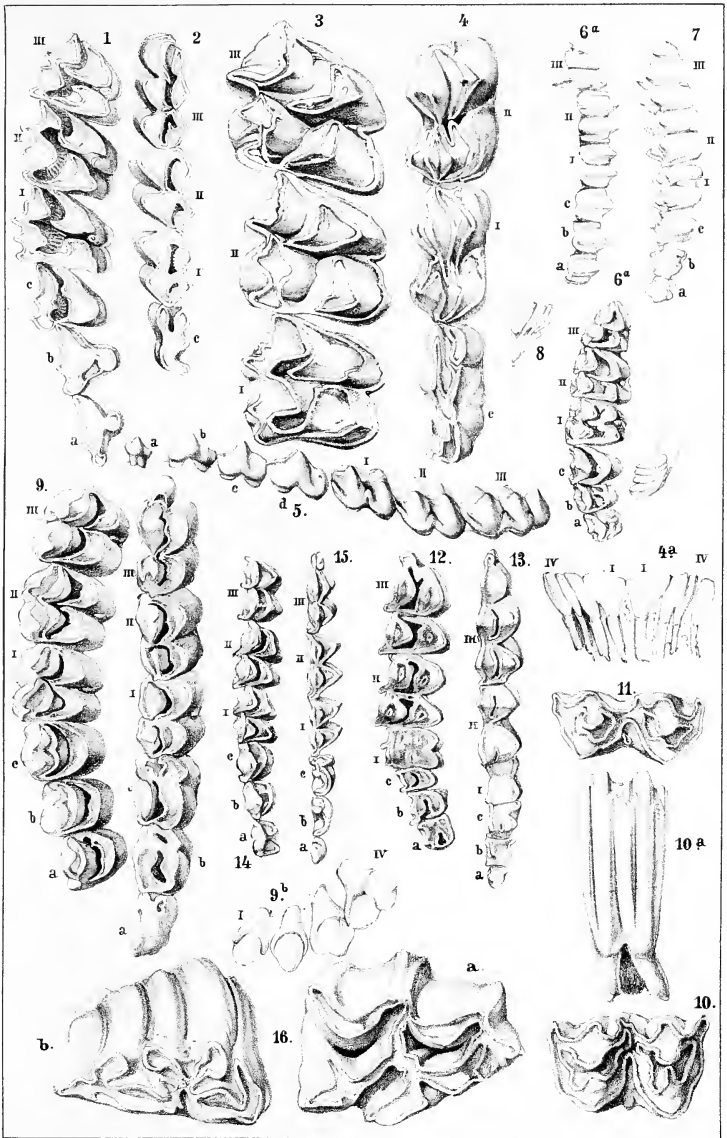
**Osteologie.**

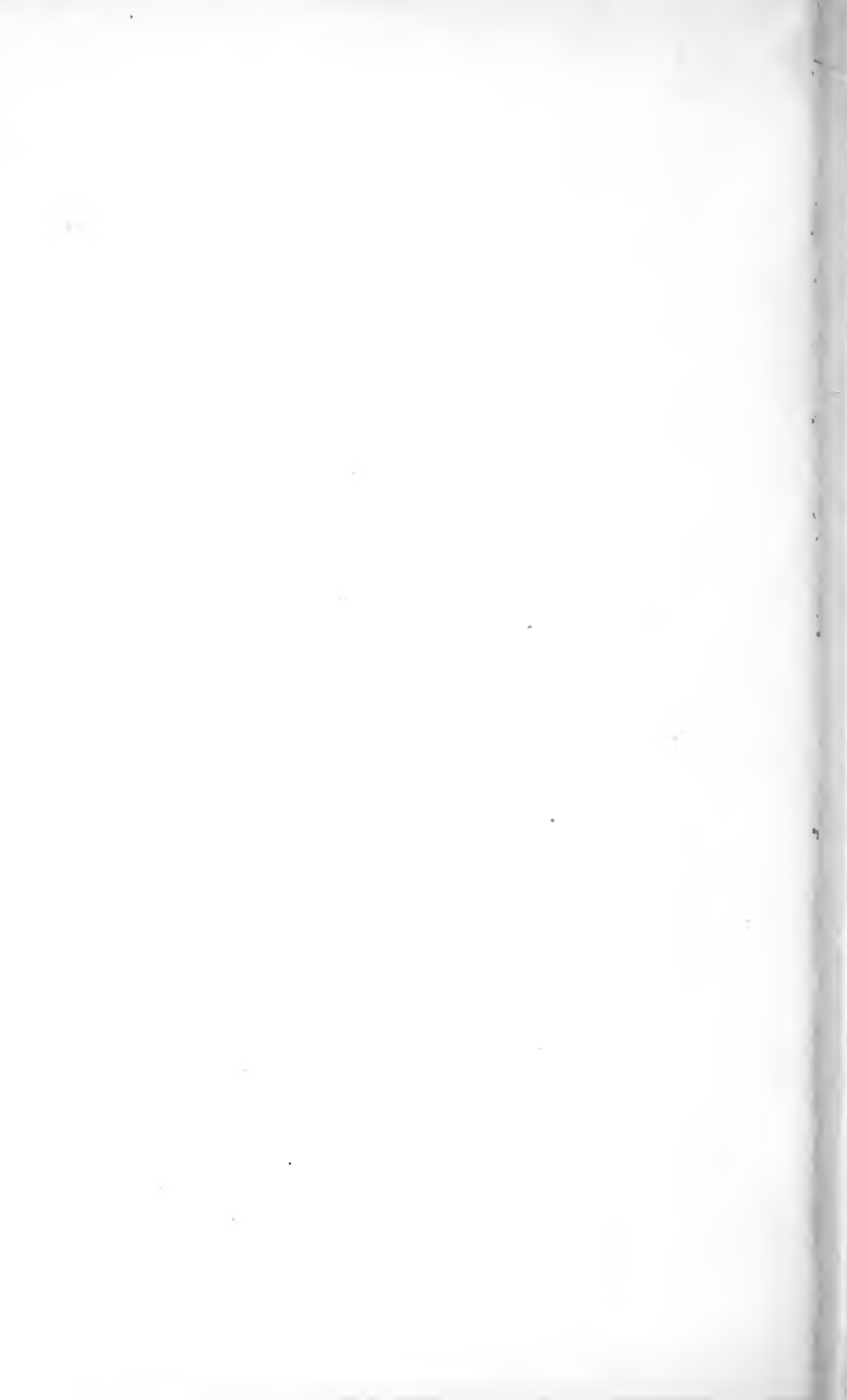
Es bezeichnen *abcd* die Lückzähne, *I II III* die ächten Mahlzähne, *I* der erste und *IV* der äussere Schneidezahn.

Fig.

1. Vollständige Backzahnreihe von der Kaufläche des linken Oberkiefers von *Leptomeryx Evansi*, 2mal vergrössert. — Nach Leidy. — Seite 137.
2. Letzter Lückzahn und die drei ächten Backzähne des rechten Unterkiefers derselben Art, 2mal vergrössert. — Nach Leidy. — Seite 137.
3. Aechte obere Backzähne der linken Seite von *Dorcatherium Naui*. — 4. Der letzte untere Lückzahn und die ersten zwei ächten Backzähne des Unterkiefers, 4<sup>a</sup>. die Schneidezähne des *Dorcatherium Naui*. — Nach Kaup. — Seite 137.
5. *Palaeomeryx Feignouxi*, die untere Zahnreihe von der Aussenseite, nach einem Kiefer aus den miocänen Fahlunen von Langy im Dept. Allier, in natürl. Grösse. — Seite 137.
- 6—8. *Cervus axis*, in  $\frac{1}{2}$  natürl. Grösse nach einem Schädel des hiesigen Museums:  
6. Obere Zahnreihe des rechten Kiefers von Aussen. — 6<sup>a</sup>. Dieselbe von der Kaufläche.  
— 7. Untere Schneide- und Backzahnreihe der linken Seite von Aussen. — 8. Schneidezähne des linken Kiefers von vorn. — Seite 138.
9. *Camelopardalis*, nach d'Alton: 9. Obere Backzahnreihe von der Kaufläche. — 9<sup>a</sup>. Untere Backzahnreihe von der Kaufläche. — 9<sup>b</sup>. Schneidezähne von Innen. — Alle in halber natürl. Grösse. — Seite 139.
10. 11. *Bos bubalus*, vorletzter Backzahn des rechten Kiefers, 10 des obern von der Kaufläche, 10<sup>a</sup>. von der Aussenseite, 11 des untern von der Kaufläche, in  $\frac{2}{3}$  der natürl. Grösse; Original. — Seite 140.
12. 13. *Ovis steatopygos*, in  $\frac{2}{3}$  der natürl. Grösse nach dem Schädel des hiesigen zoolog. Museums: 12 Linke obere Backzahnreihe von der Kaufläche: — 13. Linke untere Backzahnreihe von der Kaufläche. — Seite 142.
14. 15. *Antilope mergens*, in natürl. Grösse nach dem Schädel des hiesigen zoolog. Museums: 14. Linke obere, — 15. Rechte untere Backzahnreihe von der Kaufläche. — Seite 142.
16. *Equus fossilis* aus dem Diluvium bei Quedlinburg in natürl. Grösse: 16<sup>a</sup>. Der letzte obere Backzahn der linken Seite. — 16<sup>b</sup>. Der letzte untere Backzahn der linken Seite. — Seite 143. 145.







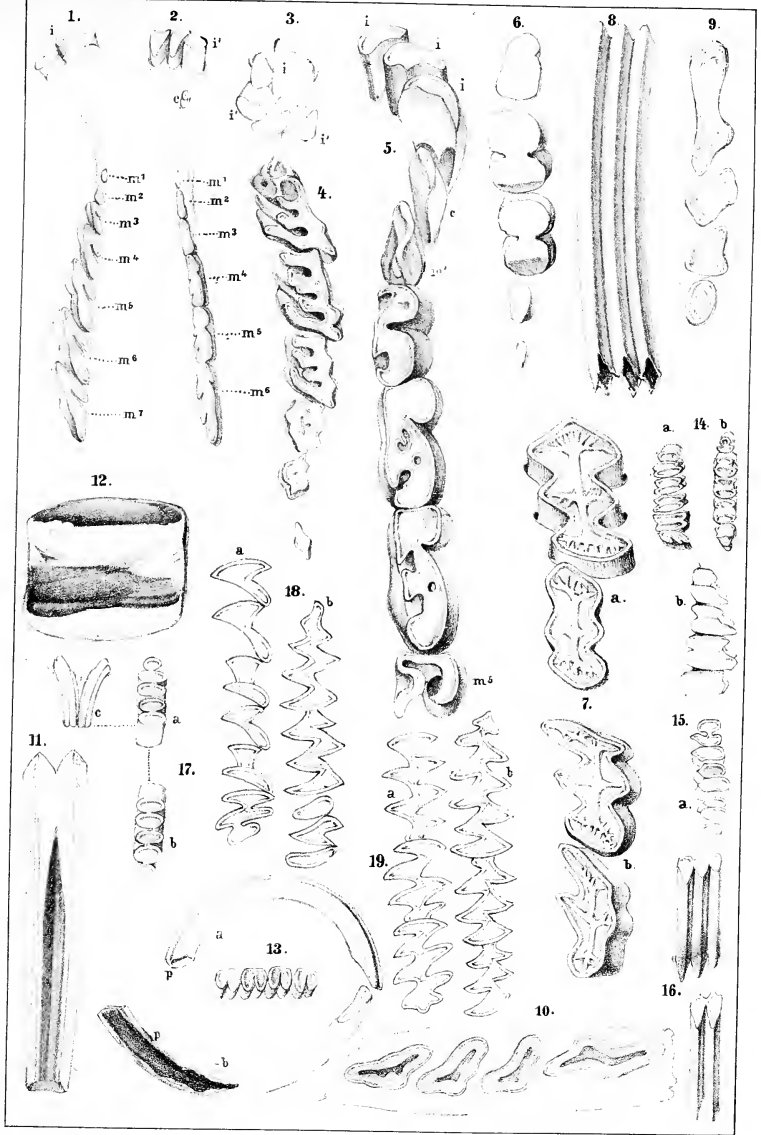
**Erklärung von Tafel XXXV.**

**Osteologie.**

---

Fig.

- 1—3. *Toxodon Burmeisteri*, stark verkleinert, nach Burmeister: 1. Rechte obere Schneide- und Backzähne. — 2. Linke untere Schneide- und Backzähne. — 3. Obere und untere Schneidezähne. — *ii* obere, *i' i'* untere Schneidezähne, *c* unterer Eckzahn, *m* 1—7 Backzahnreihe. — Seite 146.
4. 5. *Nesodon*, nach Owen: 4. Rechte obere Backzahnreihe von *Nesodon ovinus*. — 5. Rechte untere Zahnreihe von *Nesodon imbricatus*, *iii* Schneidezähne, *c* Eckzahn, *m* 1—5 Backzähne. — Seite 147.
6. *Orycteropus capensis*, untere Backzähne mit Ausnahme des ersten, in natürl. Grösse nach dem Schädel des hiesigen Museums. — Seite 147.
7. *Glyptodon asper*, nach Burmeister: 7<sup>a</sup>. Erster und zweiter oberer, 7<sup>b</sup>. erster und zweiter unterer Backzahn. — Seite 149.
8. *Panocthus tuberculatus*, nach Burmeister, verkleinert, seitliche Ansicht. — Seite 149.
9. *Mylodon robustus*, rechte untere Zahnreihe von der Kaufläche, nach Owen, verkleinert. — Seite 150.
10. *Scelidotherium leptocephalum*, Durchschnitt der untern Backzähne, nach Owen, verkleinert. — Seite 150.
11. *Megatherium*, senkrechter Durchschnitt eines Backzahns, nach Owen, verkleinert. — Seite 150.
12. *Megatherium*, vorletzter unterer Backzahn von der Kaufläche, nach Leidy. — Seite 150.
13. *Pedetes caffer*, nach dem Schädel des hiesigen Museums in natürlicher Grösse: *a* oberer, *b* unterer Nagzahn, *p* die Pulpalhöhle, am untern Zahn geöffnet, dazwischen die 4 untern Backzähne des rechten Unterkiefers von innen und oben gesehen. — Seite 151. 154.
14. *Lepus brasiliensis*, nach einem Schädel des hiesigen Museums, *a* obere, *b* untere Zahnreihe von der Kaufläche. — Seite 152.
15. *Titanomys visenoviensis*, nach Gervais, die vier untern Backzähne, *a* von der Kaufläche, *b* von der Seite. — Seite 152.
16. *Dolichotis patagonica*, zwei Backzähne, Original. — Seite 153.
17. *Geomys bursarius*, nach einem Schädel des hiesigen Museums, *a* obere, *b* untere Backzähne, *c* obere Nagzähne von vorn. — Seite 153.
18. *Lemmus norvegicus*, *a* obere, *b* untere Zahnreihe, stark vergrössert, nach einem Schädel des hiesigen Museums. — Seite 155.
19. *Lemmus torquatus*, *a* obere, *b* untere Zahnreihe, stark vergrössert, nach einem Schädel des hiesigen Museums. — Seite 155.





**Erklärung von Tafel XXXXVI.**

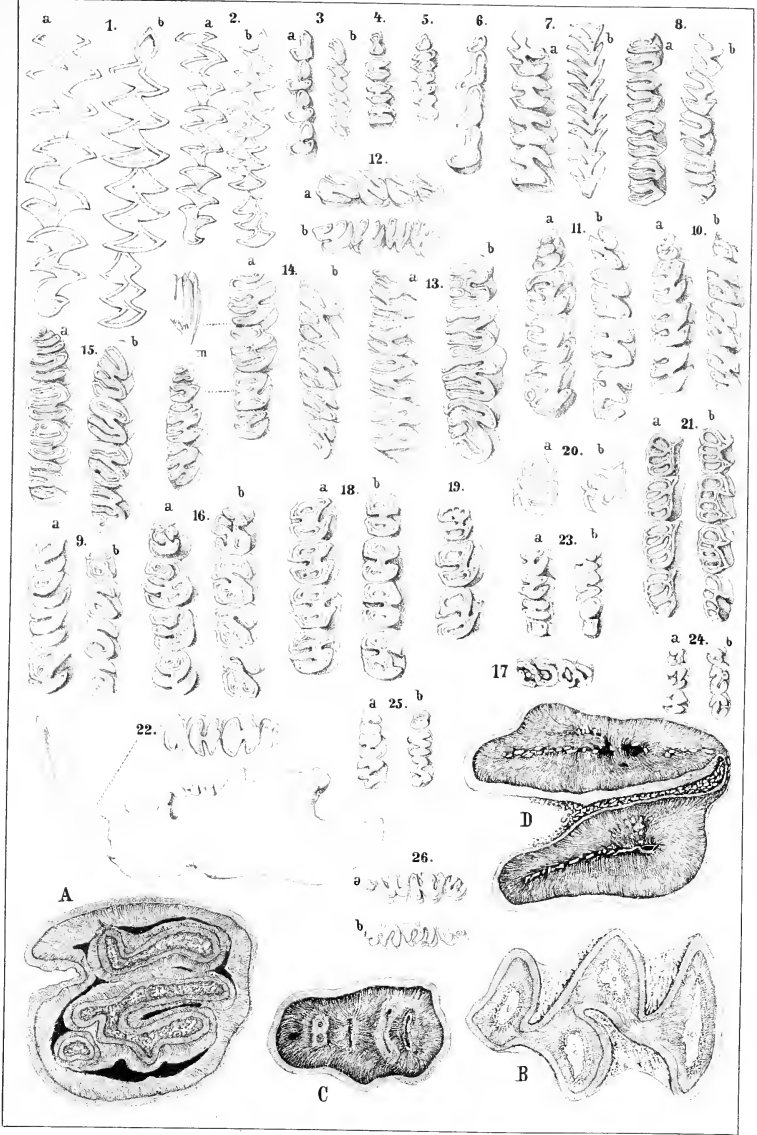
**Osteologie.**

---

Fig.

1. *Hypudaeus amphibius*, *a* obere, *b* untere Zahnreihe, stark vergrößert, nach einem Schädel des hiesigen Museums. — Seite 155.
  2. *Hypudaeus arvalis*, *a* obere, *b* untere Zahnreihe, stark vergrößert, nach einem Schädel des hiesigen Museums. — Seite 156.
  3. *Octodon Cummingi*, *a* obere, *b* untere Zahnreihe, in zweifacher Vergrößerung, Original. — Seite 156.
  4. *Schizodon fuscus*, obere Zahnreihe, in zweifacher Vergrößerung, Original. — Seite 157.
  5. *Spalacopus*, obere Zahnreihe, in zweifacher Vergrößerung, Original. — Seite 157.
  6. *Ctenomys fulvus*, obere Zahnreihe, in starker Vergrößerung, Original. — Seite 156.
  7. *Habrocoma Bennetti*, *a* obere, *b* untere Zahnreihe, dreifache Vergrößerung, Original. — Seite 157.
  8. *Loncheres cristatus*, *a* obere, *b* untere Zahnreihe, etwas vergrößert, Original. — Seite 157.
  9. *Echinomys myosurus*, *a* obere, *b* untere Zahnreihe, in dreifacher Vergrößerung, Original. — Seite 157.
  10. *Nelomys antricola*, *a* obere, *b* untere Zahnreihe, in starker Vergrößerung, Original. — Seite 157.
  11. *Mesomys spinosus*, *a* obere, *b* untere Zahnreihe, in starker Vergrößerung, Original. — Seite 157.
  12. *Plagiodontia aedium*, *a* obere, *b* untere Zahnreihe, in natürlicher Grösse, nach Dr. Cuvier. Seite 158.
  13. *Castor fiber*, *a* obere, *b* untere Zahnreihe, in natürlicher Grösse, Original. — Seite 158.
  14. *Myopotamus coypu*, *a* obere, *b* untere Zahnreihe, über *m* Seitenansicht eines nicht abgenutzten Zahnes, unter *m* obere Zahnreihe eines jungen Thieres, Original. — Seite 158.
  15. *Coelogenys paca*, *a* obere, *b* untere Zahnreihe, in natürlicher Grösse, Original. — S. 158.
  16. *Hystrix cristata*, *a* obere, *b* untere Zahnreihe, in natürlicher Grösse, Original. — S. 159.
  17. *Hystrix brevispina*, die obere Backzähne im Milchgebiss, in natürlicher Grösse, Original. — Seite 159.
  18. *Cereolabes*, *a* obere, *b* untere Zahnreihe, vergrößert, Original. — Seite 159.
  19. Die obere Zahnreihe desselben Thieres bei beginnender Abnutzung, Original. — S. 159.
  20. *Chaetomys subspinosus*, *a* rechter oberer, *b* rechter unterer Backzahn, nach Waterhouse. — Seite 159.
  21. *Anomalurus Pelei*. *a* obere, *b* untere Zahnreihe, in zweifacher Vergrößerung, Original. — Seite 159.
  22. *Bathyergus suillus*, rechte untere Zahnreihe in zweifacher Vergrößerung und der Unterkiefer von der Aussenseite in natürlicher Grösse, Original. — Seite 160.
  23. *Georychus capensis*, *a* obere, *b* untere Zahnreihe, in zweifacher Vergrößerung, Original. — Seite 160.
  24. *Spalax typhlus*, *a* obere, *b* untere Zahnreihe, in zweifacher Vergrößerung, Original. — Seite 160.
  25. *Dipus telum*, *a* obere, *b* untere Zahnreihe, in zweifacher Vergrößerung, Original. — Seite 162.
  26. *Dipus decumanus*, *a* obere, *b* untere Zahnreihe, in zweifacher Vergrößerung, Original. — Seite 162.
- A.* Vergrößerter Durchschnitt eines Backzahnes von *Castor fiber*, um die Vertheilung der drei Substanzen, des Cäments, des Schmelzes und der Dentine zu zeigen, nach Erdl.  
*B.* *Hypudaeus amphibius*, vergrößerter Durchschnitt eines Backzahns, nach Erdl.  
*C.* *Mus decumanus*, vergrößerter Durchschnitt eines Backzahns, nach Erdl.  
*D.* *Lepus timidus*, vergrößerter Durchschnitt eines Backzahns, nach Erdl.







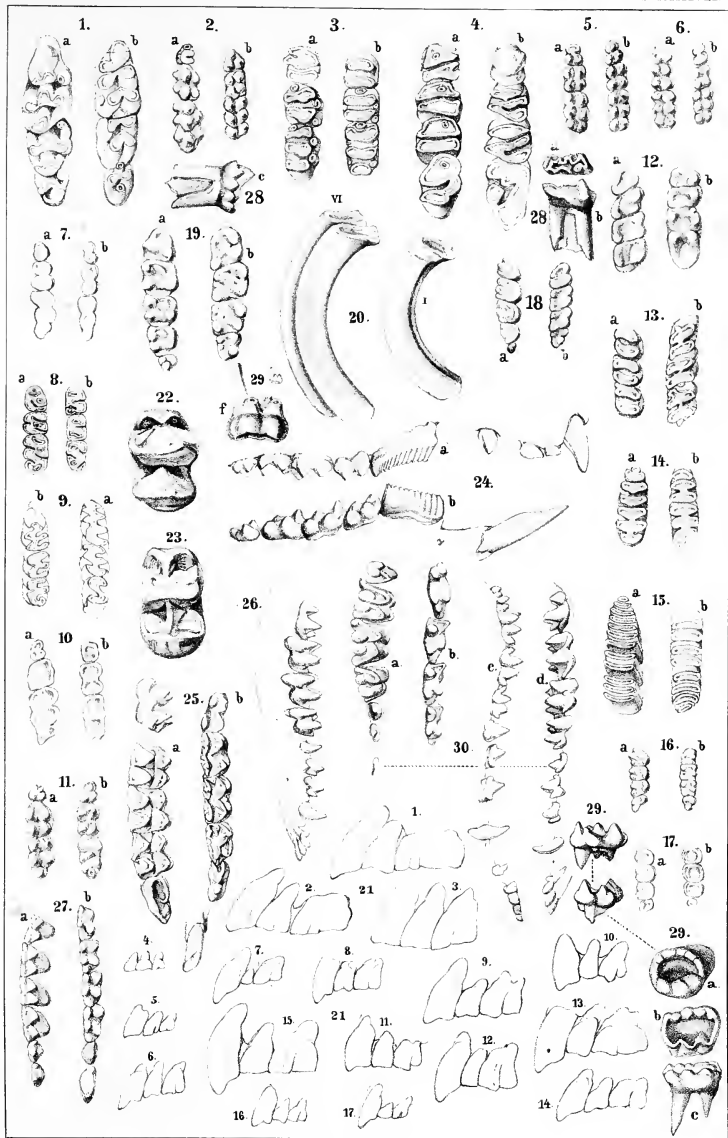
**Erklärung von Tafel XXXXVII.**

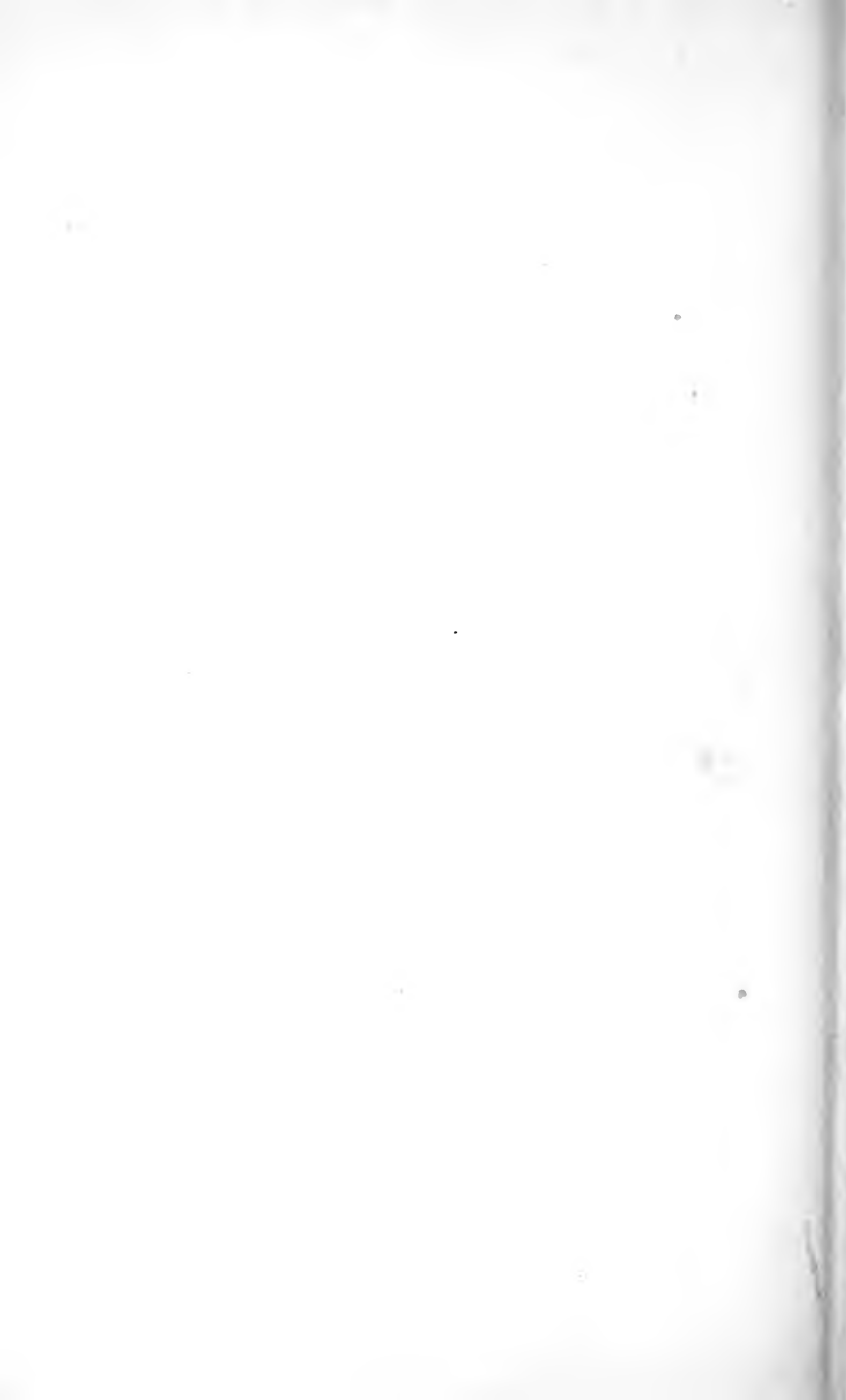
**Osteologie.**

---

Fig.

1. *Mus decumanus*, *a* obere, *b* untere Zahnreihe, vergrößert, Original. — Seite 162.
2. *Mus sylvaticus*, *a* obere, *b* untere Zahnreihe, vergrößert, Original. Seite 163.
3. *Cricetomys gambianus*, *a* obere, *b* untere Zahnreihe, in zweifacher Vergrößerung, Original. — Seite 163.
4. *Sacomys*, *a* obere, *b* untere Zahnreihe, vergrößert, nach Fr. Cuvier. — Seite 164.
5. *Calomys subflavus*, *a* obere, *b* untere Zahnreihe, in zweifacher Vergrößerung, Original. Seite 165.
6. *Calomys orobius*, *a* obere, *b* untere Zahnreihe, in zweifacher Vergrößerung, Original. — S. 165.
7. *Oxymyterus rostellatus*, *a* obere, *b* untere Zahnreihe, vergrößert, Original. — Seite 165.
8. *Neotomys apicalis*, *a* obere, *b* untere Zahnreihe, vergrößert, nach Peters. — Seite 165.
9. *Reithrodon cuniculoides*, *a* obere, *b* untere Zahnreihe, vergrößert, nach Owen. — S. 165.
10. *Aeomys spinosissimus*, *a* obere, *b* untere Zahnreihe, vergrößert, nach Peters. — S. 165.
11. *Sminthus betulinus*, *a* obere, *b* untere Zahnreihe, vergrößert, Original. — Seite 166.
12. *Hydromys*, *a* obere, *b* untere Zahnreihe, vergrößert, Original. — Seite 166.
13. *Petromys typicus*, *a* obere, *b* untere Zahnreihe, vergrößert, Original. — Seite 166.
14. *Meriones schlegeli*, *a* obere, *b* untere Zahnreihe, vergrößert, Original. — Seite 166.
15. *Euryotis irrorata*, *a* obere, *b* untere Zahnreihe, vergrößert, Original. — Seite 167.
16. *Myoxos nitela*, *a* obere, *b* untere Zahnreihe, vergrößert, Original. Seite 167.
17. *Graphiurus capensis*, *a* obere, *b* untere Zahnreihe, vergrößert, Original. — Seite 167.
18. *Spermophilus Hoodii*, *a* obere, *b* untere Zahnreihe, vergrößert, Original. — Seite 168.
19. *Sciurus rufiventris*, *a* obere, *b* untere Zahnreihe, in zweifacher Vergrößerung, Original. Seite 168.
20. *Phascolomys*, *II'* und *I* unterer Backzahn in natürlicher Grösse, Original. — Seite 169.
21. *Macropus*, die obere Schneidezähne in der Seitenansicht: 1. 2. *Macropus giganteus*.  
3. *M. rufus*. 4. *M. fasciatus*. 5. *M. hirsutus*. 6. *M. Houtmanni*. 7. *M. parma*.  
*S. M. dama*. 9. *M. Bennetti*. 10. *M. penicillatus*. 11. *M. Riceardieri*. 12. *M. nalabatus*.  
13. *M. agilis*. 14. *M. dorsalis*. 15. *M. antilopinus*. 16. *M. brachyurus*. 17. *M. leporoides*. — Seite 170.
22. *Macropus atlas*, ein Backzahn, nach Owen. — Seite 171.
23. *Macropus titan*, ein Backzahn, nach Owen. — Seite 171.
24. *Hypsiorymnus euniculus*, *a* obere, *b* untere Zahnreihe, um  $\frac{1}{3}$  vergrößert, Original. — S. 171.
25. *Phascolaretos ursinus*, *a* obere, *b* untere Zahnreihe, Original. — Seite 171.
26. *Chironectes variegatus*, Unterkiefer, vergrößert, Original. — Seite 175.
27. *Didelphys philander*, *a* obere, *b* untere Zahnreihe, vergrößert, Original. — Seite 175.
28. *Microlestes antiquus*, nach Plieninger, vergrößert, unterer Backzahn *a* von der Kaufläche, *b* von der Innen-, *c* von der Aussenseite. — Seite 174.
29. *Microlestes Moorei*, nach Owen, vergrößert, *a* oberer Backzahn von der Kaufläche, *b* unterer Backzahn von der Kaufläche und *c* von der Seite, *de* unterer Backzahn von der Aussen- und Vorderseite, *f* oberer Backzahn von der Innenseite. — Seite 174.
30. *Perameles obesula*, *a* obere Zahnreihe von der Kaufläche, *e* von der Aussenseite, *b* untere Zahnreihe von der Kaufläche, *d* von der Seite, zweifach vergrößert, Original. — Seite 176.





**Erklärung von Tafel XXXXVIII.**

**Osteologie.**

---

Fig.

1. Rechter Unterkiefer von *Thylacotherium Prevosti* von Stonesfield, a. natürliche Grösse, b. vergrössert. — Seite 177.
2. Linker Unterkiefer von *Thylacotherium Broderipi* von Stonesfield, a. natürliche Grösse, b. vergrössert, c. seitliche Ansicht eines Mahlzahnes in vierfacher Vergrößerung. — Seite 177.
3. Unterkiefer von *Phascolotherium Bucklandi* von Stonesfield in zweifacher Vergrößerung. — Seite 177.
4. a. Fragmentärer rechter Unterkiefer von *Spalacotherium tricuspidens* aus den Purbeck-schichten, in zweifacher Vergrößerung, b. hintere Ansicht eines Mahlzahnes, c. obere Ansicht desselben, und d. innere Ansicht von 2 Mahlzähnen des linken Unterkiefers, vierfache Vergrößerung. — Seite 178.
5. a. Rechter Unterkieferast von *Amblotherium soricinum* ebendaher, in dreifacher Vergrößerung, b. dritter Mahlzahn in sechsfacher Vergrößerung. — Seite 178.
6. Rechtes Oberkieferfragment von *Peralestes longirostris* von ebendaher, a. von der Seite in dreifacher Vergrößerung, b. die Backzahnreihe von der Kaufläche, ebenso vergrössert. — Seite 178.
7. a. Linker Unterkiefer von *Peralestes longirostris* daher, in dreifacher Vergrößerung, c. dritter Mahlzahn in sechsfacher Vergrößerung. — Seite 178. — b. Innenseite des dritten unteren Mahlzahnes, und d. äussere Ansicht des dritten oberen Mahlzahnes von *Dasyurus ursinus* in natürlicher Grösse. — Seite 176.
8. a. Sechster Mahlzahn des linken Unterkiefers von *Achirodus nanus* daher, in sechsfacher Grösse. — b. Sechster und siebenter Mahlzahn des linken Unterkiefers von *Peraspalax talpoides* daher in vierfacher Grösse. — Seite 178.
9. a. Linke obere Zahnreihe von *Stylodon pusillus* in dreifacher Grösse, b. linke untere Zahnreihe desselben in dreifacher Grösse. — Seite 178.
10. a. Dritter Backzahn des linken Unterkiefers von *Triconodon ferox* daher, in dreifacher Grösse, 2 Backzähne des rechten Unterkiefers, und c. linke obere Lück- und Backzähne desselben in dreifacher Grösse. — Seite 179.
11. a. Rechtes Unterkieferfragment mit Zähnen von *Plagiaulax minor* daher, in dreifacher Grösse, und b. zwei Mahlzähne desselben in sechsfacher Grösse. — Seite 179.
12. Obere und 13. untere Backzahnreihe von *Ursus melanoleucus* von der Kaufläche in natürlicher Grösse. — Seite 180.
14. a. Der Fleischzahn und die beiden Kauzähne von *Hyaenarctos insignis* von Montpellier und b. der Fleischzahn von der Innenseite, beide in  $\frac{1}{3}$  der natürlichen Grösse. — Seite 181.
15. Die drei unteren Backzähne von *Hyaenarctos sivalensis* der Sivalikhügel, von der Kaufläche in  $\frac{1}{3}$  natürlicher Grösse. — Seite 181.
16. Obere, 17. untere Backzahnreihe von *Ailurus fulgens*. — Seite 181.
18. Obere, 19. untere Zahnreihe von der Seite von *Arctitis binturong* nach dem Schädel des Halle'schen Museums. — Seite 183.
20. a. Obere, b. untere Zahnreihe des *Rhabdogale zorilla* von der Seite, c. oberer Fleisch- und Kauzahn von der Kaufläche und d. dieselben des Unterkiefers ebenso, nach dem Schädel des Halle'schen Museums. — Seite 187.

Figur 1—17. nach Owen, Gervais und Hardwick, 18—20. sind Originale.







**Erklärung von Tafel XXXXIX.**

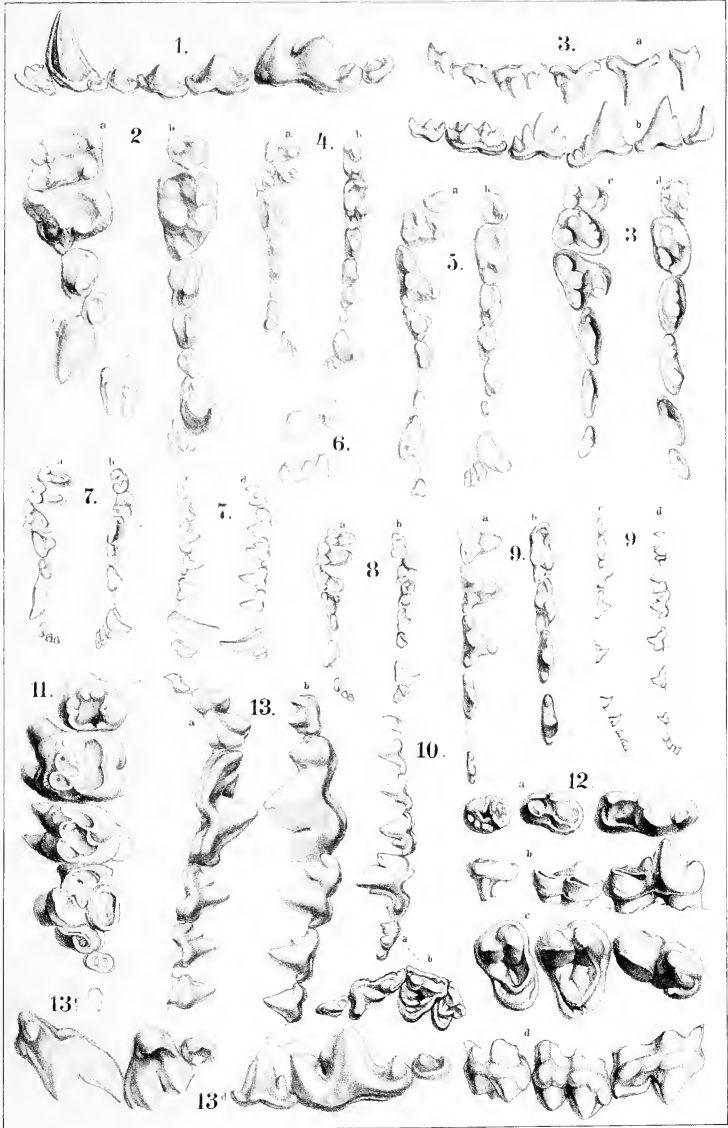
**Osteologie.**

---

Fig.

1. Untere Zahnreihe von innen von *Gulo*, natürliche Grösse. — Seite 187.
2. a. Obere und b. untere Zahnreihe von der Kaufläche von *Lutra hydrobia*, in natürlicher Grösse. — Seite 188.
3. Backzahnreihen von *Cynogale Bennetti*, a. obere, b. untere von der Seite, c. obere, d. untere von der Kaufläche. — Seite 189.
4. a. Obere, b. untere Zahnreihe von *Bassaris astuta* von der Kaufläche, natürliche Grösse. — Seite 189.
5. a. Obere, b. untere Zahnreihe von *Paradoxurus typus* von der Kaufläche, natürliche Grösse. — Seite 189.
6. *Viverra* rasse, Fleischzahn, oberer und unterer, von innen, natürliche Grösse. — Seite 190.
7. *Rhyzaena tetradaetyla* nach *Blainville*, *a* und *c* obere Zahnreihe von der Kaufläche und von der Seite, *b* und *d* untere desgleichen. — Seite 191.
8. a. Obere, b. untere Zahnreihe von der Kaufläche von *Crossarchus obscurus* nach *Blainville*. — Seite 192.
9. Zahnreihen von *Eupleres Goudoti*, a. obere, b. untere Backzähne von der Kaufläche vergrössert, c und d beide Zahnreihen in natürlicher Grösse von der Seite. — Seite 192.
10. *Cynodon lacustre* nach *Gervais*, a. die untere Backzahnreihe von aussen, b. der obere letzte Lück-, der Fleisch- und die beiden Kauzähne. — Seite 193.
11. Obere Backzahnreihe von der Kaufläche von *Palaeocyon primaevus*, nach *Blainville*, verkleinert. — Seite 193.
12. *Amphicyon major* nach *Blainville*, verkleinert, a. unterer Fleischzahn und beide Kauzähne von der Kaufläche, b. dieselben von der Seite. c. oberer Fleischzahn und beide Kauzähne von der Kaufläche, d. dieselben von der Seite. — Seite 193.
13. *Canis primaevus*, a. obere, b. untere Backzahnreihe von der Seite, c. oberer Fleischzahn und beide Kauzähne von der Kaufläche, d. unterer Lück-, Fleisch- und Kauzahn von der Innenseite. — Seite 196.

Figur 7, 8, 11, 12. nach **Blainville**. 10. nach **Gervais**, die übrigen sind Originale.





# **Erklärung von Tafel L.**

**Osteologie.**

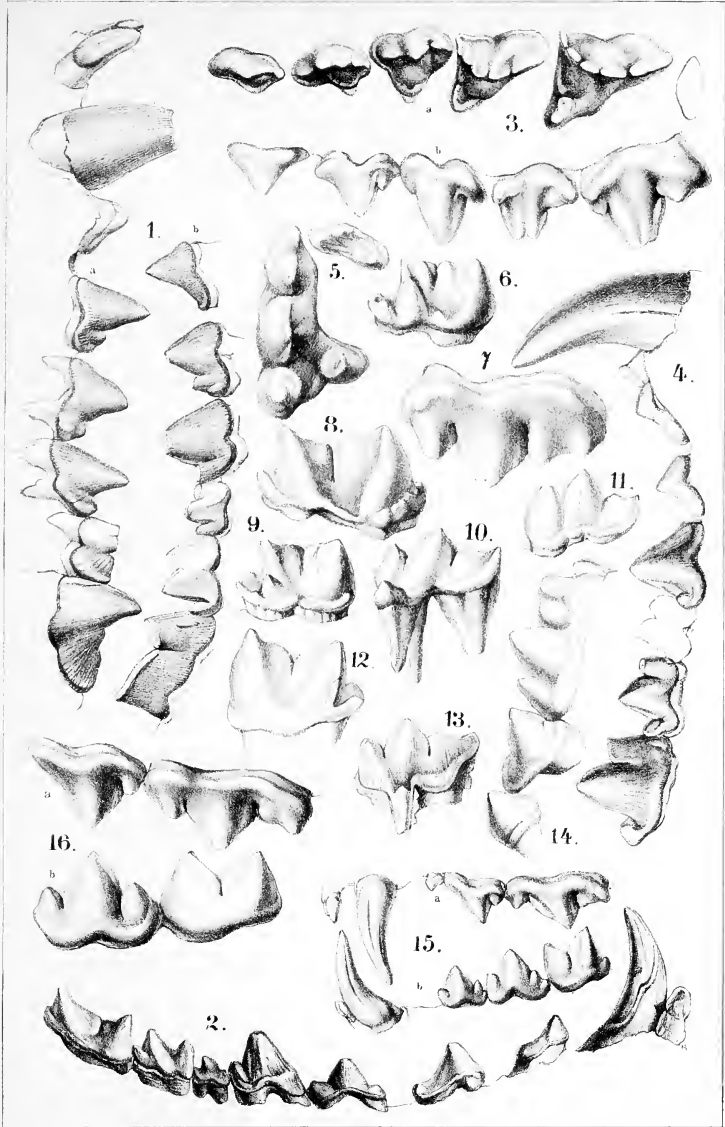
---

Fig.

1. *Hyaenodon horridus* aus den Miocänschichten von Dakota nach Leidy, um  $\frac{1}{8}$  verkleinert, a. die obere Zahnreihe, b. die untere Backzahnreihe, beide von der Aussenseite. — Seite 197.
2. *Hyaenodon leptorhynchus* aus den Puy de Dome nach Laizer, linke untere Zahnreihe von innen. — Seite 197.
3. 4. *Pterodon dasyuroides* aus den Ligniten unweit Apt, nach Gervais, 3<sup>a</sup>. obere 5 Backzähne von der Kaufläche, 3<sup>b</sup>. dieselben von der Seite, 4. untere Zahnreihe von der Seite. — Seite 198.
5. Oberer Fleischzahn und Kauzahn von der Kaufläche gesehen von *Hyaena striata* und 6. der untere Fleischzahn von innen. — Seite 198.
7. Oberer Fleischzahn der *Hyaena crocuta* von aussen und 8. deren unterer Fleischzahn von innen. — Seite 199.
9. Unterer Fleischzahn der *Hyaena prisca* von innen. — Seite 199.
10. Oberer Fleischzahn der *Hyaena spelaea* von Quedlinburg, von innen, verkleinert. — Seite 199.
11. Oberer Fleischzahn der *Hyaena brunnea* von aussen und 12. der untere Fleischzahn von innen, nach Wagner. — Seite 199.
13. Oberer Fleischzahn der *Hyaena eximia* vom Pentelikon, von innen, nach Wagner. — Seite 199.
14. Obere Lückzähne und Fleischzahn der tertiären *Hyaena hipparionum* aus dem Vacluse, nach Gervais. — Seite 199.
15. *Felis chaus*, a obere, b untere Zahnreihe von der Aussenseite. — Seite 201.
16. Unterer zweiter Lück- und Fleischzahn von der Aussenseite von *Felis onca*. — Seite 201.

Figur 5—10. 15. 16. sind Originale.







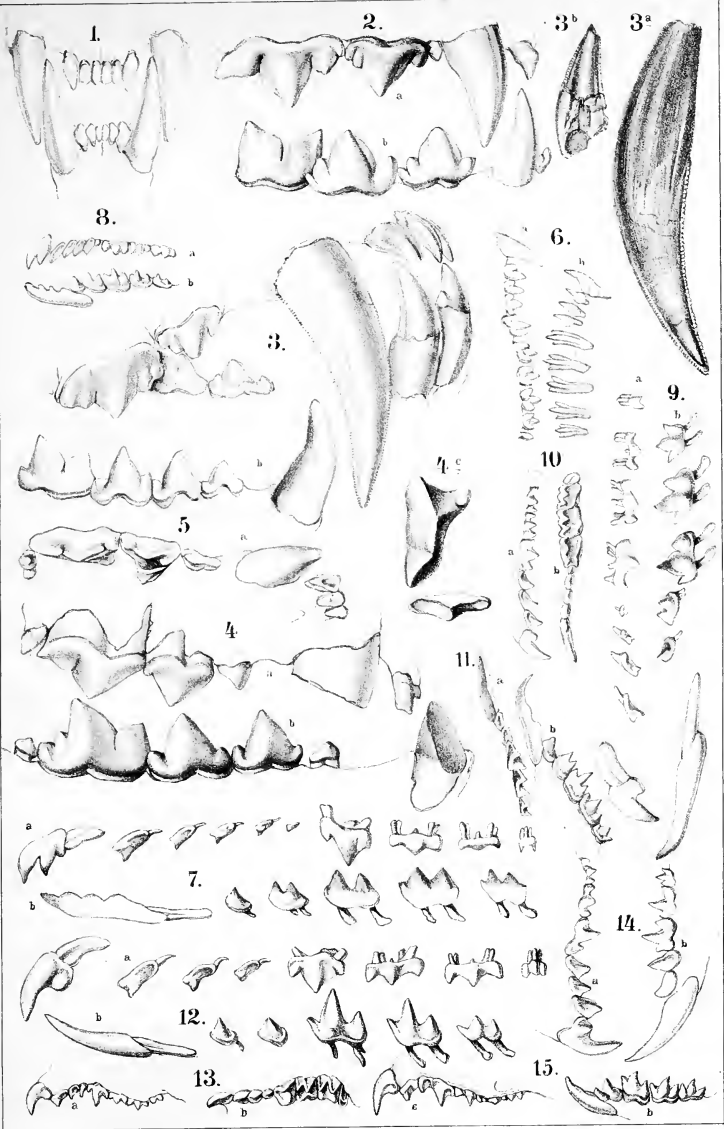
**Erklärung von Tafel LI.**

**Osteologie.**

---

Fig.

1. *Felis leopardus*, Schneide- und Eckzähne von vorne gesehen. — Seite 200.
2. *Cynailurus*, a. obere, b. untere Zahnreihe von der Aussenseite. — Seite 200.
3. *Machaerodus leoninus*, beide Zahnreihen, a. ein oberer Eckzahn und b. ein unterer Eckzahn von innen, beide stark verkleinert, nach Wagner. — Seite 201.
4. *Dinictis felina*, a. obere, b. untere Zahnreihen von aussen, c. oberer Fleischzahn und Kauzahn von der Kaufläche, nach Leidy, in natürlicher Grösse. — Seite 202.
5. *Cryptoprocta ferox*, a. obere Zahnreihe von der Kaufläche, b. untere Zahnreihe von der Aussenseite nach Sehlegel. — Seite 199.
6. *Chrysochloris aurea* nach Owen, a. obere, b. untere Zahnreihe, vergrössert. — Seite 202.
7. *Sorex vulgaris* nach Brandt, a. obere, b. untere Zähne, isolirt und vergrössert. — S. Dieselben in geringerer Vergrösserung. — Seite 205.
9. *Crossopus fodiens* nach Brandt, a. obere, b. untere Zähne, isolirt und vergrössert. —
10. Die obere Zahnreihe, a. von der Seite, b. von der Kaufläche. — 11. Die untere Zahnreihe, a. von der Kaufläche, b. von der Seite. — Seite 205.
12. *Crocidura leucodon*, nach Brandt, a. obere, b. untere Zähne, isolirt und vergrössert. —
- 13<sup>a</sup>. Die obere Zahnreihe von der Seite, b. dieselbe von der Kaufläche. — Seite 205.
14. *Pachyura indica* nach Brandt, a. obere, b. untere Zahnreihe vergrössert. — Seite 205.
15. *Diplomesodon pulchellus* nach Brandt, a. obere, b. untere Zahnreihe vergrössert. — Seite 205.





## Erklärung von Tafel LII.

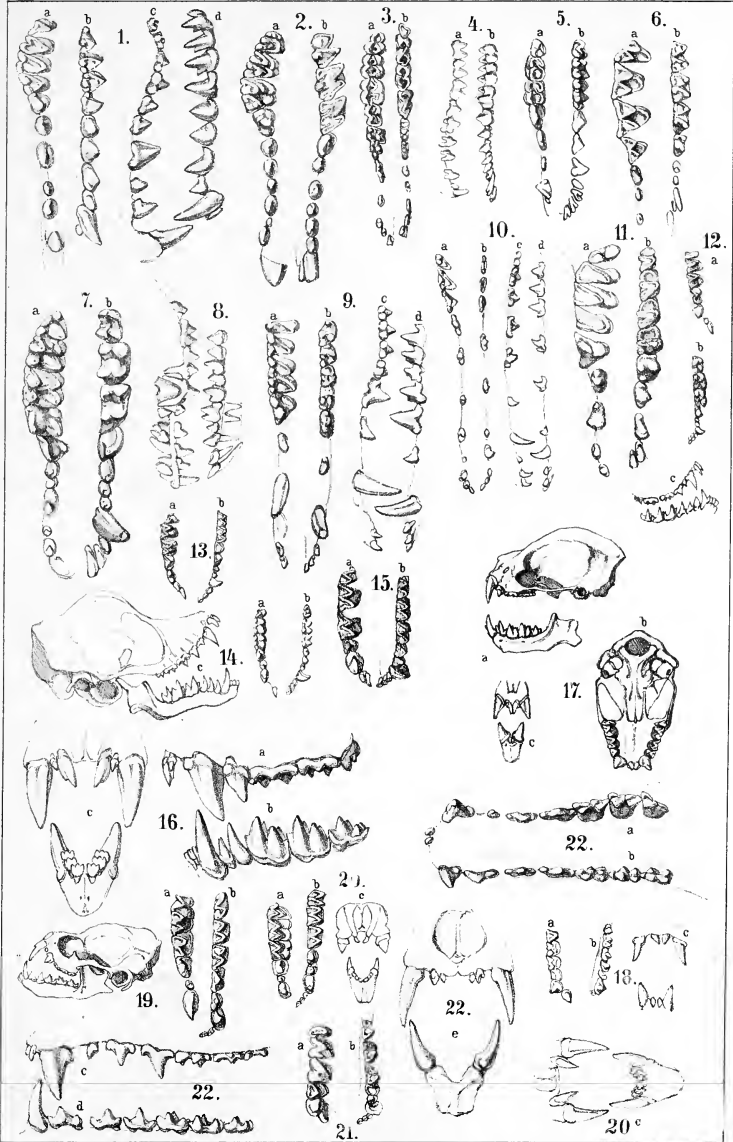
Osteologie.

---

Fig.

1. *Solenodon cubanus*, a. obere, b. untere Zahnreihe von der Kaufläche; c. obere, d. untere, dieselben von der Seite, nach Peters. — Seite 206.
2. *Myogale moschata*, a. obere, b. untere Zahnreihe von der Kaufläche, vergrößert. — Original. — Seite 206.
3. *Macroscelides fuscus*, a. obere, b. untere Zahnreihe von der Kaufläche, doppelte natürliche Grösse, nach Peters. — Seite 209.
4. *Petrodromus tetradactylus*, a. obere, b. untere Zahnreihe von der Aussenseite, nach Peters. — Seite 208.
5. *Rhynchocyon Cirnei*, a. obere, b. untere Zahnreihe von der Kaufläche, nach Peters. — Seite 209.
6. *Cladobates javanicus*, a. obere Backzahnreihe, b. untere von der Kaufläche, doppelte natürliche Grösse. — Nach einem Schädel des Halle'schen Museums im Zahnwechsel. — Seite 207.
7. *Gymnura alba*, a. obere, b. untere Zahnreihe von der Kaufläche, in natürlicher Grösse. — Original. — Seite 209.
8. *Erinaceus europaeus*, Backzahnreihen im Zahnwechsel nach Sahlertz, a. obere von der Aussenseite, b. untere von der Innenseite. — Seite 210.
9. *Centetes madagascariensis*, ganze Zahnreihen in natürlicher Grösse, a. obere von der Kaufläche, c. dieselbe von der Aussenseite, b. untere von der Kaufläche, d. dieselbe von der Aussenseite. — Original. — Seite 210.
10. *Ericius semispinosus*, ganze Zahnreihen, etwas über doppelte Grösse, nach dem Schädel des Halle'schen Museums, a. und c. obere von der Kaufläche und von der Aussenseite, b. und d. untere, dieselben Ansichten. — Seite 211.
11. *Ericulus spinosus*, a. obere, b. untere Zahnreihe von der Kaufläche, in doppelter natürlicher Grösse. — Original. — Seite 211.
12. *Plecotus auritus*, a. obere, b. untere Zahnreihe von der Kaufläche, in doppelter natürlicher Grösse, c. beide Zahnreihen von der Aussenseite. — Original. — Seite 215.
13. *Synotis barbastellus*, a. obere, b. untere Zahnreihe von der Kaufläche, in doppelter natürlicher Grösse, nach Blasius. — Seite 215.
14. *Miniopterus Schreibersi*, a. obere, b. untere Zahnreihe von der Kaufläche und c. Schädel von der Seite, in doppelter natürlicher Grösse, nach Blasius. — Seite 215.
15. *Vesperugo noctula*, a. obere, b. untere Zahnreihe von der Kaufläche in doppelter natürlicher Grösse. — Original. — Seite 215.
16. *Histiogale macrotus*, a. obere, b. untere Zahnreihe von der Aussenseite, c. obere und untere Schneide- und Eckzähne von vorn, vergrößert, nach Peters. — Seite 215.
17. *Molossus ursinus*, a. Schädel von der Seite, b. von oben, c. Schneide- und Eckzähne von vorn, nach Peters. — Seite 216.
18. *Molossus pedimanus*, ganze Zahnreihen von der Kaufläche, a. obere, b. untere, c. obere und untere Schneide- und Eckzähne von vorn, nach Temminck. — Seite 216.
19. *Taphozous leucopterus*, ganze Zahnreihen von der Kaufläche, a. obere, b. untere, doppelte natürliche Grösse, nach Peters. — Seite 217.
20. *Emballonura afra*, ganze Zahnreihen von der Kaufläche, a. obere, b. untere, c. obere und untere Schneide- und Eckzähne von vorn, in doppelter natürlicher Grösse, nach Peters. — Seite 217.
21. *Nycticejus planirostris*, ganze Zahnreihen von der Kaufläche, a. obere, b. untere, c. Schneide- und Eckzähne von vorn, zweifach vergrößert, nach Peters. — Seite 215.
22. *Glossonyctris lasiopyga*, obere Zahnreihe, a. von der Kaufläche, c. von der Seite; untere Zahnreihe, b. von der Kaufläche, d. von der Seite, bei e. obere und untere Schneide- und Eckzähne von vorn, vergrößert, nach Peters. — Seite 219 [nicht 23].





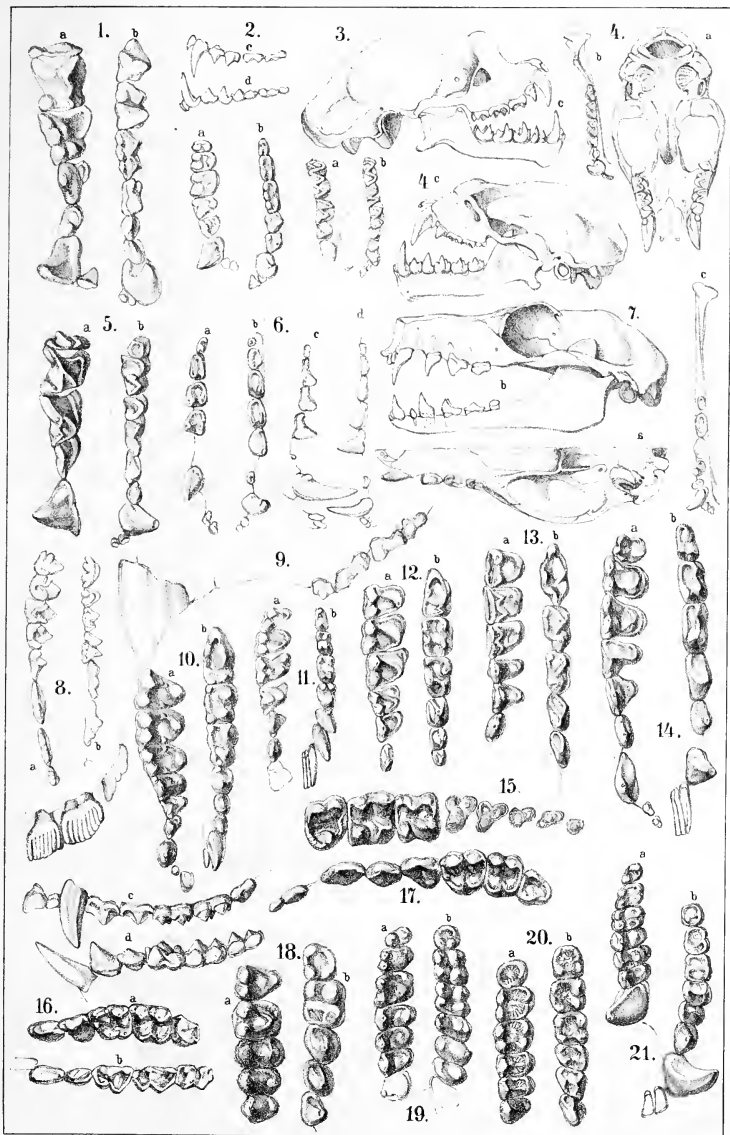


**Erklärung von Tafel LIII.**

**Osteologie.**

Fig.

1. *Vampyrus spectrum*, a. obere, b. untere Zahnreihe von der Kaufläche, vergrössert nach dem Schädel des Halle'schen Museums. — Seite 220.
  2. *Carollia brevicauda*, a. obere, b. untere Zahnreihe von der Kaufläche, c. und d. beide von der Seite, vergrössert nach dem Schädel des Halle'schen Museums. — Seite 220.
  3. *Rhinolophus ferrum equinum*, a. obere, b. untere Zahnreihe von der Kaufläche, c. Schädel von der Seite,  $\frac{2}{1}$  natürlicher Grösse, nach Blasius. — Seite 221.
  4. *Phyllorhina vittata*, a. Schädel von unten, b. Unterkiefer von oben, c. beide von der Seite, nach Peters. — Seite 221.
  5. *Megaderma lyra*, a. obere, b. untere Zahnreihe von der Kaufläche nach Blainville, vergrössert. — Seite 221.
  6. *Pteropus poliocephalus*, ganze Zahnreihen, a. obere und b. untere von der Kaufläche, c. obere und d. untere von der Aussenseite, natürliche Grösse. — Original. — Seite 222.
  7. *Epomophorus crypturus*, a. rechte Schädelhälfte von unten, b. Seitenansicht des Schädels, c. Unterkiefer von oben, nach Peters. — Seite 222.
  8. *Galeopithecus volans*, a. obere, b. untere Backzahnreihe von der Kaufläche, c. Schneidezähne. — Original. — Seite 223.
  9. *Chiromys madagascariensis*, obere Zähne von aussen, nach Owen. — Seite 224.
  10. *Tarsius Fischeri*, a. obere, b. untere Zahnreihe von der Kaufläche,  $\frac{3}{1}$  natürlicher Grösse — Original. — Seite 225.
  11. *Otolicnus crassicaudatus*, a. obere, b. untere Zahnreihe von der Kaufläche in natürlicher Grösse. — Original. — Seite 225.
  12. *Stenops gracilis*, a. obere, b. untere Backzahnreihe von der Kaufläche, vergrössert. — Original. — Seite 225.
  13. *Lepidilemur ruficaudatus*, a. obere, b. untere Backzahnreihe von der Kaufläche,  $\frac{3}{2}$  natürlicher Grösse. — Original. — Seite 226.
  14. *Lemur rufus*, a. obere, b. untere ganze Zahnreihe von der Kaufläche in natürlicher Grösse. — Original. — Seite 226.
  15. *Palaeolemur Betillei*, die drei letzten Mahlzähne des rechten Oberkiefers und die Wurzeln der 5 davor gelegenen Zähne, nach Delfortrie in Gervais' Journ. Zool. II. 16. 17. doppelte natürliche Grösse. — Seite 226.
  16. *Propithecus diadema*, a. obere, b. untere Backzahnreihe von der Kaufläche, c. obere, d. untere ganze Zahnreihe von aussen in natürlicher Grösse. — Original. — Seite 227.
  17. *Lichanotus*, obere Zahnreihe von der Kaufläche nach Blainville. — Seite 227.
  18. *Hapale penicillata*, a. obere, b. untere Backzahnreihe von der Kaufläche, vergrössert. — Original. — Seite 228.
  19. *Chrysothrix sciurea*, a. obere, b. untere Backzahnreihe und Eckzahn von der Kaufläche,  $\frac{2}{1}$  natürlicher Grösse. — Original. — Seite 228.
  20. *Pithecia monachus*, a. obere, b. untere Backzahnreihe von der Kaufläche,  $\frac{2}{1}$  natürlicher Grösse. — Original. — Seite 229.
  21. *Cebus olivaceus*, a. obere Backzahnreihe und Eckzahn, b. untere ganze Zahnreihe von der Kaufläche in natürlicher Grösse. — Original. — Seite 229.
-





# Erklärung von Tafel LIV.

Osteologie.

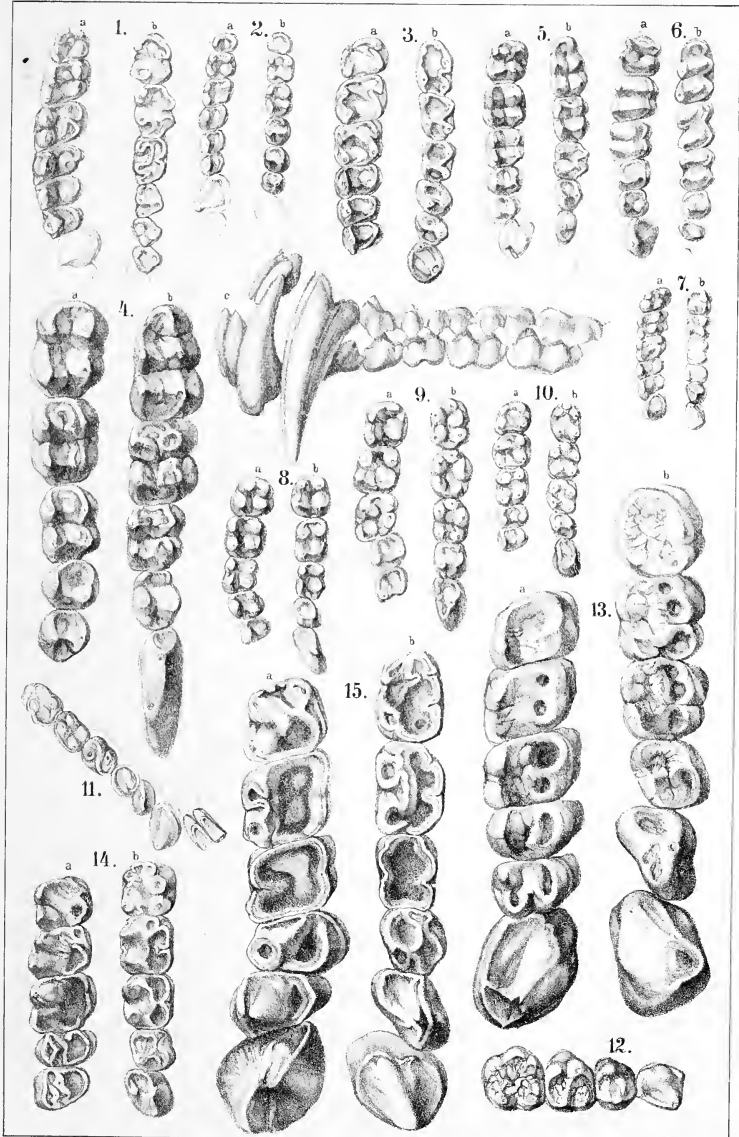
---

Fig.

1. *Ateles arachnoideus*, a. obere, b. untere Backzahnreihe und Eckzahn von der Kaufläche in natürlicher Grösse. — Original. — Seite 229.
2. *Ateles paniscus*, a. obere, b. untere Backzahnreihe und Eckzahn von der Kaufläche in natürlicher Grösse. — Original. — Seite 229.
3. *Mycetes palliatus*, a. obere, b. untere Backzahnreihe von der Kaufläche in natürlicher Grösse. — Original. — Seite 230.
4. *Cynocephalus ursinus*, a. obere, b. untere Backzahnreihe von der Kaufläche in natürlicher Grösse, beide Zahnreihen von Aussen, in  $\frac{2}{3}$  der natürlichen Grösse. — Original. — Seite 230.
5. *Innus cynomolgus*, a. obere, b. untere Backzahnreihen und Eckzahn von der Kaufläche, in natürlicher Grösse. — Original. — Seite 231.
6. *Semnopithecus nasicus*, a. obere, b. untere Backzahnreihe und Eckzahn von der Kaufläche, in natürlicher Grösse. — Original. — Seite 231.
7. *Cercopithecus cephus*, a. obere, b. untere Backzahnreihe und Eckzahn von der Kaufläche, in natürlicher Grösse. — Original. — Seite 232.
8. *Cercopithecus sabaeus*, a. obere, b. untere Backzahnreihe und Eckzahn von der Kaufläche, in natürlicher Grösse. — Original. — Seite 232.
9. *Hylobates syndactylus*, a. obere, b. untere Backzahnreihe von der Kaufläche, in natürlicher Grösse. — Original. — Seite 232.
10. *Hylobates leuciscus*, a. obere, b. untere Backzahnreihe von der Kaufläche, in natürlicher Grösse. — Original. — Seite 232.
11. *Pliopithecus (Protopithecus) antiquus*, untere Zahnreihe von der Kaufläche nach Gervais, aus dem miocänen Süsswassermergel von Sansan. — Seite 233.
12. *Pithecus satyrus*, Eckzahn und 3 Backzähne des linken Oberkiefers in natürlicher Grösse von einem sehr jungen Thiere. — Original. — Seite 234.
13. *Pithecus satyrus*, a. obere, b. untere Backzahnreihe und Eckzahn der linken Seite von der Kaufläche von einem sehr alten Thiere. — Original. — Seite 234.
14. *Pithecus troglodytes*, a. obere, b. untere Backzahnreihe von der Kaufläche, von einem sehr alten Thiere. — Original. — Seite 233.
15. *Pithecus gorilla*, a. obere, b. untere Backzahnreihe und Eckzahn von der Kaufläche in natürlicher Grösse, sehr alt. — Original. — Seite 234.

Sämmtliche Abbildungen nach Schädeln der Halle'schen Sammlung, nur 11. nach **Gervais**.







**Erklärung von Tafel LV.**

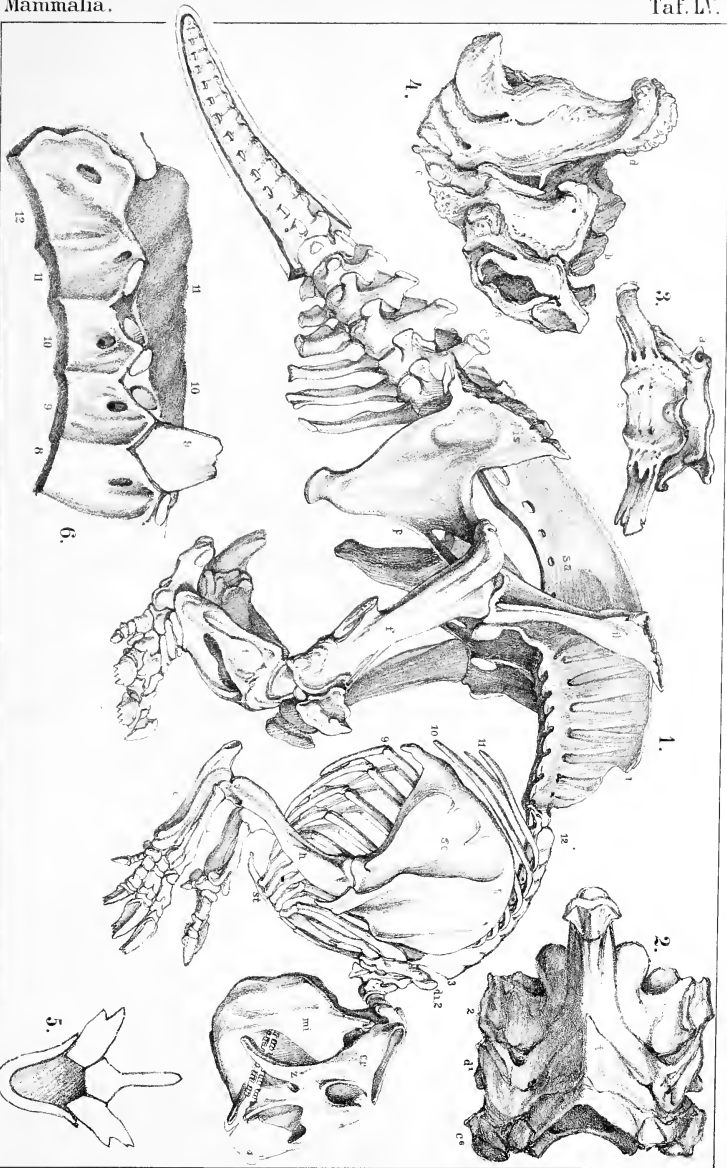
**Osteologie.**

---

Fig.

1. Skelet von *Glyptodon (Panochthus) tuberculatus*, sehr verkleinert.  
*cr.* Cranium. — *z.* absteigender Fortsatz des Zygoma. — *mi.* Unterkiefer. — *d*<sup>1-2</sup> Postcervicalwirbel. — *3-12.* dritter bis zwölfter Rückenwirbel in ein Knochenstück verwachsen. — *l.* Lendenwirbel mit den *sa.* Kreuzwirbeln und dem *il.* Darmbein verschmolzen. — *is.* Sitzbein. — *p.* Schambein. — *c*<sup>1</sup> erster Schwanzwirbel. — *sc.* Schulterblatt. — *h.* Oberarm. — *r.* Radius und *c.* Cubitus. — *st.* Brustbein. — *I-II.* Rippen. — *S.* Oberschenkel. — *t.* Schienbein mit dem Wadenbein verwachsen.
2. *Hoplophorus ornatus*, verkleinert, von oben *e*<sup>6</sup> der sechste und *7* der siebente Halswirbel, *d*<sup>1</sup> der erste und *2* der zweite Rückenwirbel.
3. *Glyptodon (Panochthus) tuberculatus*, verkleinert, Halswirbel von der Unterseite, a. Atlas, b. middle Halswirbel.
4. *Glyptodon (Doedicurus) giganteus*, Halswirbel verkleinert, a. Atlas, b. middle Halswirbel, c. sechster Halswirbel, d. Postcervicale.
5. Querschnitt durch einen Rückenwirbel von *Glyptodon tuberculatus*, durch die oberen und unteren Nervenkanäle, die rippentragenden Querfortsätze und den Dornfortsatz.
6. Hinteres Ende der Rückenwirbelsäule von demselben Skelet, die Ziffern bezeichnen die Wirbel in ihrer natürlichen Folge.

Sämmtliche Abbildungen nach Burmeister, *Anales Mus. Buenos Aires* II, stark verkleinert.





## **Erklärung von Tafel LVI.**

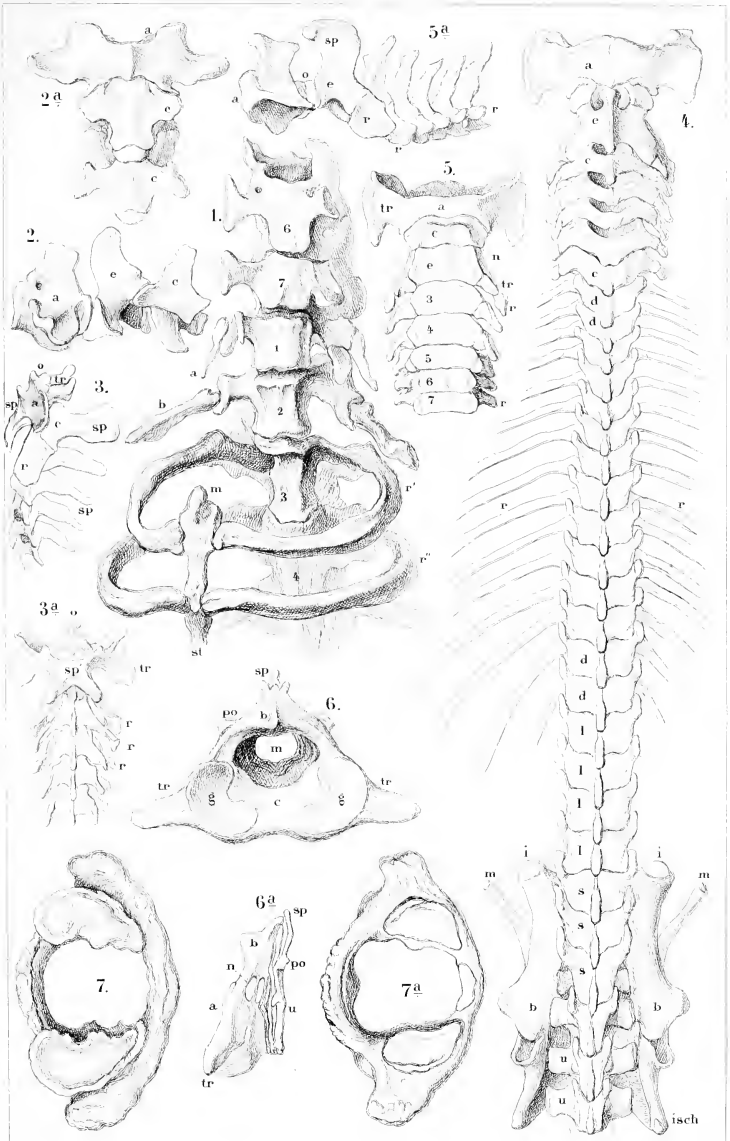
**Osteologie.**

---

Fig.

1. *Bradypus tridactylus*, letzte Halswirbel 6. 7. und erste Rückenwirbel 1. 2. 3. 4. von unten, *a.* erste, *b.* zweite rudimentäre Rippe, *r'* und *r''*. die ersten vollkommenen Rippenpaare, *st.* Brustbein, *m.* Manubrium. — S. 253. — Nach Bell, Zool. Transact. I. Tab. 17. —
  2. *Bradypus tridactylus*, *a.* Atlas, *e.* Epistropheus, *c.* dritter Halswirbel von der Seite und 2<sup>a</sup>. von unten in natürl. Grösse. — Seite 272. — Original.
  3. *Ornithorhynchus paradoxus*, sechs Halswirbel in natürl. Grösse von der Seite und 3<sup>a</sup>. von unten. — *a.* Atlas mit *sp*<sup>1</sup>. dem gabligen unteren Dornfortsatz und *tr.* Querfortsätze, in Fig. 3<sup>a</sup>. über den Epistropheus *e.* zurückgeschoben, um den Zahnfortsatz *o.* und die vereinigten Gelenkflächen des Epistropheus mit der für den Atlas zu zeigen. — *sp.* obere Dornfortsätze, *sp*<sup>1</sup>. untere Dornfortsätze, *r.* Halsrippen. — Seite 254. 271. 285. — Original.
  4. *Echidna hystrix*, Wirbelsäule von oben, in natürl. Grösse mit den anhängenden Rippen *rr.* — *a.* Atlas, *e.* Epistropheus, *c.* — *c.* fünf folgende Halswirbel, *dd.* — *dd.* Rückenwirbel, *llll.* Lendenwirbel, *ssss.* Kreuzwirbel, *uu.* die beiden ersten Schwanzwirbel, *bb.* Becken, *ii.* Darmbeine, *isch.* Sitzbeine, *mm.* Beutelknochen. — Seite 255. 271. 285. — Original.
  5. *Echidna hystrix*, Halswirbel von unten in natürl. Grösse, *a.* Atlas, *o.* Zahnfortsatz durch eine Naht *n.* vom Epistropheus *e.* getrennt, 3. 4. 5. 6. 7. übrige Halswirbel, *tr.* Querfortsätze, *rrr.* Halsrippen. — Seite 255. 271. 285. — Original
  6. *Phocaena communis*, Atlas von vorn, in  $\frac{1}{2}$  natürl. Grösse. — *c.* Körper des Atlas, *gg.* Gelenkflächen für Hinterhauptgelenkköpfe, *tr.* Querfortsätze, *b.* Wirbelbogen, *m.* Markkanal, *po.* vorstehender Gelenkfortsatz des letzten Halswirbels, *sp.* hervorragender Dornfortsatz des letzten Halswirbels, die beiden Zacken davor bilden den Dornfortsatz des Atlas. — Seite 255. 265. 280. — Original.
  - 6<sup>a</sup>. *Phocaena communis*, sämtliche Halswirbel von der Seite, in  $\frac{1}{2}$  natürl. Grösse. — *a.* Atlas, *n.* letzter Halswirbel, *n.* Nervenlöcher, die übrigen Buchstaben wie in Figur 6. — Seite 280. — Original.
  7. *Rhytina Stelleri*, Atlas vordere Ansicht, — 7<sup>b</sup>. hintere Ansicht desselben, in  $\frac{1}{6}$  natürl. Grösse nach Brandt, Symbol. sirenolog. Tab. 5. — Seite 256.
-







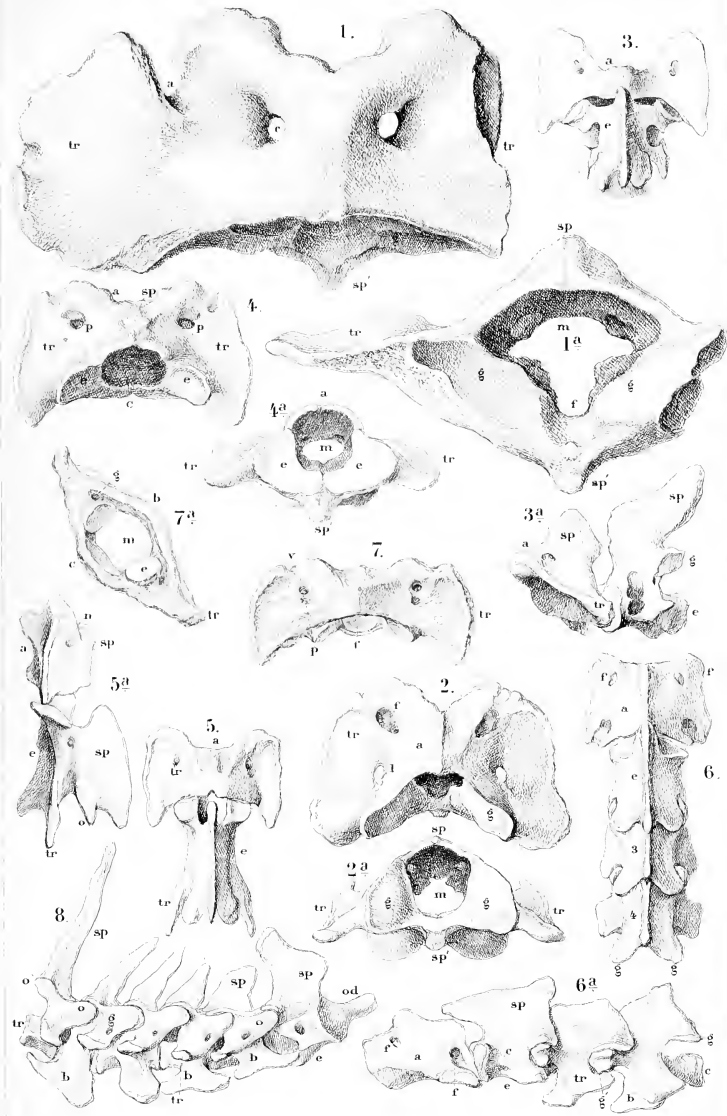
**Erklärung von Tafel LVII.**

**Osteologie.**

---

Fig.

1. *Rhinoceros tichorhinus*, Atlas von der oberen Seite und Fig. 1<sup>a</sup> von der hinteren Seite, in  $\frac{1}{2}$  natürl. Grösse, der rechte Querfortsatz abgebrochen. — *m.* Markkanal, *f.* Gelenkfläche für den Zahnfortsatz, *gg.* Gelenkflächen für den Epistropheus, *tr.* Querfortsatz, *sp.* oberer Dornfortsatz, *sp<sup>1</sup>.* unterer Dornfortsatz, *c.* Kanal für die Wirbelerterie, *a.* Gefässausschnitt. — Seite 256. — Nach einem Exemplar aus dem Diluvium von Egelin.
2. *Equus caballus*, Atlas von oben und Fig. 2<sup>a</sup> von hinten, in  $\frac{1}{4}$  natürl. Grösse. — *a.* Neuralbogen, *tr.* Querfortsatz, *f.* Grube für die beiden vorderen Gefässkanäle, *l.* Durchtritt der Halsarterie, *g.* Gelenkflächen für den Epistropheus, *o.* für den Zahnfortsatz desselben, *m.* Markkanal, *sp.* oberer, *sp<sup>1</sup>.* unterer Dornfortsatz. — Seite 257. — Original.
3. *Sus scrofa*, Atlas und Epistropheus von oben und Fig. 3<sup>a</sup> von der Seite, in  $\frac{1}{3}$  natürl. Grösse. — *a.* Atlas, *e.* Epistropheus, *sp.* Dornfortsatz, *tr.* Querfortsatz. — Seite 257. 269. — Original.
4. *Bos taurus*, Atlas von oben und Fig. 4<sup>a</sup> von hinten, in  $\frac{1}{4}$  natürl. Grösse. — *a.* Neuralbogen, *sp.* oberer, *sp<sup>1</sup>.* unterer Dornfortsatz, *tr.* Querfortsätze, *p.* Grube für die Gefässkanäle, *ee.* Gelenkflächen für den Epistropheus, *o.* für den Zahnfortsatz desselben, *m.* Markkanal. — Seite 257. — Original.
5. *Antilope rupicapra*, Atlas und Epistropheus von oben und Fig. 5<sup>a</sup> von der Seite, in  $\frac{1}{3}$  natürl. Grösse. — *a.* Atlas, *e.* Epistropheus, *sp.* Dornfortsatz, *tr.* Querfortsatz, *o.* Gelenkfortsatz, *n.* Gefässloch. — Seite 258. 270. — Original.
6. *Myrmecophaga jubata*, vier erste Halswirbel von oben und Fig. 6<sup>a</sup> von der Seite, in  $\frac{1}{2}$  natürl. Grösse. — *a.* Atlas, *e.* Epistropheus, 3. 4. die beiden folgenden Halswirbel, *c.* Wirbelkörper, *ff.* Gefässlöcher, *gg.* vordere und hintere Gelenkfortsätze, *sp.* Dornfortsatz. — Seite 258. 271. 286. — Original.
7. *Mylodon robustus*, Atlas von oben und Fig. 7<sup>a</sup> von hinten, in  $\frac{1}{5}$  natürl. Grösse. — *c.* Körper, *b.* Bogen, *v.* vordere, *p.* hintere Gefässlöcher, *g.* Arterienkanal, *f.* Gelenkfläche für den Zahnfortsatz, *tr.* Querfortsatz, *e.* Gelenkflächen für den Epistropheus, *m.* Markkanal. — Seite 259. — Nach Owen, Monogr. Mylodon Tab. 7.
8. *Dicotyle torquatus*, zweiter bis sechster Halswirbel von der Seite, in  $\frac{1}{2}$  natürl. Grösse. — *e.* Epistropheus, 6. 7. die beiden letzten Halswirbel, *od.* Zahnfortsatz, *sp.* Dornfortsatz, *o.* vorderer, *o<sup>1</sup>.* hinterer Gelenkfortsatz, *g.* Gefässloch, *tr.* Querfortsatz, *b.* beilförmiger Fortsatz. — Seite 269. 282. — Original.





**Erklärung von Tafel LVIII.**

**Osteologie.**

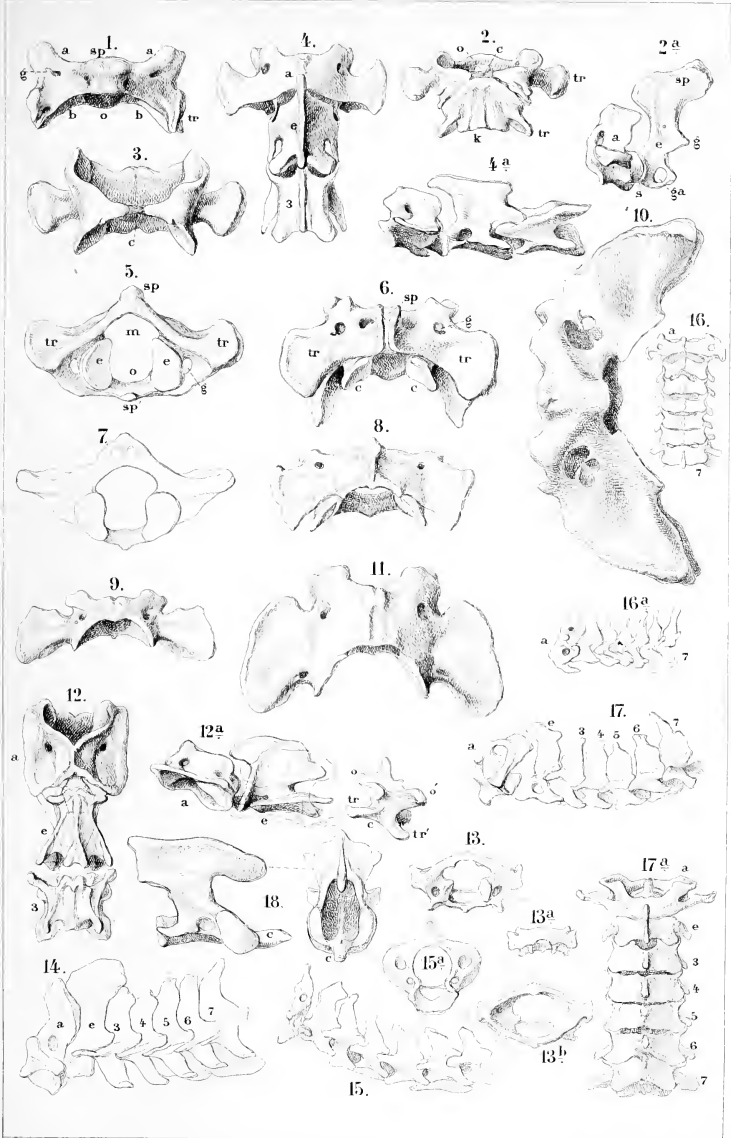
---

Fig.

1. *Dasyus gigas*, Atlas von oben, in  $\frac{1}{2}$  natürl. Grösse. — *aa.* Gelenkflächen für die *Condyli occipitales*, *bb.* für den *Epistropheus*, *c.* Wirbelkörper, *n.* Wirbelbogen, *o.* Fläche für den Zahnfortsatz, *sp.* Dornhöcker, *tr.* Querfortsatz, *g.* Gefässkanal. — Seite 259.
2. *Phascolomys fossor*, Atlas und *Epistropheus* von unten und Fig. 2<sup>a</sup> von der Seite, in  $\frac{1}{2}$  natürl. Grösse. — *a.* Atlas, *e.* *Epistropheus*, *e.* knorpeliger Körper des Atlas, *o.* Zahnfortsatz, *s.* Naht zwischen Zahnfortsatz und *Epistropheus*körper *k.*, *tr.* Querfortsatz, *g.* Gelenkfortsatz, *sp.* Dornfortsatz, *ga.* Gefässloch. — Seite 261. 274.
3. *Halmaturus Bennetti*, Atlas von unten in natürl. Grösse, *e.* knorpeliger Körper des Atlas, abweichend von anderen Känguruhs.
4. *Lepus timidus*, die drei ersten Halswirbel von oben und Fig. 4<sup>a</sup> von der Seite, in natürl. Grösse, *a.* Atlas, *e.* *Epistropheus*, 3 dritter Halswirbel. S. 259. 273. 288.
5. *Castor fiber*, Atlas von hinten, in  $\frac{2}{3}$  natürl. Grösse. — *sp.* oberer, *sp*<sup>1</sup>. unterer Dornfortsatz, *tr.* Querfortsatz, *ee.* Gelenkflächen für den *Epistropheus*, *gg.* Gefässkanal, *m.* Markkanal, *o.* Gelenkfläche für den Zahnfortsatz. — Seite 260.
6. *Lagostomus tridactylus*, Atlas von unten, in natürl. Grösse. — *sp.* unterer zweispaltiger Dornfortsatz, *ee.* Gelenkflächen für den *Epistropheus*, *tr.* Querfortsätze, *gg.* Gefässkanäle. — Seite 260.
7. *Georychus capensis*, Atlas von hinten, in  $\frac{2}{1}$  natürl. Grösse. — Seite 261.
8. *Arctomys monax*, Atlas von oben, in natürl. Grösse. — Seite 261.
9. *Gulo arcticus*, Atlas von oben, in  $\frac{1}{2}$  natürl. Grösse. — Seite 263.
10. *Ursus arctos*, Atlas von oben, in  $\frac{1}{2}$  natürl. Grösse. — Seite 262.
11. *Felis leo*, Atlas von oben, in  $\frac{1}{3}$  natürl. Grösse. — Seite 263.
12. *Galeopithecus volans*, drei erste Halswirbel von unten und Fig. 12<sup>a</sup> von der Seite, in natürl. Grösse. — *a.* Atlas, *e.* *Epistropheus*, *c.* dritter Halswirbel, *o.* vordere, *o*<sup>1</sup>. hintere Gelenkfortsätze, *tr.* vorderer, *tr*<sup>1</sup>. hinterer Ast des Querfortsatzes. — Seite 265. 278. 297.
13. *Phyllostoma superciliatum*, Atlas von der vorderen, Fig. 13<sup>a</sup> von der oberen, Fig. 13<sup>b</sup> von der hinteren Seite, in  $\frac{2}{1}$  natürl. Grösse. — Seite 264.
14. *Erinaceus europaeus*, sämtliche Halswirbel von der Seite, in  $\frac{2}{1}$  natürl. Grösse. — *a.* Atlas, *e.* *Epistropheus*, 3—7 übrige Halswirbel. — Seite 264. 277. 296.
15. *Scalops aquaticus*, sämtliche Halswirbel von der Seite, in  $\frac{2}{1}$  natürl. Grösse. — Seite 264. 277. 296.
16. *Hapale midas*, sämtliche Halswirbel von oben, Fig. 16<sup>a</sup> von der Seite, in natürl. Grösse. — Seite 265. 279. 298.
17. *Lemur mongoz*, sämtliche Halswirbel von der Seite, Fig. 17<sup>a</sup> von oben, in natürl. Grösse. — Seite 265. 298. 277.
18. *Felis catus*, *Epistropheus* von der Seite und von vorn, *c.* Zahnfortsatz, in natürl. Grösse. — Seite 277.

Sämmtliche Abbildungen sind Originale.







**Erklärung von Tafel LIX.**

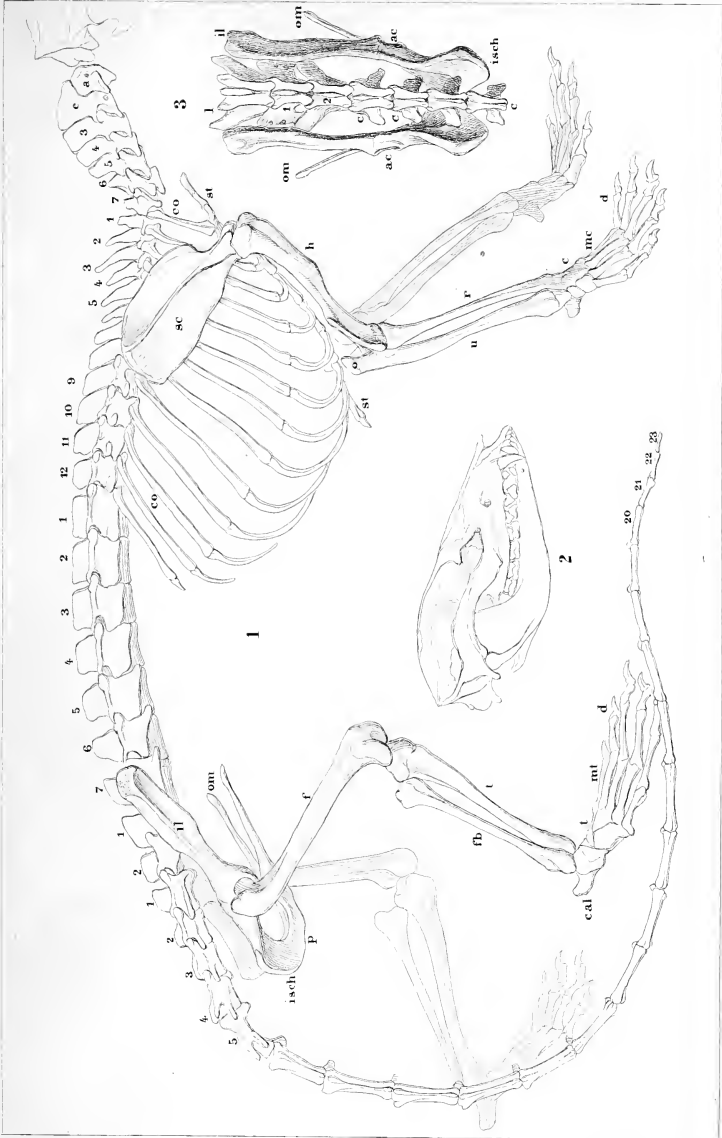
**Osteologie.**

---

Fig.

1. *Didelphys virginiana* Skelet in  $\frac{1}{2}$  natürl. Grösse. — *a.* Atlas, *e.* Epistropheus, 3—7 Halswirbel, 1—12 Rückenwirbel, 1—7 Lendenwirbel, 1. 2 Kreuzwirbel, 1—23 Schwanzwirbel, *co.—co.* Rippen, *st.—st.* Brustbein, *sc.* Schulterblatt, *il.* Darmbein, *isch.* Sitzbein, *p.* Schambein, *om.* Beutelknochen, *h.* Oberarm, *v.* Speiche, *u.* Elle, *e.* Handwurzel, *mc.* Mittelhand, *d.* Finger, *f.* Oberschenkel, *t.* Schienbein, *fb.* Wadenbein, *calc.* Fersenbein, *t.* Fusswurzel, *mt.* Mittelfuss.
2. Schädel desselben Skelets von der Seite.
3. *Didelphys virginiana*, *l.* letzter Lendenwirbel, 1. 2 Kreuzwirbel, *c.—c.* Schwanzwirbel, *il.* Darmbein, *ac.* Pfanne für den Oberschenkel, *isch.* Sitzbein, *om.* Beutelknochen.

Originale.





**Erklärung von Tafel LX.**

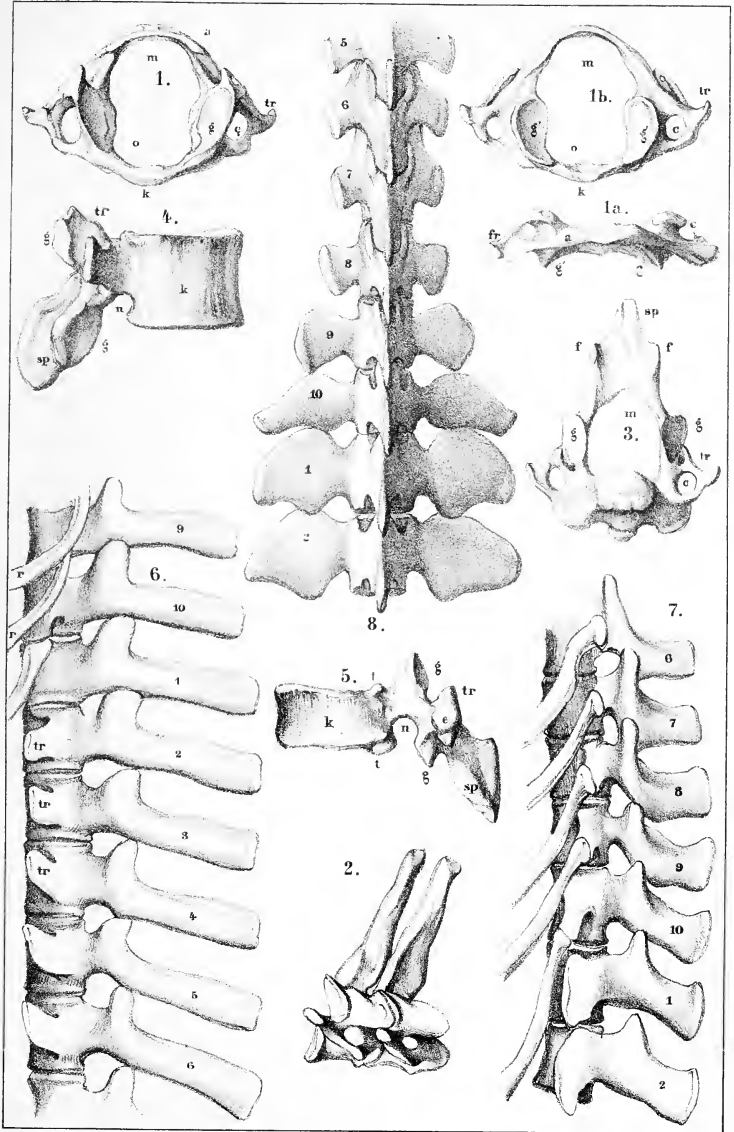
**Osteologie.**

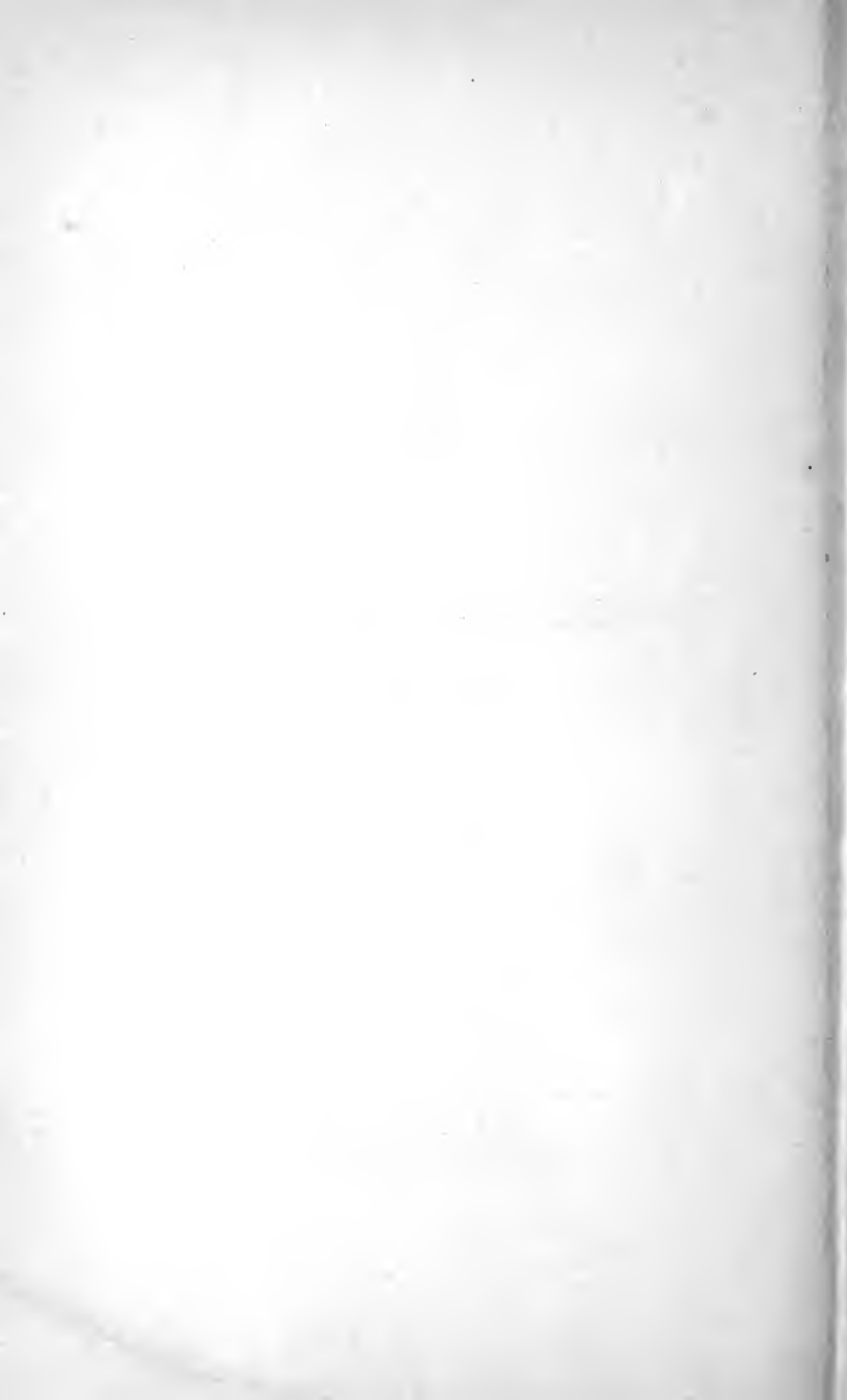
---

Fig.

1. *Pithecus satyrus*, Atlas von vorn, Fig. 1a. von oben, Fig. 1b. von hinten, in  $\frac{2}{3}$  natürl. Grösse. — *k.* Atlaskörper, *a.* Atlasbogen, *m.* Markkanal, *o.* Bucht für den Zahnfortsatz, *tr.* Querfortsatz, *c.* Arterienkanal, *gg.* Gelenkflächen für die *Condyli occipitales*, *g'g'.* dieselben für den *Epistropheus*. — Seite 266. — Original.
  2. *Pithecus satyrus*, dritter u. vierter Halswirbel, in  $\frac{2}{3}$  natürl. Grösse. — Seite 299. — Original.
  3. *Pithecus satyrus*, *Epistropheus* von hinten, in  $\frac{2}{3}$  natürl. Grösse. — *m.* Markkanal, *sp.* Dornfortsatz, *ff.* seitliche Fortsätze desselben, den folgenden Dornfortsatz umfassend, *gg.* hintere Gelenkfortsätze, *tr.* Querfortsatz, *c.* Arterienkanal. — Seite 279. — Original.
  4. *Pithecus satyrus*, drittletzter Lendenwirbel von der Seite, in  $\frac{2}{3}$  natürl. Grösse und
  5. *Pithecus satyrus*, sechster Rückenwirbel von der Seite. — *k.* Wirbelkörper, *a.* Neuralbogen, *g'.* vorderer und *g.* hinterer Gelenkfortsatz, *tr.* Querfortsatz mit *c.* Gelenkfläche für den Rippenhöcker, *t.* Gelenkflächen für den Rippenkopf, *n.* Ausschnitt für den peripherischen Nerven, *sp.* Dornfortsatz. — Original.
  6. *Epidion australe*, middle Gegend der Wirbelsäule von der Seite, in  $\frac{1}{8}$  natürl. Grösse. — 9. 10 Rückenwirbel mit *rrr.* anhängenden Rippen, 1—6 Lendenwirbel mit *tr.* Querfortsätzen. — Seite 302. — Nach Burmeister.
  7. *Pontoporia Blainvillei*, middle Gegend der Wirbelsäule von der Seite und
  8. von oben, in  $\frac{1}{2}$  natürl. Grösse. — 5—10 Rückenwirbel, 1. 2. Lendenwirbel. — Seite 305. — Nach Burmeister.
-







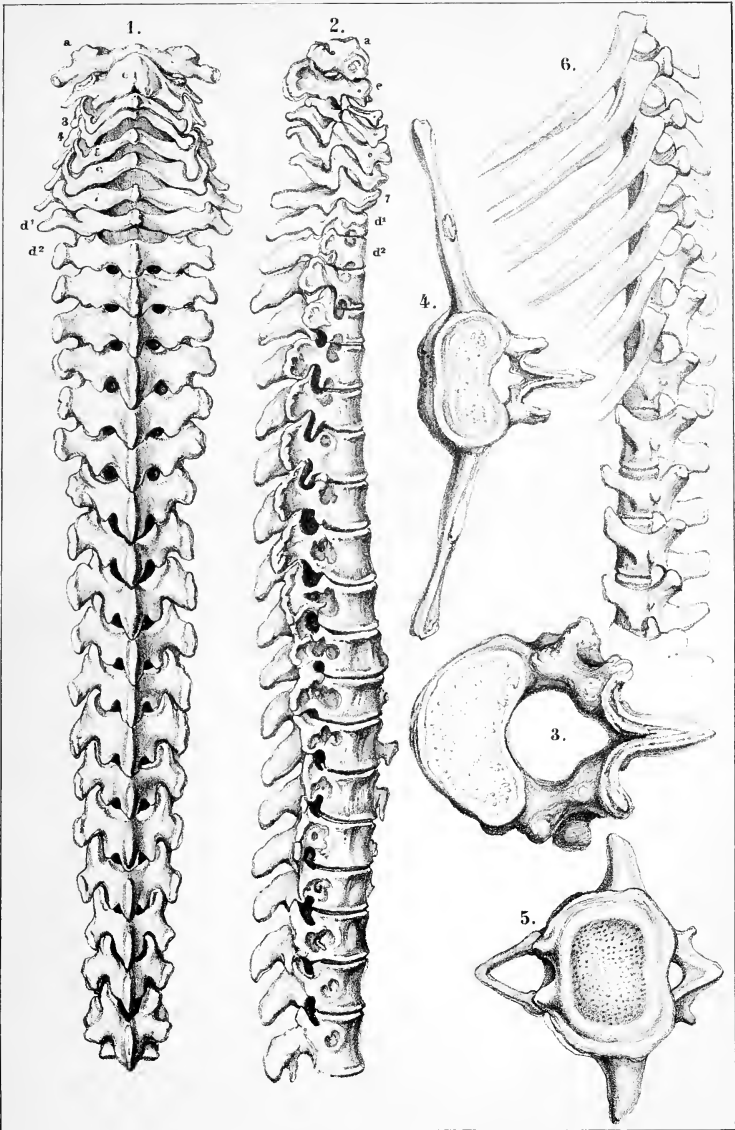
**Erklärung von Tafel LXI.**

**Osteologie.**

---

Fig.

1. Rhytine Stelleri, Wirbelsäule von oben und
  2. Dieselbe von der Seite, verkleinert, — *a.* Atlas, *c.* Epistropheus, 3—7 folgende Halswirbel, *d.* und folgende Rückenwirbel. — Seite 255. 268. 281. 308. — Nach Brandt, Symbol. sirenolog. Tab. 5.
  3. Rhytine Stelleri, achter Rückenwirbel von vorn, in  $\frac{1}{8}$  natürl. Grösse und
  4. Derselben vierter Lendenwirbel von vorn noch mehr verkleinert und
  5. Derselben achter Schwanzwirbel von vorn, in  $\frac{1}{8}$  natürl. Grösse, ebenfalls nach Brandt, l. c.
  6. *Trichechus rosmarus*, letzte 7 Rückenwirbel mit den Anfängen der Rippen und 5 rippenlose Lendenwirbel, stark verkleinert, nach Cuvier, Rech. Oss. foss. Tab. 219b.
-





## **Erklärung von Tafel LXII.**

**Osteologie.**

---

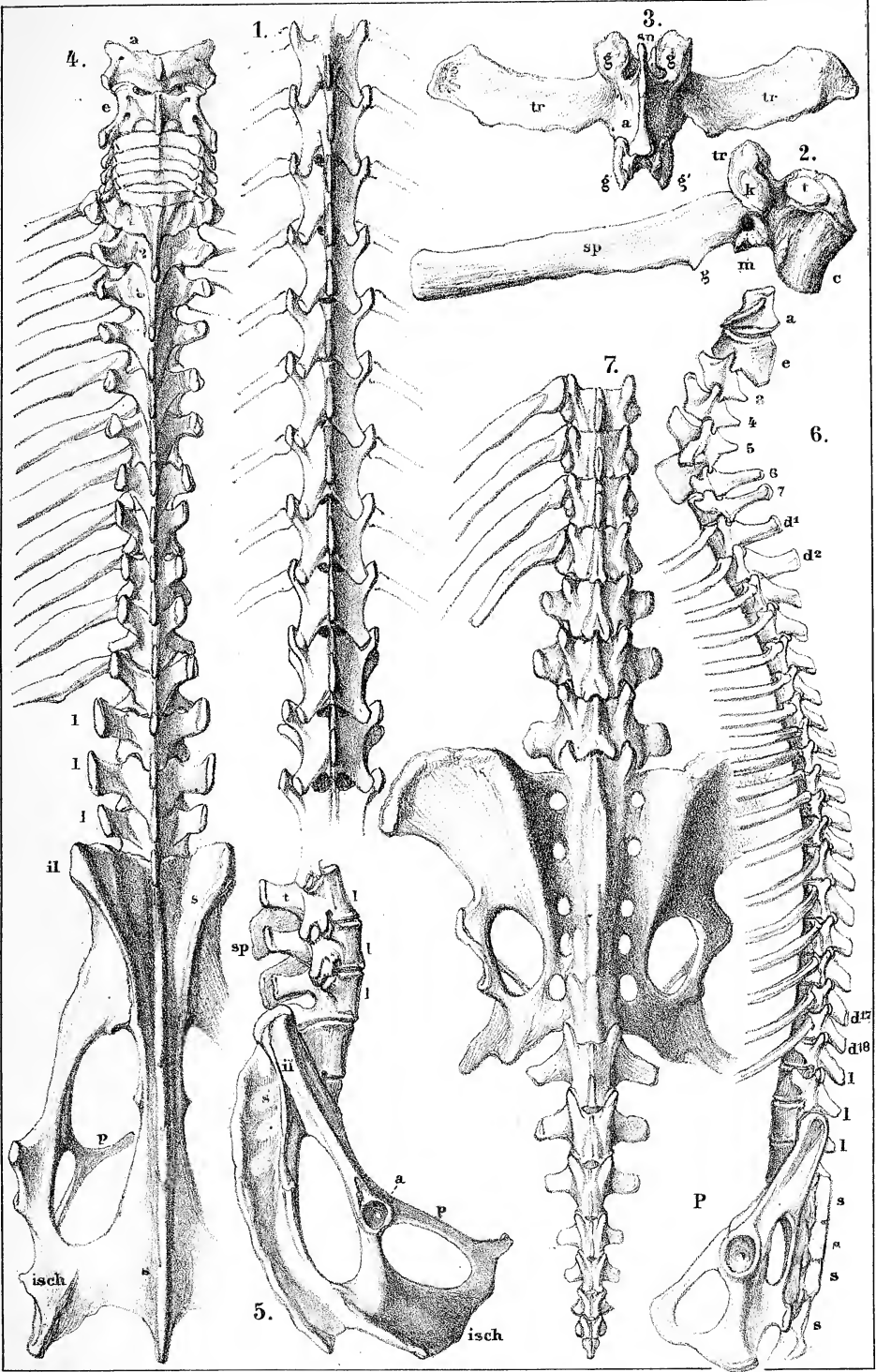
Fig.

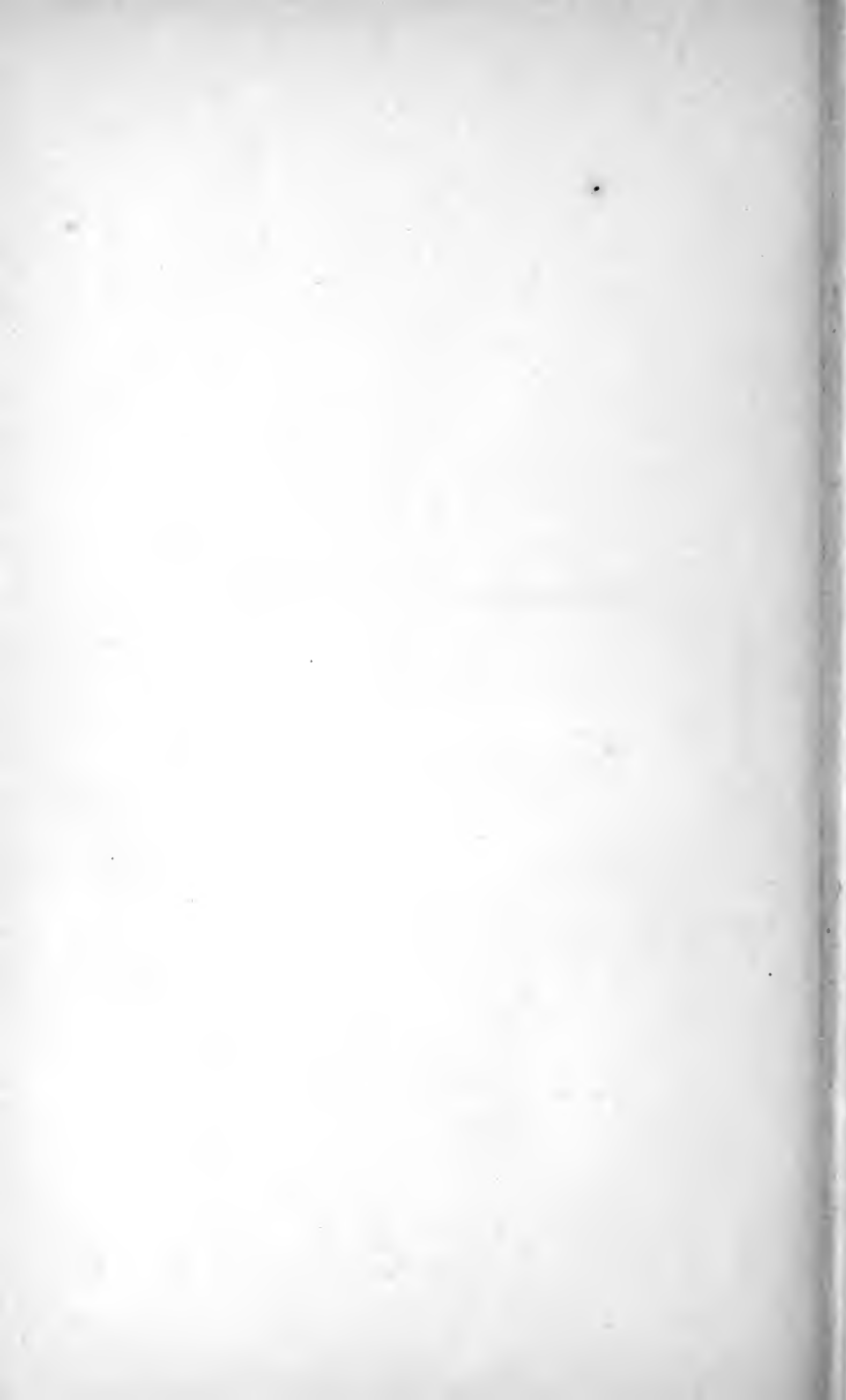
1. Hyrax syriacus, letzte Rückenwirbel mit den Anfängen der Rippen und erste rippenlose Lendenwirbel von oben, in natürl. Grösse. — Seite 311.
2. Bos taurus, ein Rückenwirbel von der Seite, in  $\frac{1}{6}$  natürl. Grösse. — *e.* Wirbelkörper, *tr.* Querfortsatz, *sp.* Dornfortsatz, *g.* Gelenkfortsatz, *m.* Nervenloch, *k.* Gelenkfläche für den Rippenhöcker, *t.* dieselbe für den Rippenkopf. — Seite 313.
3. Bos taurus, Lendenwirbel von oben, in  $\frac{1}{6}$  natürl. Grösse. — *aa.* Neuralbogen, *sp.* Dornfortsatz, *gg.* vordere, *g'g'.* hintere Gelenkfortsätze, *tr.* Querfortsätze. — Seite 314.
4. Dasypus conurus, Wirbelsäule und Becken von oben, in natürl. Grösse. — *a.* Atlas, *e.* Epistropheus mit verschmolzenem dritten Halswirbel 3, 1 2 3 *ff.* folgende rippentragende Rückenwirbel, *lll.* Lendenwirbel, *sss.* Kreuzbein mit den *ll.* Darm- und *isch.* Sitzbeinen verwachsen, *p.* Schambein. — Seite 319.
5. Dasypus conurus, Lendenwirbel, Kreuzbein und Becken von der Seite, in natürl. Grösse. — *a.* Beckenpfanne für den Oberschenkel, *sp.* Dornfortsatz, *t.* die aufgerichteten Muskelfortsätze der Lendenwirbel, die übrige Bezeichnung wie in Fig. 4. — Seite 319.
6. Myrmecophaga tetradaetyla, Wirbelsäule und Becken von der Seite, in  $\frac{1}{3}$  natürl. Grösse. — *a.* Atlas, *e.* Epistropheus, 3 4 5 6 7 folgende Halswirbel, *d<sup>1</sup>.* *d<sup>2</sup>.* — *d<sup>18</sup>.* rippentragende Rückenwirbel, *lll.* Lendenwirbel, *ssss.* Kreuzwirbel, *P.* Becken. — Seite 258. 271. 286. 318.
7. Bradypus infuscatus, hinterer Theil der Wirbelsäule mit dem Becken von oben, in  $\frac{1}{2}$  natürl. Grösse. — Seite 321.

Originale.

---







**Erklärung von Tafel LXIII.**

**Osteologie.**

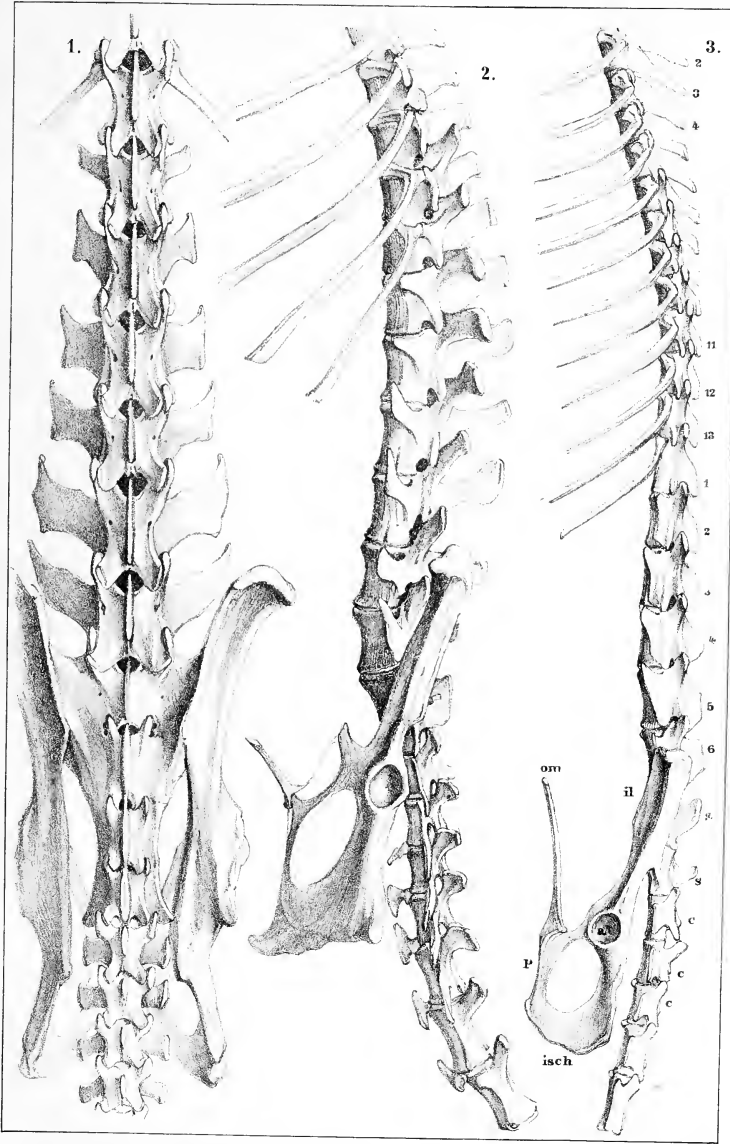
---

Fig.

1. *Halmaturus Bennetti*, letzter Rückenwirbel, sämtliche Lenden- und Kreuzwirbel, erster Schwanzwirbel und Becken von oben,
2. Dieselben von der Seite, in  $\frac{2}{8}$  natürl. Grösse.
3. *Didelphys opossum*, Wirbelsäule und Becken von der Seite, in natürl. Grösse, 2 3 4 . . . 11 12 13 Rückenwirbel mit den oberen Enden der Rippen, 1 2 3 . . 6 Lendenwirbel, *ss.* Kreuzwirbel, *ccc.* Schwanzwirbel, *il.* Darmbein, *isch.* Sitzbein, *p.* Schambein, *a.* Gelenkpfanne des Oberschenkels, *om.* Beutelknochen.

Originale.

---





**Erklärung von Tafel LXIV:**

**Osteologie.**

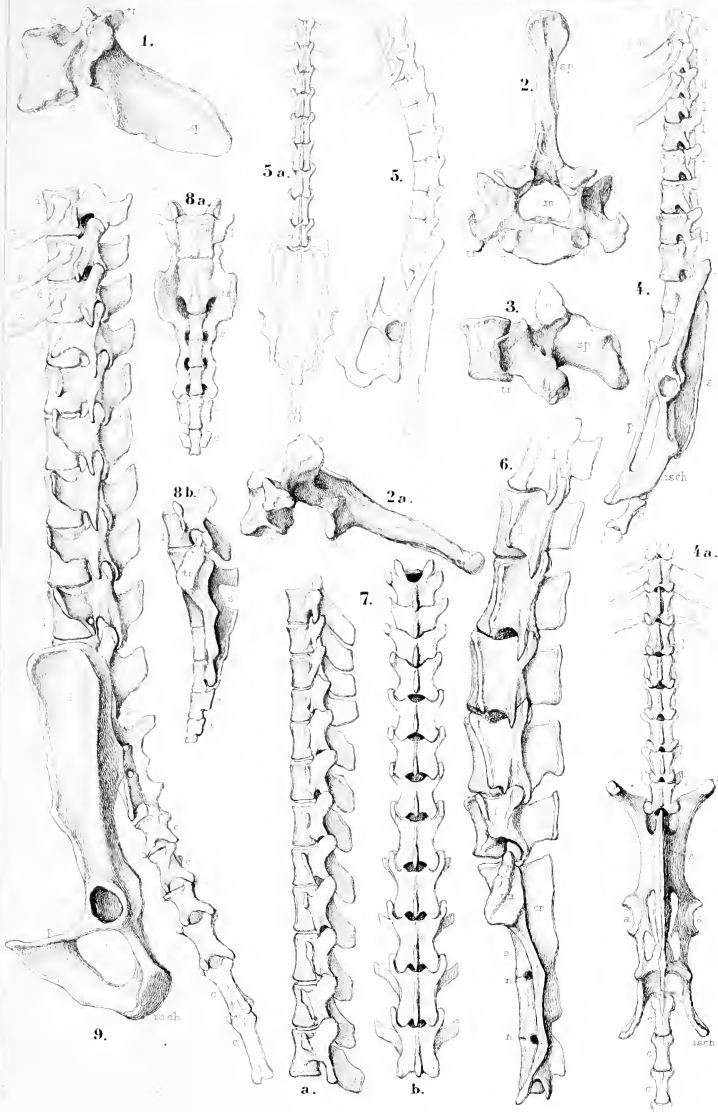
---

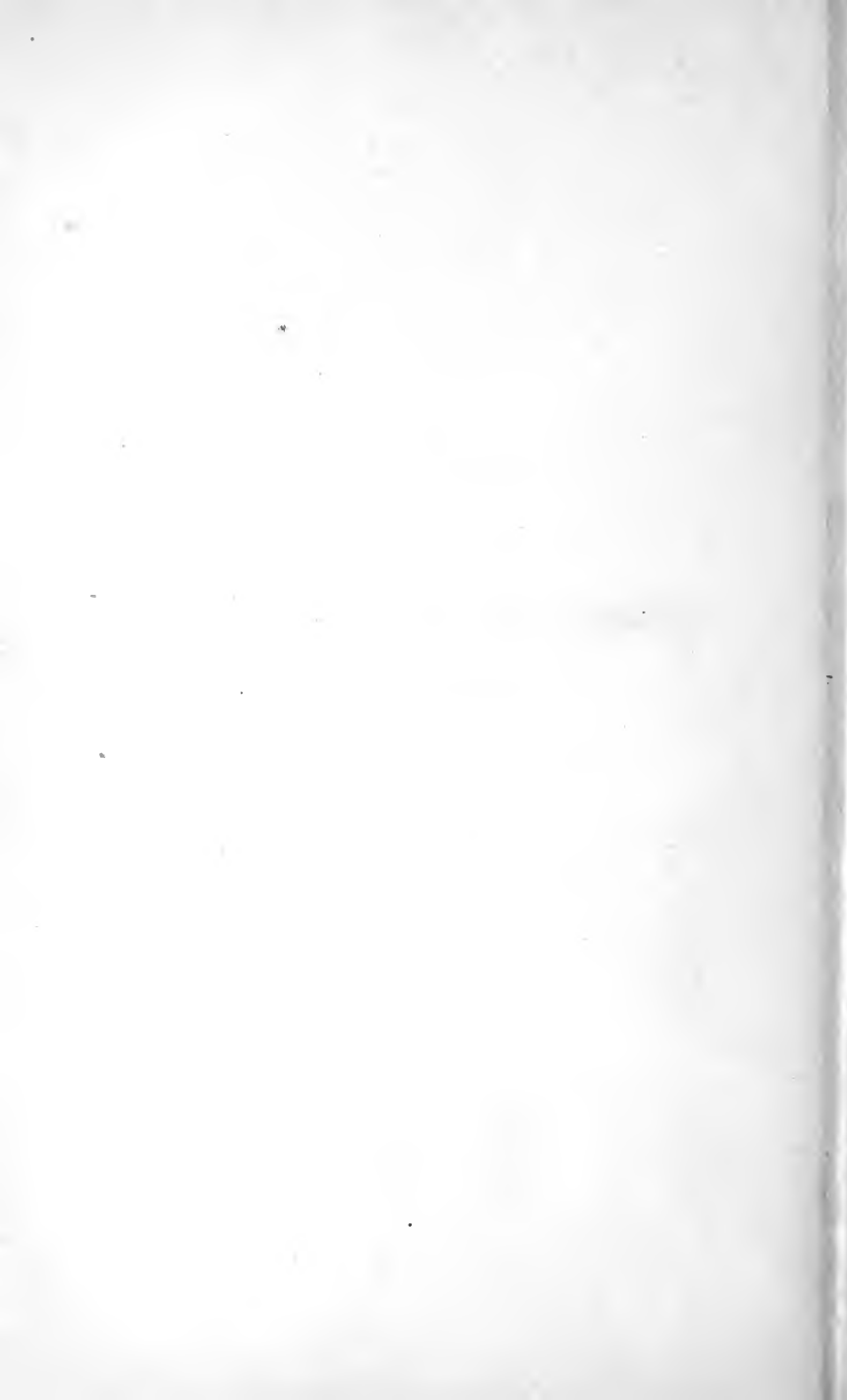
Fig.

1. Rückenwirbel vom Dachs, von der Seite, in natürl. Gr. — c vordere, c' hintere Gelenkfläche für den Rippenkopf. — a Gelenkfläche für den Rippenhöcker. — o vorderer o' hinterer schiefer Fortsatz am Bogen. — tr. Querfortsatz. — sp. Dornfortsatz. — Seite 328.
2. Zweiter Rückenwirbel der *Hyaena spelaea* von hinten, 2<sup>a</sup> von der Seite,  $\frac{1}{3}$  natürl. Gr. aus dem Diluvium des Sevekenberges bei Quedlinburg. — m Markkanal, die übrigen Buchstaben wie Fig. 1. — Seite 330.
3. Lendenwirbel der *Hyaena spelaea* ebendaher, 2 $\frac{1}{2}$  verkleinert, Seitenansicht. — tr. abgebrochen, andere Bezeichnung wie vorhin. — Seite 331.
4. *Scalops aquaticus*, Wirbelsäule und Becken, von der Seite und 4<sup>a</sup> von oben, um  $\frac{1}{3}$  vergrößert. — d d d Rückenwirbel mit den anhängenden letzten Rippen r, ll Lendenwirbel, s Kreuzbein, ccc Schwanzwirbel, i Darmbein, isch Sitzbein, p Schambein, aa Pflanze für den Oberschenkel. — Seite 332. 350. 356. 355.
5. *Vespertilio noctula*, dieselben Theile wie in Figur 4 in  $\frac{2}{3}$  natürl. Grösse, Seitenansicht und 5<sup>a</sup> von oben. — Seite 333. 351. 369.
6. *Galeopithecus volans*, Lendenwirbel und Kreuzbein von der Seite in natürl. Gr. — ll Lendenwirbel, s Kreuzbein mit Dornkamm cr, Querfortsatz tr, der das Darmbein trägt, und den untern Kreuzlöchern nn. — Seite 333. 351.
7. Lendenwirbel von *Stenops javanicus* Seitenansicht und 7<sup>b</sup> von oben in natürl. Gr. — Seite 334.
8. <sup>a</sup>*Stenops javanicus* von oben und 8<sup>b</sup> von unten in natürl. Gr. — l letzter Lendenwirbel, s Kreuzbein mit den untern Kreuzlöchern und dem Querfortsatz tr als Träger des Beckens, cc die beiden ersten Schwanzwirbel. — Seite 334. 351. 356.
9. *Inuus silenus*, dd Rückenwirbel mit Rippenanfängen rrr, ll Lendenwirbel, s Kreuzbein mit den obern Kreuzlöchern, cccc Schwanzwirbel, i Darmbein, isch Sitzbein, p Schambein  $\frac{1}{2}$  natürl. Gr. — Seite 335. 353. 370.

Alle Figuren sind Originale.







**Erklärung von Tafel LXV.**

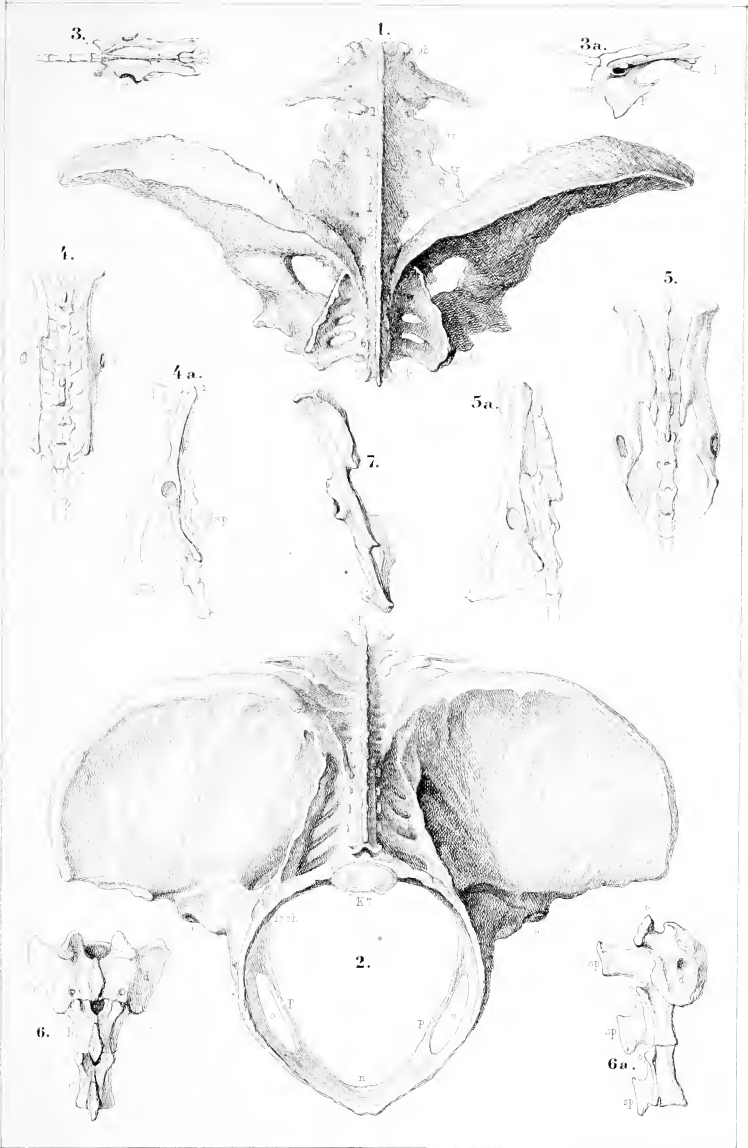
**Osteologie.**

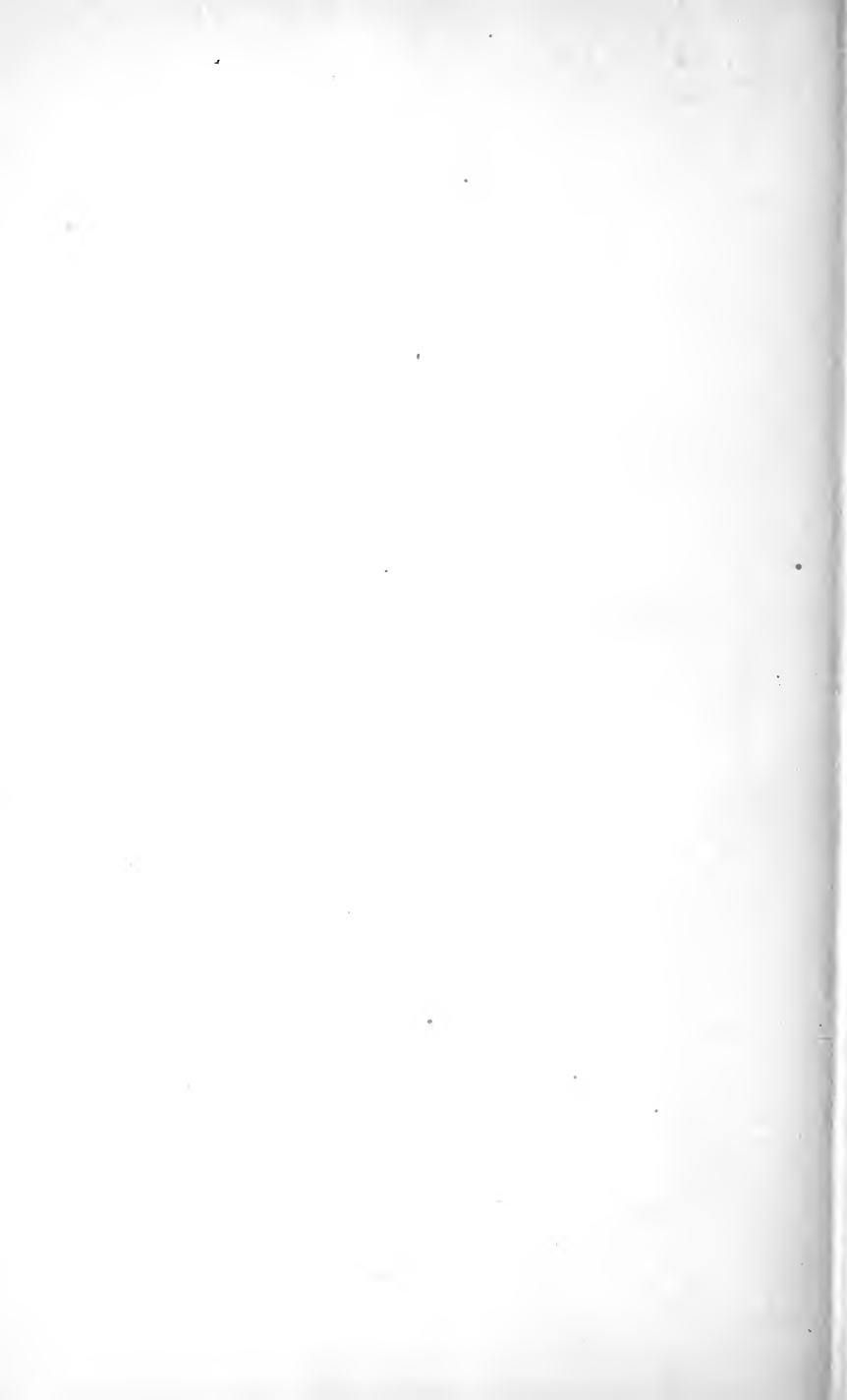
---

Fig.

1. Becken und Kreuzbein von *Myiodon robustus* von oben und 2. von hinten, stark verkleinert, nach Owen. — a Pfanne für den Oberschenkel; e anchylosirte Rippe des letzten (16) Rückenwirbels d; i Darmbein; isch Sitzbeinhöcker; k Kreuzbeinlöcher; lll die drei Lendenwirbel; 1, 2 .... 6, 7 verwachsene Kreuzwirbel und sp deren Dornkamm, n Schambeinfuge; o Foramen obturatorium; p Schambein; tr Querfortsätze der Lendenwirbel; ob schiefer Fortsatz des letzten Rückenwirbels mit Gelenkfläche; kz hintere Gelenkfläche des letzten Kreuzwirbelkörpers. — Seite 340.
3. *Noctilio leporinus*, Becken und Kreuzbein von oben und 3<sup>a</sup> von der Seite. — l Lendenwirbel, s Kreuzbein, e Schwanzwirbel, i Darmbein, p Schambein; isch Sitzbein; a Pfanne für den Oberschenkel. — Seite 351. 369.
4. *Dipus hirtipes*, Becken mit zugehöriger Wirbelsäule von oben und 4<sup>a</sup> in der Seitenansicht in natürl. Gr. — sp erhöhte Dornfortsätze der hintern Kreuzwirbel, übrige Buchstaben wie in voriger Figur. — Seite 346. 364.
5. *Erinaceus lybicus*, Kreuzbein, vordere Schwanzwirbel und Becken von oben, und 5<sup>a</sup> von der Seite in natürl. Gr. — Seite 350. 369.
6. *Lepus cuniculus*, Kreuzbein von oben und 6<sup>a</sup> von der Seite, in natürl. Gr. — abc 1. 2. 3. Kreuzwirbel mit ooo den schiefen Fortsätzen, sp den Dornfortsätzen, d der Anheftungsfläche des Darmbeines. — Seite 344.
7. *Lepus cuniculus*, Beckenhälfte von oben in  $\frac{1}{2}$  natürl. Gr.

Figur 3—7 sind Originale.





**Erklärung von Tafel LXVI.**

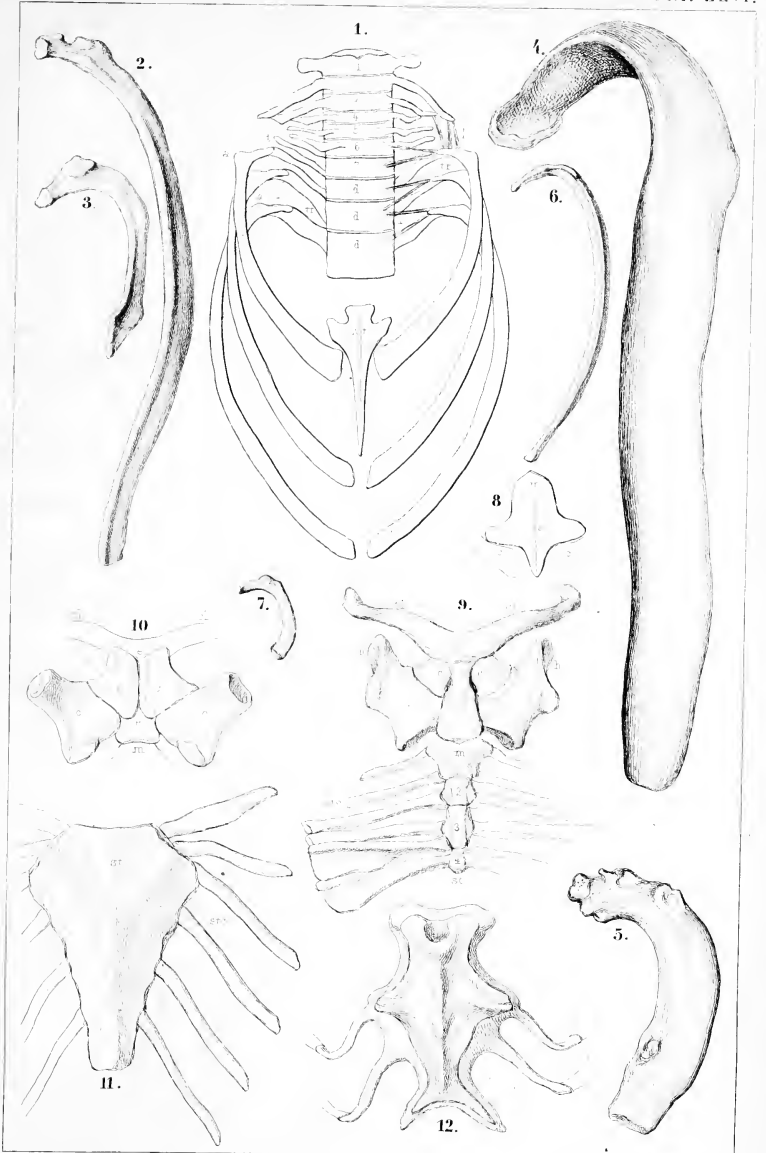
**Osteologie.**

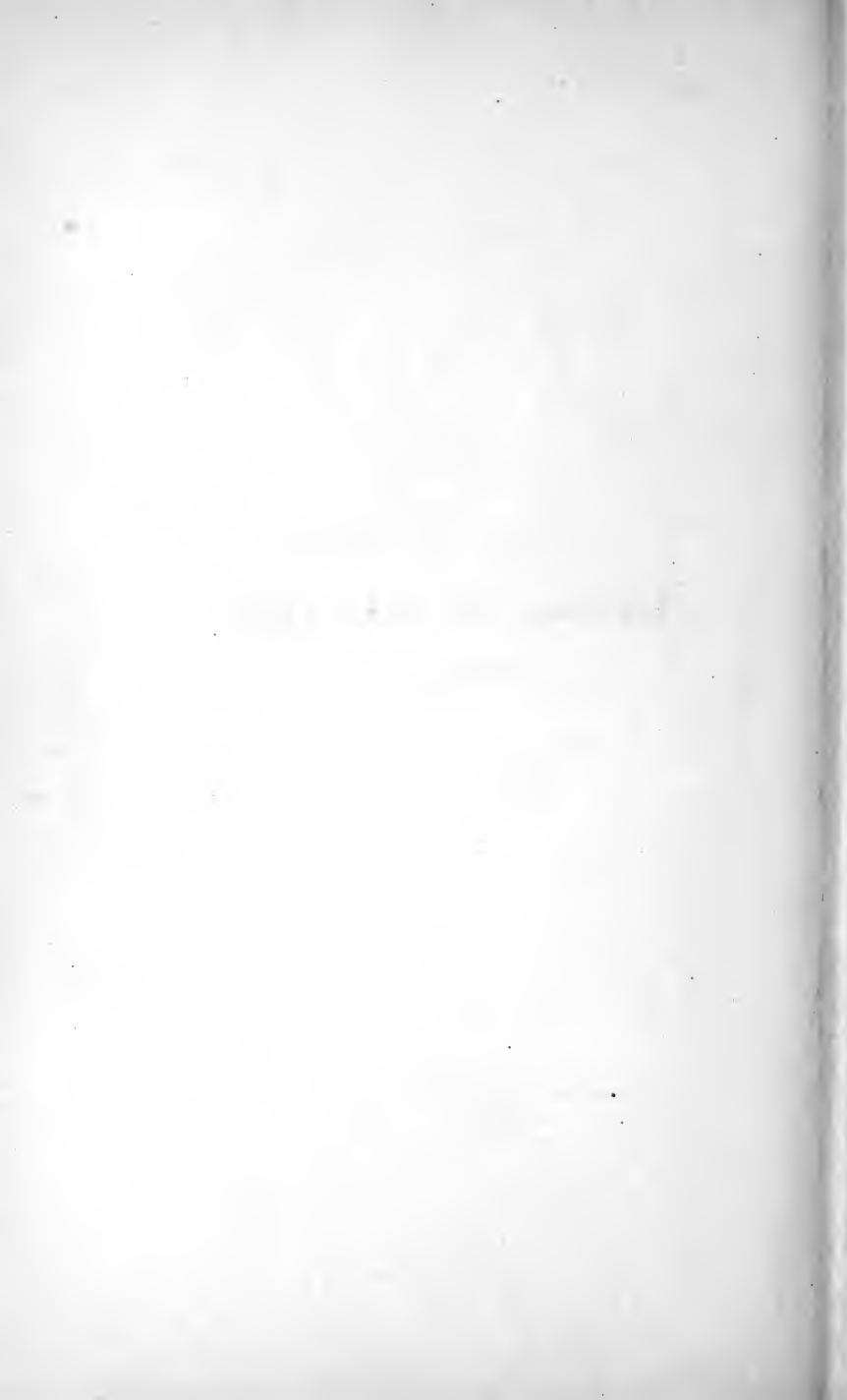
Fig.

1. Brustkasten eines Bartenwales in  $\frac{1}{10}$  natürl. Gr. nach Eschricht. — 1. 2. . . . 7 Halswirbel; ddd drei erste Rückenwirbel mit den Querfortsätzen tr; st Brustbein; ccc drei erste Rippen mit ihrem tuberculum t und dem Rippenwinkel aa und den Bändern ll. Seite 372. 389.
2. Eine hintere und 3. die erste Rippe von *Bradypus tridactylus* in natürl. Gr.
4. Zwölfte und 5. erste Rippe der *Rhytine Stelleri* nach Brandt, in  $\frac{1}{8}$  natürl. Gr. — Seite 374.
6. Eine hintere und 7. die erste Rippe von *Stenops gracilis*, in natürl. Gr.
8. Brustbein des *Keporkak* verkleinert, nach Eschricht, st Brustbeinplatte, m Manubrium, cc Sternalenden des ersten Rippenpaares.
9. Brustskelet der *Echidna hystrix* vor unten: cl Schlüsselbein, e T förmiges Episternale von dem Manubrium m, 2. 3. 4. folgende Sternalia des Brustbeins st, c Coracoideus mit der Gelenkfläche h für den Oberarm und mit getrenntem die Verbindung mit dem Episternale vervollständigendem Fortsatz, stc Sternocostalia, deren letzte beide sich lamellenartig verbreitern. — Seite 377. 391. 408.
10. Dasselbe von der innen oder obern Seite, die Buchstaben wie in voriger Figur.
11. Brustbein mit den Sternocostalien von *Phocaena communis* in  $\frac{1}{2}$  natürl. Gr. — st Brustbeinplatte, stc Sternocostalien.
12. Dasselbe von *Manatus latirostris* nach Brandt.

Figur 2. 3. 6. 7. 9. 10. 11. sind Originale.







**Erklärung von Tafel LXVII.**

**Osteologie.**

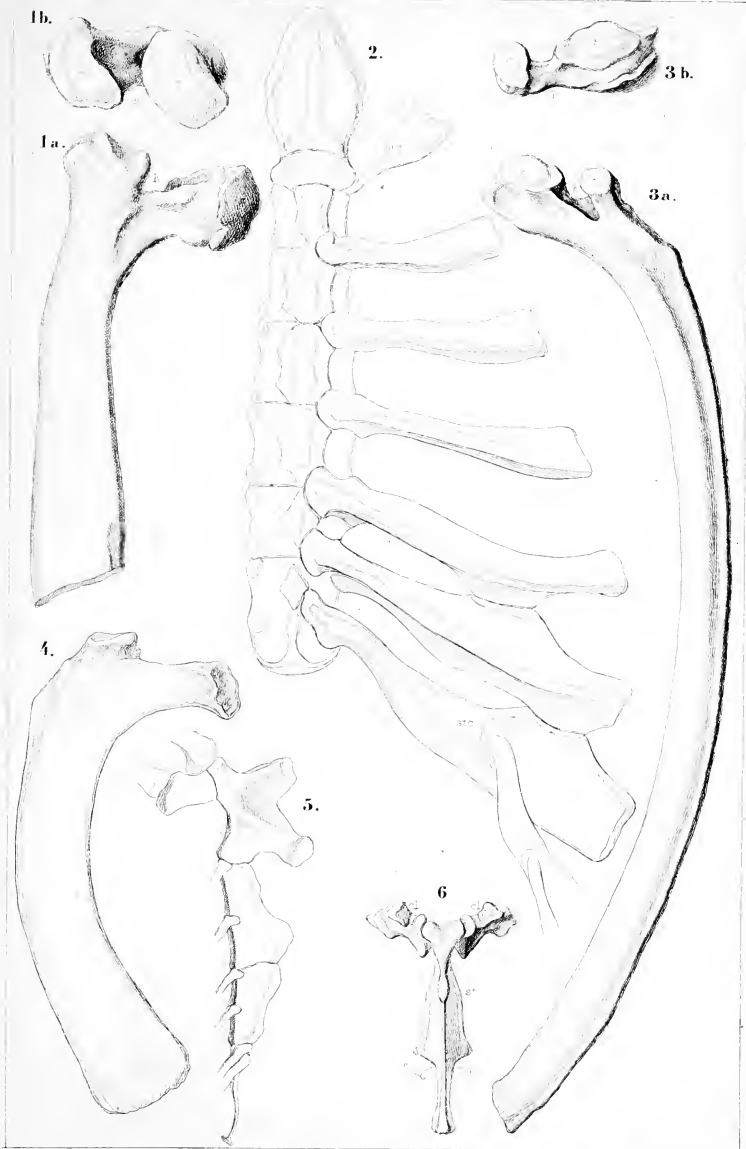
---

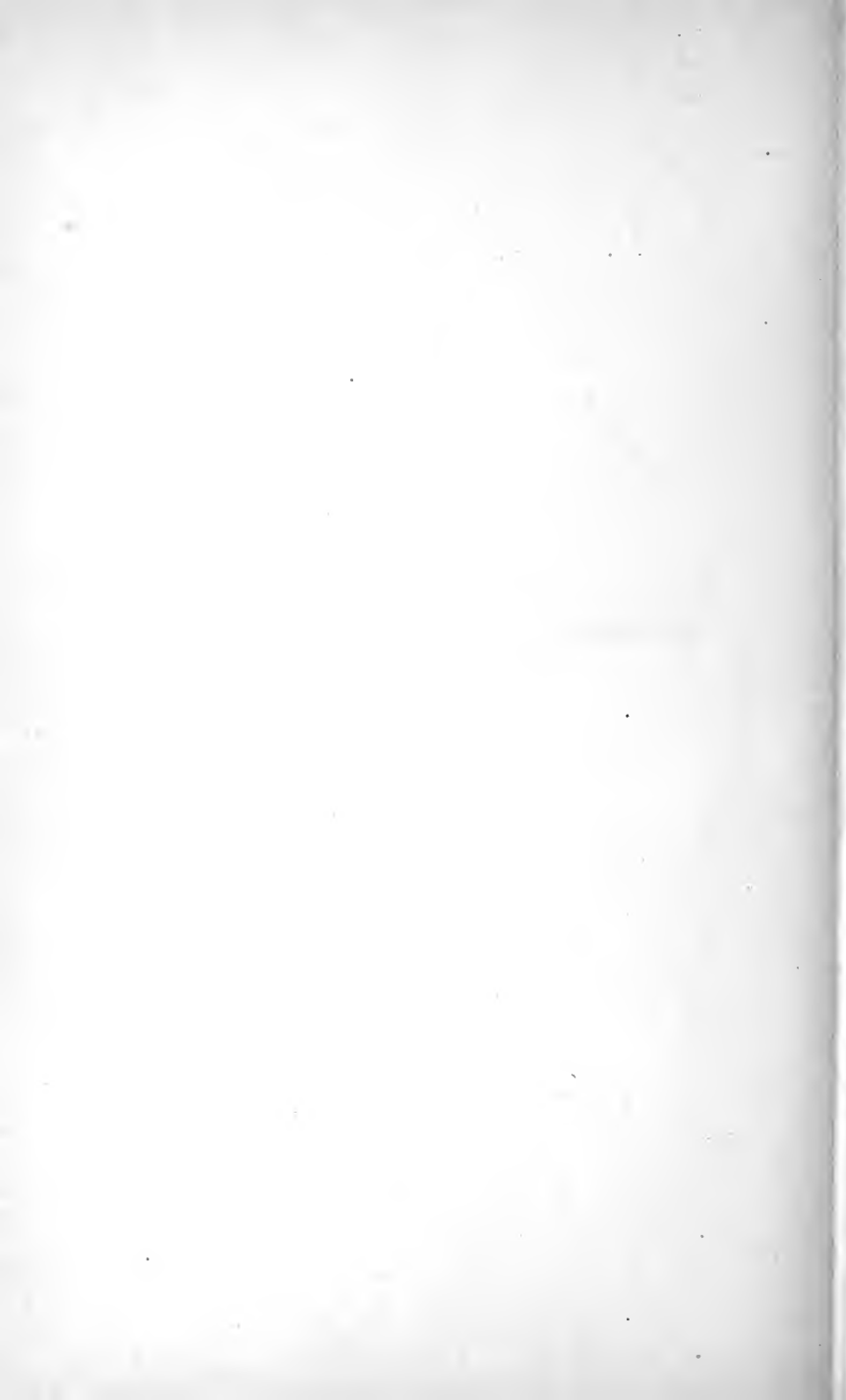
Fig.

- 1.<sup>a</sup> Erste rechte Rippe vom Dromedar in  $\frac{1}{2}$  natürl. Grösse, 1<sup>b</sup> deren obere Gelenkfläche; c Capitulum, h Collum, t Tuberculum. — Seite 376.
2. *Myiodon gracilis*, Brustbein mit den Sternocostalien, in  $\frac{1}{4}$  der natürl. Gr. nach Burmeister. Seite 350. 393.
- 3.<sup>a</sup> *Rhinoceros javanicus*, 5. Rippe der rechten Seite, bei 3<sup>b</sup> deren obere Gelenkflächen in  $\frac{1}{4}$  der natürl. Grösse, die Buchstaben wie in Figur 1. — Seite 375.
4. *Pithecus Satyrus*, erste Rippe in natürl. Grösse. — Seite 388.
5. *Pteropus*, Brustbein von der Seite mit dem Anfange des Schlüsselbeines und den Sternocostalien, nach Pander und d'Alton. — Seite 397.
6. *Talpa europaea*, Brustbein st von unten, cl Schlüsselbein, c erstes Rippenpaar vergrössert. Seite 396.

Figur 1. 3. 4. 6. sind Originale.

---





**Erklärung von Tafel LXVIII.**

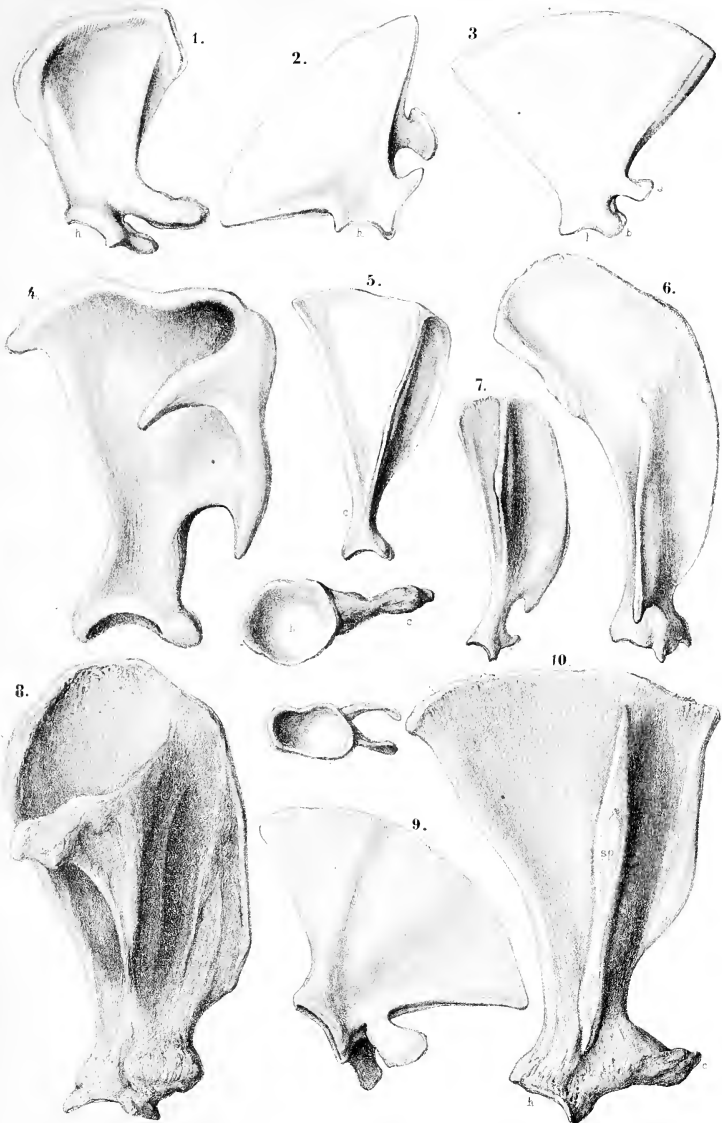
**Osteologie.**

Schulterblätter von der Aussenseite.

Fig.

1. *Physeter*, nach Cuvier, *Rech. Oss. foss.*,  $\frac{1}{20}$  der natürl. Grösse. — h Gelenkfläche des Oberarmes. — Seite 402.
  2. *Hyperoodon*, nach Cuvier, ebenda,  $\frac{1}{8}$  der natürl. Grösse. — Seite 402.
  3. *Balaena australis*, nach Cuvier, ebda,  $\frac{1}{35}$  der natürl. Grösse. — a Acromion, b. Fortsatz. — Seite 401.
  4. *Elephas primigenius*, nach Cuvier, ebda, stark verkleinert. — Seite 404.
  5. *Hyrax syriacus*, wenig verkleinert. — c Hals des Schulterblattes — Original. — Seite 405.
  6. *Halicore cetacea*,  $\frac{1}{4}$  der natürl. Grösse. — Original. — Seite 403.
  7. *Tapirus americanus*. — Original. — Seite 405.
  8. *Rhinoceros javanicus*,  $\frac{1}{6}$  der natürl. Grösse. — Original. — Seite 404.
  9. *Globicephalus globiceps*, der natürl. Grösse. Darüber Ansicht der Gelenkfläche des Oberarmes. — Original. — Seite 402.
  10. *Hippopotamus amphibius*,  $4\frac{1}{2}$  mal verkleinert. — c Coracoideum, sp Gräte, h Gelenkfläche für den Oberarm, deren Ansicht darüber besonders dargestellt ist. — Seite 404.
-





Verh. Anst. v. Aug. v. G. v. Leipzig



**Erklärung von Tafel LXIX.**

**Osteologie.**

---

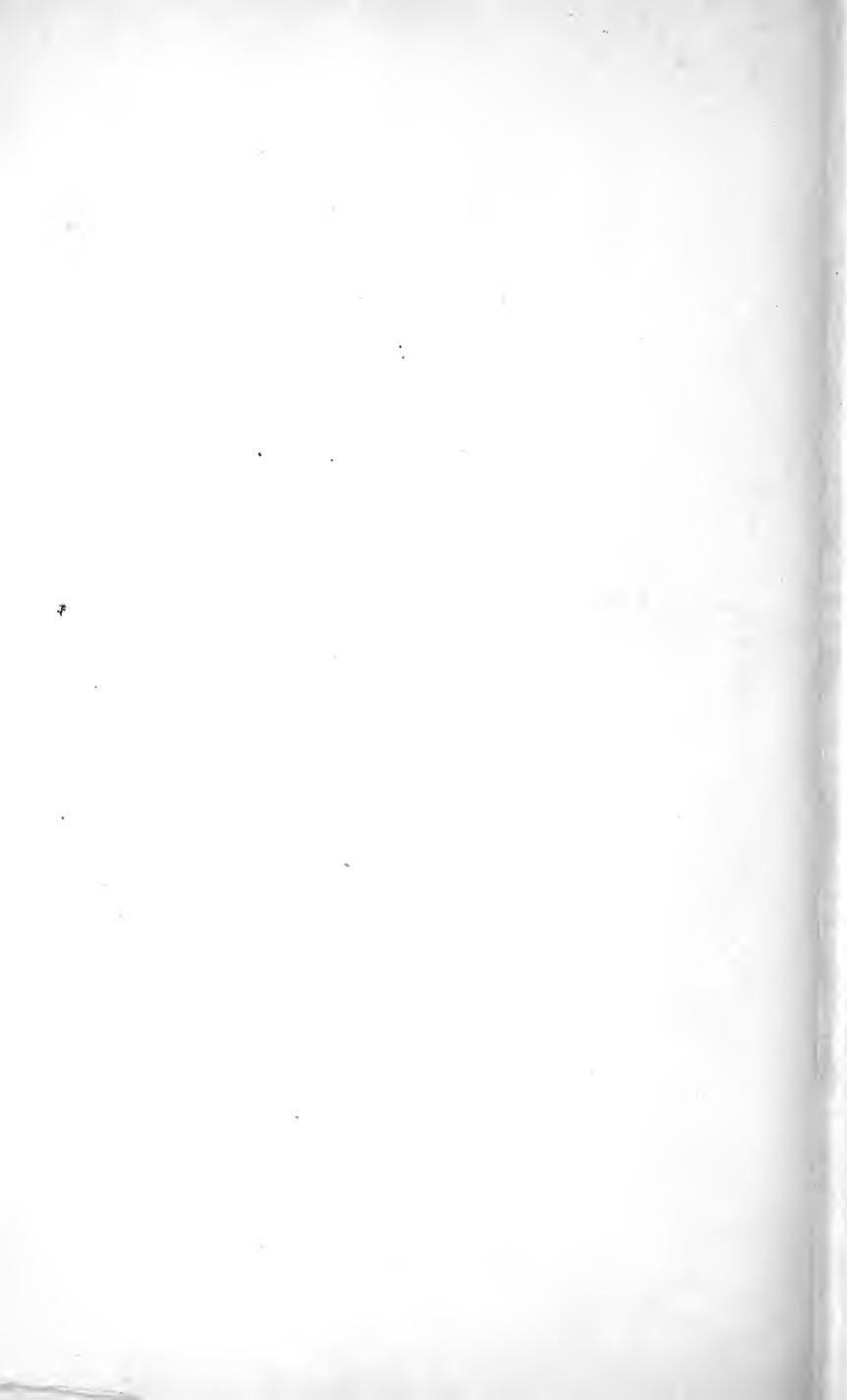
Schulterblätter von der Aussenseite.

Fig.

1. *Cervus dama*,  $3\frac{1}{2}$  mal verkleinert. — Seite 406.
2. *Equus caballus*,  $\frac{1}{5}$  der natürl. Grösse.
3. *Antilope rupicapra*,  $\frac{1}{3}$  der natürl. Grösse. — Seite 406.
4. *Rhytine Stelleri*,  $\frac{1}{8}$  der natürl. Grösse, nach Brandt, symbol. Sirenoi. — Seite 403.
5. *Palaeotherium crassum*, nach Cuvier, Rech. Oss. foss., verkleinert. — Seite 404.
6. *Macranthenia patagonica*, nach Burmeister, Anales Mus. Buenos Aires,  $\frac{1}{12}$  der natürlichen Grösse. — Seite 407.
7. *Moschus meminna*,  $\frac{2}{3}$  der natürl. Grösse. — Seite 407.
8. *Bos taurus*,  $4\frac{1}{2}$  mal verkleinert. — Seite 405.
9. *Camelopardalis*, stark verkleinert, nach Pander und d'Alton. — Seite 407.
10. *Bos moschatus*, stark verkleinert, nach Richardson, Voyage of Herald. — Seite 406.

Figur 1. 2. 3. 7. 8. sind Originale.





# Erklärung von Tafel LXX.

Osteologie.

---

Schulterblätter von der Aussenseite.

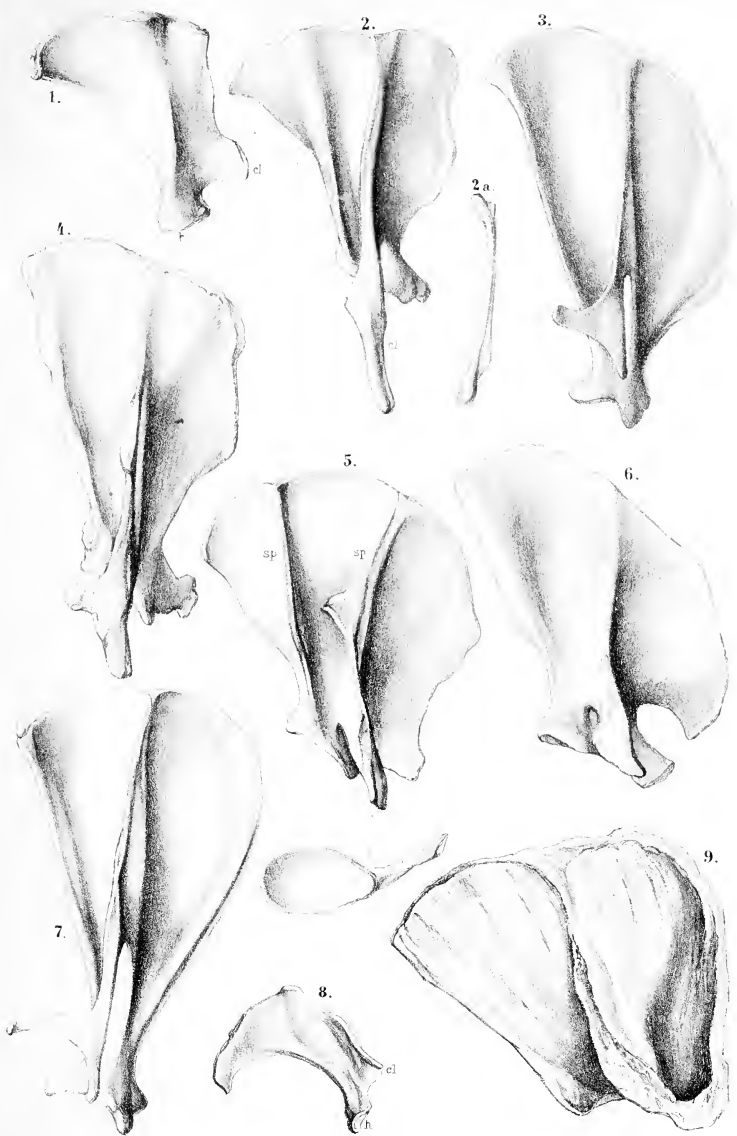
Fig.

1. *Echidna hystrix*, natürl. Grösse. — cl Ansatzfläche des Schlüsselbeines, h Gelenkfläche des Oberarms. — Seite 408.
2. *Dasypus sexcinctus*, natürl. Grösse. — bei cl Schlüsselbein und 2<sup>a</sup> das ganze Schlüsselbein. — Seite 409.
3. *Coelogenys paca*, natürl. Grösse. — Seite 410.
4. *Orycteropus capensis*,  $\frac{1}{2}$  der natürl. Grösse. — Seite 409.
5. *Myrmecophaga tetradactyla*,  $\frac{1}{2}$  verkleinert. — sp gewöhnliche Gräte, sp' zweite Gräte. Seite 408.
6. *Bradypus infuscatus*,  $\frac{1}{3}$  verkleinert. — Seite 410.
7. *Dolichotis patagonica*, natürl. Grösse. — Seite 411.
8. *Ornithorhynchus paradoxus*, natürl. Grösse. — cl Ansatzfläche des Schlüsselbeines, h Gelenkfläche des Oberarmes. — Seite 408.
9. *Mylodon robustus*, stark verkleinert, nach Owen, Monogr. Mylodon. — Seite 410.

Figur 1 — 8 sind Originale.

---







**Erklärung von Tafel LXXI.**

**Osteologie.**

---

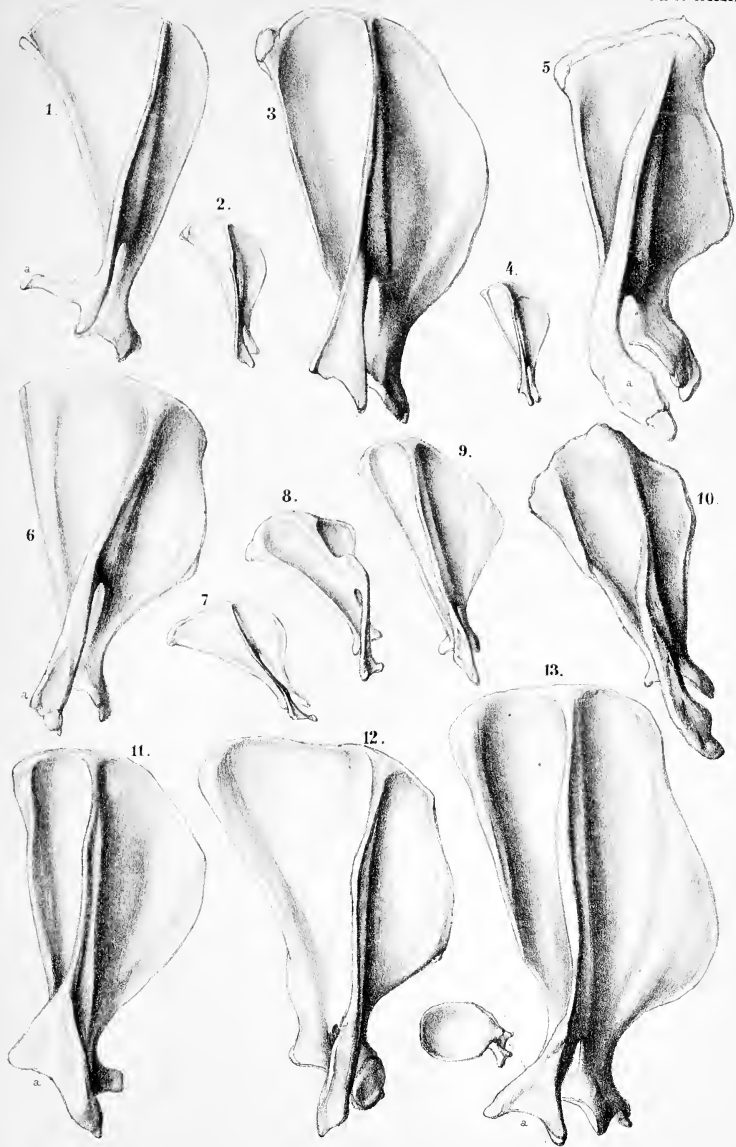
Schulterblätter von der Aussenseite.

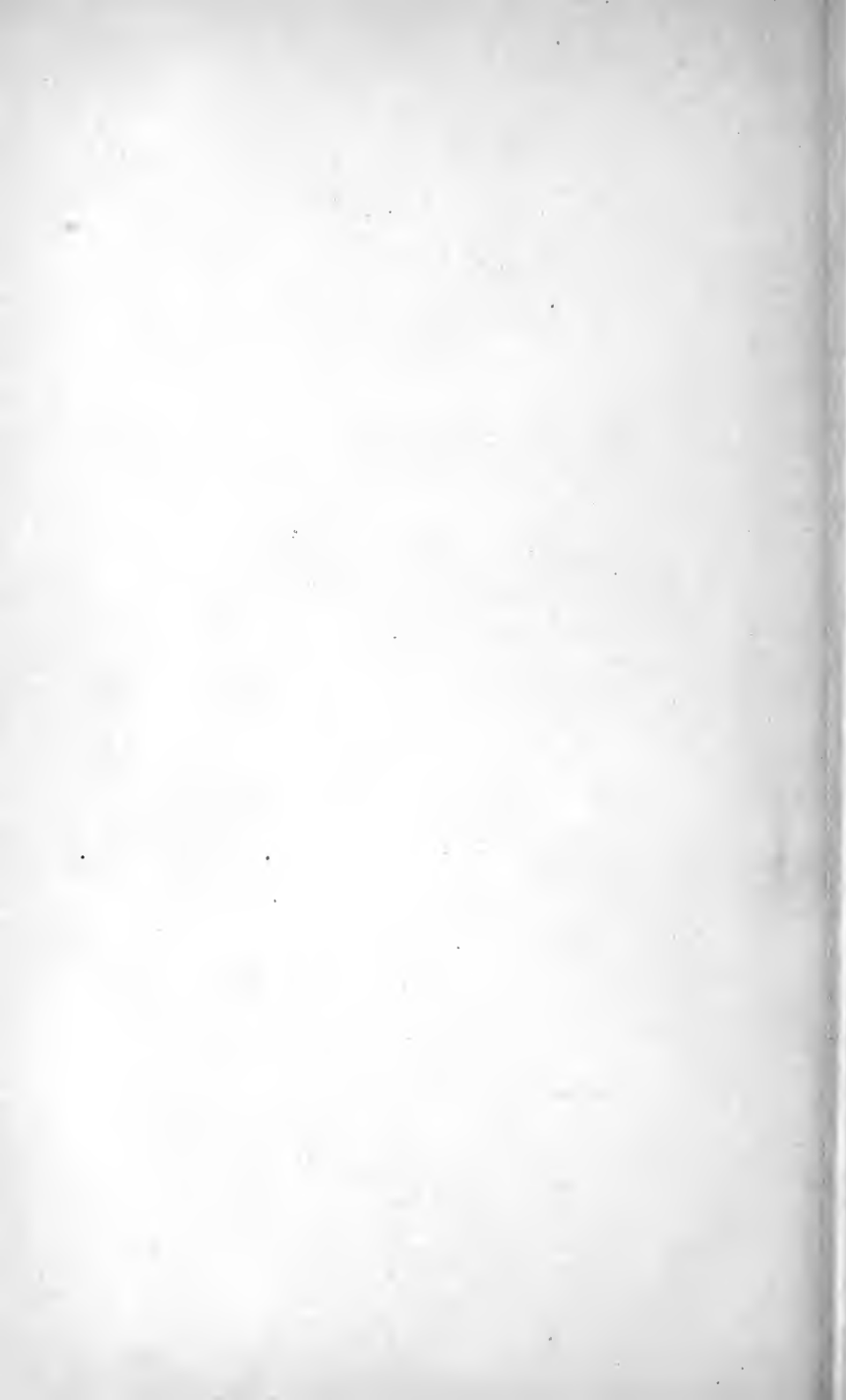
Fig.

1. *Lepus cuniculus*, in natürl. Grösse. — Seite 411.
2. *Mus decumanus*, in natürl. Grösse. — Seite 413.
3. *Dasyprocta aguti*, um wenige Linien verkleinert. — Seite 411.
4. *Hypudaeus amphibius*, in natürl. Grösse. — Seite 414.
5. *Phascolomys fossor*,  $\frac{1}{2}$  der natürl. Grösse. — Seite 415.
6. *Lagostomus trichodactylus*, sehr wenig verkleinert. — Seite 412.
7. *Loncheres armatus* in natürl. Grösse. — Seite 412.
8. *Georychus capensis*, in natürl. Grösse. — Seite 413.
9. *Cricetus frumentarius*, in natürl. Grösse. — Seite 414.
10. *Castor fiber*,  $\frac{1}{2}$  der natürl. Grösse. — Seite 414.
11. *Arctomys monax*, in natürl. Grösse. — Seite 414.
12. *Halmaturus Bennetti*, in natürl. Grösse. — Seite 415.
13. *Hystrix cristata*, sehr wenig verkleinert. — Seite 411.

Alle Figuren sind Originale.

---





**Erklärung von Tafel LXXII.**

**Osteologie.**

---

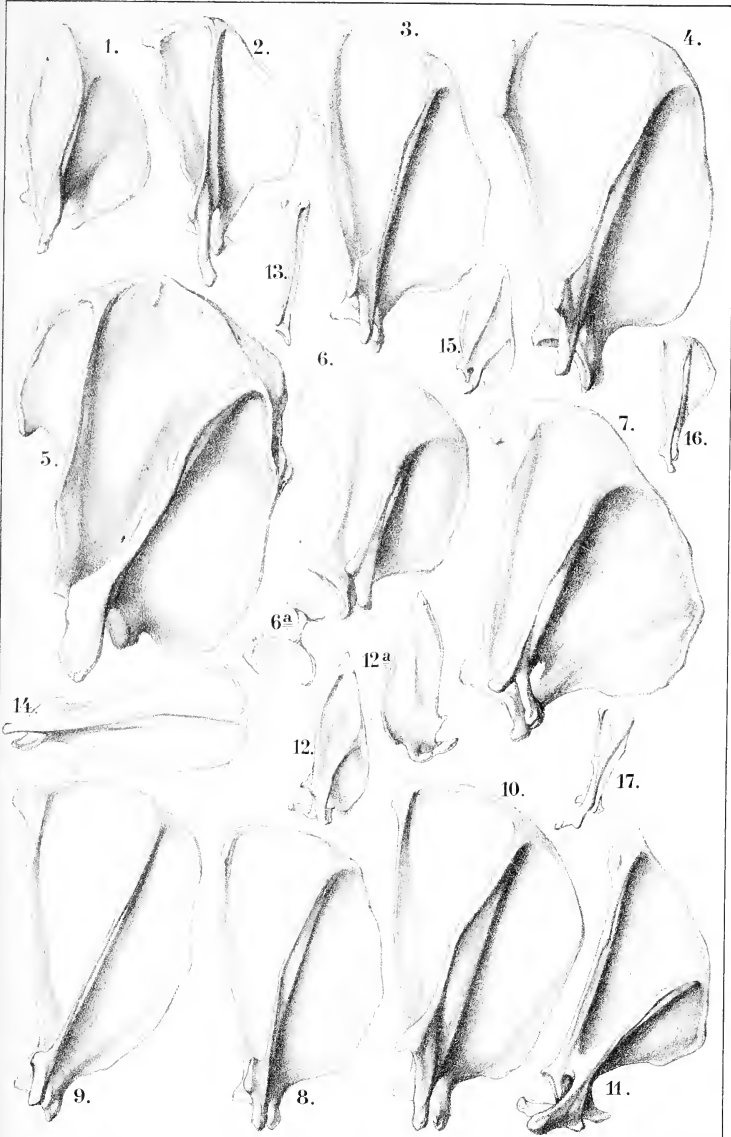
Schulterblätter von der Aussenseite.

Fig.

1. *Myrmecophaga didactyla*, in natürl. Grösse. — Seite 409.
2. *Dasyurus viverrinus*, um wenige Linien verkleinert. — Seite 416.
3. *Procyon lotor*, um  $\frac{1}{6}$  verkleinert. — Seite 417.
4. *Gulo arcticus*, in  $\frac{5}{8}$  der natürl. Grösse. — Seite 418.
5. *Ursus arctos*, in etwas weniger als  $\frac{1}{3}$  der natürl. Grösse. — Seite 417.
6. *Mydaus meliceps*, in natürl. Grösse. — bei 6<sup>a</sup> Ansicht von der Gelenkfläche. — Seite 418.
7. *Pterura Sambachi*, in  $\frac{5}{8}$  der natürl. Grösse. — Seite 418.
8. *Viverra genetta*, in natürl. Grösse. — Seite 419.
9. *Canis zerda*, in natürl. Grösse. — Seite 419.
10. *Felis yaguarundi*, in  $\frac{5}{7}$  der natürl. Grösse. — Seite 420.
11. *Galeopithecus volans*, in natürl. Grösse. — Seite 423.
12. *Pteropus Peroni*, 12<sup>a</sup> von der Innenseite, in natürlicher Grösse. — Seite 422.
13. *Talpa europaea*, in natürl. Grösse. — Seite 420.
14. *Centetes madagascariensis*, in natürl. Grösse. — Seite 422.
15. *Noctilio rufus*, in natürl. Grösse. — Seite 422.
16. *Otolicnus galag*, natürl. Grösse.
17. *Chrysochloris capensis*, in natürl. Grösse. — Seite 421.

Alle Figuren sind Originale.







**Erklärung von Tafel LXXIII.**

**Osteologie.**

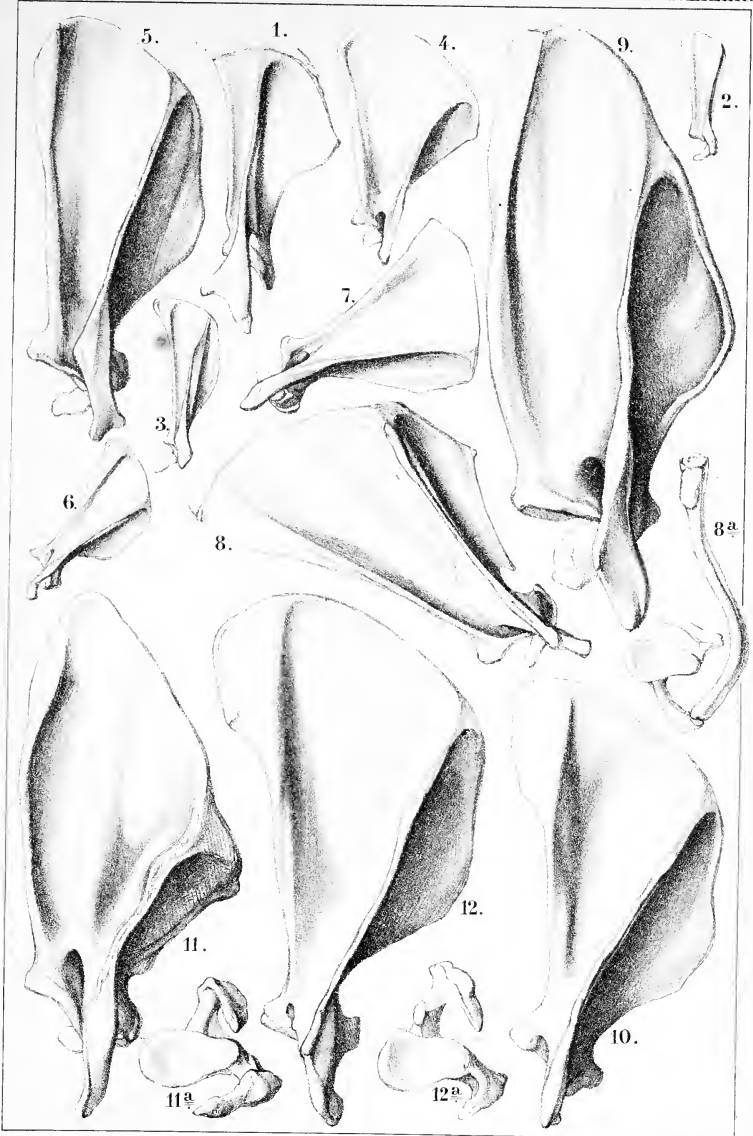
---

Schulterblätter von der Aussenseite.

Fig.

1. *Erinaceus europaeus*, in natürl. Grösse. — Seite 421.
2. *Tarsius spectrum*, in natürl. Grösse. — Seite 423.
3. *Otolienus galago*, in natürl. Grösse. — Seite 423.
4. *Stenops javanicus*, in natürl. Grösse. — Seite 423.
5. *Lemur macaco*, in natürl. Grösse. — Seite 423.
6. *Hapale midas*, in natürl. Grösse. — Seite 424.
7. *Pithecia monachus*, in natürl. Grösse. — Seite 424.
8. *Cebus fatuellus*, in natürl. Grösse. — bei 5<sup>a</sup> von der Gelenkfläche mit dem Schlüsselbein. — Seite 424. 429.
9. *Hylobates leuciscus*, in natürl. Grösse. — Seite 425.
10. *Cercopithecus sabaicus*, natürl. Grösse. — Seite 425.
11. *Pithecus satyrus*, in  $\frac{1}{3}$  natürl. Grösse. — bei 11<sup>a</sup> von der Gelenkfläche gesehen. — Seite 425.
12. *Inuus silenus*, in natürl. Grösse. — bei 12<sup>a</sup> von der Gelenkfläche gesehen. — Seite 425.

Alle Figuren sind Originale.





**Erklärung von Tafel LXXIV.**

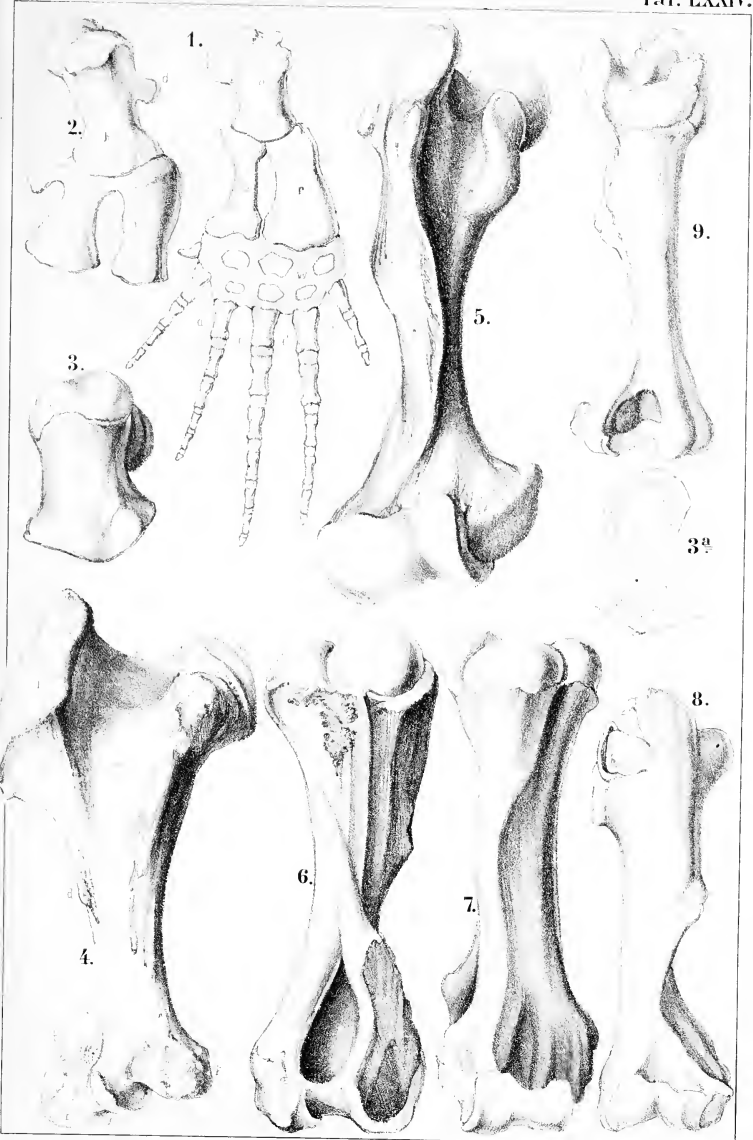
**Osteologie.**

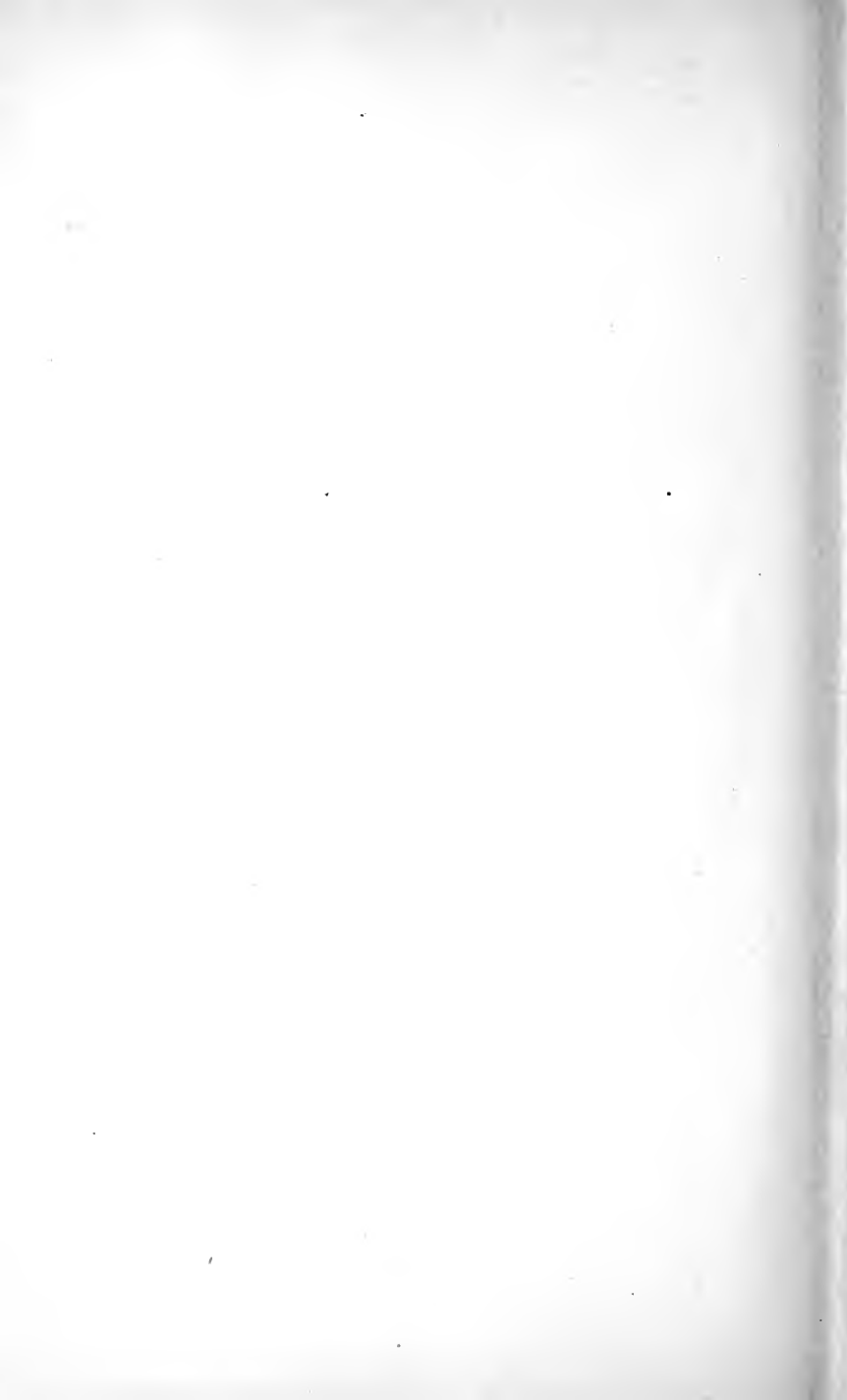
---

Fig.

1. Vordere Extremität einer Balaena nach Cuvier, Rech. Oss. foss. Tb. 227, Fig. 23,  $\frac{1}{34}$  der natürl. Grösse. — h Oberarm, r Speiche, c Elle, w Handwurzel, d d d Zehen. — Seite 431.
  2. Armknochen von Physter macrocephalus nach Cuvier, l. c. Tb. 225, Fig. 14, in  $\frac{1}{15}$  der natürl. Grösse. — h r c wie in voriger Figur, d Fortsatz für den M. deltoideus. — Seite 431.
  3. Oberarm von Delphinus globiceps, bis 3<sup>a</sup> im Längsdurchschnitt, in  $\frac{1}{4}$  der natürl. Grösse. — Original. — Seite 430. 431.
  4. Oberarm von Halicore cetacea, vordere Ansicht in  $\frac{1}{2}$  der natürl. Grösse. — Original. — Seite 431.
  5. Oberarm von Trichechus rosmarus, vordere Ansicht in  $\frac{1}{3}$  der natürl. Grösse. — Original. — Seite 432.
  6. Hintere, 7. vordere Ansicht des Oberarms von Elephas primigenius nach Cuvier, l. c. Tb. 16, Fig. 13. 14, in  $\frac{1}{19}$  der natürl. Grösse. — Seite 433.
  8. Vordere, 9. hintere Ansicht des Oberarms von Hippopotamus amphibius nach Cuvier, l. c. Tb. 31, Fig. 7. 8. — Seite 434.
-







**Erklärung von Tafel LXXV.**

**Osteologie.**

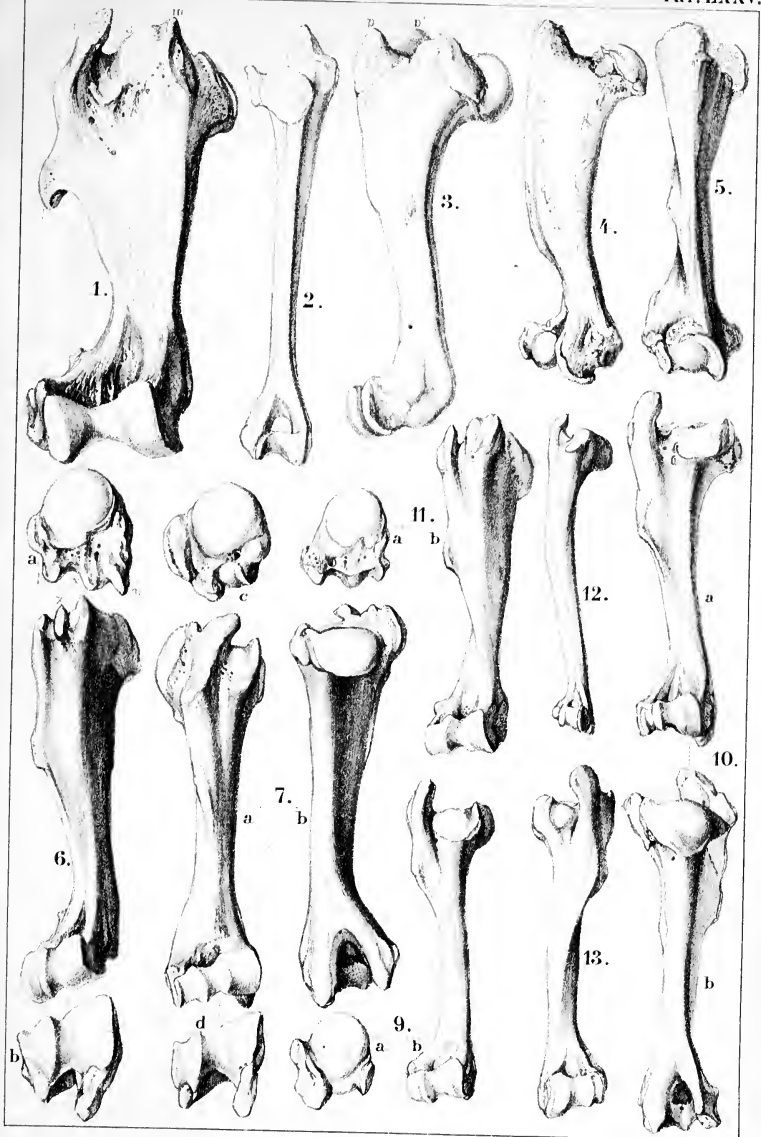
---

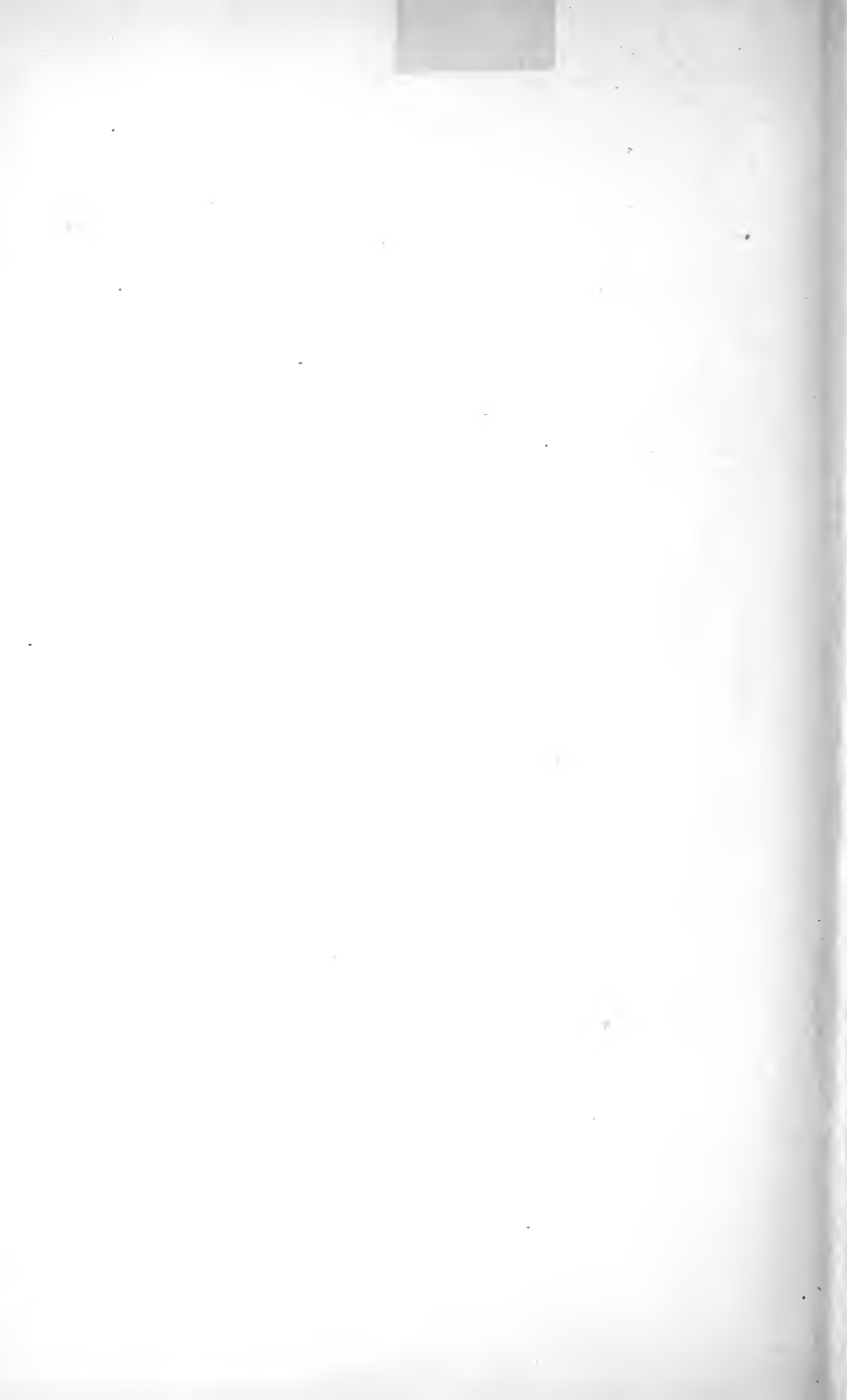
Oberarm.

Fig.

1. *Rhinoceros javanicus*, vordere Ansicht,  $\frac{1}{5}$  der natürl. Grösse. Buchstaben wie vorige Tafel. Fig. 4. — Seite 433.
2. *Hyrax syriacus*, von hinten, in natürl. Grösse. — Seite 434.
3. *Tapir americanus*, vordere Ansicht, nicht ausgewachsen,  $\frac{1}{3}$  natürl. Grösse, junges Exemplar mit noch getrennten Epiphysen. — Seite 433.
4. *Anoplotherium commune*, von innen und 5. vordere Ansicht, nach Cuvier, Rech. Oss. foss. Tb. 140, Fig. 5. 7. stark verkleinert. — Seite 434.
6. *Equus caballus*, von vorn, bei a oberer Gelenkkopf, bei b untere Rolle,  $5\frac{1}{2}$  verkleinert. — Seite 437.
7. *Bos urus*, a vordere, b hintere Ansicht; c oberer, d unterer Gelenkkopf,  $5\frac{1}{2}$  verkleinert. — Seite 435.
9. *Ovis steatopygos*, a oberer Gelenkkopf, b vordere Ansicht,  $3\frac{1}{2}$  verkleinert. — Seite 435.
10. *Cervus dama*, a vordere, b hintere Ansicht,  $\frac{1}{3}$  der natürl. Grösse. — Seite 437.
11. *Camelus bactrianus*, b vordere Ansicht, a oberer Gelenkkopf,  $6\frac{1}{2}$  mal verkleinert. — Seite 437.
12. *Moschus meminna*, vordere Ansicht, etwas verkleinert. — Seite 436.
13. *Antilope rupicapra*, vordere Ansicht,  $\frac{1}{3}$  der natürl. Grösse. — Seite 436.

Fig. 1—3, 6—13 sind Originale.





**Erklärung von Tafel LXXVI.**

**Osteologie.**

---

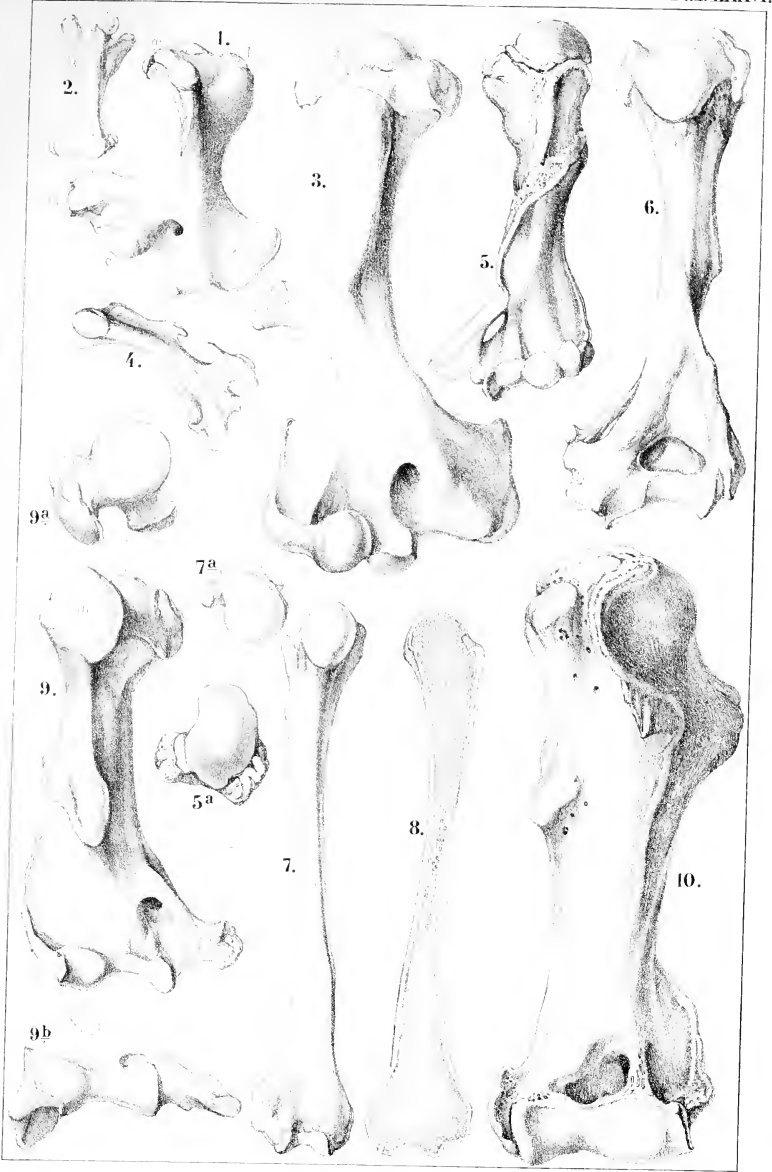
Oberarm.

Fig.

1. *Echidna hystris*, von vorn, natürl. Grösse. — Seite 438.
2. Oberschenkel von *Ornithorhynchus paradoxus*, natürl. Grösse.
3. *Myrmecophaga tetradactyla*, vordere Ansicht in natürl. Grösse. — Seite 438.
4. *Myrmecophaga didactyla*, hintere Ansicht in natürl. Grösse. — Seite 439.
5. *Manis brechyura*, vordere Ansicht, und 5<sup>a</sup> oberer Gelenkkopf in  $\frac{3}{4}$  der natürl. Grösse nach Cuvier, Rech. Oss. foss. Tb. 209, Fig. 8. 9. — Seite 439.
6. *Orycteropus capensis*, hintere Ansicht in  $\frac{1}{2}$  der natürl. Grösse. — Seite 439.
7. *Bradypus infuscatus*, hintere Ansicht, 7<sup>a</sup> oberer Gelenkkopf, in  $\frac{1}{2}$  der natürl. Grösse. — Seite 440.
8. Längsdurchschnitt desselben. — Seite 430.
9. *Dasyopus duodecimcintus*, vordere Ansicht, 9<sup>a</sup> oberer, 9<sup>b</sup> unterer Gelenkkopf, in natürl. Grösse. — Seite 440.
10. *Glyptodon elongatus* in  $\frac{1}{4}$  der natürl. Grösse nach Burmeister, Anales Mus. Buenos Aires II, Tb. 31, Fig. 1. — Seite 440.

Fig. 1—4, 6—9 sind Originale.







**Erklärung von Tafel LXXVII.**

**Osteologie.**

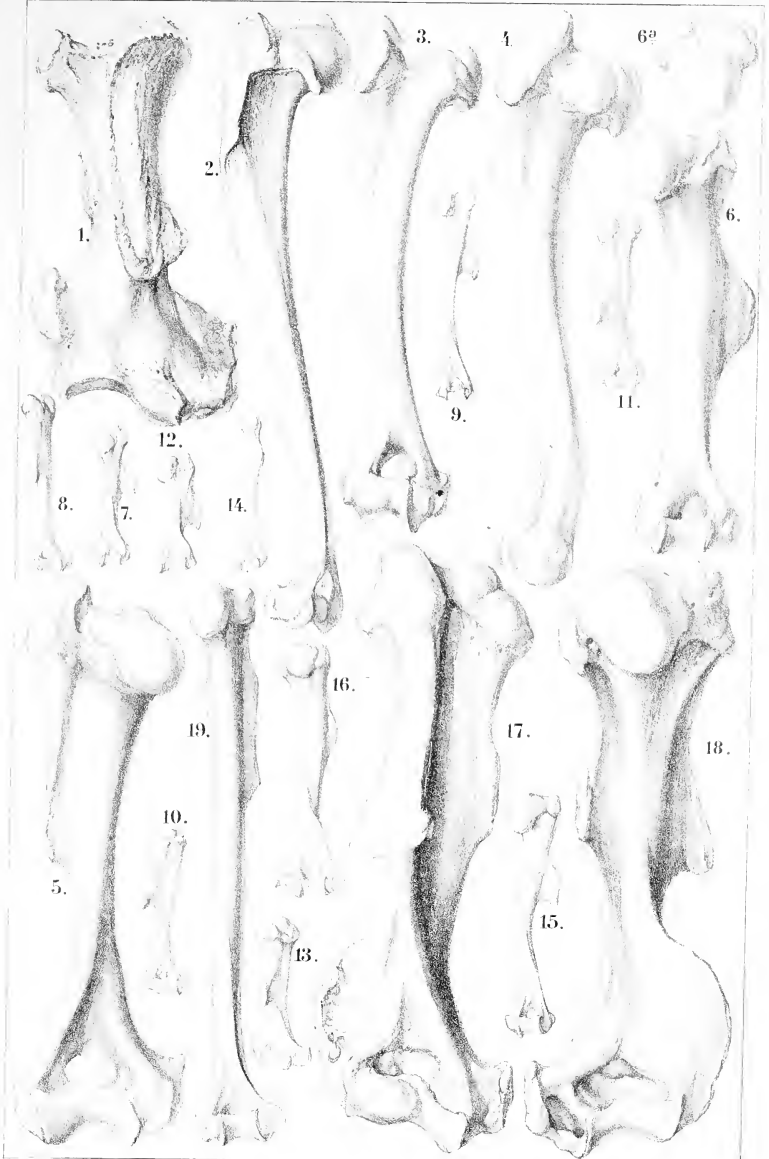
---

Oberarm.

Fig.

1. *Mylodon robasus*, vordere Ansicht,  $\frac{1}{8}$  der natürl. Grösse, nach Owen, Monogr. *Mylodon* Tb. 11, Fig. 5. — Seite 440.
2. *Lepus fossilis* von der Seite, in natürl. Grösse, aus dem Diluvium des Sevekenberges bei Quedlinburg. — Seite 441.
3. *Dasyprocta aguti*, vordere Ansicht, in natürl. Grösse. — Seite 442.
4. *Dolichotis patagonica*, vordere Ansicht in natürl. Grösse. — Seite 441.
5. *Hystrix cristata*, vordere Ansicht, in natürl. Grösse. — Seite 442.
6. *Lagostomus trichodactylus*, von hinten, 6<sup>a</sup> oberer Gelenkkopf, in natürl. Grösse. — Seite 442.
7. *Mesomys spinosus*, hintere Ansicht, in natürl. Grösse. — Seite 444.
8. *Mus decumanus*, äussere Ansicht, in natürl. Grösse. — Seite 443.
9. *Lemmus norvegicus*, innere Ansicht, in doppelter natürl. Grösse. — Seite 444.
10. *Dipus aegyptiacus*, vordere Ansicht, in doppelter natürl. Grösse. — Seite 444.
11. *Georychus capeasis*, vordere Ansicht in natürl. Grösse. — Seite 444.
12. *Spalax typhlus*, hintere Ansicht, in natürl. Grösse. — Seite 444.
13. *Geomys bursarius*, vordere Ansicht, in natürl. Grösse. — Seite 444.
14. *Tamias Listeri*, hintere Ansicht, in natürl. Grösse. — Seite 443.
15. *Hypudaeus amphibius*, hintere Ansicht, in zweifacher natürl. Grösse. — Seite 444.
16. *Sciurus bicolor*, hintere Ansicht, daher die Durchbohrung des inneren Knorren vom Nervus medianus nicht zu sehen; in natürl. Grösse. — Seite 443.
17. *Castor fiber* von vorn und
18. Derselbe von hinten, in natürl. Grösse. — Seite 444.
19. *Pteromys petaurista*, von der Hinterseite, in natürl. Grösse. — Seite 443.

Alle Figuren sind Originale.





**Erklärung von Tafel LXXVIII.**

**Osteologie.**

---

Oberarm.

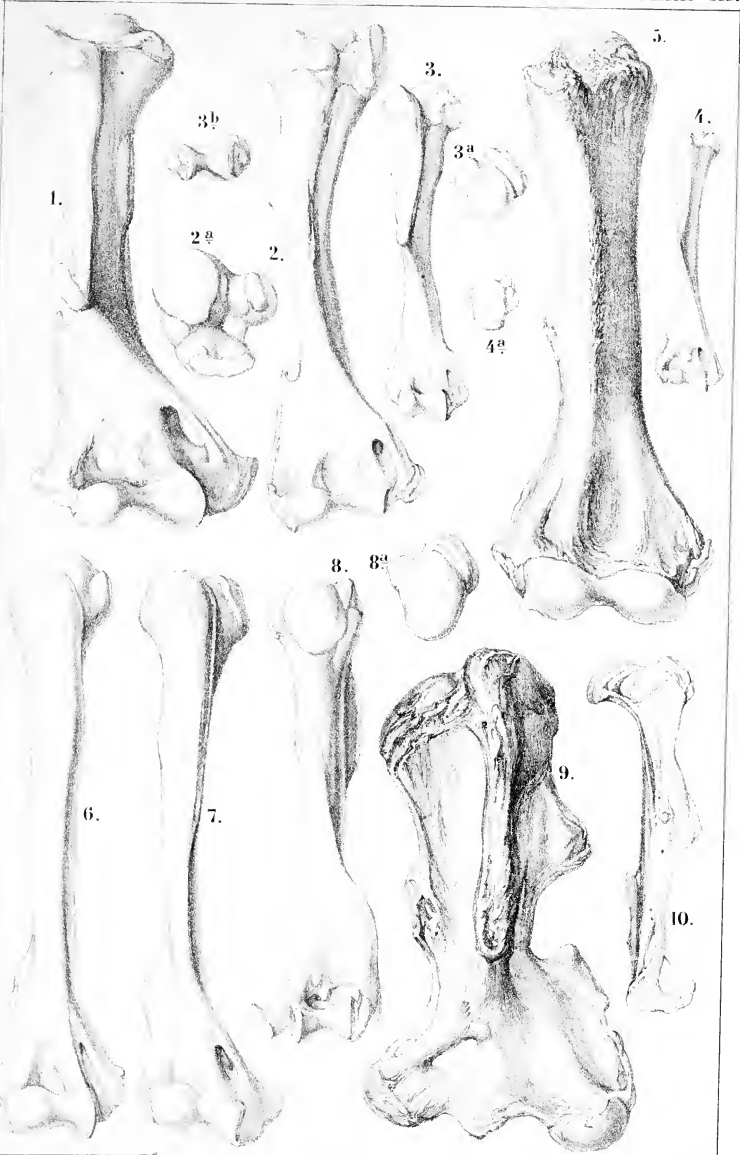
Fig.

1. *Phascolomys fossor*, vordere Ansicht, etwas verkleinert. — Seite 445.
2. *Halmaturus Bennetti*, vordere Ansicht, natürl. Grösse, in 2<sup>a</sup> oberer Gelenkkopf. — Seite 445.
3. *Dasyurus ursinus*, vordere Ansicht, 3<sup>a</sup> oberer, 3<sup>b</sup> unterer Gelenkkopf in natürl. Grösse. — Seite 447.
4. *Didelphys opossum*, vordere Ansicht, 4<sup>a</sup> oberer Gelenkkopf, natürl. Grösse. — Seite 447.
5. *Diprotodon australis*, vordere Ansicht des linken Oberarms, in  $\frac{1}{9}$  Grösse, nach Owen, Extinct Mammals Australia. Tb. 31, Fig. 2. — Seite 446.
6. *Procyon lotor*, vordere Ansicht, natürl. Grösse. — Seite 448.
7. *Arctitis binturong*, vordere Ansicht, verkleinert um einen Zoll in der Länge. — Seite 448.
8. *Arctomys marmotta*, hintere Ansicht und 5<sup>a</sup> oberer Gelenkkopf von oben, in natürl. Grösse. — Die hier vorhandene Durchbohrung des inneren Knorren liegt so weit nach innen, dass sie bei der hinteren Ansicht nicht zu bemerken ist. — Seite 443.
9. *Nototherium Mitchelli*, vordere Ansicht des linken Oberarms, in etwas weniger als der halben natürl. Grösse, nach Owen, Extinct Mammals. Australia, Tb. 27, Fig. 1. — Seite 446.
10. *Phascolomys latifrons*, innere Ansicht des linken Oberarms,  $\frac{1}{2}$  der natürl. Grösse, nach Owen, l. c. Tb. 127, Fig. 7. — Seite 445.

Mit Ausnahme von 5. 9. 10. sind alle Figuren Originale.

---







**Erklärung von Tafel LXXIX.**

**Osteologie.**

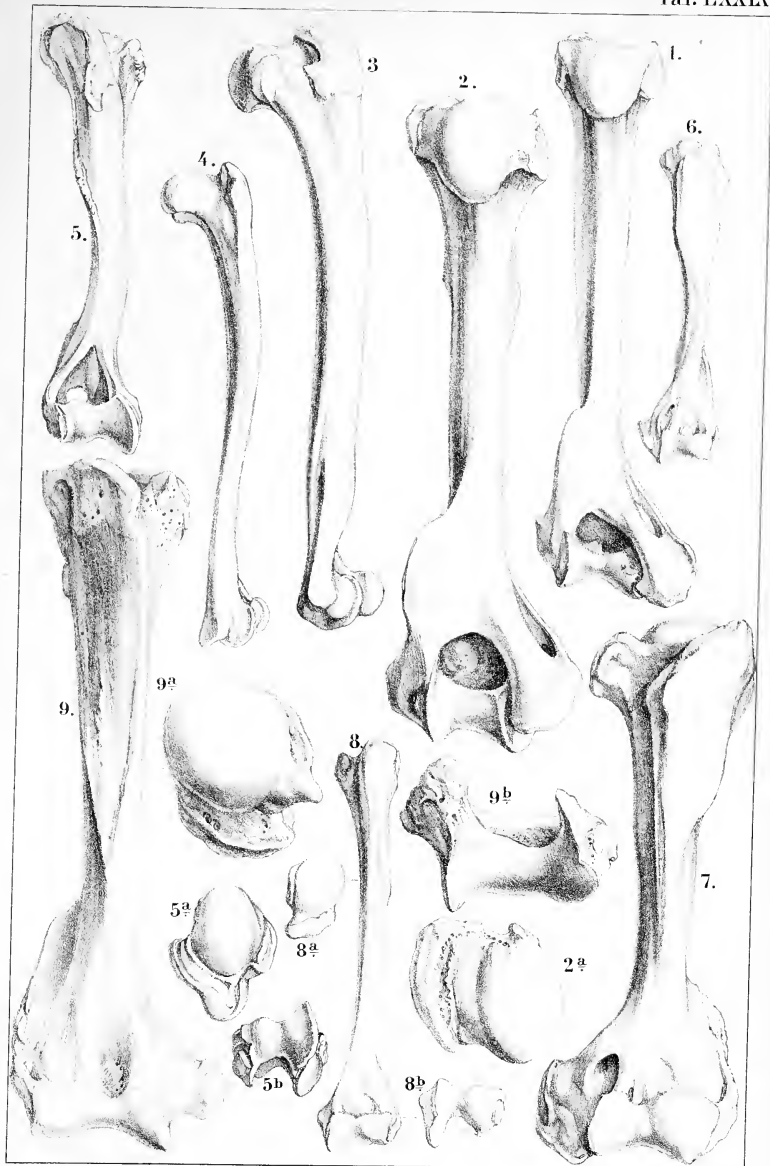
---

### Oberarm.

Fig.

1. *Gulo borealis*, linker Oberarm von hinten, in  $\frac{3}{4}$  der natürl. Grösse. — Seite 449.
2. *Meles vulgaris*, linker Oberarm von hinten, 2<sup>a</sup> oberer Gelenkkopf von oben, in natürl. Grösse. — Seite 449.
3. *Felis yaguarundi*, Ansicht der inneren Seite des linken Oberarms, in natürl. Grösse.
4. *Canis zerda*, Ansicht der inneren Seite des rechten Oberarms, in natürl. Grösse.
5. *Hyaena crocuta*, vordere Ansicht in etwas weniger als  $\frac{1}{3}$  der natürl. Grösse.
6. *Herpestes gracilis*, vordere Ansicht des linken Oberarms, in natürl. Grösse.
7. *Pterura Sambachi*, vordere Ansicht des linken Oberarms, in natürl. Grösse. — Seite 449.
8. *Canis familiaris*, dänischer Windhund, linker Oberarm von vorn, in  $\frac{1}{3}$  der natürl. Grösse.
9. *Ursus arctos*, vordere Ansicht des linken Oberarms, 9<sup>a</sup> oberer Gelenkkopf von oben, 9<sup>b</sup> untere Rolle von unten, weniger als halbe natürl. Grösse. — Seite 447.

Alle Figuren sind Originale.





## Erklärung von Tafel LXXX.

### Osteologie.

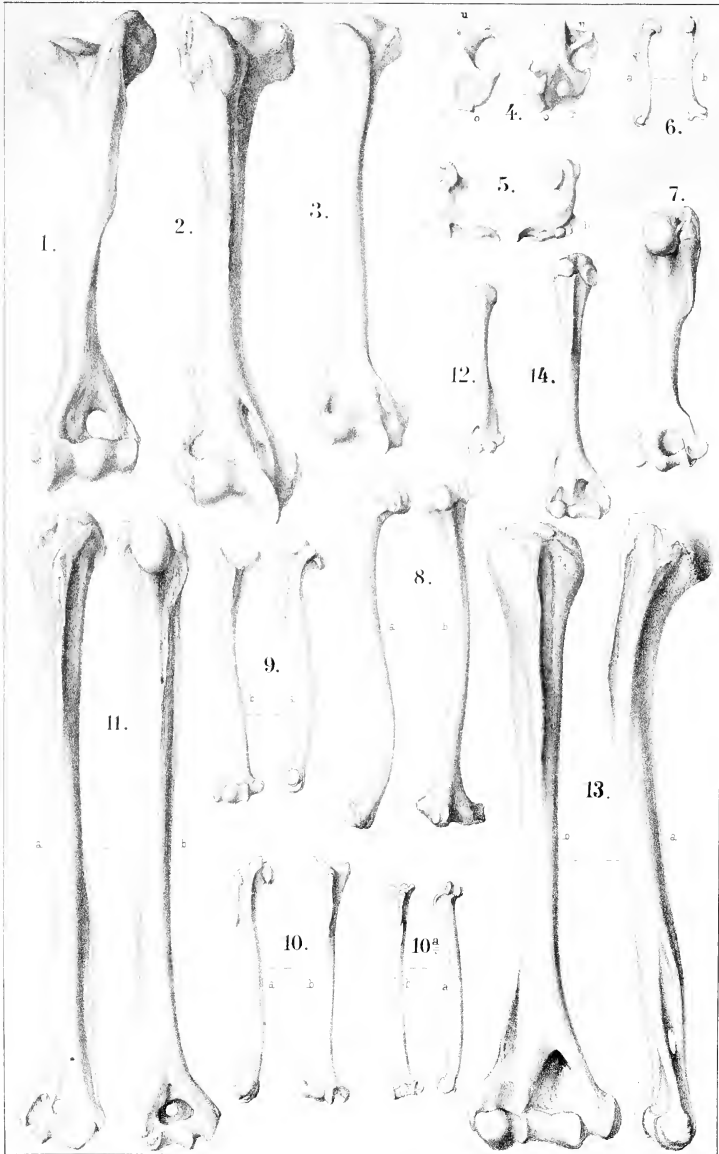
#### Humerus.

Fig.

1. *Hyaena spelaea*, rechter Humerus, vordere Ansicht,  $\frac{1}{3}$  der natürl. Grösse, aus dem Diluvium des Seveckenberges bei Quedlinburg. — Seite 452.
2. *Felis tigris*, ebenso, etwas mehr als  $\frac{1}{4}$  der natürl. Grösse. — Seite 452.
3. *Mustela martes*, ebenso, in natürl. Grösse. — Seite 449.
4. *Talpa europaea*, ebenso, *a* von vorn, *b* von hinten, *u* unteres, *o* oberes Ende. — Seite 453.
5. *Chrysochloris capensis*, ebenso, *a* von vorn, *b* von hinten. — Seite 454.
6. *Sorex leucodon*, rechter Humerus, *a* von vorn, *b* von hinten, in  $\frac{2}{1}$  natürl. Grösse. — Seite 454.
7. *Centetes madagascariensis*, rechter Humerus von hinten in natürl. Grösse. — Seite 454.
8. *Pteropus cestoni*, rechter Humerus, *a* von der Seite, *b* von hinten, in natürl. Grösse. — Seite 455.
9. *Phyllostoma sypciliatum*, rechter Humerus, *a* von vorn, *b* von der Seite, in natürl. Grösse. — Seite 455.
10. *Noctilio leporinus*, ebenso. — Seite 455.
- 10a. *Taphozus perforatus*, ebenso. — Seite 455.
11. *Galeopithecus volans*, ebenso. — Seite 456.
12. *Tarsius spectrum*, rechter Humerus von vorn in natürl. Grösse. — Seite 456.
13. *Lemur macaco*, rechter Humerus, *a* von der Seite, *b* von vorn, in natürl. Grösse. — Seite 457.
14. *Hapale midas*, rechter Humerus, vordere Ansicht in natürl. Grösse. — Seite 457.

Alle Figuren sind Original.







**Erklärung von Tafel LXXXI.**

**Osteologie.**

**Humerus.**

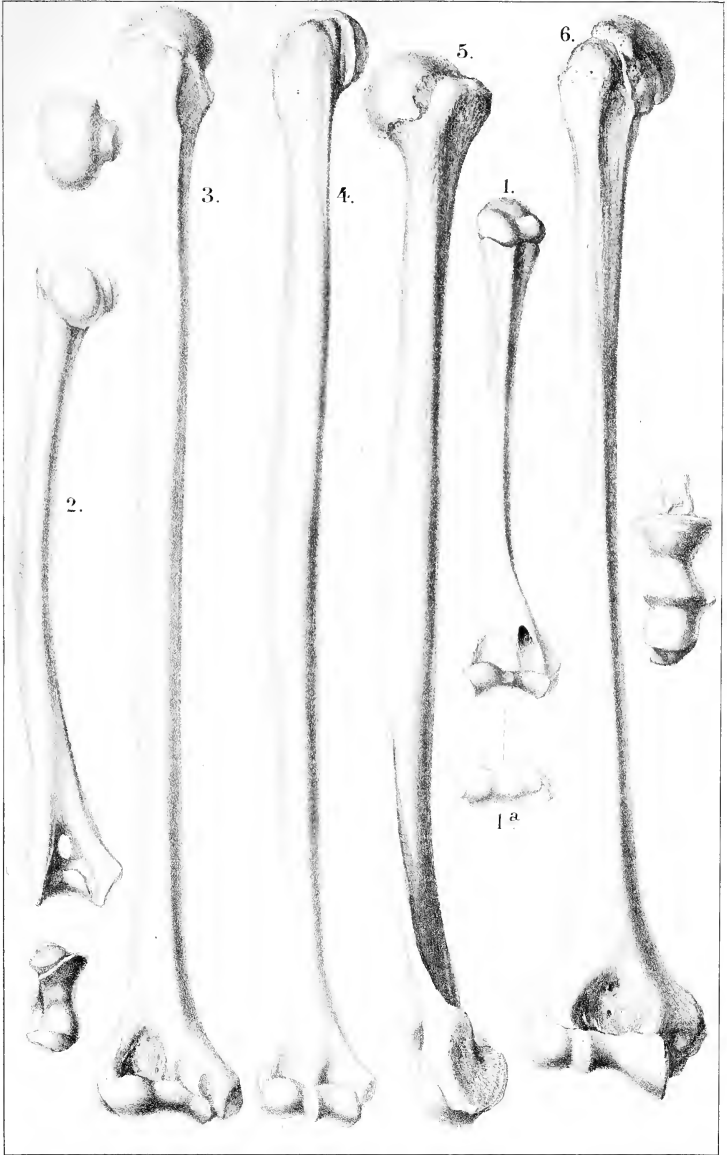
---

Fig.

1. *Pithecia*, rechter Humerus von vorn, 1a. untere Rolle, in natürl. Grösse. — Seite 457.
2. *Cercopithecus sabaicus*, derselbe von hinten, darunter die untere Rolle, in natürl. Grösse. — Seite 458.
3. *Ateles hypoxanthus* derselbe von vorn, um  $3\frac{1}{2}$  Cm. verkleinert. — Seite 458.
4. *Hylobates leuciscus*, derselbe von vorn, um  $\frac{1}{5}$  in der Länge verkleinert. — Seite 458.
5. *Pithecus satyrus*, linker Humerus von der Aussenseite, und 6 derselbe von vorn, daneben die untere Rolle,  $\frac{1}{2}$  der natürl. Gr. — Seite 459.

Alle Figuren sind Original.

---





**Erklärung von Tafel LXXXII.**

**Osteologie.**

---

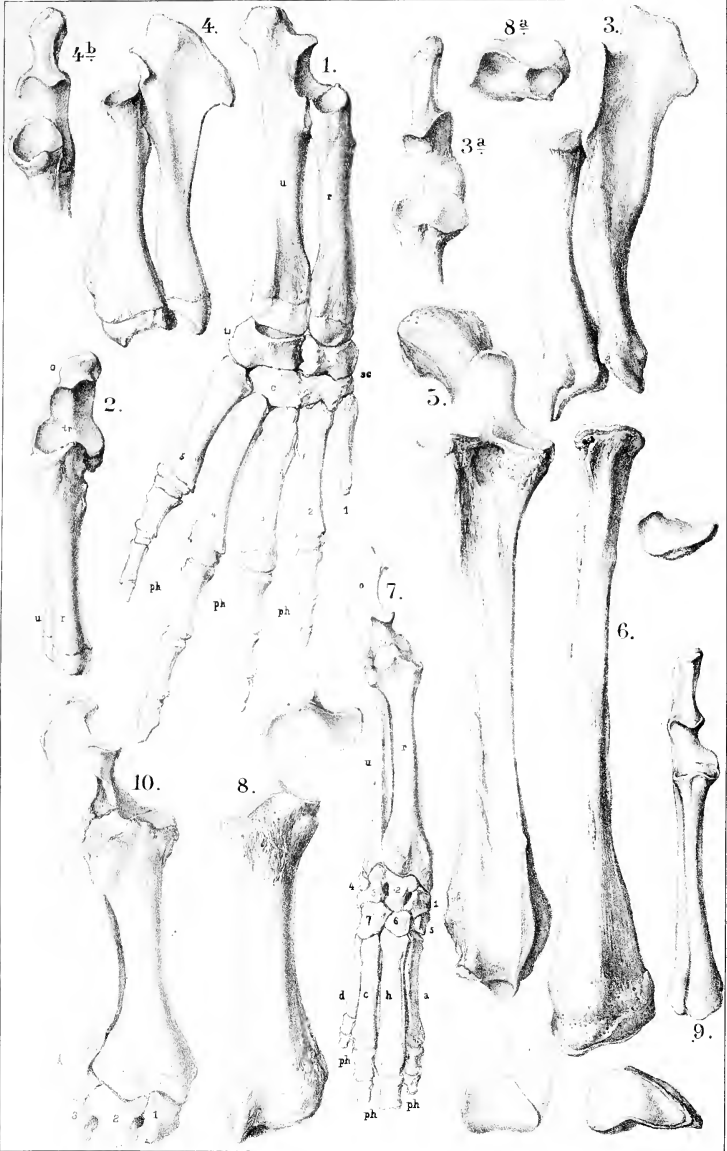
Fig.

1. Halicore: *r* Speiche, *u* Elle, *sc* und *tr* die beiden ersten und *c* der dritte Carpusknochen, 1. 2. 3. 4. 5. die Mittelhandknochen, *ph*, *ph*, *ph* die Phalangen der vier Finger;  $\frac{1}{3}$  der natürl. Grösse, vordere Ansicht. — Seite 462.
2. Halicore, Speiche und Elle, von der breiten Seite der Speiche gesehen, *r* Speiche, *u* Elle, *tr* Gelenkfläche derselben für die Rolle des Humerus, *o* Olecranon, in  $\frac{1}{3}$  der natürl. Grösse. — Seite 462.
3. Trichochus rosmarus, Speiche und Elle in der Seitenansicht, — 3a. Ellenbogengelenk derselben, in  $\frac{1}{5}$  der natürl. Grösse. — Seite 463.
4. Phoca vitulina, Speiche und Elle in der Seitenansicht, — 4b. Ellenbogengelenk derselben, von einem jungen Individuum wie Fig. 1, die Epiphysen noch getrennt,  $\frac{1}{2}$  der natürl. Grösse. — Seite 463.
5. Elephas indicus, Elle von vorn gesehen und 6. dessen Speiche von der Vorderseite, daneben deren obere Gelenkfläche und unterhalb Fig. 5 und 6 die Carpalgelenkflächen beider, von einem alten weiblichen Exemplar, in  $\frac{1}{6}$  der natürl. Grösse. — Seite 464.
7. Tapirus indicus: *ru* Speiche und Elle von vorn, 1. 2. 3. 4. 5. 6. 7. Carpusknochen, *a b c d* Mittelhandknochen, *ph*, *ph*, *ph* Phalangen der Finger ohne die Nagelphalangen, vordere Ansicht in  $\frac{1}{5}$  der natürl. Grösse. — Seite 464.
8. Rhinoceros tichorhinus, Speiche in der vordern Ansicht, darüber die Gelenkfläche für die Humerusrolle und bei 8a. die Gelenkfläche für den Carpus, aus dem Diluvium des Seveckenberges bei Quedlinburg, in  $\frac{1}{7}$  der natürl. Grösse. — Seite 465.
9. Hyrax capensis, Speiche und Elle in vorderer Ansicht, in natürl. Grösse. — Seite 465.
10. Hippopotamus: *r* Speiche, *u* Elle von vorn, 1. 2. 3. erste Reihe der Carpusknochen, fast in  $\frac{1}{5}$  der natürl. Grösse. — Seite 466.

Alle Figuren sind Original.

---







**Erklärung von Tafel LXXXIII.**

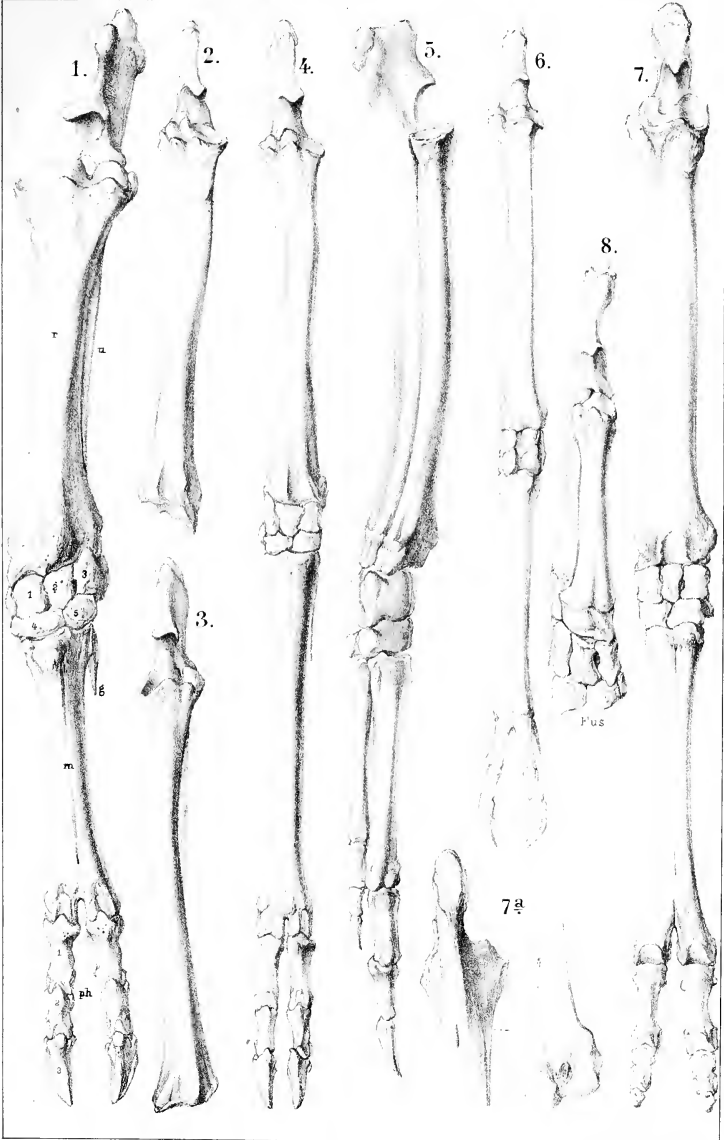
**Osteologie.**

---

Fig.

1. *Bos taurus*: *r* Speiche, *u* Elle, *1. 2. 3. 4. 5.* Carpusknochen, *m* Metacarpus, *g* Griffelknochen, *ph, 1. 2. 3.* Phalangen der Zehen, vordere Ansicht, in etwas weniger als  $\frac{1}{4}$  der natürl. Grösse. — Seite 467.
2. *Ovis musimon*, Speiche und Elle in vorderer Ansicht,  $\frac{1}{3}$  der natürl. Grösse. — Seite 467.
3. *Antilope rupicapra*, dieselben in gleicher Ansicht,  $\frac{1}{3}$  der natürl. Grösse. — Seite 467.
4. *Cervus dama*, Unterarmknochen, Handwurzel, Mittelhand und Phalangen wie Fig. 1, vordere Ansicht in  $\frac{1}{3}$  der natürl. Grösse. — Seite 466. 468.
5. *Hyaemoschus aquaticus*, dieselben Glieder in der Seitenansicht, natürl. Grösse, nach A. Milne Edwards, Ann. sc. nat. 1864. II. tb. 11. Fig. 1f. — Seite 467.
6. *Moschus javanicus*, dieselben Glieder von vorn gesehen, in natürl. Grösse. — Seite 467.
7. *Camelus*, dieselben Glieder in vorderer Ansicht,  $\frac{1}{7}$  der natürl. Grösse. — 7a. oberes und daneben unteres Ende der Speiche und Elle von hinten gesehen. — Seite 468.
8. *Sus pliciceps*, Speiche, Elle und Handwurzel von vorn gesehen,  $\frac{1}{3}$  der natürl. Grösse, mit noch getrennten Epiphysen. — Seite 466.

Alle Figuren sind Original, mit Ausnahme von Fig. 5.





**Erklärung von Tafel LXXXIV.**

**Osteologie.**

---

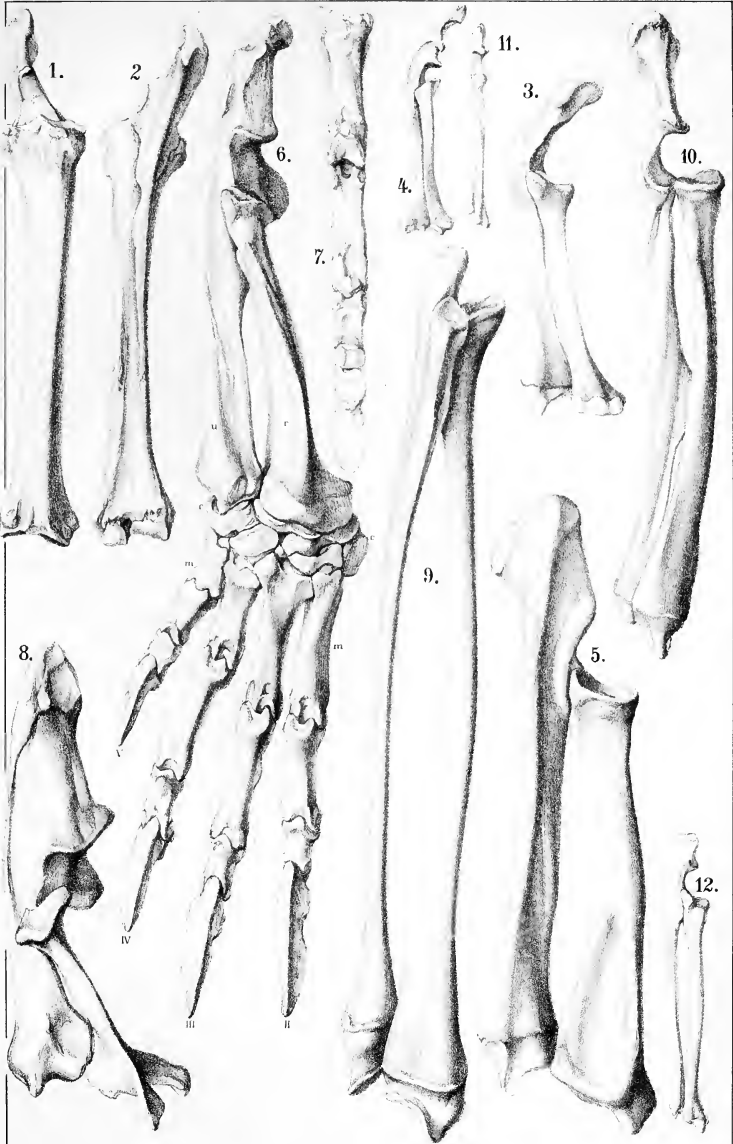
Fig.

1. *Equus caballus*, Radius und Ulna von vorn -- und 2. von hinten, in  $\frac{1}{8}$  natürl. Grösse. — Seite 469.
3. *Echidna hystrix*, Radius und Ulna, vordere Ansicht in natürl. Grösse. — Seite 470.
4. *Ornithorhynchus paradoxus*, Radius und Ulna in vorderer Ansicht, natürl. Grösse. — Seite 470.
5. *Myrmecophaga tetradactyla*, Radius und Ulna, vordere Ansicht in natürl. Grösse. — Seite 470.
6. *Orycteropus capensis*, beide Unterarmknochen, die Handwurzel, die vier Metacarpen mit ihren Zehen, von vorn gesehen, in  $\frac{1}{2}$  der natürl. Grösse. — Seite 470.
7. *Orycteropus capensis*, zweiter Metacarpus mit seiner Zehe, von der untern Seite in halber natürl. Grösse, um die eigenthümlichen Sesamknochen an den Gelenken zu zeigen. — Seite 470.
8. *Dasybus duodecimcinctus*, Radius und Ulna von vorn gesehen, in natürl. Grösse. — Seite 470.
9. *Bradypus infuscatus*, Radius und Ulna von vorn gesehen, in natürl. Grösse. — Seite 471.
10. *Castor fiber*, dieselben Unterarmknochen von vorn gesehen, um 20 Mm. in der Länge verkürzt. — Seite 473.
11. *Mus decumanus*, dieselben Knochen von vorn gesehen, in natürl. Grösse. — Seite 473.
12. *Sciurus leucotis*, dieselben Knochen vorn gesehen, in natürl. Grösse. — Seite 474.

Alle Figuren sind Original.

---







**Erklärung von Tafel LXXXV.**

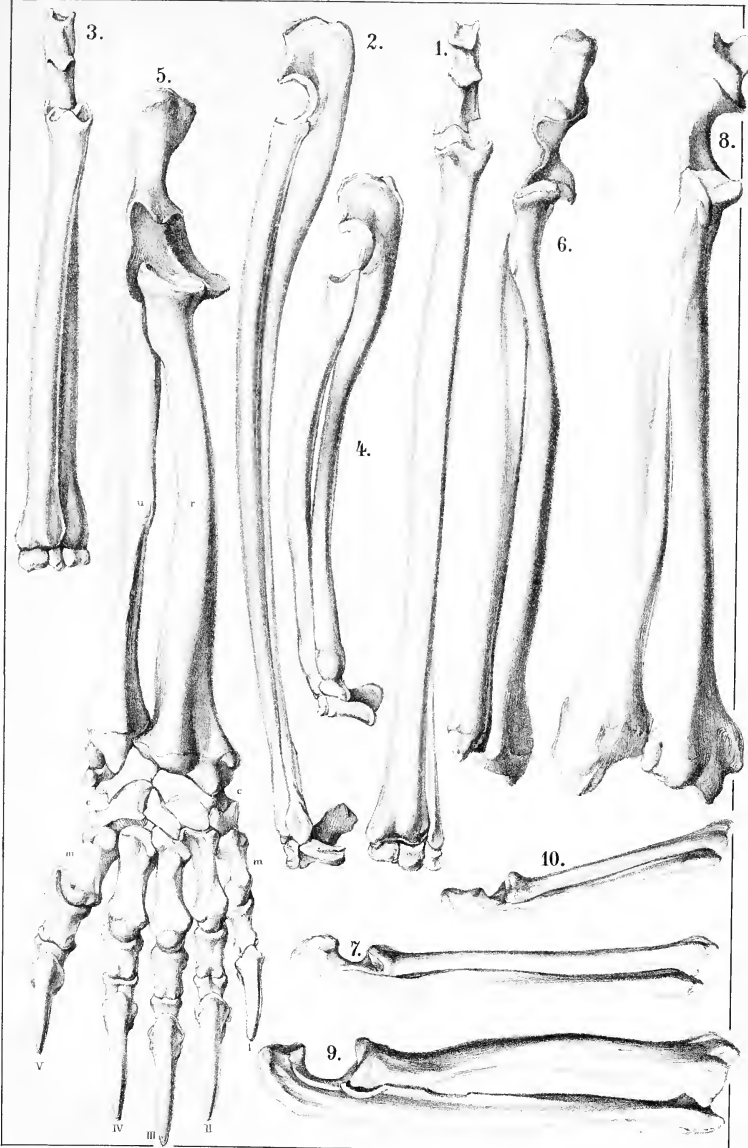
**Osteologie.**

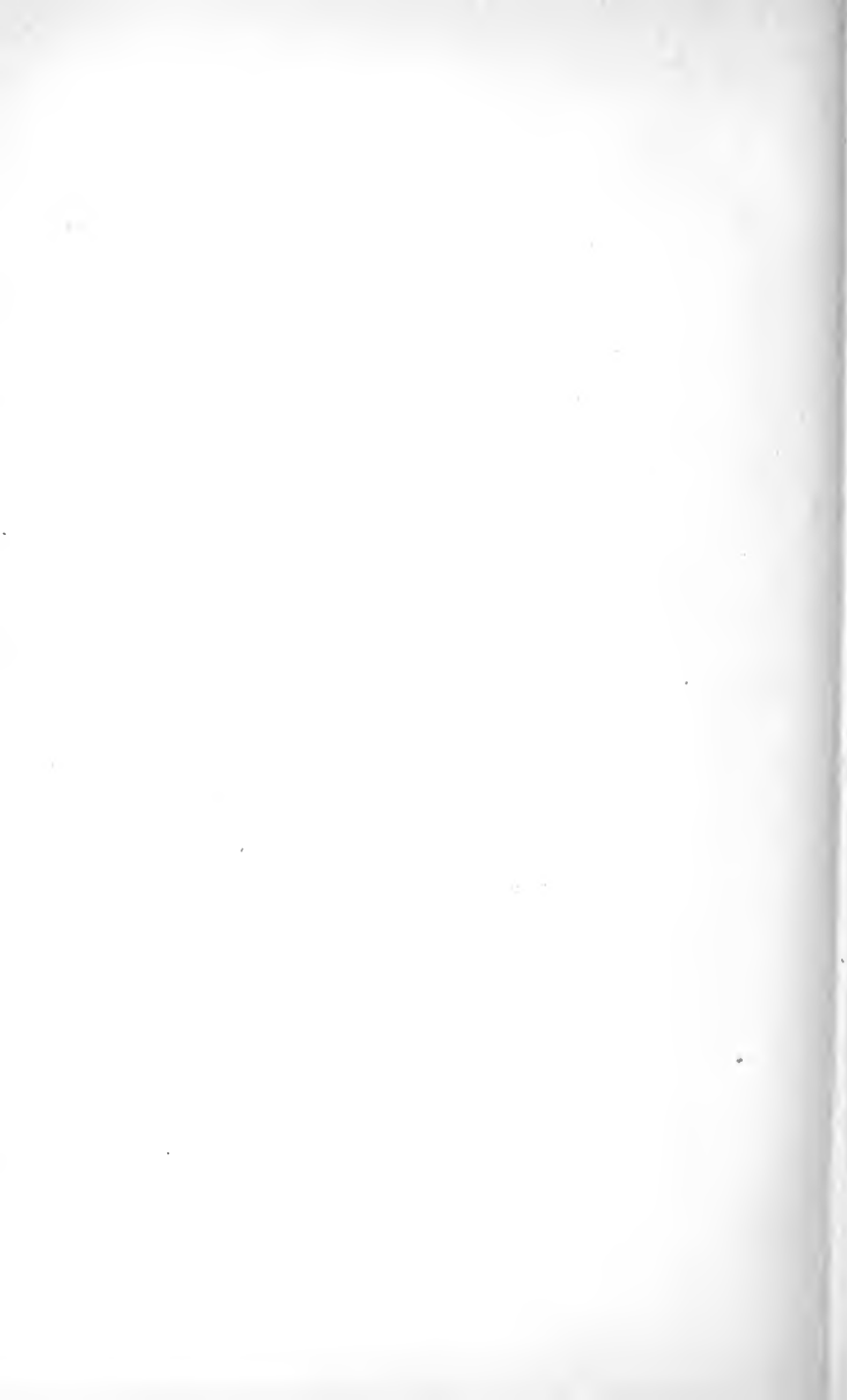
---

Fig.

1. *Lepus timidus*, Radius und Ulna von vorn, — 2. von der Seite gesehen, beide mit der ersten Reihe der Carpusknochen, in natürl. Grösse. — Seite 472.
3. 4. *Lepus cuniculus*, dieselben Knochen in derselben Ansicht und natürl. Grösse. — Seite 472.
5. *Phascolomys fessor*, *uv* Unterarmknochen, *cc* Carpus und *mm* Metatarsen mit den *I—V* Zehen, von vorn gesehen, um einen Zoll verkürzt. — Seite 475.
6. *Halmaturus Bennetti*, beide Unterarmknochen mit noch getrennten Epiphysen, von vorn gesehen, in natürl. Grösse. — Seite 475.
7. *Dasyurus ursinus*, Radius und Ulna vordere Ansicht, in natürl. Grösse. — Seite 476.
8. *Gulo arcticus*, dieselben Knochen in derselben Ansicht, in natürl. Grösse. — Seite 477.
9. *Cercolabes prehensilis*, dieselben Knochen in derselben Weise. — Seite 473.
10. *Didelphys virginiana*, dieselben ebenso. — Seite 476.

Alle Figuren sind Original.





**Erklärung von Tafel LXXXVI.**

**Osteologie.**

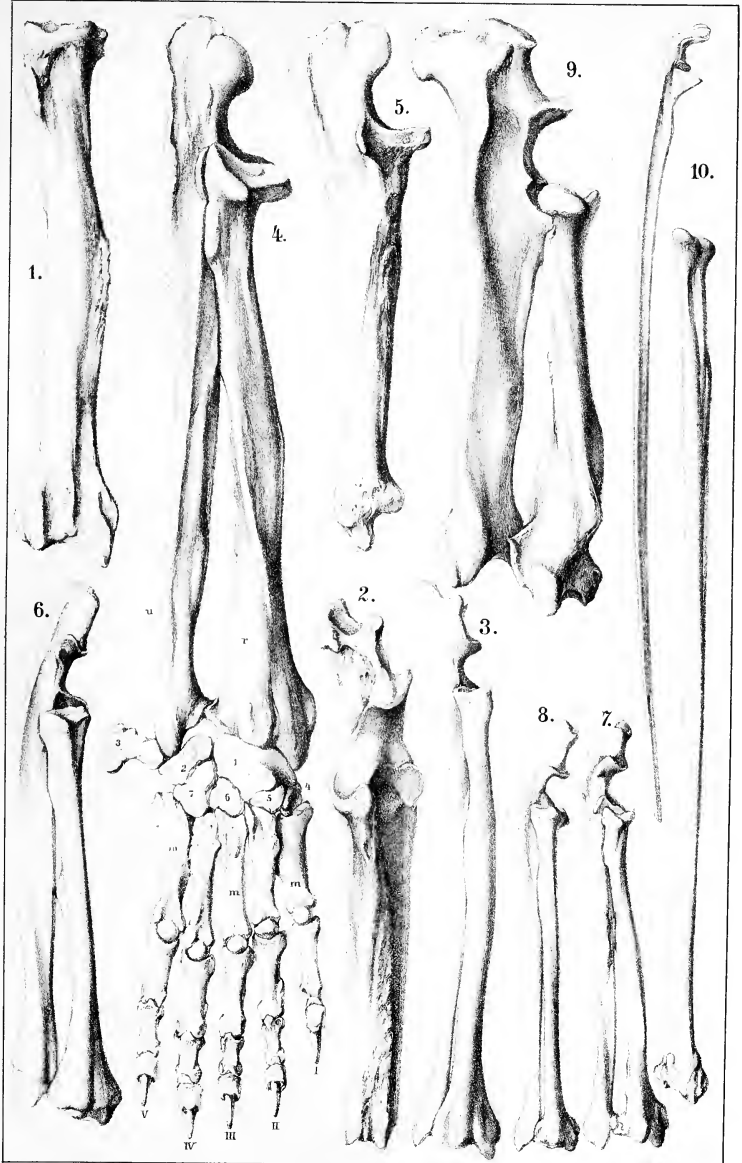
---

Fig.

1. *Hyaena spelaea*, Radius von vorn gesehen, in etwas weniger als halber Grösse, fossil vom Seveckenberge bei Quedlinburg. — Seite 480.
2. Die Ulna derselben Art von vorn, das untere Ende fehlt, ebendaher.
3. Windhund, Speiche und Elle, von vorn in ziemlich  $\frac{1}{3}$  der natürl. Grösse. — Seite 479.
4. *Ursus arctos*, *ur* beide Unterarmknochen, *I—7* Carpus, *mm* Metacarpen und *I—V* Finger von vorn gesehen,  $\frac{1}{2}$  der natürl. Grösse. — Seite 476.
5. *Ursus spelaeus*, Ulna von der Aussenseite gesehen, in  $\frac{1}{4}$  der natürl. Grösse, fossil aus Ungarn. — Seite 476.
6. *Arctitis binturong*, Radius und Ulna von vorn gesehen, um 1 Zoll verkürzt. — Seite 477.
7. *Mustela martes*, dieselben Knochen in gleicher Ansicht in natürl. Grösse. — Seite 478.
8. *Viverra genetta*, dieselben ebenso. — Seite 479.
9. *Pterura Sambachi*, dieselben ebenso. — Seite 478.
10. *Galeopithecus volans*, dieselben ebenso.

Alle Figuren sind Original.







**Erklärung von Tafel LXXXVII.**

**Osteologie.**

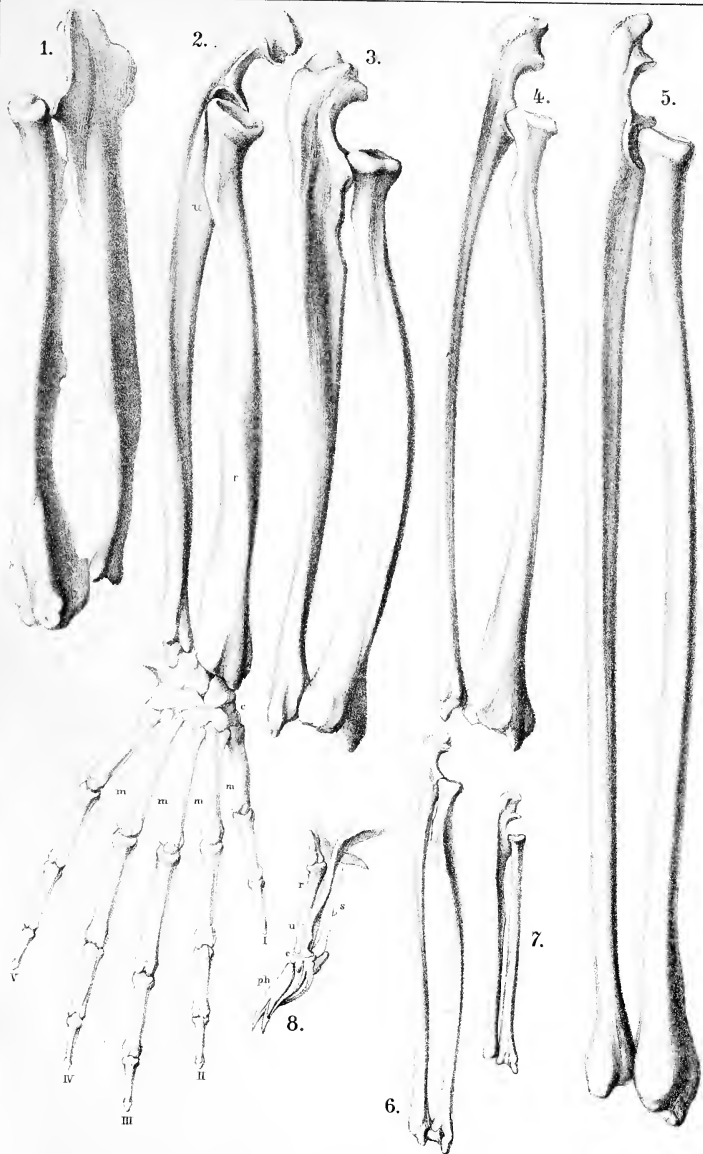
---

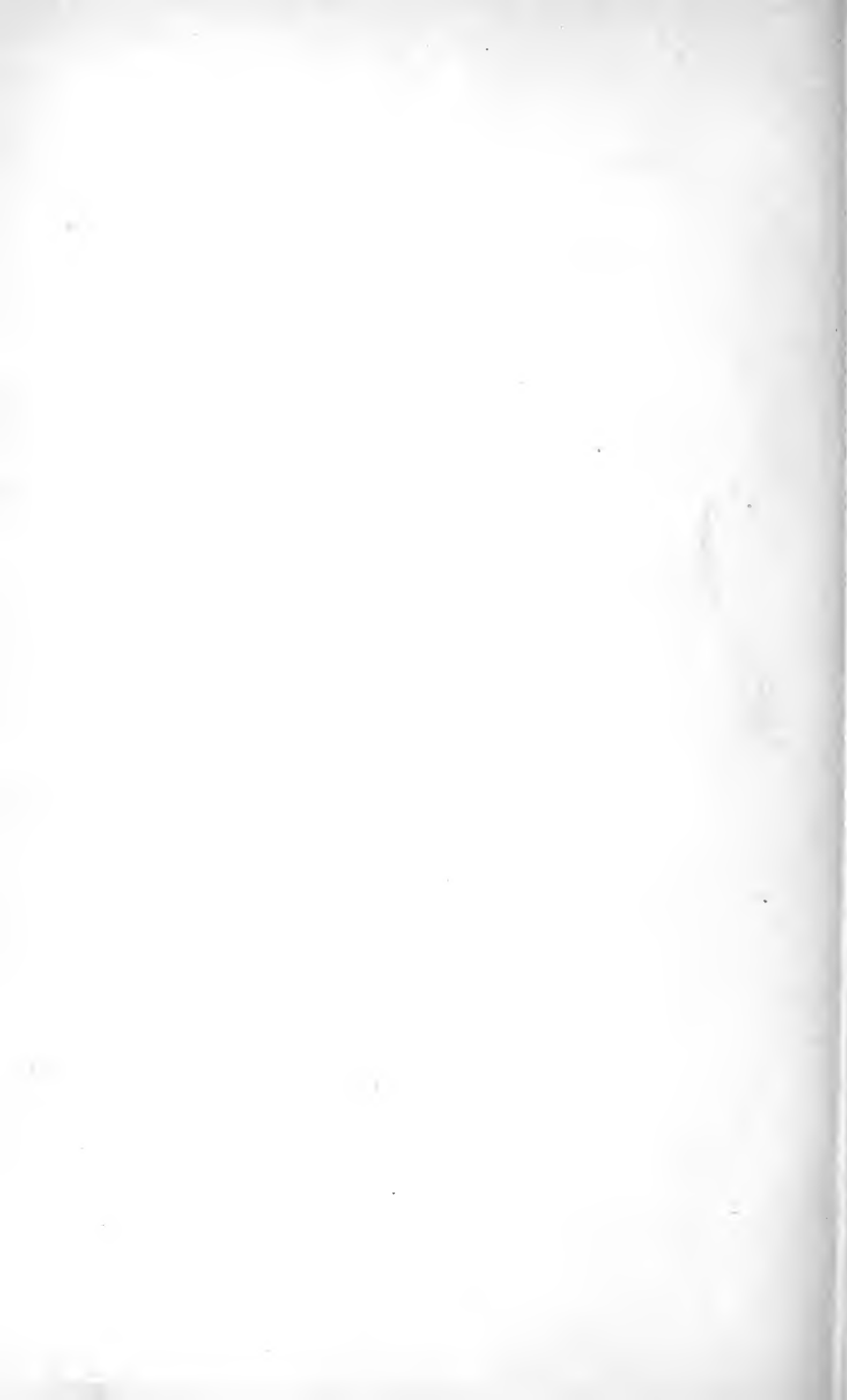
Fig.

1. Gorilla, Speiche und Elle nach Duvernoy, Arch. Mus. VIII. Tb. 2.
2. Cercopithecus cephus, Unterarm und Hand von vorn in natürl. Grösse: *u* Elle, *r* Speiche, *c* Carpus, *m m m m* Metacarpen, *I II III IV V* Finger.
3. Inuus ecaudatus, Radius und Ulna von vorn,  $\frac{2}{3}$  der natürl. Grösse.
4. Cebus fatuellus, dieselben in natürl. Grösse.
5. Ateles hypoxanthus, dieselben um  $\frac{1}{5}$  verkürzt.
6. Stenops javanicus, dieselben in natürl. Grösse.
7. Otolicenus galago, dieselben in natürl. Grösse.
8. Chrysochloris capensis: *r* Speiche, *u* Elle, *o* Olecranon, *s* Sehnenknochen, *c* Carpus, *ph* Nagelphalanx.

Alle Figuren mit Ausnahme Fig. 1 sind Original.

---





**Erklärung von Tafel LXXXVIII.**

**Osteologie.**

---

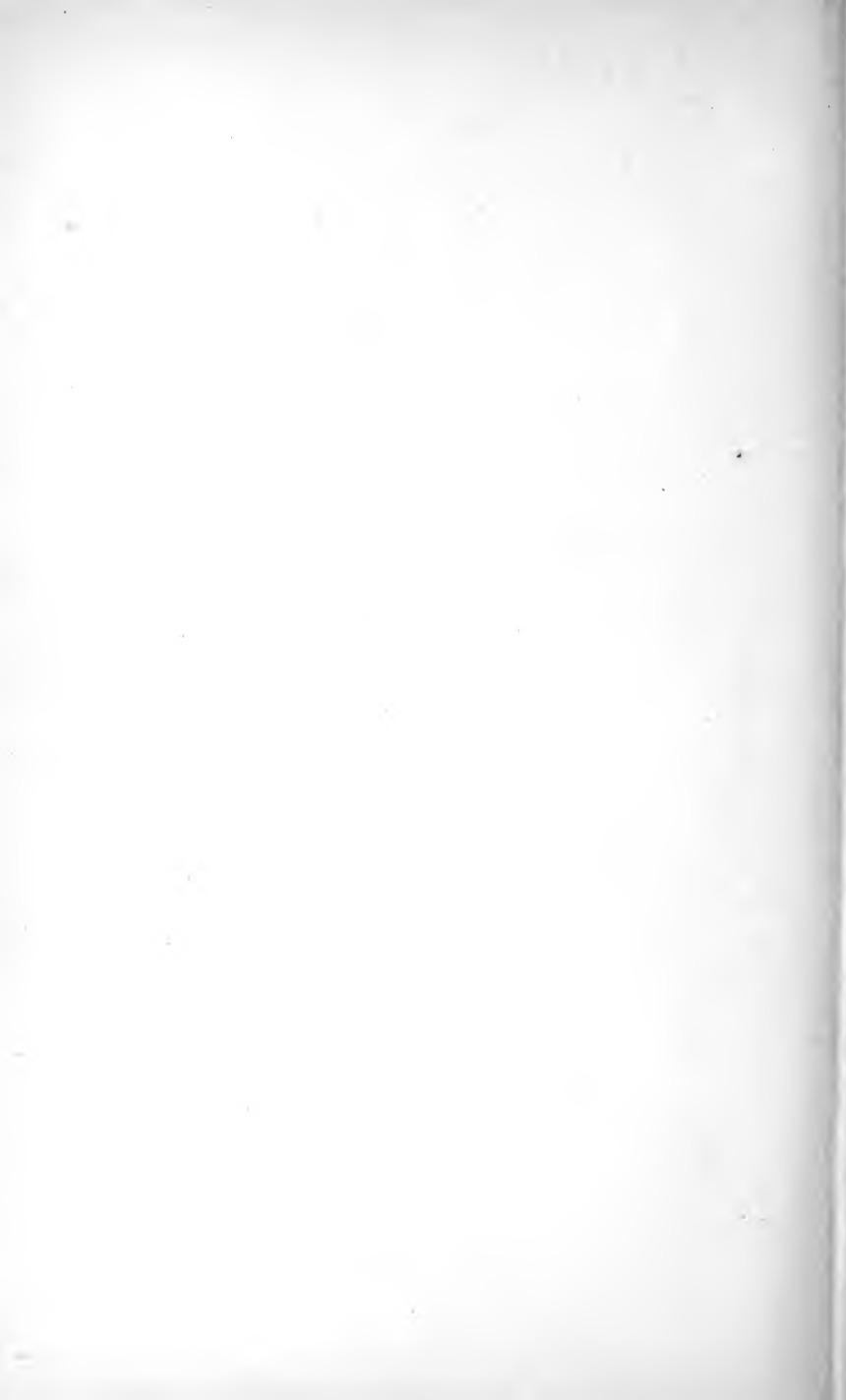
In allen Figuren bedeutet *r* Speiche, *u* Elle, *er* Os carpale radiale oder scaphoideum, *sl* Os semilunare oder intermedium, *eu* Os carpale ulnare s. triquetrum, *p* Os pisiforme, *c* Os centrale, *1. 2. 3. 4.* Ossa carpalia metacarpalia oder *1* Os multangulum majus, *2* O. mult. minus, *3* Os capitatum, *4* Os hamatum, *s* Os marginale oder Sesamknochen, *I, II, III, IV, V* Ossa Metacarpi, *ph* Phalangen, *ph'* erste, *ph''* zweite, *ph'''* dritte Ordnung oder Nagelglied.

Fig.

1. *Leptonyx monachus*, Carpus, Metacarpus und Phalangen erster Ordnung angedeutet, verkleinert, — nach Cuvier, Rech. Oss. foss. Tab. 218. Fig. 12. — Seite 520.
2. *Mastodon Humboldtii*, Carpus, Metacarpus und Finger, stark verkleinert, — nach Burmeister, Anales de Mus. Buenos Aires I. Tab. 14. Fig. 2. — Seite 521.
3. *Hippopotamus amphibius*, dieselben Theile stark verkleinert, — nach Cuvier, Rech. Oss. foss. Tab. 31. Fig. 13. — Seite 522.
4. *Rhinoceros javanicus*, dieselben Theile in stark verjüngtem Massstabe, — nach Cuvier, l. c. Tab. 43. Fig. 5. — Seite 522.
5. *Equus caballus*, Carpus von vorn und Fig. 6 von hinten, in  $\frac{1}{3}$  der natürlichen Grösse. — Original. — Seite 524.
7. *Hippotherium gracile*, Carpus von der Aussenseite und Fig. 8 von der Innenseite, in  $\frac{1}{3}$  der natürlichen Grösse, — nach Gaudry, Anim. foss. del'Attique. Tab. 35. Fig. 5. 6. — Seite 524.
9. *Echidna hystrix*, Handtheil mit den Nägeln, in natürlicher Grösse, — nach Cuvier, l. c. Tab. 214. Fig. 13. — Seite 524.
10. *Ornithorhynchus paradoxus*, derselbe ebenso, — nach Cuvier, l. c. Tab. 215. Fig. 13. — Seite 525.
11. *Dasyppus duodecimcinctus*, derselbe in natürlicher Grösse, — nach Cuvier, l. c. Tab. 212. Fig. 11. — Seite 525, nicht auf *D. gigas* zu beziehen.
12. *Dasyppus novemcinctus*, derselbe in natürlicher Grösse, — nach Cuvier, l. c. Tab. 211. Fig. 12. — Seite 525.
13. *Siphneus psilurus*, Handtheil vergrössert, — nach Milne Edwards, Rech. l'hist. nat. Mammifères, Tab. 9a. Fig. 11. — Seite 528.







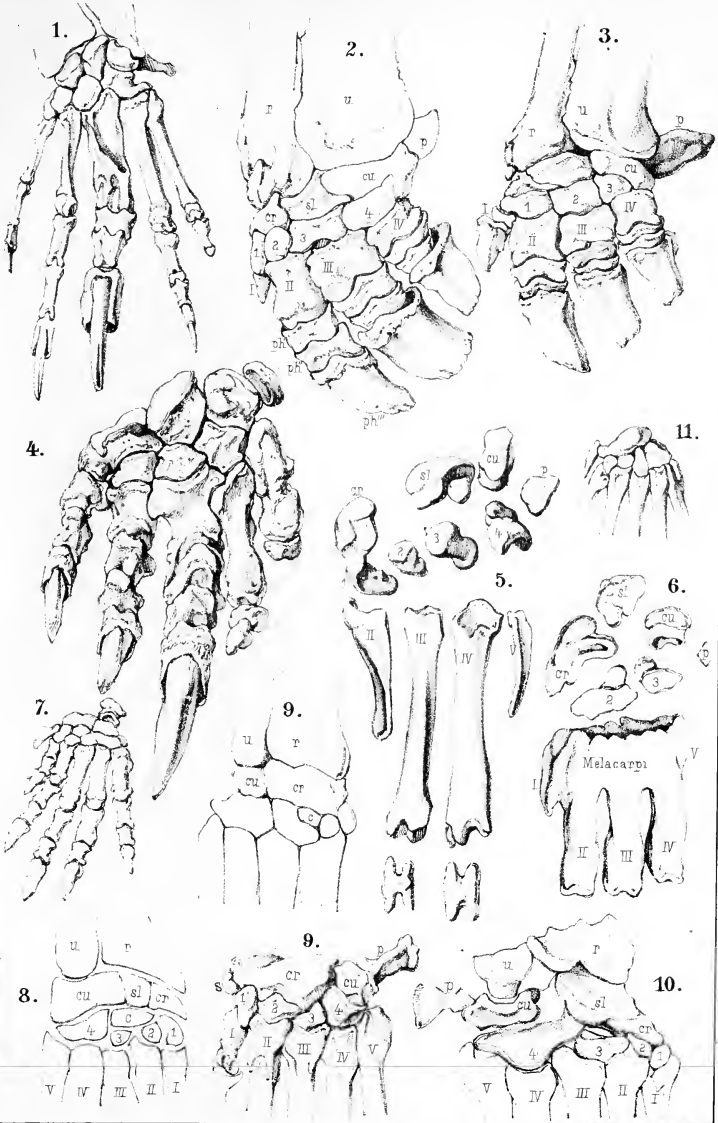
**Erklärung von Tafel LXXXIX.**

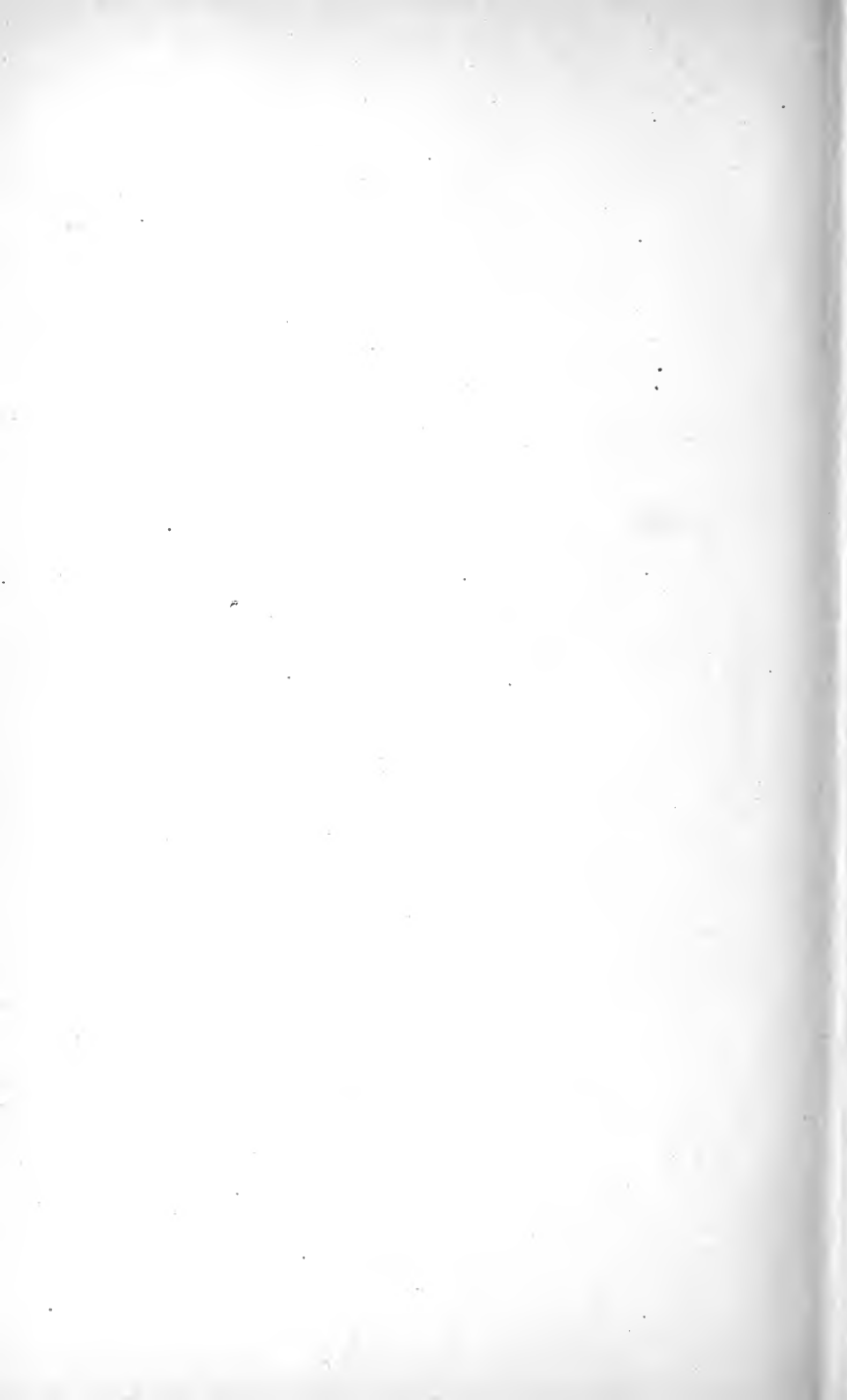
**Osteologie.**

---

Fig.

1. *Myrmecophaga jubata*, Hand verkleinert, — nach Cuvier, Rech. Oss. foss. Tab. 210. Fig. 15. — Seite 525.
  2. *Panochthysis giganteus*, Hand stark verkleinert, — nach Burmeister, Anales Mus. Buenos Aires II. Tab. 33. Fig. 1. — Seite 526.
  3. *Glyptodon asper*, desgleichen ebenso, — nach Burmeister, l. c. Tab. 33. Fig. 2. — Seite 526.
  4. *Mylodon robustus*, desgleichen ebenso, — nach Owen, Descr. *Mylodon robustus*, Tab. 15. Seite 527.
  5. *Choloepus didactylus*, Carpus und Metacarpus, — nach Cuvier, Rech. Oss. foss. Tab. 207. Fig. 5. — Seite 527.
  6. *Bradypus tridactylus*, desgleichen, — nach Cuvier, l. c. Tab. 206. Fig. 5. — Seite 227.
  7. *Castor*, Hand, halbe natürliche Grösse, — nach Cuvier, l. c. Tab. 203. Fig. 10. — Seite 529.
  8. *Lepus cuniculus*, vergrößerter Durchschnitt der Handwurzel eines Foetus, — nach Gegenbauer, vergl. Untersuchungen der Anatomie der Wirbelthiere. Taf. III. Fig. 4. — Seite 528.
  9. *Hydrochoerus capybara*, Handwurzel etwas verkleinert, — nach Gegenbauer a. a. O. Taf. 3. Fig. 5. — Seite 528.
  10. *Macropus rufus*, Handwurzel und Anfang der Metacarpen, — nach Owen, Extinct Mamm. Austr. Tab. 20. Fig. 10. — Seite 529.
  11. *Gulo arcticus*, desgleichen in halber natürlicher Grösse, — nach Cuvier, Rech. Oss. foss. Tab. 200. Fig. 12. — Seite 532.
  12. *Felis tigris*, desgleichen stark verkleinert, — nach Cuvier, l. c. Tab. 197. Fig. 9. — Seite 533.
-





# Erklärung von Tafel XC.

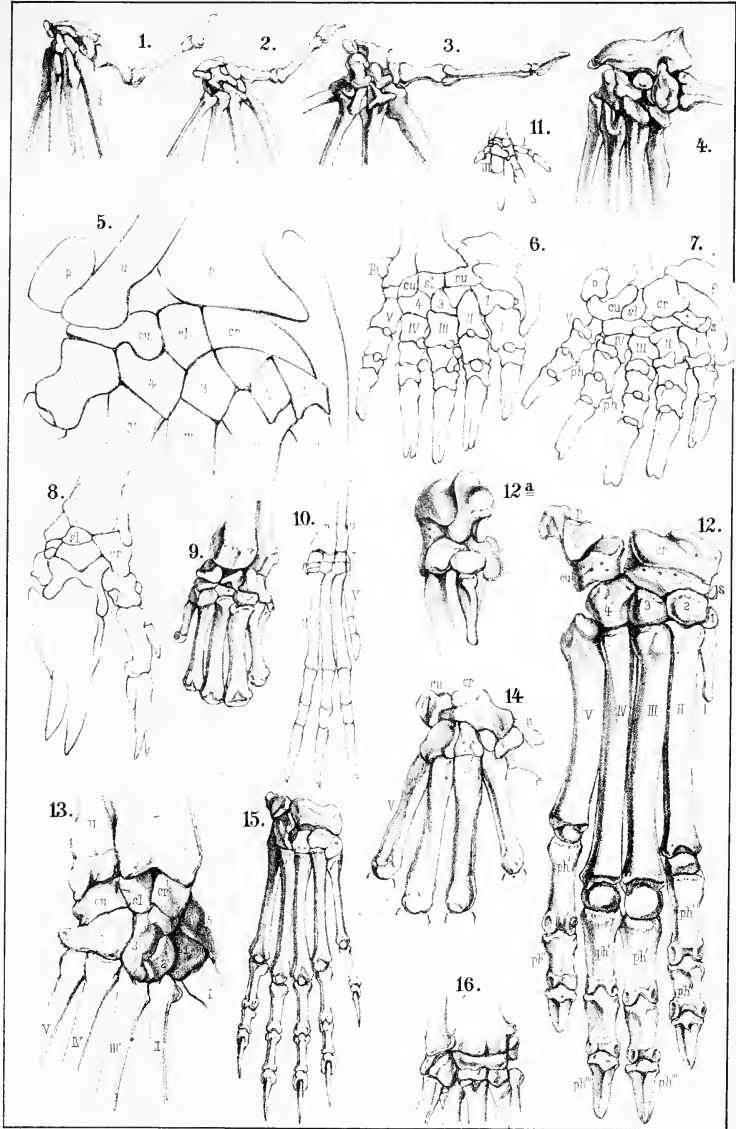
Osteologie.

---

Fig.

1. *Vespertilio murinus*, Handwurzel mit Mittelhand und Daumen vergrössert, — nach Blainville, Osteogr. *Vespertilio*, Tab. 11. — Seite 537.
2. *Molossus ursinus*, desgleichen, — nach Blainville, l. c. — Seite 537.
3. *Stenoderma*, desgleichen, — nach Blainville, l. c. — Seite 537.
4. *Pteropus*, desgleichen, — nach Blainville, l. c. — Seite 536.
5. *Talpa europaea*, desgleichen sehr stark vergrössert, — nach Gegenbauer, Untersuchungen, vergl. Anat. Wirbelth. I. Taf. III. Fig. 6. — Seite 534.
6. und 7. *Talpa europaea*, Handwurzel, Mittelhand und Zehen, 6 rechterseits von oben, 7 linkerseits von unten, in vierfacher natürlicher Grösse: *f* das Sichelbein Blumenbach's, *cr* (im Text *s*) Radiale oder Kahnbein, *sl* (im Text *l*) Mondbein, *cu* (im Text *u*) Os ulnare oder triquetrum; die übrigen Bezeichnungen wie sonst. — Pander und d'Alton, Skelete der Insectivoren, Taf. 4. — Seite 534.
8. *Chrysochloris capensis*, dieselben Theile in achtfacher Vergrösserung, — Pander und d'Alton, a. a. O. Taf. 5.
9. *Erinaceus auritus*, Handwurzel und Metacarpen, in vierfacher natürlicher Grösse, — Pander und d'Alton, a. a. O. Taf. 3. — Seite 535.
10. *Rhynchocyon Cirnei*, Handwurzel, Mittelhand und Zehen. — Unter Radius und Ulna liegen die 4 Carpalia der ersten Reihe, und unter *cr* und durch den ersten Metacarpenträger vom Rande geschieden und über den zweiten Metacarpenträger das Os centrale, welches mit seinem äussern Seitenrande den dritten Metacarpusträger berührt. — Nach Peters, Reise Mossambique Säugethiere, Taf. 23. Fig. 2. — Seite 536.
11. *Chrysochloris obtusirostris*, dieselben Theile, — nach Peters, ebenda, Taf. 22. Fig. 23. — Seite 534.
12. *Hyæna crocuta*, dieselben Theile von oben und 12a Handwurzel von der Seite verkleinert, — nach Blainville, Osteogr. *Hyæna*. — Seite 533.
13. *Inuus silenus*, Handwurzel und Metacarpen, in natürlicher Grösse, — Original. — Seite 539.
14. *Lepilemur mustelinus*, dieselben Theile in  $1\frac{1}{2}$  facher natürlicher Grösse, — nach Mivart, Proceed. Zool. Soc. 1873. p. 490. — Seite 537.
15. *Eupleres Goudoti*, Handwurzel, Mittelhand und Finger in natürlicher Grösse, — nach Gervais, Journ. Zool. 1874. III. Tab. VII. Fig. 13. — Seite 532.
16. *Cryptoprocta ferox*, Handwurzel, — nach Milne Edwards, Annales sc. nat. 1867. VII. Tab. 9. Fig. 3. — Seite 533.







**Erklärung von Tafel XCI.**

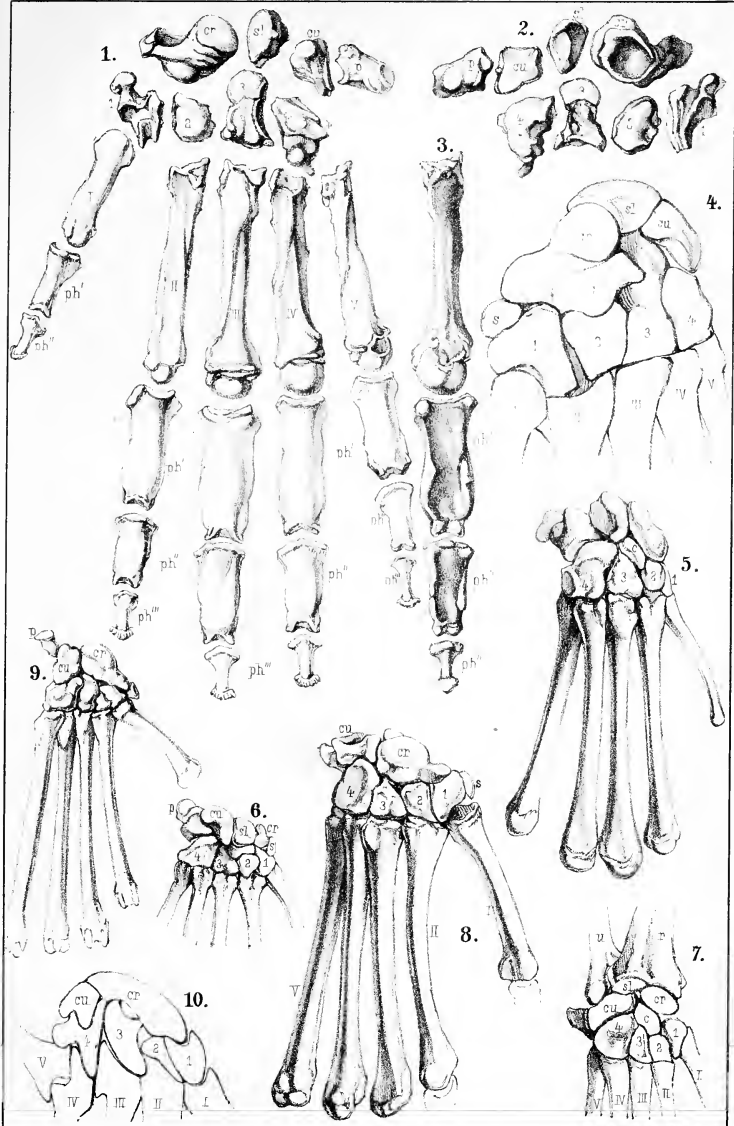
**Osteologie.**

---

Buchstaben wie auf Taf. LXXXVIII—XC.

Fig.

1. *Pithecus gorilla*, Handwurzel, Mittelhand und Finger von aussen in  $\frac{2}{5}$  der natürlichen Grösse, — nach Duvernoy, Arch. Museum VIII. Tab. 3. — Seite 510.
  2. Desselben Handwurzel, von der Volarseite ebenso, nach demselben.
  3. Desselben Mittelfinger, von der Volarseite ebenso, nach demselben.
  4. *Pithecus satyrus*, Handwurzel in natürlicher Grösse, — nach Lueae, Abhandl. Senkenbg. Mus. V. Taf. 37. Fig. 8. — Seite 540 (nicht *Hylobates* Seite 539).
  5. *Cebus apella*, Handwurzel und Mittelhand, — nach Blainville, Ostéogr. Primates, Tab. 8. — Seite 538.
  6. *Hapale iacchus*, dieselben Theile, nach ebendenselben. — Seite 538.
  7. *Chiromys madagascariensis*, dieselben Theile, nach ebendenselben. — Seite 537.
  8. *Lichanotus indri*, dieselben Theile, nach ebendenselben. — Seite 537.
  9. *Galeopithecus volans*, dieselben Theile, nach ebendenselben. — Seite 537 (nicht XCI,1).
  10. *Rhinolophus*, Carpus eines Foetus, stark vergrössert, — nach Gegenbauer, Untersuch. vergl. Anat. Wirbelthiere I. Taf. III. Fig. 7. — Seite 537.
-





**Erklärung von Tafel XCII.**

---

Fig.

1. *Ornithorhynchus paradoxus*; seitliche Ansicht des Beckens,  $\frac{1}{1}$  nat. Gr.
2. *Echidna hystrix*; seitliche Ansicht des Beckens, fast  $\frac{1}{1}$  nat. Gr.
3. *Galeopithecus volans*; jugendliches Becken von der Ventralfläche,  $\frac{1}{2}$  nat. Gr.
4. *Myogale moschata*; Becken von der Ventralfläche,  $\frac{1}{2}$  nat. Gr.
- 5—7. *Talpa europaea*; 5. Becken eines erwachsenen Thieres von der Ventralfläche,  $\frac{1}{1}$  nat. Gr.;  
6. Becken eines Fötus von der Ventralfläche, 7. von der Lateralfläche; Fig. 6 und 7  
 $\frac{1}{1}$  nat. Gr.
8. *Myogale pyrenaica*; seitliche Ansicht eines jugendlichen Beckens,  $\frac{2}{1}$  nat. Gr.
9. *Pteropus aegyptiacus*; weibliches Becken von der Ventralfläche,  $\frac{1}{1}$  nat. Gr. *Sl* Ligament  
der Schamfuge.
10. *Tatusia peba*; jugendliches Becken von der Ventralfläche,  $\frac{1}{2}$  nat. Gr. *Sl'* Verk nöcherner  
Schamfugenknorpel.
11. *Lemur macaco*; seitliche Ansicht des Beckens,  $\frac{1}{2}$  nat. Gr. *Spo* Spina ventralis posterior  
*Cl* Crista lateralis.
12. *Lepus cuniculus*; seitliche Ansicht des Beckens in etwas verjüngtem Maassstabe.
13. *Mus decumanus*; seitliche Ansicht des Beckens,  $\frac{2}{1}$  nat. Gr.
14. *Hesperomys ratticeps*; seitliche Ansicht des Beckens,  $\frac{2}{1}$  nat. Gr.
15. *Otocyon caffer*; seitliche Ansicht des Beckens,  $\frac{1}{2}$  nat. Gr.
16. *Phoca vitulina*; seitliche Ansicht des Beckens,  $\frac{1}{4}$  nat. Gr.

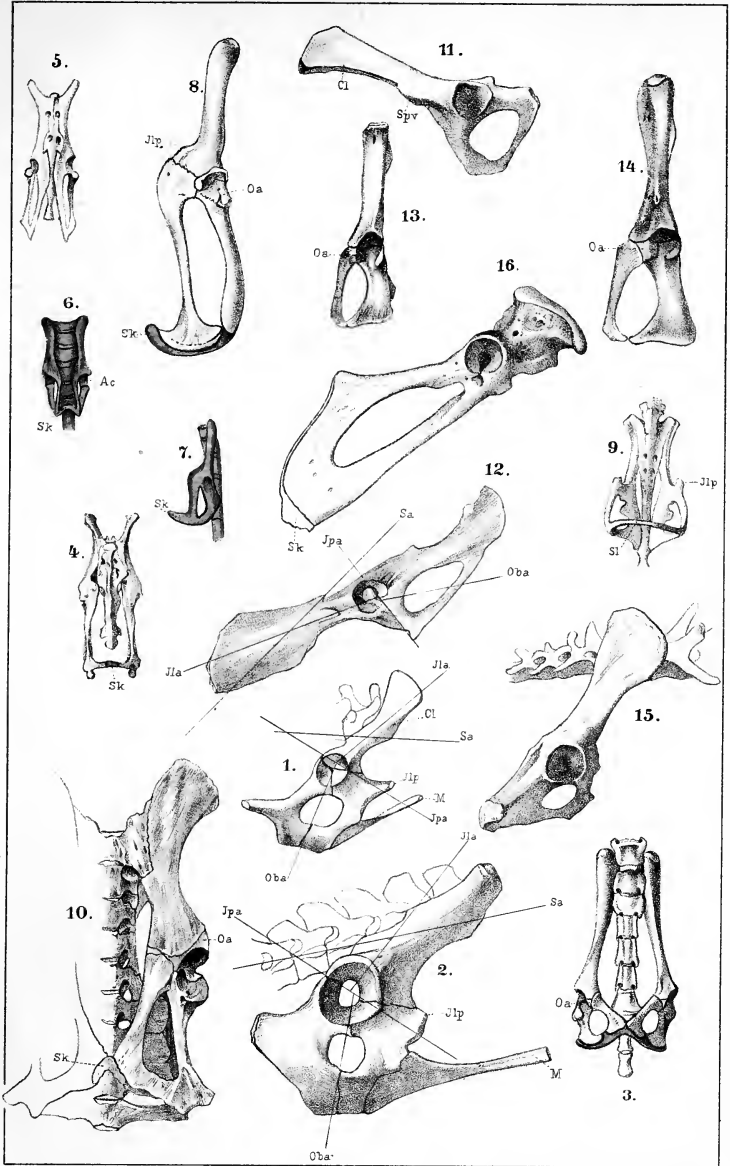
Für alle Figuren gültige Bezeichnungen:

*Ila* Axis iliaca.  
*Ipa* - iliopectinea.  
*Oba* - obturata.  
*Sa* - sacralis.  
*Itp* Tuberculum iliopectineum.  
*M* Os marsupiale.  
*Oa* Os acetabuli.  
*Sk* Schamfugenknorpel.

Die knorpeligen Partien sind durch blaue Farbe ausgezeichnet.

Alle Figuren sind Originale.







**Erklärung von Tafel XCIII.**

\_\_\_\_\_

Fig.

1. *Tapirus indicus*; seitliche Ansicht des Beckens,  $\frac{1}{4}$  nat. Gr.
2. *Bos taurus*; seitliche Ansicht des Beckens,  $\frac{1}{4}$  nat. Gr. *a* lateraler Process des Sitzbeins.
3. *Hyrax capensis*; seitliche Ansicht des Beckens,  $\frac{1}{2}$  nat. Gr.
4. *Midas rosalia*; seitliche Ansicht des Beckens,  $\frac{1}{1}$  nat. Gr. *Cl* Crista lateralis.
5. *Cynocephalus mormon*; seitliche Ansicht der Acetabulargegend,  $\frac{1}{1}$  nat. Gr. *Il* Darmbein, *P* Schambein, *Is* Sitzbein.
6. *Balaena mysticetus*, Weibchen; *P* Becken, *e* Acetabulum, *F* Femur, *T* Tibia,  $\frac{1}{6}$  nat. Gr.
7. *Ornithorhynchus paradoxus*; rechtes Oberschenkelbein von vorne,  $\frac{1}{1}$  nat. Gr.
8. *Echidna hystrix*; rechtes Oberschenkelbein von vorne, 9. dasselbe von hinten,  $\frac{1}{1}$  nat. Gr.

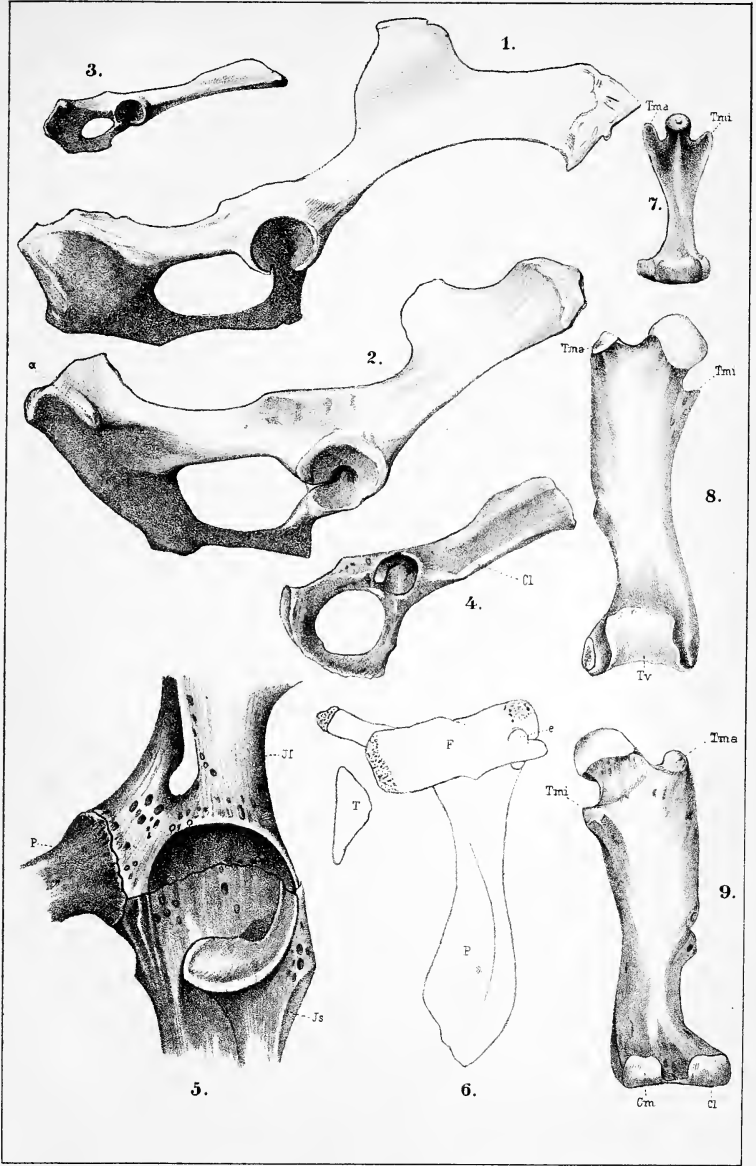
Für Fig. 7—9 gültige Bezeichnungen: —

*Tma* Trochanter major femoris.

*Tmi* - - - minor - -

Fig. 1—5. 7—9 sind Originale; Fig. 6 nach Struthers.

---





**Erklärung von Tafel XCIV.**

---

Fig.

1. *Manatus americanus*; rechter Beckenknochen eines Männchens.  $\frac{1}{2}$  nat. Gr.
2. *Mus decumanus*; rechtes Oberschenkelbein von vorne.  $\frac{1}{4}$  nat. Gr.
3. *Pteropus poliocephalus*; rechtes Oberschenkelbein von vorne.  $\frac{1}{4}$  nat. Gr.
4. *Xenurus gymnurus*; linkes Oberschenkelbein von vorne.  $\frac{1}{4}$  nat. Gr.
5. *Equus caballus*; linkes Oberschenkelbein von hinten,  $\frac{1}{4}$  nat. Gr. *G* Grube an der distalen Hälfte, *a* Grube für das Ligamentum teres, *Cl* Condylus lateralis, *Co* Cond. medialis.
6. *Phoca foetida*; rechtes Oberschenkelbein von hinten, etwas verkleinert.
7. *Hylobates* sp.; linkes Oberschenkelbein von hinten.  $\frac{1}{2}$  nat. Gr.
8. *Talpa europaea*; rechter Unterschenkel von vorne.  $\frac{1}{4}$  nat. Gr. *Pa* Patella. *a* Fortsatz am Schienbein, *b* vorderer Fortsatz des Wadenbeins.
9. *Spalax typhlus*; linker Unterschenkel eines jungen Thieres von vorne.  $\frac{1}{4}$  nat. Gr. *c* gemeinsame distale Epiphyse der beiden Unterschenkelknochen.

Für alle Figuren gültige Bezeichnungen:

*F* Fibula.

*T* Tibia.

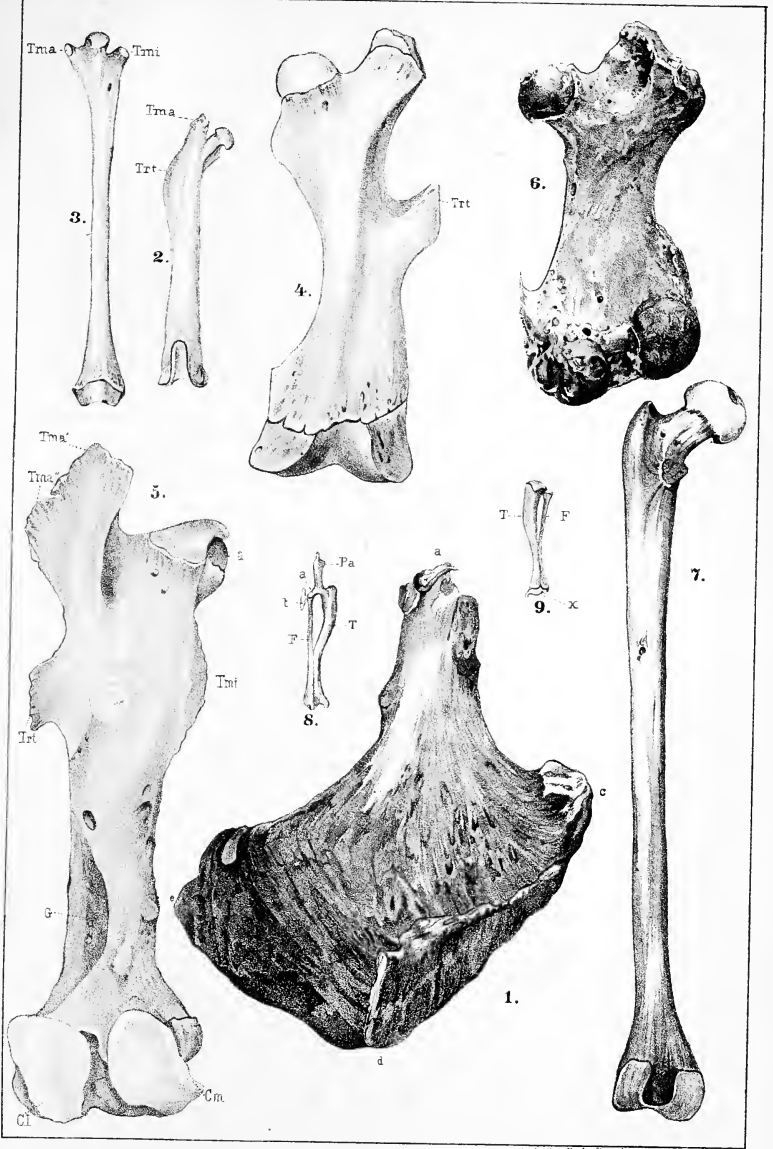
*Tma* Trochanter major femoris.

*Tmi* - minor -

*Trt* - tertius -

Fig. 1 nach Krauss; die übrigen Figuren sind Originale.







**Erklärung von Tafel XCV.**

---

Fig.

1. Ornithorhynchus paradoxus; rechter Unterschenkel und Fuss von vorne,  $\frac{1}{4}$  nat. Gr. *F<sup>v</sup>* distale Fibula-Epiphyse, *T<sup>v</sup>* distale Tibia-Epiphyse, *a* proximaler Fibula-Fortsatz.
2. Halmaturus Bennetti; linker Unterschenkel und Fuss eines jungen Thieres von vorne,  $\frac{1}{4}$  nat. Gr. *F<sup>v</sup>* distale Fibula-Epiphyse, *T<sup>v</sup>* distale Tibia-Epiphyse. *x* besonderer Knochenkern des proximalen Tibia-Endes.
3. Synotus barbastellus; linker Unterschenkel,  $\frac{1}{4}$  nat. Gr. *Fm* Femur, *L* Ligament, welches das proximale Fibula-Ende repräsentirt.
4. Synotus barbastellus; linker Unterschenkel eines 11 Mm. langen Embryos, stark vergrößert. *Fm* Femur; die verknöcherten Theile sind durch Schattirung bezeichnet.
5. Xenurus gymnurus; linker Unterschenkel von vorne,  $\frac{1}{4}$  nat. Gr. *x* distale, *y* proximale gemeinsame Epiphyse.
6. Equus caballus; linker Unterschenkel von vorne,  $\frac{1}{4}$  nat. Gr. *Fd* distales, *Fp* proximales Fibula-Stück.
7. Ovis aries; rechter Tarsus etc. von vorne,  $\frac{1}{2}$  nat. Gr. *Fd* distales Fibula-Stück, *M. III + IV* verschmolzener 3. und 4. Mittelfussknochen, *T<sup>v</sup>* distale Tibia-Epiphyse.
8. Dasyprocta aguti; linker Fuss von vorne,  $\frac{1}{4}$  nat. Gr.

Für alle Figuren gültige Bezeichnungen:

*A* Astragalus.

*Cb* Cuboideum.

*Cc* Calcaneus.

*Cu* *I, 2, 3* Cuneiforme 1. 2. 3.

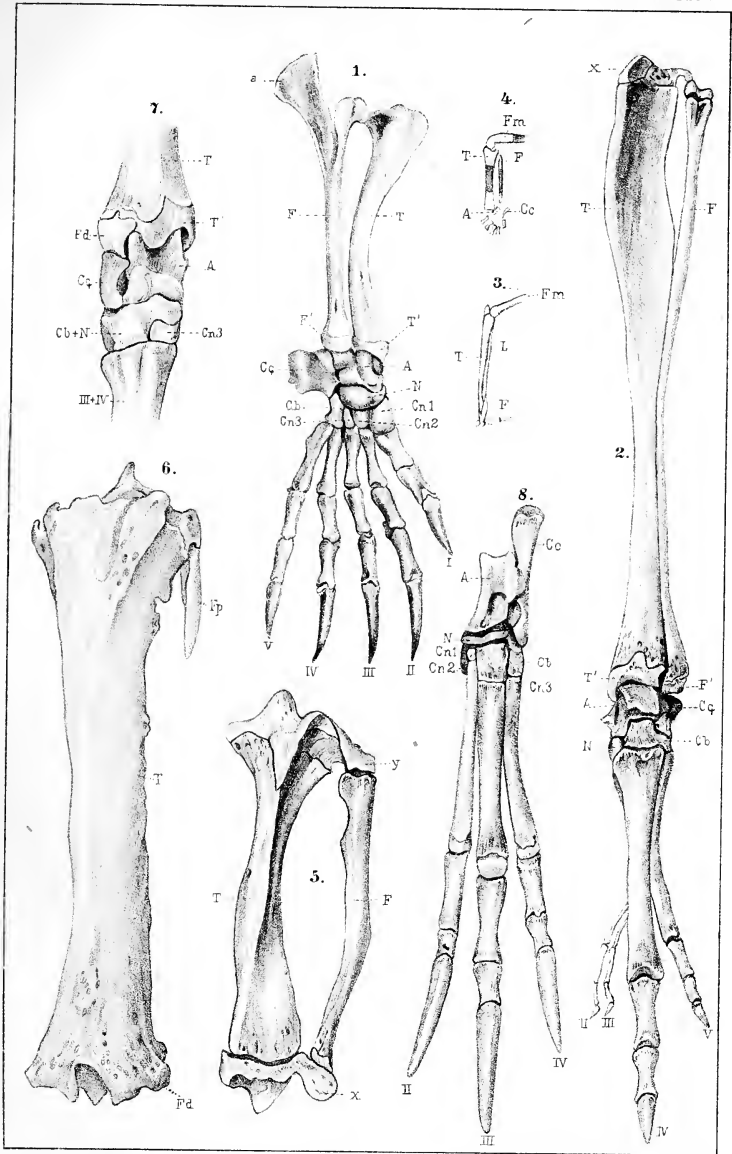
*F* Fibula.

*N* Naviculare.

*T* Tibia.

*I, II, III, IV, V* Ordnungsnummern der Zehen.

Alle Figuren sind Originale.





**Erklärung von Tafel XCVI.**

---

Fig.

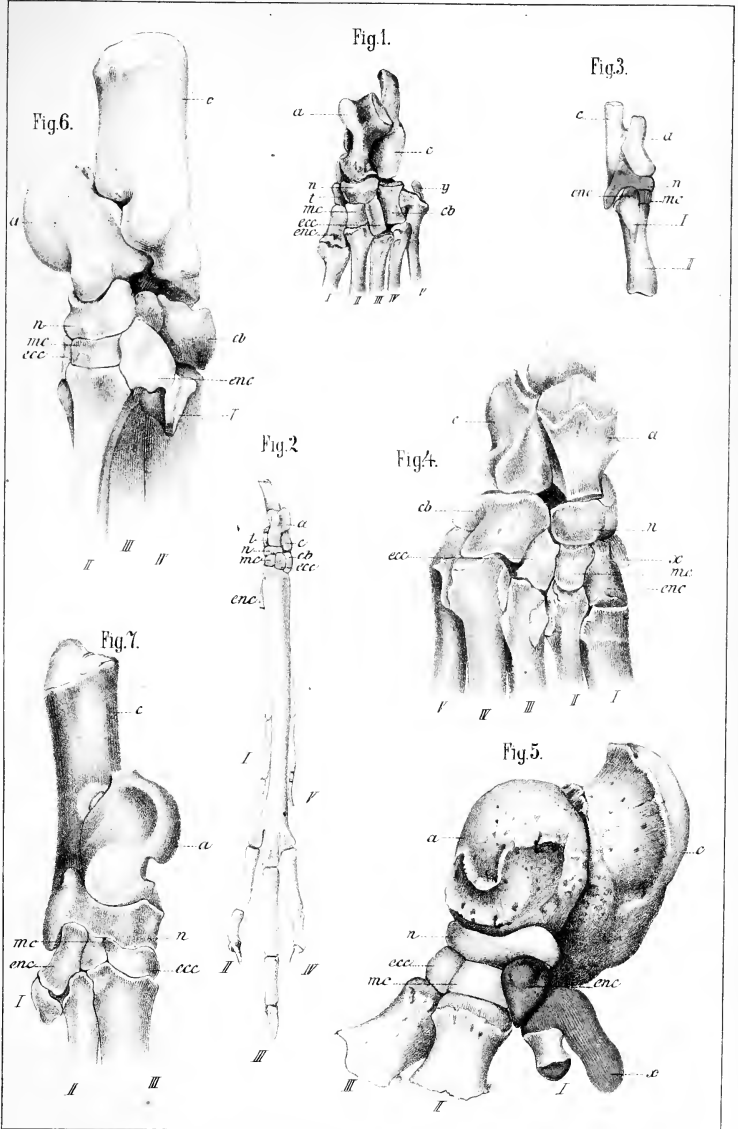
1. *Pteromys ptaurista*; Tarsus von der Dorsalfäche,  $\frac{1}{1}$  natürliche Grösse; *y* Sesambein.
2. *Atactaga acontion*; Fuss von der Dorsalfäche,  $\frac{2}{1}$  natürliche Grösse.
3. *Lepus cuniculus*, acht Tage alt; Tarsus von der Tibialfläche,  $\frac{2}{1}$  natürliche Grösse.
4. *Phoca vitulina*; Tarsus von der Dorsalfäche,  $\frac{1}{2}$  natürliche Grösse.
5. *Elephas africanus*; Tarsus von der Tibialfläche,  $\frac{1}{2}$  natürliche Grösse.
6. *Tapirus americanus*; .. .. .
7. *Sus scrofa dom.*; .. .. .

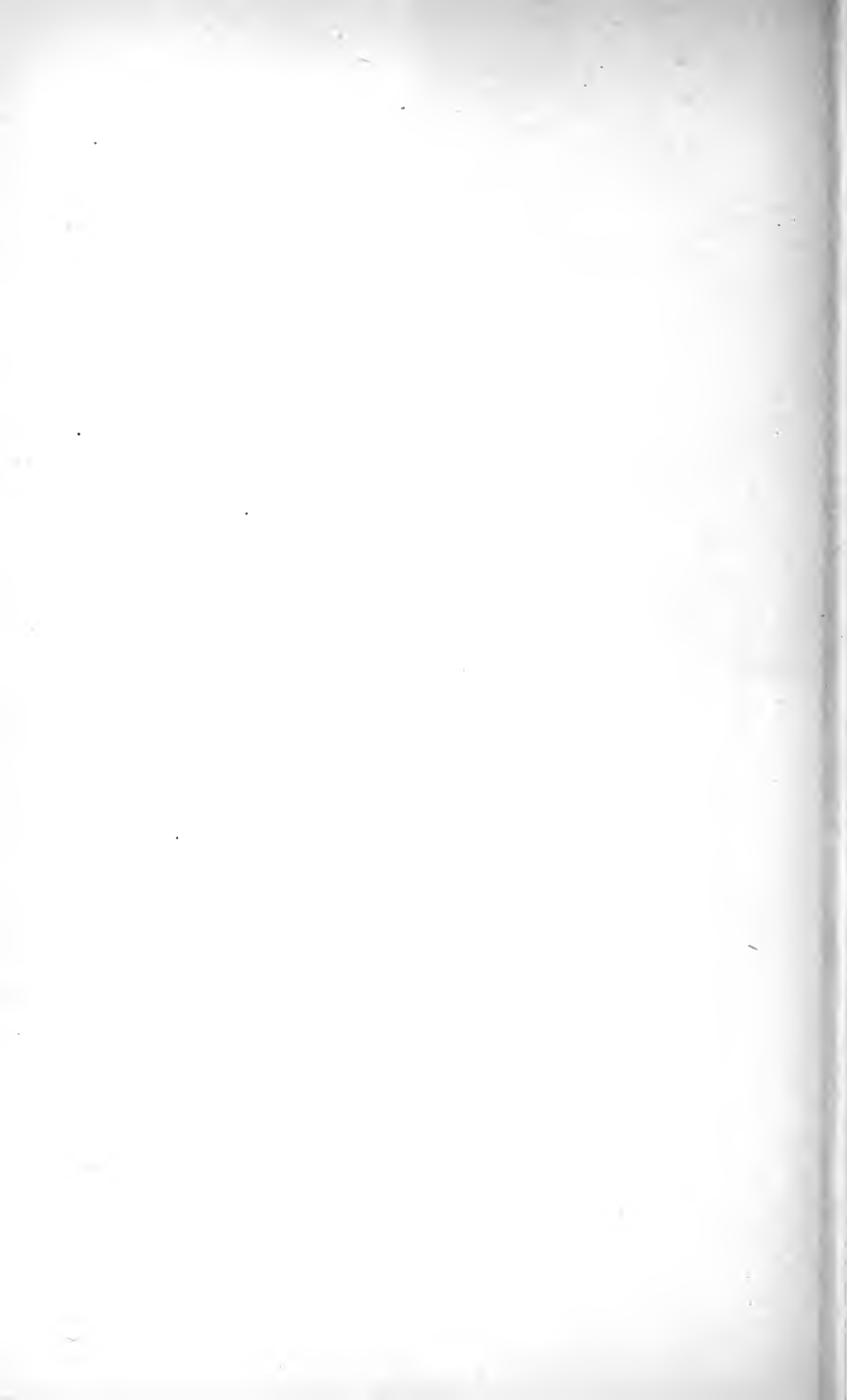
Für alle Figuren gültige Bezeichnungen:

- a* Astragalus.
- c* Calcaneus.
- cb* Cuboideum.
- eee* Ectocuneiforme.
- ene* Entocuneiforme.
- m* Metatarsus.
- me* Mesocuneiforme.
- n* Naviculare.
- t* Tibiale.
- x* 6. Zehe.
- I—V* 1.—5. Zehe.

Die knorpeligen Theile sind blau.  
Alle Figuren sind Originale.







**Erklärung von Tafel XCVII.**

Fig.

1. *Balaena mysticetus*; Zungenbein. Sth Stylohyale; Bthh vereinte Basi-Thyrohyale; Lthh Ligamenta thyro-hyoid. lateralia; Cth vordere Hörner des Schildknorpels.  $\frac{1}{12}$  natürlicher Grösse.
2. *Ericulus setosus*; Episternum.  $\frac{2}{1}$  natürl. Gr.
3. *Chiromys madagascariensis*; Episternum. Natürl. Gr.
4. *Galeopithecus Temminckii* (Wat); Episternum und Epicoracoideum. Natürl. Gr.

Bezeichnungen der Figg. 2—4:

Cl Clavicula.

E Episternum.

Ep Epicoracoideum.

Ma Manubrium sterni.

R I 1. Rippe.

5. *Erinaceus europaeus*; oberflächliche Muskeln der Bauchfläche; ha, ha' Musc. humero-abdominalis, oe M. obliquus abdominis externus, oi M. obliq. abd. internus, p, p'', p''' M. pectoralis major, r M. rectus abdominis, sc M. sterno-costalis, sf M. sterno-facialis.
6. *Erinaceus deserti*; oberflächliche Muskeln des Kopfes. aa M. attrahens auris, ls M. levator labii superioris, sf M. sterno-facialis, z M. zygomaticus major, z' M. zygomaticus minor.

---

Fig. 1 nach Eschricht und Reinhardt; 5 und 6 nach Dobson; 2—4 sind Originale.

Fig. 1.

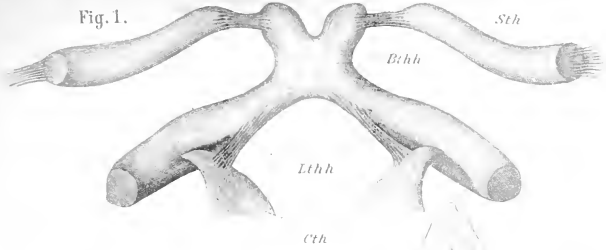


Fig. 2.

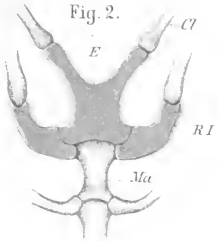


Fig. 3.

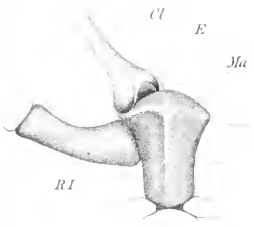


Fig. 6.

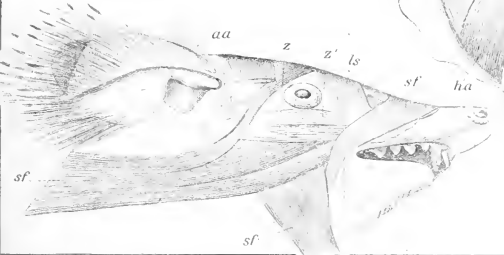


Fig. 5.

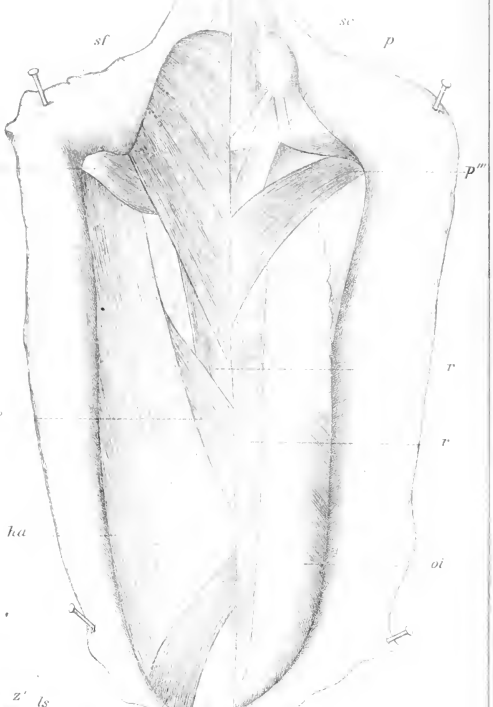
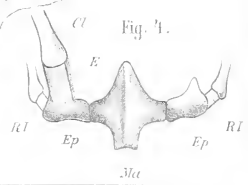


Fig. 4.





**Erklärung von Tafel XCVIII.**

Fig.

1. Galeopithecus Temminckii. Muskulatur des Kopfes, Halses, der Brust und des Oberarms, sowie des Pro- und Plagiopatagium (theilweise) von der Ventralfläche. Mm. subclavius, pectoralis major und minor sind theilweise, M. depressor maxillae inf. gänzlich abgetragen. Das Schlüsselbein ist theilweise entfernt; der Oberarm ist stark vom Rumpfe abgezogen. Natürl. Grösse.

CL Clavicula.

M Processus mastoideus.

1. *Muskeln des Patagium*: cc M. coracocutaneus. hc M. humerocutaneus. hc' Theil des M. humerocutaneus, welcher vom übrigen Muskel abgetrennt ist und zusammen mit der Haut abgezogen ist, um die unterliegenden Muskeln und Nerven des Oberarm. zur Ansicht zu bringen. jpr M. jugalis propatagii. pms Platysma myoides superior. vspr Ventrale Schicht des Propatagium.
2. *Muskeln des Stammes*: buc M. buccinator. ma M. masseter. oabc M. obliquus abdominis externus. reab M. rectus abdominis. stc' M. sternocostalis I. stc'' M. sternocostalis II. stcm M. sternocleidomastoideus. sthy' Hintere, sthy'' vordere Portion des M. sternohyoideus. stth M. sternothyroideus.
3. *Muskeln der vordern Extremität*: adl Pars acromialis m. deltoidei. aint M. auconeus internus. bi M. biceps. bri M. brachialis internus. cbrb M. coracobrachialis brevis. dbr M. dorso-brachialis. dptr M. dorso-epitrochlearis. lvc M. levator claviculae. lvs M. levator scapulae et serratus anticus major. pj M. pectoralis major. pm M. pectoralis minor. sc M. subclavius. trm M. teres major. trp M. trapezius.
- Nerven*: III—IX. 3.—8. Hals- und 1. Brustnerv. 1 N. facialis. 1 a Pes anserinus N. facialis. 1 b Ramus cutaneus colli superior. 1 cc N. vagus. 2 N. accessorius Willisii. 3 N. occipitalis minor. 4 N. suprascapularis. 5 N. dorsalis scapulae. 6 N. axillaris. 7 N. subscapularis. 8 Nn. thoracici anteriores. 10 N. musculo-cutaneus. 11 N. cutaneus brachii internus minor. 12 N. cut. brachii int. major. 13 N. radialis. 14—15 Vereinigter Stamm des N. ulnaris-medianus.
2. Phascogale calura. Oberflächliche Muskeln der Rückenfläche des Kopfes und der Ohrmuschel. Natürl. Grösse. a M. mandibulo-auricularis. b M. orbicularis oculi. c M. orbito-auricularis-levator labii superioris alaeque nasi. d M. auriculo-labialis superior. e M. auricularis superior. f, f'—f<sup>4</sup> M. auriculo-occipitalis. g, h Mm. auriculares posteriores proprius.
3. Phascogale calura. Muskeln an der hintern, äussern Ohrmuschelfläche; die Ohrmuschel nach vorwärts gelegt. Natürl. Grösse. a Ohrmuskel vom M. sphincter colli (b) und Platysma myoides (c) gebildet. d, e Mm. auriculares posteriores proprius. f<sup>3</sup> Theil des auriculo-occipitalis. g Drüse.
4. Gymnura Rafflesii. Oberflächliche Muskeln der Ventralfläche des Kopfes und Halses. Natürl. Grösse. d, d' M. depressor maxillae inferioris. g M. geniohyoideus. m M. masseter. mh M. mylo-hyoideus. stm M. sterno-mastoideus. sth M. sterno-hyoideus. sg Glandula submaxillaris.

Figg. 1—3 sind Originale; Fig. 4 nach Dobson (148).





Mammalia.

Fig. 4.

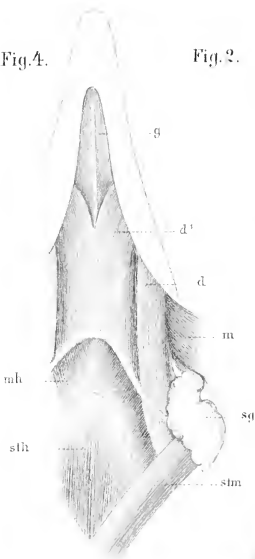


Fig. 2.

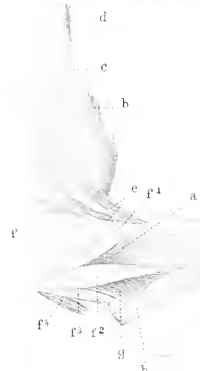
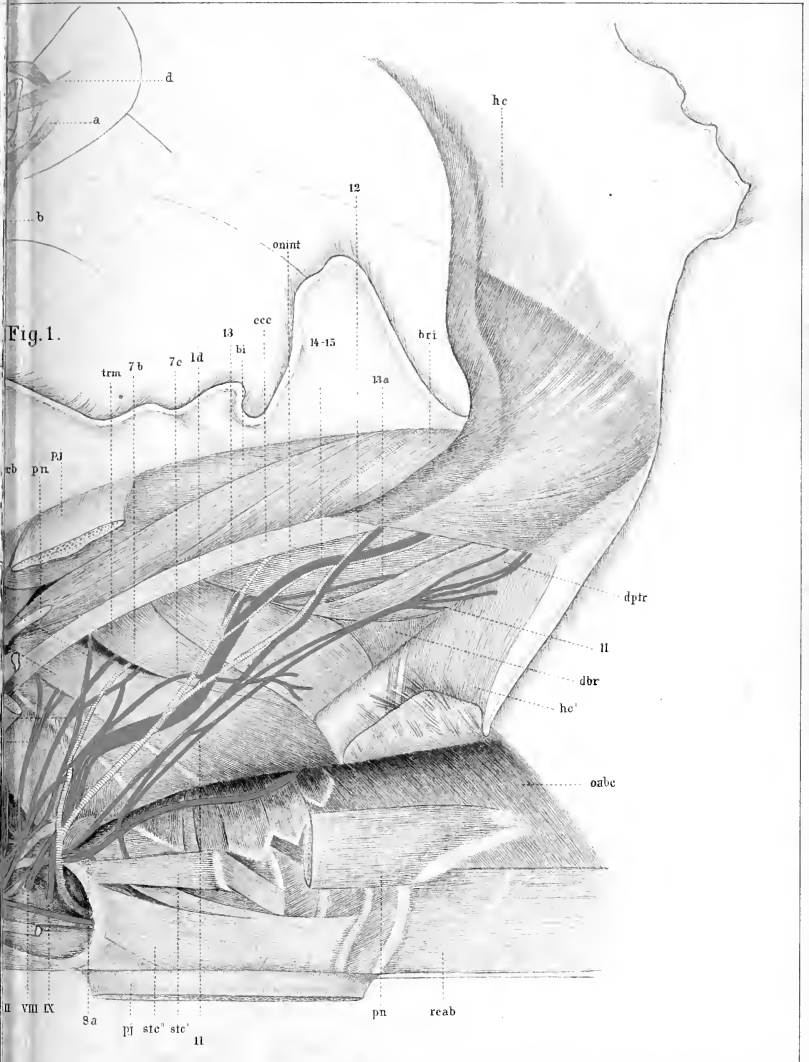


Fig. 3.







**Erklärung von Tafel XCIX.**

---

Fig.

1. *Choloepus* sp. Oberflächliche Muskulatur des Kopfes und Halses von der Ventralfläche. Natürl. Grösse. d Vorderer, d' Hinterer Bauch des M. depressor maxillae inferioris. mh M. mylohyoideus. stem M. sterno-cleido-mastoideus. sthy M. sterno-hyoideus (M. „sterno-maxillaris“) (rechterseits entfernt). sthy' Rudimentärer gewöhnlicher M. sterno-hyoideus. stth M. sterno-thyreoideus. — 1 Nervus mylohyoideus. 1a Zweig desselben zum M. sterno-maxillaris. 1b Zweig desselben zum vorderen Bauch des M. depressor maxillae inferioris. 1c Zweige desselben zum M. mylohyoideus. 2 Nerv. vagus. 3 Nerv. accessorius Willisii. 4 Nerv. hypoglossus. 4a Zweige desselben zum M. sterno-maxillaris. 4b Zweige desselben zum M. sterno-thyreoideus. 5 Cervicalnerv I den M. sterno-maxillaris innervierend und mit N. hypoglossus anastomosirend. — (Nach einem Präparate von Dr. G. Adlerz.)
2. *Sciurus vulgaris*. Oberflächliche Muskeln an der Ventralfläche des Kopfes. Natürl. Grösse. d M. depressor maxillae inferioris. mh M. mylohyoideus. mh' Vorderer Theil desselben („M. transversus mandibulae“). — 1 Nerv. mylohyoideus, die drei genannten Muskeln versorgend.
3. *Myrmecophaga jubata*. Einige Halsmuskeln, von der Dorsalfäche gesehen.  $\frac{1}{3}$  natürl. Grösse. gg M. genioglossus. stg M. sterno-glossus. stth M. sterno-thyreoideus. — 1 Nerv. lingualis. 2 Nerv. hypoglossus. 3 Nerv. cervicalis. I (N. „sterno-glossus“). — A Zungenbein, völlig unabhängig von den Zungenmuskeln. B Brustbein, B' Processus xiphoideus desselben. — c: Carotis mit Arteria lingualis.
4. *Felis cat. domestica*. Tiefere Muskeln des Kopfes, Halses und der Schulter, von der Lateralfäche. ao M. auriculo-occipitalis. bu M. buccinator. ca M. caninus. cm M. cleido-mastoideus. cot M. cleido-omo-transversarius. cpi M. constrictor pharyngis inferior. cpm M. constrictor pharyngis medius. d M. depressor maxillae inferioris. ip M. infraspinatus. m M. masseter. ma M. mandibulo-auricularis (siehe Text pag. 683). mh M. mylohyoideus. pp M. pectoralis profundus. rh M. rhomboideus. rho M. rhombo-occipitalis. saa M. serratus anticus major. sp M. supraspinatus. spl M. splenius. sthy M. sterno-hyoideus. stth M. sterno-thyreoideus. styg M. stylo-glossus. styh M. stylo-hyoideus. te M. temporalis. trchm M. trachelo-mastoideus. tri M. teres minor. trm M. teres major.

Fig. 1—2 sind Originale; Fig. 3 nach Pouchet (144); Fig. 4 nach Straus-Durckheim (176).



Fig. 1.

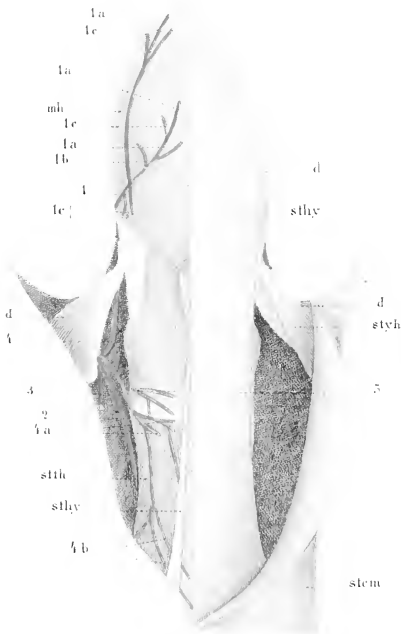
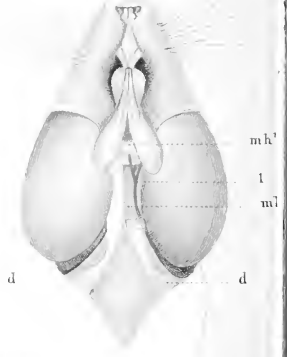


Fig. 2.



Fig. 2.





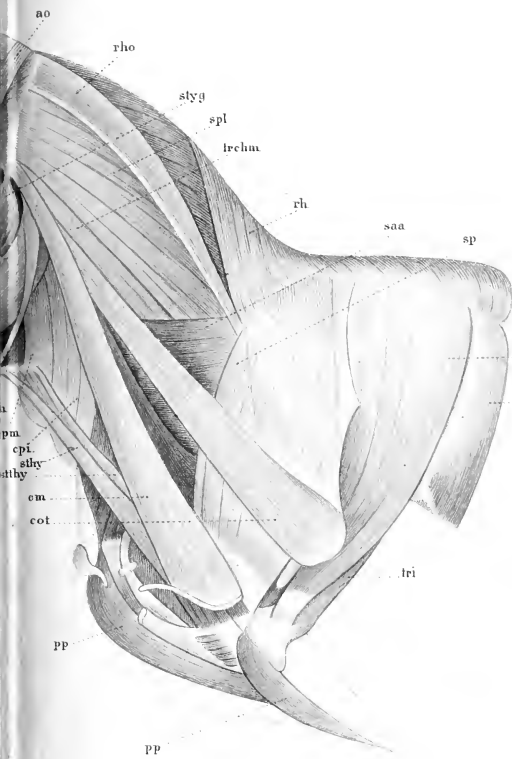
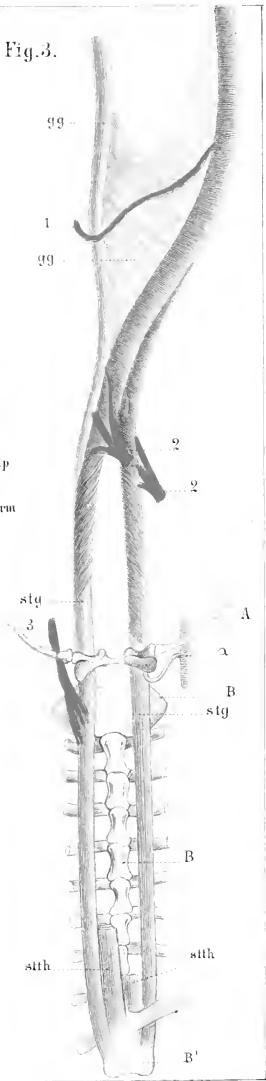


Fig. 3.





**Erklärung von Tafel C.**

---

ig.

1. *Felis cat. domestica*. Tiefere Muskeln des Stammes von der Lateralfäche. ass Aponeurosis spinalis superficialis. cpi M. constrictor pharyngis inferior. cpm M. constrictor pharyngis medius. geh M. geniopharyngeus. glh M. glossopharyngeus. ie Mm. intercostales externi. ii M. intercostales interni. m M. masseter. mh M. mylohyoideus. oi M. obliquus abdominis internus. r M. rectus abdominis. rcama M. rectus capitis anticus major. rcl M. rectus capitis lateralis. saa M. serratus anticus major. sam M. serratus anticus minor. sc Mm. scaleni. sca M. sterno-costalis anterior. spl M. splenius. spp M. serratus posticus posterior. sthy M. sterno-hyoideus. stth M. sterno-thyreoideus. styg M. stylo-glossus. te M. temporalis.
2. *Myogale pyrenaica*, Weibchen. Gerade Bauchmuskeln von der Ventralseite. Naturl. Grösse. py Theil des M. pyramidalis. rabd M. rectus abdominis. x laterale Fasern des linken M. rectus-Ursprunges. — A Anus. Clt Clitoris. Sch Schamfuge.
3. *Myogale pyrenaica*, Weibchen. Oberflächliche Bauchmuskeln von der Ventralfläche. obl.ext.s M. obliquus abdominis externus sinister. obl.ext.d M. obliquus abdominis externus dexter (der mediale Rand des letztern ist zurückgeschlagen, um den M. pyramidalis zu zeigen). Processus xiphoides sterni. Die übrigen Bezeichnungen wie Fig. 2.

Fig. 1 nach Straus-Durckheim (176): Fig. 2—3 nach Leche (4).



Mammalia.

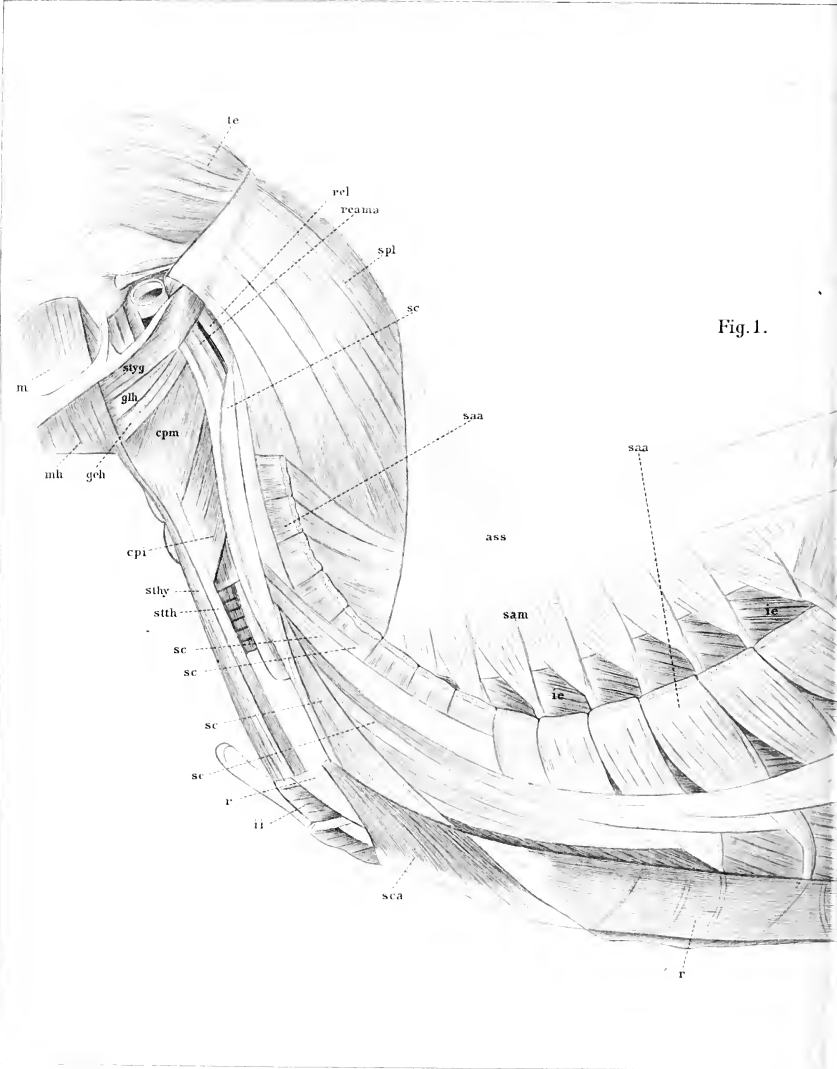


Fig. 1.

Fig. 2.

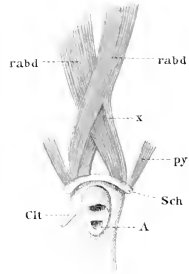
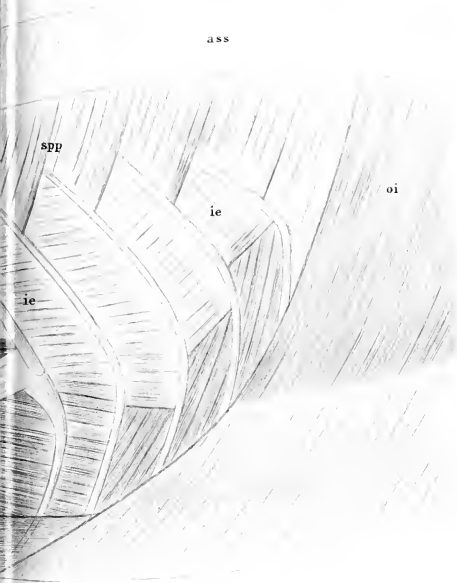
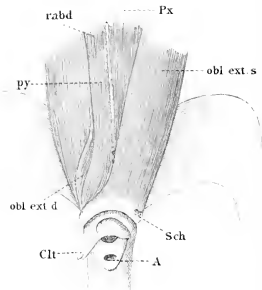


Fig. 3.







**Erklärung von Tafel CI.**

Fig.

1. *Erinaceus europaeus*, Männchen. Oberflächliche Muskeln der Ventralseite des Bauches und des Oberschenkels. Natürl. Grösse. *adb* M. adductor brevis, *adl* M. adductor longus. *bey* M. bulbo-cavernosus. *gr* M. gracilis. *gre* M. gracilis accessorius. *iscv* M. ischio-cavernosus. *obl. ext* M. obliquus abdominis externus. *pber* M. pubo-cavernosus. *pc* M. pectineus. *py* M. pyramidalis (abgeschnitten). *rabd* M. rectus abdominis. *rf* M. rectus femoris. *smm* M. semimembranosus. *smt'* M. semitendinosus, I. *sr* M. sartorius. *vm* M. vastus medius. — *Acr* Arteria cruralis. — *2* Nervus cruralis; *2c* dessen Ast zum M. extensor cruris; *2s* N. saphenus major. *3a* N. obturatorius-Ast zum M. adductor magnus; *3g* Ast zum M. gracilis; *3h* Ast zum M. gracilis accessorius.
2. *Erinaceus europaeus*, Männchen. Tiefere Muskeln der Ventralseite des Bauches und des Oberschenkels. Natürl. Grösse. *adm* M. adductor magnus. *bic* M. biceps femoris. *ilp* M. ilio-psoas. *obl. int.* M. obliquus abdominis internus. *ot* M. obturator intermedius. *prs* M. praesemimembranosus. — *Apf* Arteria profunda femoris. — *3g'* N. obturatorius-Ast zum M. gracilis accessorius. Die übrigen Bezeichnungen wie Fig. 1.
3. *Meles taxus*. Kleine Kopfmuskeln. *oci* M. obliquus capitis inferior. *ocs* M. obliquus capitis superior. *rcpmi* M. rectus capitis posticus minor. *rcs* M. rectus capitis superficialis. — *V3* dritter Halswirbel. — *1—3*: Cervicalnerven I—III.
4. *Felis cat. domestica*. Oberflächliche Muskeln der Brust. *cu* M. cucullaris. *dc* M. deltoideus clavicularis. *dhm* M. dermo-humeralis. *oe* M. obliquus abdominis externus. *pan* M. „pecto-antëbrachial“ (Straus-Durckheim). *pj* M. pectoralis major. *pl* „Large-pectoral“ (Straus-Durckheim). *tre* M. triceps brachii externus. *sl* M. supinator longus. — *E* Processus xiphoideus sterni.

Fig. 1—2 nach Leche (4); Fig. 3 nach Chappuis (59); Fig. 4 nach Straus-Durckheim (176).



Mammalia.

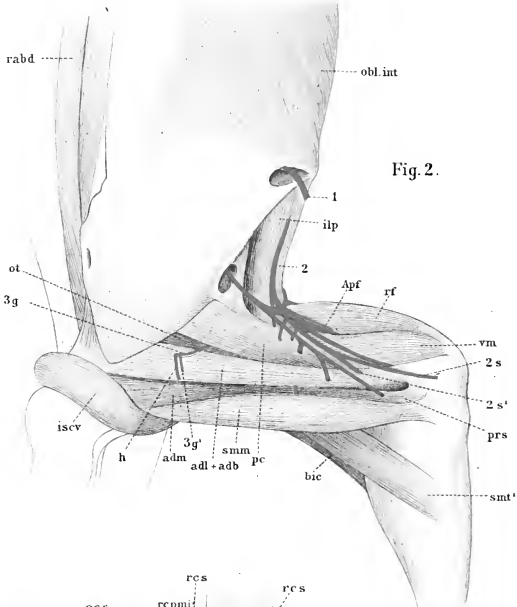


Fig. 2.

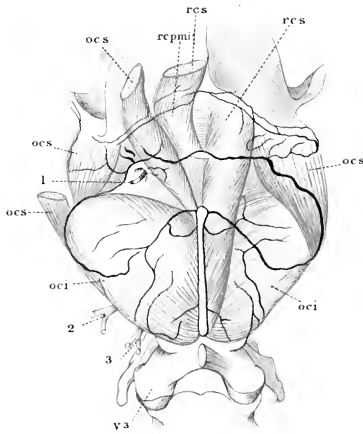
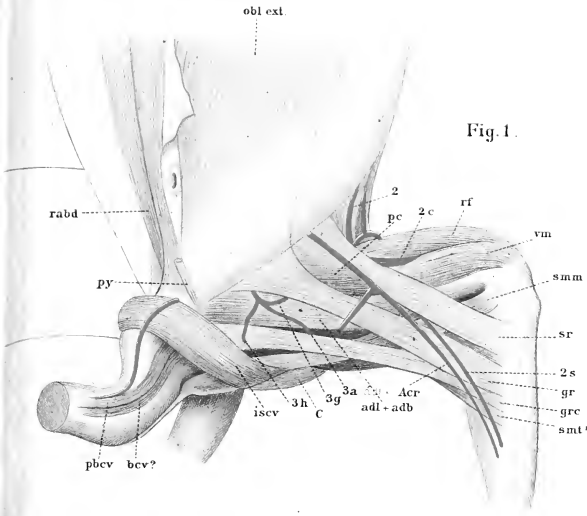
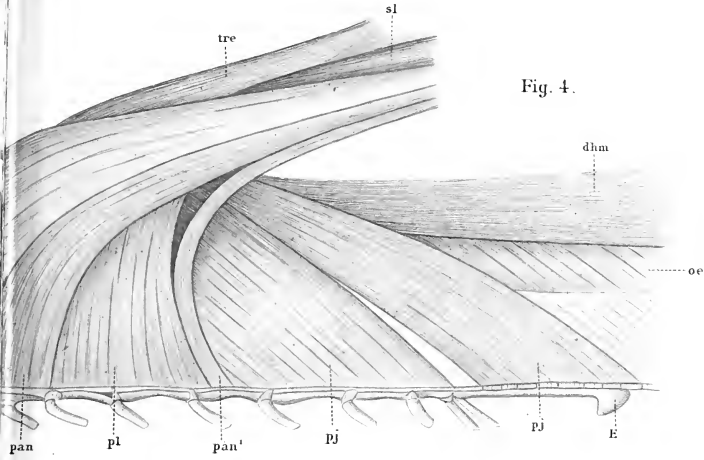


Fig. 3.





**Erklärung von Tafel CII.**

---

**Fig.**

1. *Felis domestica*. Muskeln der Wirbelsäule.
2. „ „ Tiefere Muskeln der Wirbelsäule.

bce M biventer cervicis. coepi M. „costo-épineux“ (Strauss-Durckheim). inti Mm. intertransversarii. ints Mm. intertransversales. intsp Mm. interspinales. leo M. longus colli. lnc M. longissimus cervicis. lng M. longissimus dorsi. lng' Mm. „lombo-plagiens lombaires“ (Str.-D.). lotran Mm. „lombo-transversaires“ (Str.-D.). mlt M. multifidus spinae. oci M. obliquus capitis inferior. ocs M. obliquus capitis superior. psi M. psoas minor. psr Mm. „petits-surcostaux“ (Str.-D.). ql. M. quadratus lumborum. rcaml M. rectus capitis anticus minor. repmi M. rectus capitis posticus minor. res M. rectus superficialis. sal M. sacrolumbalis. smp M. semispinalis. spd M. spinalis dorsi.

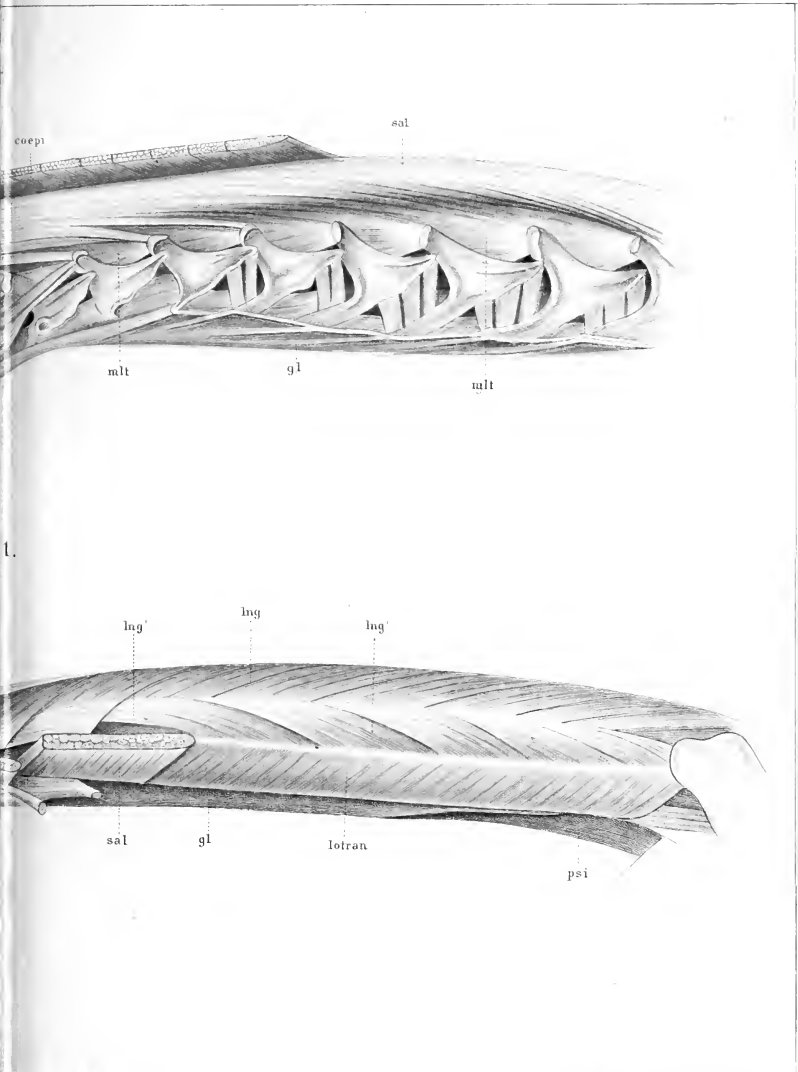
Nach Strauss-Durckheim (176).

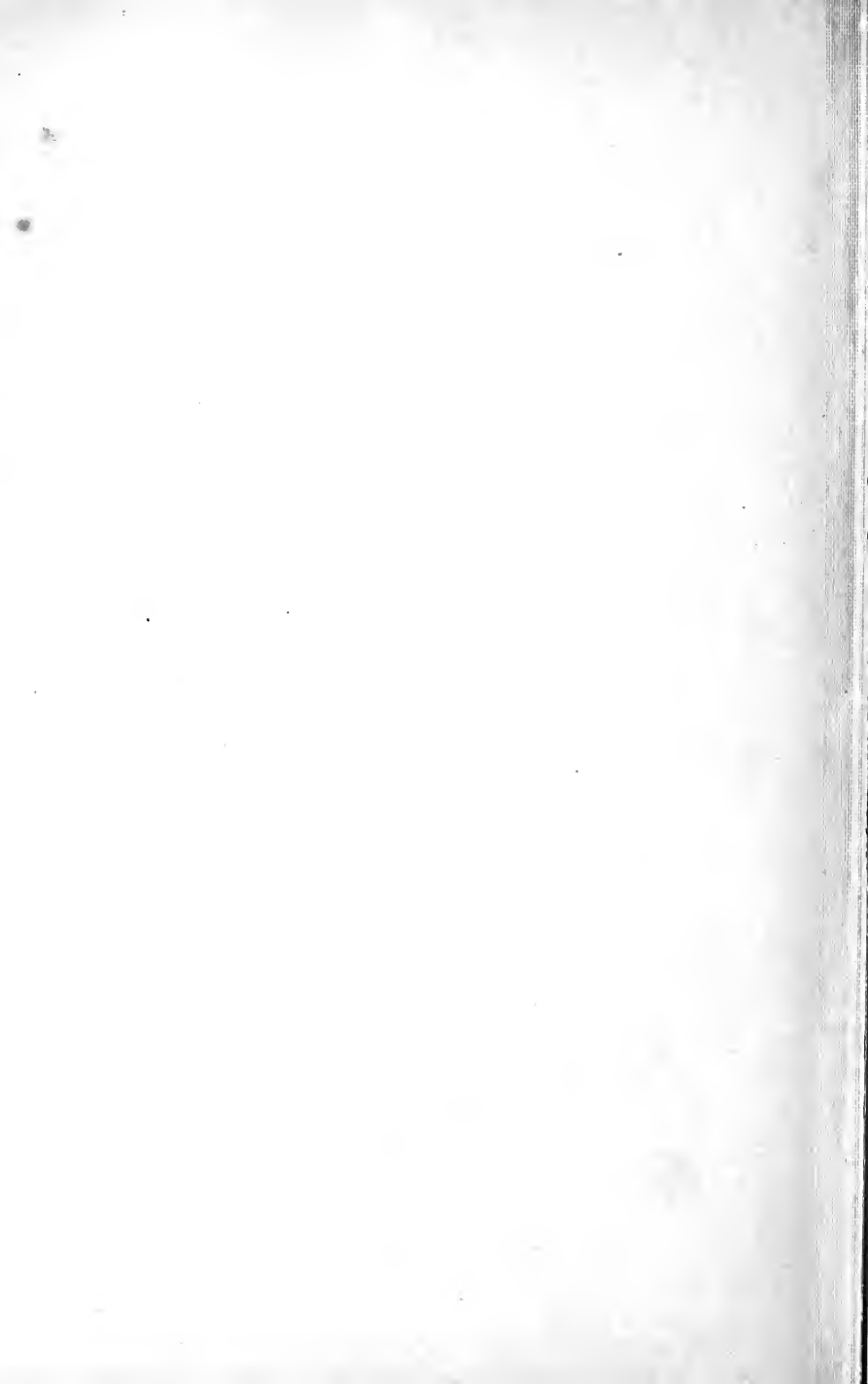
---











**Erklärung von Tafel CIII.**

Fig.

1. *Tupaia ferruginea*, Männchen.  $\frac{1}{1}$  nat. Gr. Oberflächliche Bauchmuskeln: *obl. ext.* und *obl. ext.*“ *M. obliquus abdominis externus*. *py.* *M. pyramidalis*. *rabd.* *M. rectus abdominis*. *Px.* *Processus xiphoideus sterni*.
2. *Talpa europaea*, Männchen;  $\frac{3}{2}$  nat. Gr. Oberflächliche Bauchmuskeln. Bezeichnungen wie Fig. 1; ausserdem *Ad.* Analdrüsen. *C.* *Glandula Cowperi*. *Cr.* *Cremastersack*. *Crp.* *Crus penis*. *Pm.* *Pars membranacea urethrae*. *R.* *Rectum*. *spa.* *M. sphincter ani. x.* *Hinterster Winkel des Schambeins*.
3. *Talpa europaea*;  $\frac{2}{1}$  nat. Gr. Becken von der Ventralfläche mit Muskelansätzen. 1 mediale Insertion des *M. obliquus abdominis externus*. 2 Ursprung des *M. rectus abd.* 3 Ursprung des *M. pyramidalis*. 4 Laterale Insertion des *M. obliquus abdominis externus*. *gr.* Ursprung des *M. gracilis*. *pm.* Insertion des *M. psoas minor*. *tr. abd.* Ansatz des *M. transversus abdominis*.
4. Hund. Muskeln der vorderen Extremität von der Lateralfäche. *a.* *M. supraspinatus*. *b.* *M. infraspinatus*. *c.* *M. teres major*. *d.* *M. deltoideus pars scapularis*. *d.*' *M. deltoideus pars acromialis*. *e.* *M. anconaeus longus*. *e.*' *M. anconaeus externus*. *e.*“ *M. anconaeus parvus*. *f.* *M. brachialis internus*. *g.* *M. extensor carpi radialis*. *h.* *M. extensor digitorum communis longus*. *k.* *M. extensor carpi ulnaris*. *l.* *M. flexor carpi ulnaris externus*. *l.*' *M. flexor carpi ulnaris internus*. *m.* *M. abductor longus et extensor brevis pollicis*. 1 *Spina scapulae*. 2 *Acromion*. 3 *Humerus*. 4 *Olecranon*.
5. *Echidna hystrix*;  $\frac{1}{1}$  nat. Gr. Rechtes Schulterblatt mit Muskelansätzen. *Dtt.II.* Hintere Portion des *M. deltoideus*. *Isp.* *M. infraspinatus*. *Lcl.* *M. Levator claviculae*. *Rh.* *M. rhomboideus*. *Ssc.* *M. subscapularis*. *Ssca.* *M. subscapularis accessorius*. *Tm.* et *Ld.* *Mm. teres major et latissimus dorsi*. *Tv.*' *Scapulartheil des M. triceps*. *Tzs. I, II.* *M. trapezius*.

Fig. 1—3 nach Leche (4); Fig. 4 nach Ellenberger und Baum; Fig. 5 nach Westling.



Fig. 5.

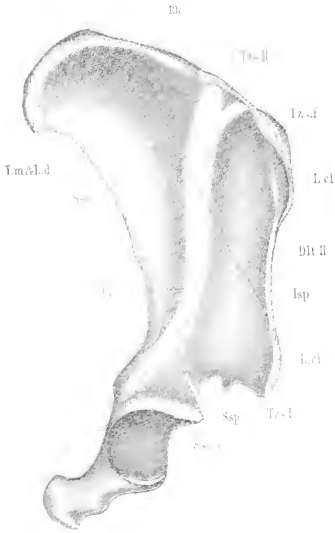


Fig. 2.

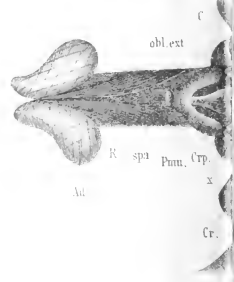


Fig. 3.

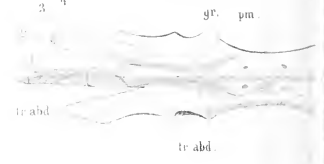




Fig. 1.

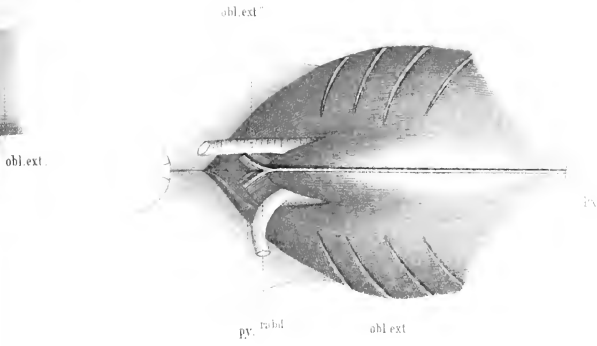
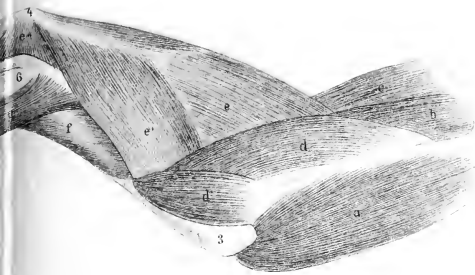


Fig. 4.





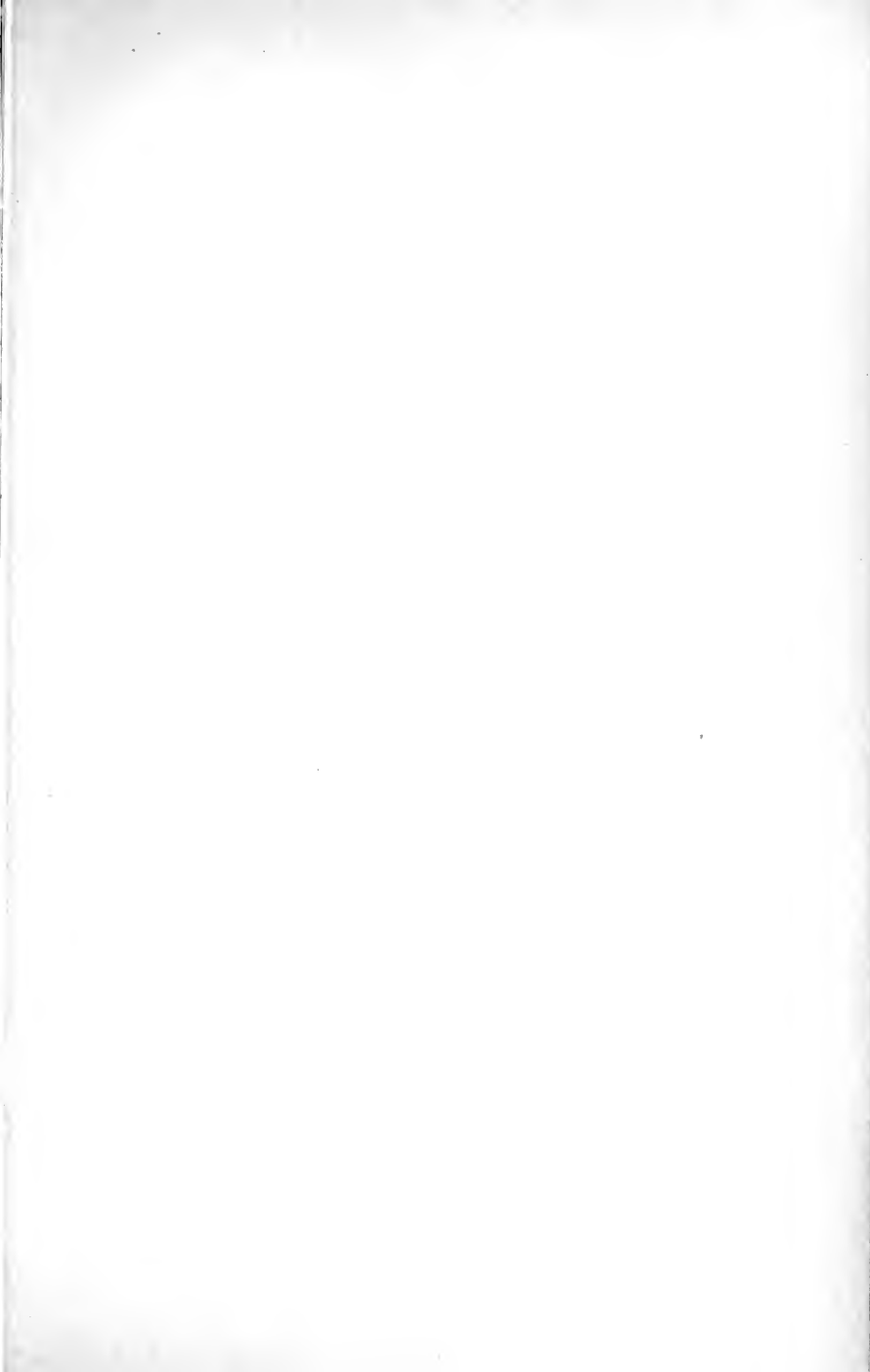
**Erklärung von Tafel CIV.**

---

Fig.

1. *Myrmecobius fasciatus*.  $\frac{2}{1}$  nat. Grösse. *a.* M. biceps brachii. *b.* M. coraco-brachialis brevis. *c.* M. teres major. *d.* M. latissimus dorsi. *e.* M. anconaeus internus. *f.* M. anconaeus longus. *g.* M. subscapularis.
2. *Myrmecobius fasciatus*. Tiefere Muskeln der vorderen Extremität.  $\frac{2}{1}$  nat. Grösse *a.* M. anconaeus quartus. *b.* M. brachialis internus. *c.* M. extensor secundi internodii pollicis. *d.* M. supinator brevis. *e.* M. extensor ossis metacarpi pollicis. *f.* M. extensor carpi ulnaris.
3. *Canis familiaris*. Muskeln der vorderen Extremität von der medialen Seite. *a.* M. subscapularis. *b.* M. supraspinatus. *c.* M. teres major. *d.* M. latissimus dorsi. *e.* M. coraco-brachialis. *f.* M. biceps brachii. *g.* M. anconaeus posterior. *h.* M. anconaeus longus. *i.* M. dorso-epitrochlearis. *k.* M. anconaeus internus. *l.* Humerus. *m.* M. extensor carpi radialis. *n.* M. pronator teres. *o.* M. flexor carpi ulnaris externus. *p.* M. flexor carpi radialis. *q.* M. flexor digitorum sublimis. *r.* M. flexor digitorum profundus. *s.* Radius. *t.* M. radialis.
- 4—5. *Echidna hystrix*. Muskeln der zwei breiten Seiten des Unterarms.  $\frac{1}{1}$  nat. Grösse. *A.* M. anconaeus quartus. *Bc.* M. biceps brachii. *Cbrl.* M. coraco-brachialis longus. *cm.* Nerv. cutaneus medius. *cm''*, ulnarer Endast des Nerv. cutaneus medius. *Da.* M. dorso-antibrachialis. *Dlt.* M. deltoideus. *Ea.* M. epitrochleo-anconaeus. *Ed.* M. extensor digitorum communis. *Erb.* M. extensor carpi radialis brevis. *Erl.* M. extensor carpi radialis longus. *Fld.* M. flexor digitorum. *Flr.* M. flexor carpi radialis. *Flu.* M. flexor carpi ulnaris. *H.* Humerus. *Ld.* M. latissimus dorsi. *mnds* Nerv. medianus. *Ol.* Olecranon. *Prt.* M. pronator teres. *rp.* Nerv. radialis profundus. *rp.* 4. Ast desselben für M. epitrochleo-anconaeus. *rs.* Nerv. radialis superficialis. *rs.'* Muskelast desselben. *Sbr.* M. supinator brevis. *Sl.* M. supinator longus. *Tr.* M. extensor antibrachii. *u.* Nerv. ulnaris. *u.'* Ast desselben zum Ulnarrande der Hand. *U.* Ulna.

Fig. 1—2 sind Originale; Fig. 3 nach Ellenberger und Baum; Fig. 4—5 nach Westling.



Mammalia.

Fig. 4.

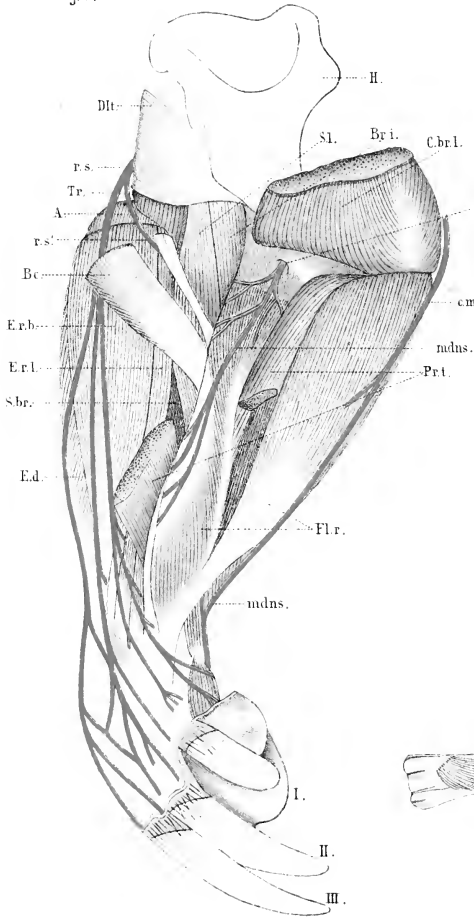


Fig. 1.

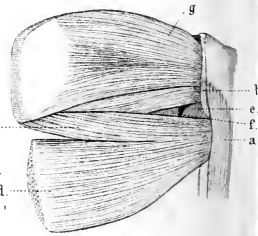


Fig. 2.

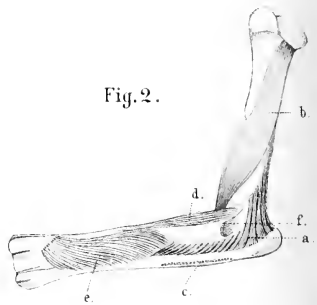


Fig. 5.

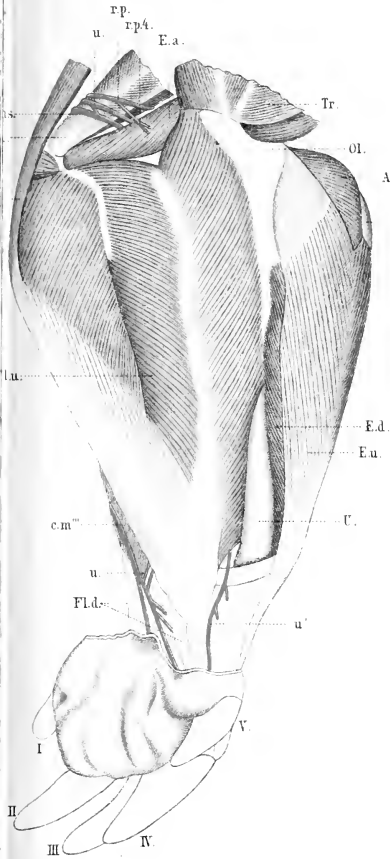
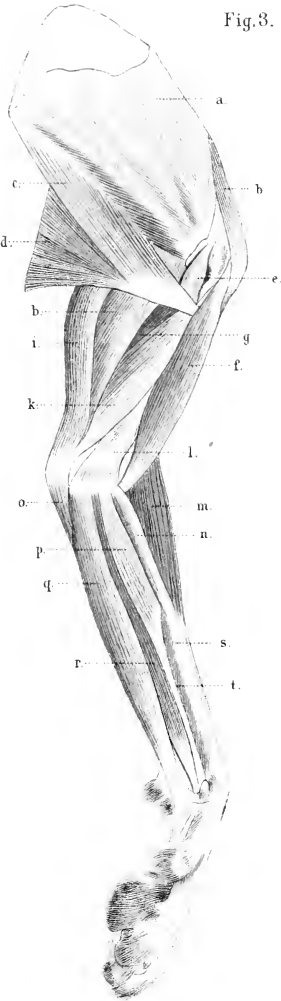


Fig. 3.







**Erklärung von Tafel CV.**

---

Fig.

1. Galeopithecus volans. Handmuskulatur von der Dorsalfäche.  $\frac{1}{1}$  nat. Grösse.  
*addq.* M. adductor digiti minimi. *adi.* M. adductor indicis. *adp.* M. adductor pollicis.  
*flpb.* M. flexor pollicis brevis. *ie.* Mm. interossei externi. *ii.* Mm. interossei interni.
2. Galeopithecus volans. Handmuskulatur von der Palmarfläche.  $\frac{1}{1}$  nat. Grösse.  
*abdq.* M. abductor digiti minimi. *abpb.* M. abductor pollicis brevis. *addq.* M. adductor digiti minimi. *adi.* M. adductor indicis. *fldm.* M. flexor brevis digiti minimi. *flpb.* M. flexor pollicis brevis. *fler.* M. flexor carpi radialis. *flcu.* M. flexor carpi ulnaris. *ie.* Mm. interossei externi. *ii.* Mm. interossei interni. *odq.* M. opponens digiti minimi. 14 *N.* ulnaris, 14 *c.* Ramus superficialis *n. u.*, 14 *d.* Ram. profundus *n. u.*
3. Canis familiaris. Muskeln an der Volarfläche der Hand. *a.* M. abductor pollicis brevis et opponens pollicis. *b.* M. flexor pollicis brevis. *c.* M. adductor pollicis. *d.* M. adductor indicis. *e.* M. adduct. dig. minimi. *f.* M. flexor dig. minimi brevis. *x.* M. abductor dig. minimi. *h.* Mm. interossei. *l.* Os pisiforme. *z.* Daumen.
- 4—5. Manatus americanus. Muskeln an der Volarfläche der Hand. 1—5. I.—V. Finger. *Is.* Mm. interossei palmares. *Id.* Mm. interossei dorsales. *Abmd.* M. abductor brevis digiti minimi. *Pl.* + *Fcu.* Mm. palmaris longus et flexor carpi ulnaris. *Pc*<sup>3</sup> Aponeurose des Panniculus carnosus.
6. Ateles marginatus. Muskeln des rudimentären Daumens. *ad.* M. adductor pollicis. *flpb.* M. flexor pollicis brevis. *op.* M. opponens pollicis. Nat. Grösse.

Fig. 1, 2 nach Leche (153); Fig. 3 nach Ellenberger und Baum; Fig. 4, 5 nach Murie (221); Fig. 6 Original.

Fig. 2.

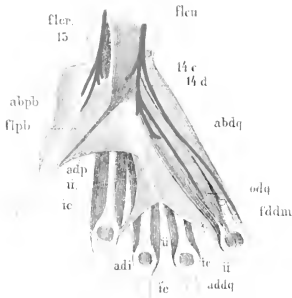


Fig. 1.



Fig. 3.

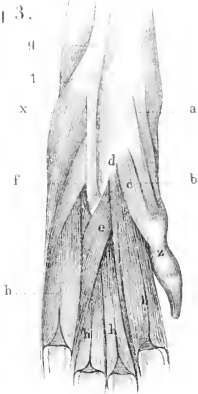


Fig. 4.

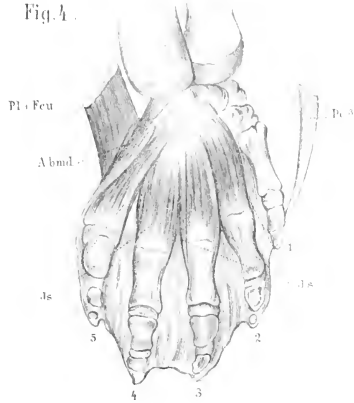


Fig. 5.

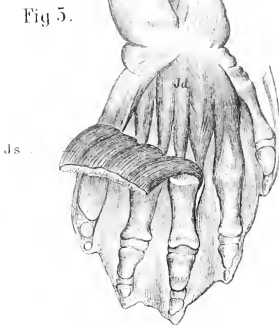
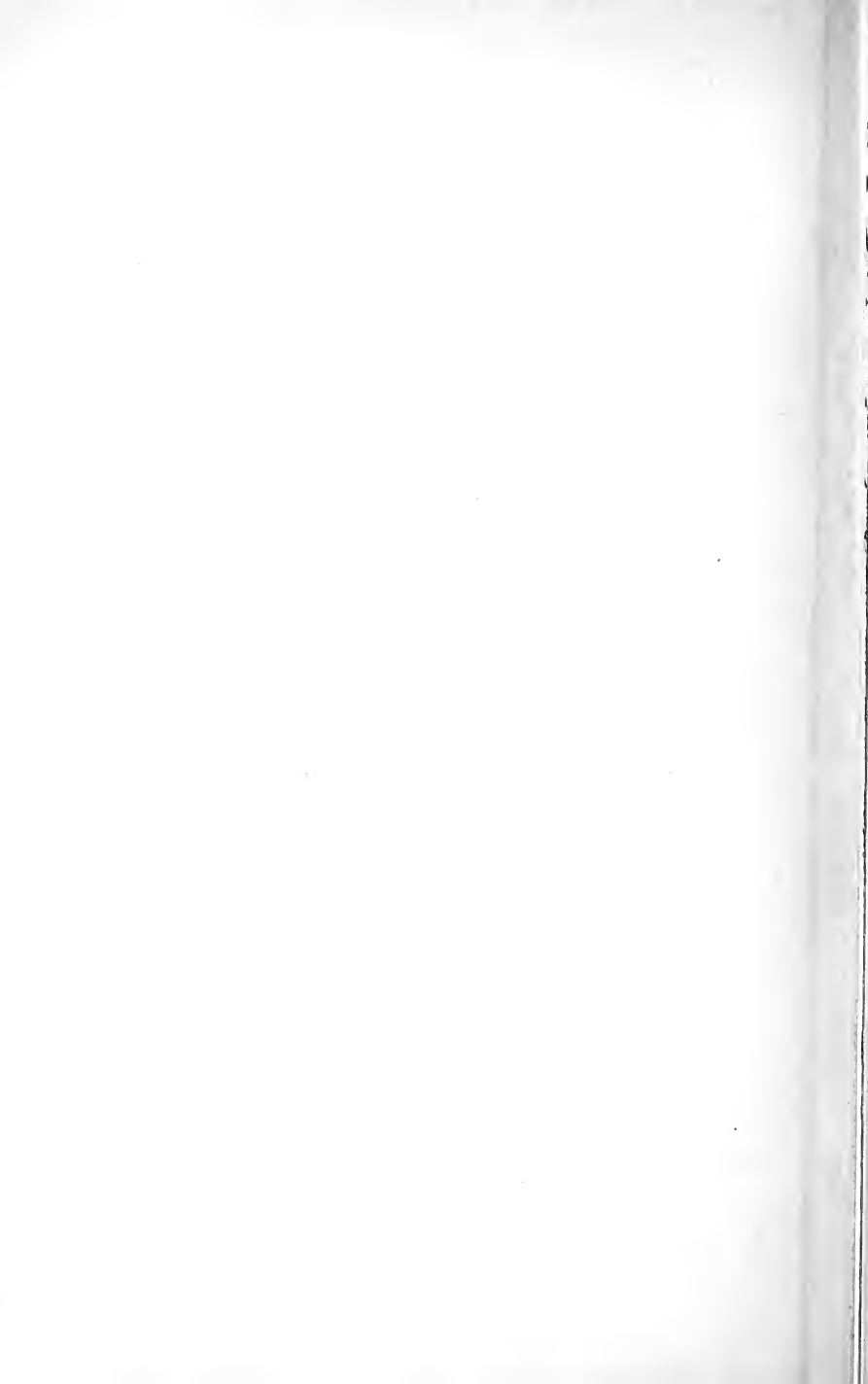


Fig. 6.





**Erklärung von Tafel CVI.**

---

Fig.

*Tupaia ferruginea.*

1. Bauchfläche nach Entfernung der Bauchmuskeln. *Aa.* Aorta abdominalis. *Aci.* Arteria circumflexa ilii. *Ae.* Arteria iliaca externa. *Ai.* Arteria iliaca interna. *Asm.* Arteria sacra media. *gr.* M. gracilis. *ile.* M. iliacus internus. *pm.* M. psoas minor. *pma.* M. psoas major. *rf.* M. rectus femoris. *smm.* + *pro.* Mm. semimembranosus et praesemimembranosus. *smt.* M. semitendinosus. *sr.* M. sartorius. 2. Nerv. cruralis. Nat. Grösse.
2. Oberflächliche Muskeln an der Dorsalfläche des Beckens und des Oberschenkels. *bic.* M. M. biceps femoris. *Clf.* Condylus lateralis femoris. *fc.* M. femorococcygeus. *gla.* M. gluteus maximus. *smt.* M. semitendinosus. *tm.* M. tenuissimus. *tpl.* M. tensor fasciae latae. *vl.* M. vastus lateralis. Nat. Grösse.
3. Tiefere Muskeln an der Dorsalfläche des Beckens und Oberschenkels. *adm.* M. adductor magnus. *Ap.* Arteria poplitea. *gle.* M. gluteus medius. *gle'.* M. gluteus medius posterior. *itr.* M. intertransversarius caudae. *lce.* M. levator caudae externus. *Ti.* Tuber ischii. 4. Nerv. ischiadicus; dessen Aeste *4b* zum M. glut. maximus s. *str.*, *4c* zum M. caudofemoralis und tenuissimus, *4d* zum M. semitendinosus II, *4f* zum M. femorococcygeus, *4k* zum M. biceps (distaler Theil), *4 fib.* N. fibularis, *4 tib.* N. tibialis. Die übrigen Bezeichnungen siehe Fig. 1—2. Nat. Grösse.
4. Schwanz- und tiefere Beckenmuskeln von der Dorsalfläche. *gli.* M. gluteus minimus. *gm.* M. gemellus. *Il.* Darmbein. *isc.* M. ischiococcygeus. *pf.* pyriformis. *rf.* M. rectus femoris. *em.* M. vastus medius. *4a* Nerv. gluteus superior. *5a* Ast des N. pudendus zum M. ischiococcygeus. *5x'* Hauptast des N. pudendus (ist der Deutlichkeit halber etwas dorsalwärts von seiner natürlichen Lage gezeichnet worden). Die übrigen Bezeichnungen siehe Fig. 1—3. Nat. Grösse.
5. Muskeln an der Aussenfläche des ventralen Beckenabschnittes; Oberschenkelknochen (*F'*) lateral- und dorsalwärts abgezogen. *Il.* Darmbein. *Is.* Sitzbein. *oe.* M. obturator externus. *ot.* M. obturator intermedius. *P.* Schambein. *gf.* M. quadratus femoris. 3 Nervus obturatorius. Nat. Grösse.

Nach Leche (4).

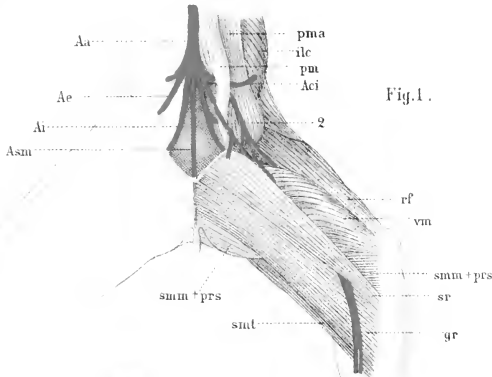


Fig. 2.

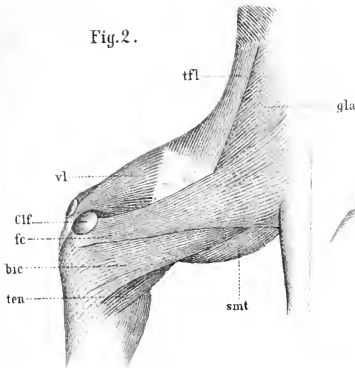


Fig. 4.

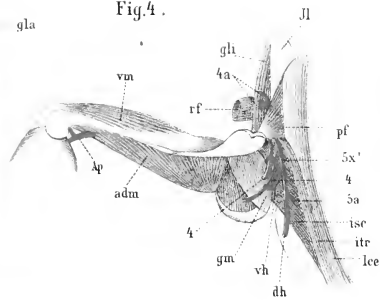


Fig. 3.

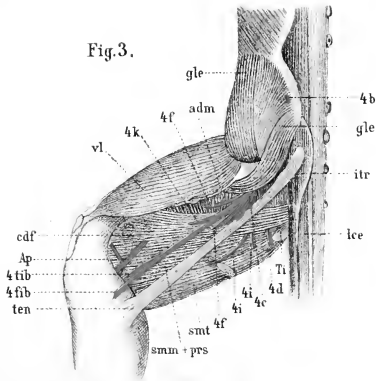
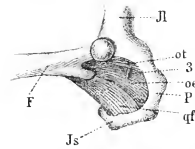


Fig. 5.







**Erklärung von Tafel CVII.**

Fig.

1—2. *Erinaceus europaeus*. Nat. Gr. 1 Oberflächlichere und 2 tiefere Muskeln an der Dorsalfäche des Beckens und des Oberschenkels. *adm.* M. adductor magnus. *bic.* M. biceps femoris. *C.* Glandula Cowperi. *fc.* M. femorococcygeus. *gl.* M. gluteus maximus. *gle.* M. gluteus medius. *gmi.* M. gemellus inferior. *gms.* M. gemellus superior. *isco.* M. ischiocavernosus. *prs.* M. praesemimembranosus. *qf.* M. quadratus femoris. *rf.* M. rectus femoris. *vl.* M. vastus lateralis. 4. Nerv. ischiadicus; dessen Aeste: 4*a* N. gluteus superior. 4*e* zum M. gemellus, 4*f* zum M. femorococcygeus, 4*fib.* N. fibularis, 4*i* zu Mm. semimembranosus, semitendinosus et biceps (proximaler Theil), 4*k* zum M. biceps (distaler Theil), 4*tib* N. tibialis. 5. Nerv. pudendus. Nat. Grösse.

Nach Leche (4).

Fig. 1.

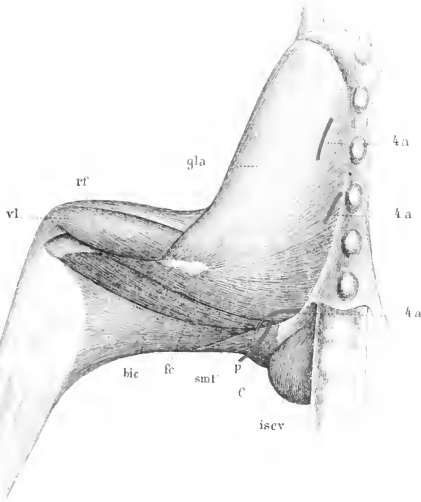
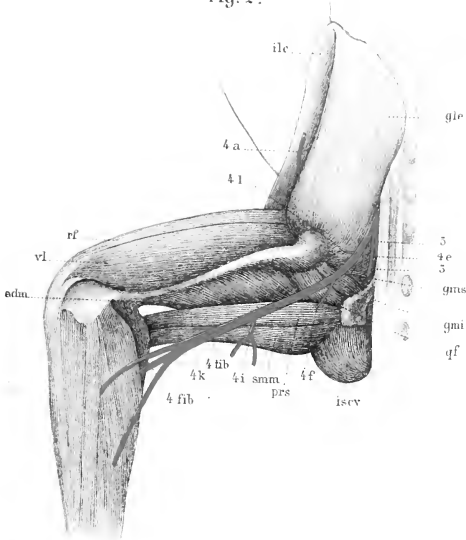


Fig. 2.





**Erklärung von Tafel CVIII.**

---

Für alle Figuren gemeinsame Bezeichnungen:

<i>Ed IV</i> Musc. extensor brevis digiti IV.	<i>np</i> Nervus peroneus.
<i>Ed V</i> " " " " V.	<i>npnr</i> Nervus peroneus profundus.
<i>Edbr</i> der vom Fussrücken entspringende Musc. extensor brevis digit.	<i>npa</i> " " " accessorius.
<i>Edl</i> Musc. extensor digit. communis longus.	<i>nps</i> " " " superficialis.
<i>Ehl</i> " " hallucis longus.	<i>P</i> Patella.
<i>F</i> Fibula.	<i>pbr</i> Musc. peroneus brevis.
<i>me</i> Malleolus externus.	<i>pl</i> " " longus.
<i>nf</i> Nervus cutaneus fibularis (communicans des Menschen).	<i>T</i> Tibia.
	<i>Ta</i> Musc. tibialis anticus.

Fig.

- 1—2. *Ornithorynchus paradoxus*. *a* Schaufelförmiger Fortsatz der Fibula. *x* Nervenast des N. Cruralis zu *Mm. tibialis anticus* und *extens. hallucis longus*. *Eer* M. extensor cruris. *b* Hinterer Kopf des M. peroneus longus. *Fer* Die Cruralfascie, sich an die beiden seitlichen Flächen der Tibia anheftend, unter ihr die Sehnen der drei medialen Muskeln.
- 3—6. *Didelphys virginiana*. *g* Ursprungsfasern des M. gastronemius von der Unterschenkel fascie, den N. per. superf. bedeckend. *Ehbr* kleiner Strecker der ersten Zehe; von ihm geht ein Bündel zur zweiten. *E. II—IV* Ext. brevis digit. II—IV, vom Unterschenkel entspringend. *fem*. Femur.
7. *Felis domestica*. *Ehl* der mit dem Tibialis anticus distal verwachsene Extens. hall. longus.
8. *Lepus cuniculus*. *Ed IV* M. extensor brevis digiti IV.
- 9—10. *Loris gracilis*. *m* ein Theil des Nerv. peroneus superficialis, welcher seine ursprüngliche Lage beibehält. *x* Ursprungskopf des Extensor digit. comm. longus von Tibia und Fibula. Fig. 9  $\frac{1}{2}$  natürliche Grösse.
11. *Ateles* sp.

Alle Figuren nach Ruge (98).



Mammalia.

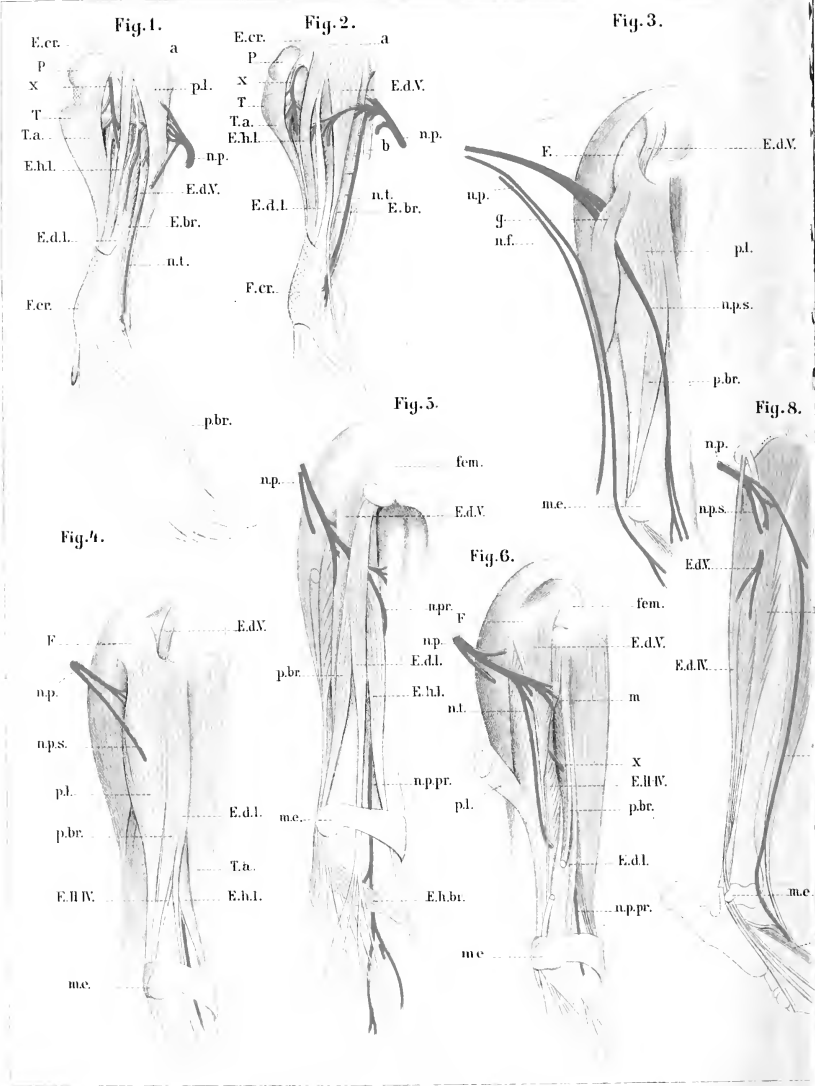




Fig. 10.

Fig. 7.

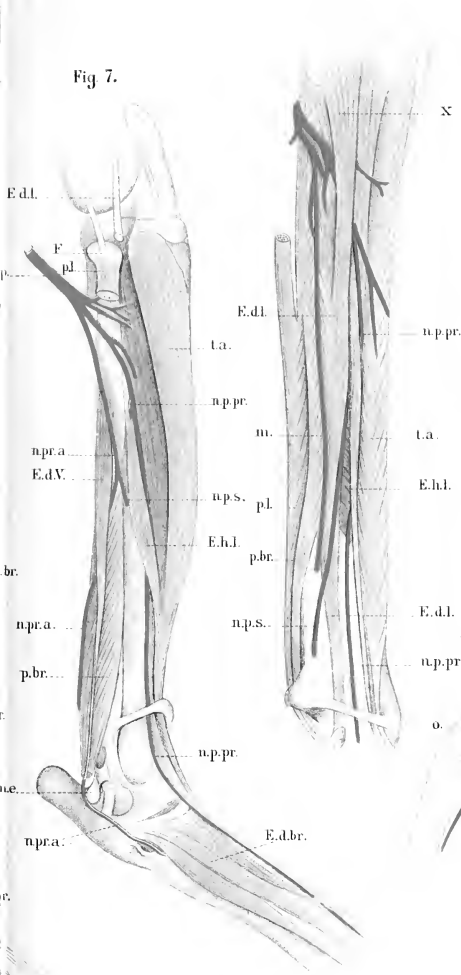


Fig. 9.

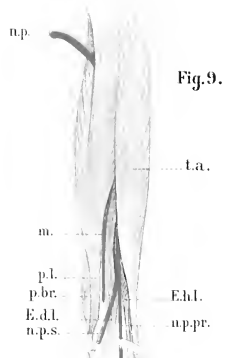


Fig. 11.





## Erklärung von Tafel CIX.

---

Fig.

1. *Ateles marginatus*. Querschnitt durch die Haut der Schwanzspitze *s* Schweissgang in der Oberhaut. *t* Tastkörperchen Vergrößerung  $\frac{1}{4} \times 10^0$ .
2. Längsschnitt des distalen Endes einer Zehe des Hinterfusses von einem cynomorphen Affen.
3. Längsschnitt des distalen Endes der Krallenplatte und der nächstliegenden Theile vom Menschen (Vorderextremität). Die kleinen geschlängelten Linien deuten die Ausführungsgänge der Schweissdrüsen an.

In Figur 2 und 3 ist Stratum Malpighii roth, die Hornlage des Zehenballens und des Krallenwalles strohgelb, die Kralle ockergelb colorirt.

4. Ende der Zehe eines Krallenträgers (*Erinaceus*).
5. Ende einer *Rhinoceros*-Zehe, Unterfläche.
6. Pferdehuf, Unterfläche.
7. Medianschnitt durch die Zehe des Pferdes.

Fig. 2—7 sind schematisirt.

$\alpha$ — $\beta$  Grenzen des sterilen Rete.

*b* Basalmatrix.

*n'* Eckstreben, *n''* Winkel zwischen diesem und dem vorderen Theile der Krallenplatte.

*p* Krallenplatte.

*p* 2, *p* 3 Mittel- und Endphalange.

*s* Krallensohle.

*t* Terminallage.

*w* Krallenwall.

*z* Zehenballen.

Fig. 1 Original; Fig. 2—7 nach Boas (367, 368).

Fig. 2.

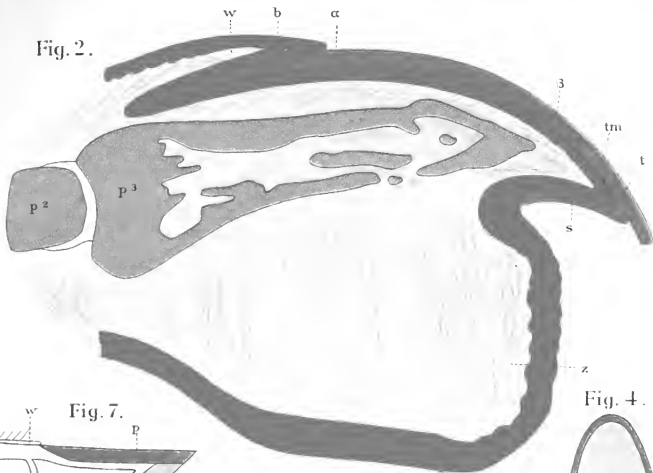


Fig. 7.

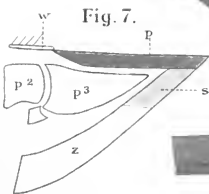


Fig. 4.

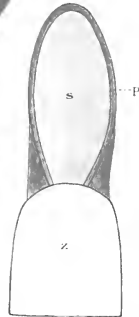


Fig. 3.

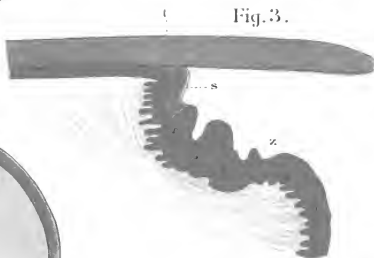


Fig. 6.

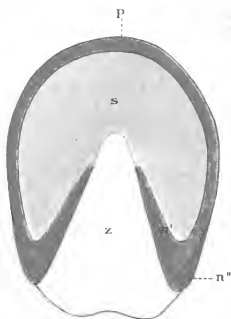


Fig. 1.

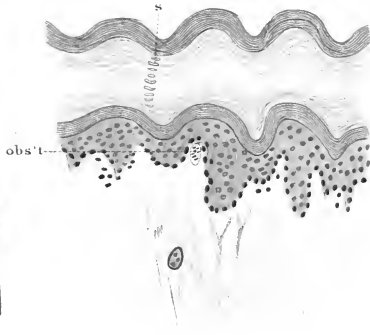
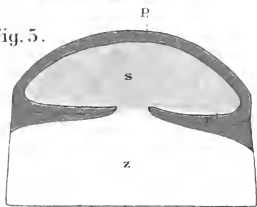


Fig. 5.





## Erklärung von Tafel CX.

---

Erinaceus europaeus.

Alle Figuren stellen Frontalschnitte durch den Unterkiefer dar und sind so orientirt, dass die rechte Seite vom Leser der lingualen Fläche, die linke der labialen entspricht. Das Knochengewebe ist durch gelbe, der Meckel'sche Knorpel durch blaue Farbe wiedergegeben.

*Cm* Meckel'scher Knorpel.

*Lp* Lippenfurche.

Fig.

1. 16 mm langer Embryo. Vorderster Theil der Schmelzleiste (*Sl*).
2. „ „ „ „ Schmelzleiste zwischen *P 3* und *Pd 4*.
3. „ „ „ „ *Jd 2*.
4. „ „ „ „ *Pd 4*; der Schnitt ist in seinem oberflächlichen Theile etwas beschädigt.
5. 23 mm langer Embryo. *Pd 4*. *a* durch die Härtung entstandene Lücke zwischen Schmelzkeim und Zahnbeinkeim. *Sl* Schmelzleiste. *Sl'* tiefes Ende der Schmelzleiste. *Zf* Zahnfurche. *Zs* Zahnsäckchen. *Zw* Zahnwall.

Vergrößerung 100. Nach Leche (X).



Fig. 1.



Fig. 2.



Fig. 3.

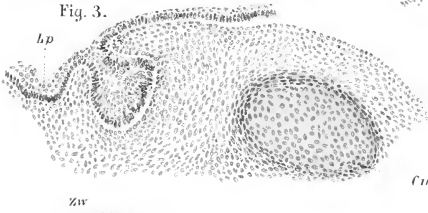


Fig. 4.

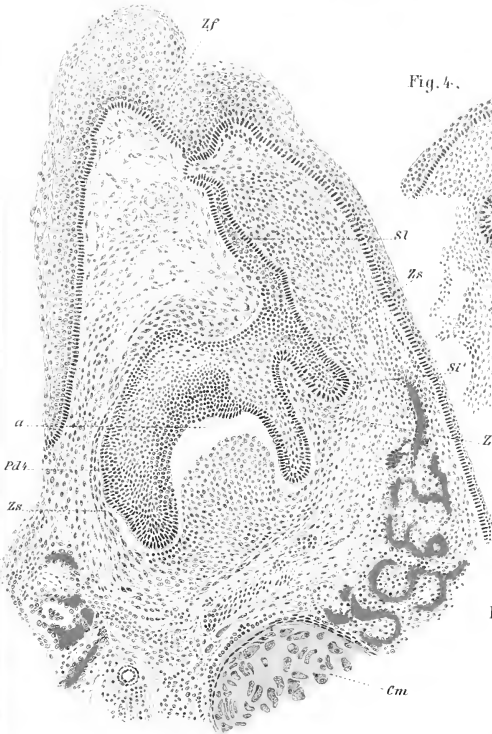


Fig. 5.



**Erklärung von Tafel CXI.**

---

*Erinaceus europaeus.*

*Sl* Schmelzleiste.

*Sl'* freies Ende der Schmelzleiste.

*Clm* Meckel'scher Knorpel.

*c* Anlage des Unterkieferknochens

Fig.

1. Frontalschnitt durch den unteren *Jl* 2 eines 23 mm langen Embryos. *Lp* Lippenfurchen. Vergrößerung 100.
2. Frontalschnitt durch den unteren *Pl* 4 und den glockenförmigen Schmelzkeim des *P* 4 eines 83 mm langen Jungen.
- 3—4. Frontalschnitte durch den unteren *J* 3 eines 74 mm langen Thieres. Fast kappenförmiger Schmelzkeim (*Sl*) lingualwärts vom *J* 3. Vergrößerung 100.
7. Frontalschnitt durch die Schmelzleiste zwischen *P* 3 und *Pl* 4 eines 14 mm langen Embryos. *x* labialwärts abgehender Zapfen. Vergrößerung 100.

*Myrmecobius fasciatus.*

5. Frontalschnitt durch den unteren *Cl* und den verkalkten rudimentären prälaetealen Eckzahn (*Cr*); nach zwei aufeinander folgenden Schnitten gezeichnet. Vergrößerung 50.
6. Frontalschnitt durch den oberen *Jl* 1 und den verkalkten, rudimentären prälaetealen Schneidezahn (*Jr*). *Clm* Schmelzleistheil des prälaetealen Zahns. *Sl* Schmelzleiste des *Jl* 1. Die Figur ist nach zwei aufeinander folgenden Frontalschnitten gezeichnet. Um die Orientirung zu erleichtern, ist ein Theil der Lippenhaut mit dargestellt. *N* Nasenknorpel. Vergrößerung 50.

Nach Leche (483).



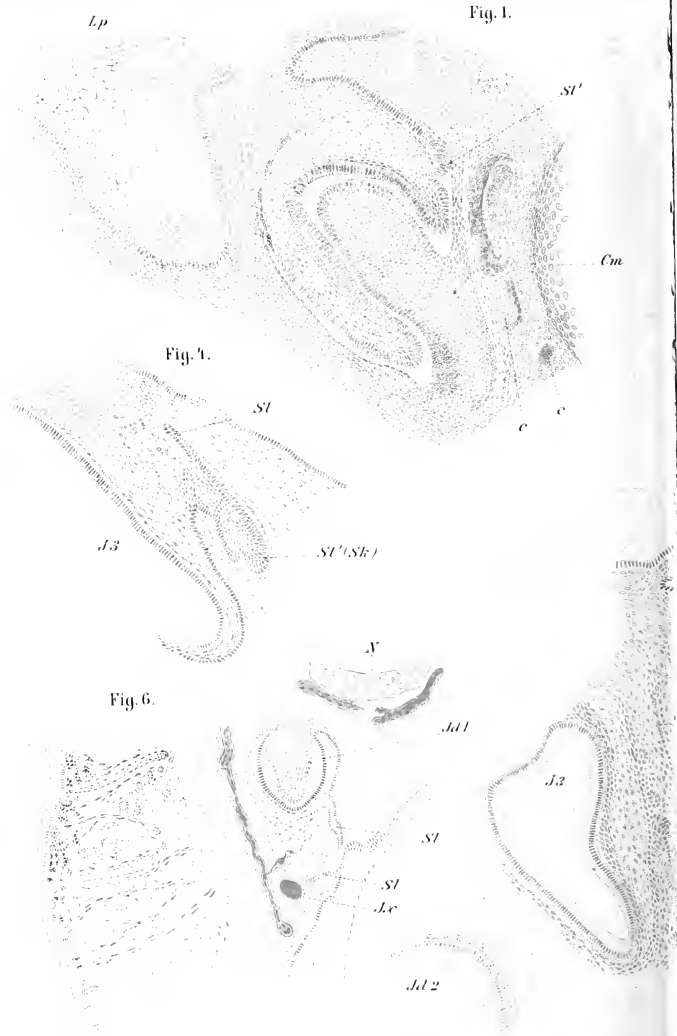


Fig. 2.



Fig. 5.

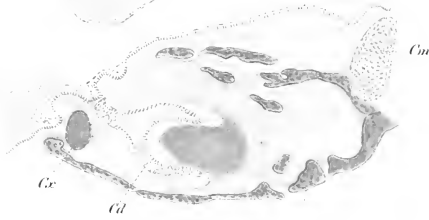
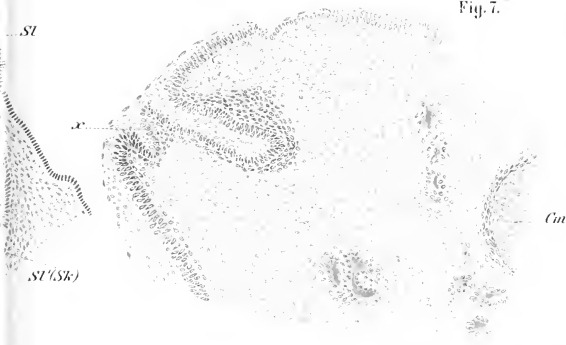


Fig. 7.







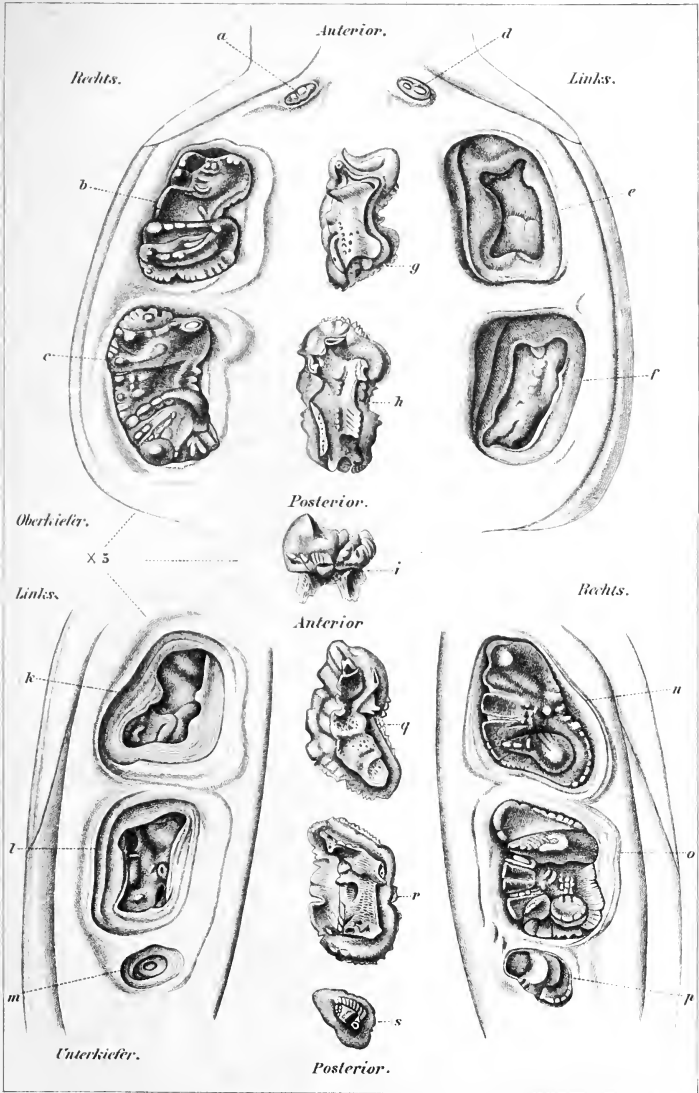
**Erklärung von Tafel CXII.**

---

*Ornithorhynchus paradoxus.*

Zähne des Ober- und Unterkiefers eines 316 mm langen Individuums. Vergrößerung 5/1.

(Nach Stewart 518.)





**Erklärung von Tafel CXIII.**

Fig.

1. Kopf und Hals von *Echidna hystrix*. *a* Endverzweigungen des gemeinsamen Ausführungsganges der *Glandulae submaxillares*. *b* Mündung des *Ductus Stenonianus*. *c* Vereinigung der beiden Ausführungsgänge der *Submaxillares*. *d* *Glandula sublingualis*. *e* *Meatus auditorius externus*. *f* *Gl. parotis*. *g* *Musc. trapezius*. *h, i* *Gl. submaxillares*. *j* *Musc. sterno-mastoideus*.
2. Der vordere Theil des Mundhöhlenbodens von *Echidna hystrix*. *a* Zunge. *b* Papillen der Mundschleimbaut. *c* Mündungen der *Gl. submaxillaris*. *d* Mündungen der *Gl. sublingualis*.
3. *Chlamyphorus truncatus*. *a* *Gl. parotis*. *b* *Gl. buccalis*. *c* *Gl. submaxillaris*. *d* Blasenförmige Anschwellung des *Ductus Whartonianus*. *e* *Musc. mylohyoideus*.  $\frac{2}{1}$  nat. Gr.
4. *Ornithorhynchus paradoxus*, Zunge von oben, 5 von der Seite. *AP* vorderer Theil, *PP* hinterer Theil. *ht* Hornzähne. *r* Raphe. Nat. Gr.

Fig. 1 u. 2 nach Viallanes (645), Fig. 3 nach Hyrtl (140), Fig. 4 u. 5 sind Originale

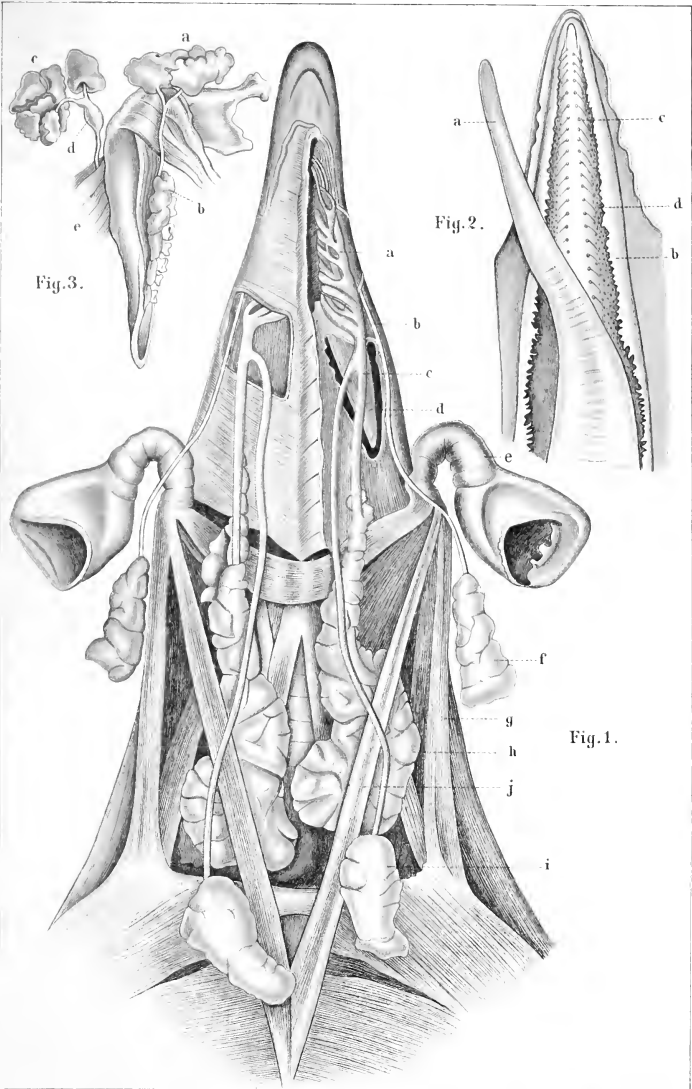


Fig. 1.

Fig. 2.

Fig. 3.





## Erklärung von Tafel CXIV.

---

Fig.

- 1, 2. Zunge von *Ornithorhynchus paradoxus*. Fig. 1 von oben, Fig. 2 von der Seite. *AP* vorderer Theil. *PP* hinterer Theil. *ht* Hornzähne. *r* Raphe.  $\frac{1}{4}$  nat. Gr.
3. Zunge von *Castor fiber* von oben.  $\frac{2}{3}$  nat. Gr.
4. „ „ *Tupaia ferrugina* von unten.  $\frac{1}{4}$  nat. Gr.
5. „ „ *Arctocephalus californianus* von oben.  $\frac{1}{4}$  nat. Gr.
6. „ „ *Ursus arctos* von oben.  $\frac{2}{3}$  nat. Gr.

Alle Figuren sind Originale.

---

Fig. 1.

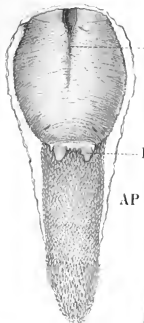


Fig. 5.

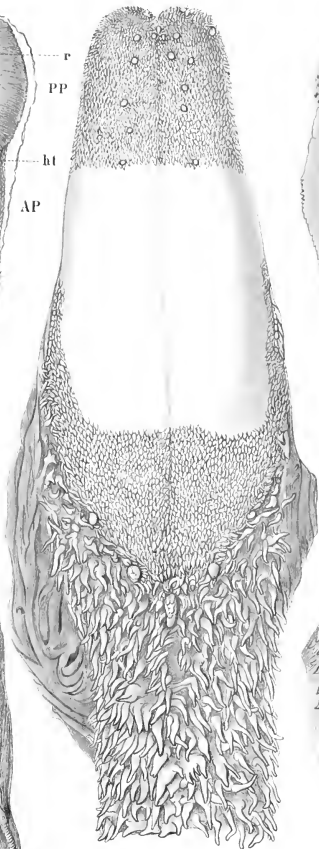


Fig. 6.



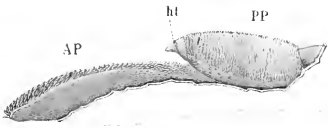
Fig. 4.

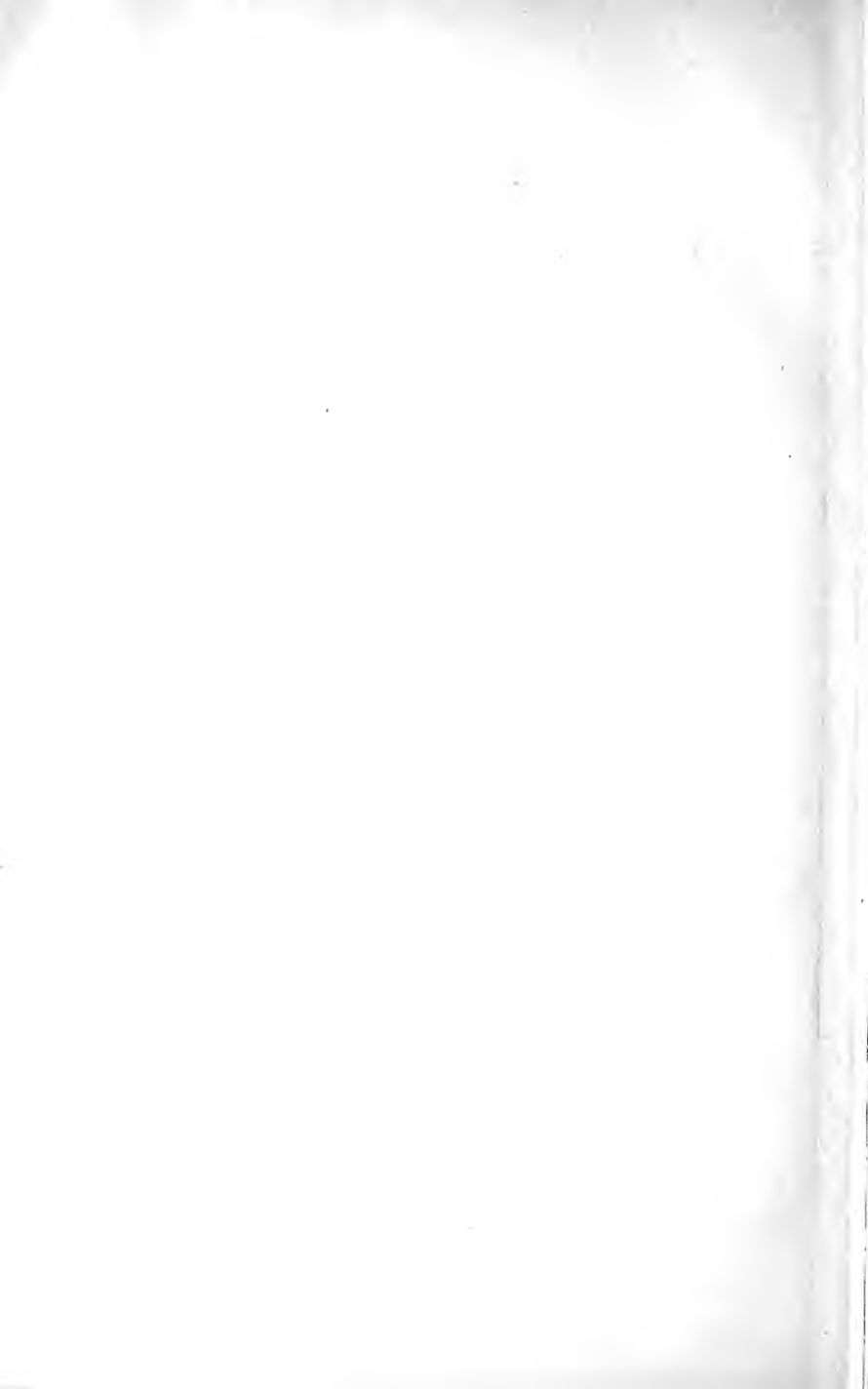


Fig. 3.



Fig. 2.





**Erklärung von Tafel CXV.**

---

Fig.

1. Hinterer Zungentheil von *Auchenia huanaco* von oben.  $\frac{1}{1}$  nat. Gr.
- 2, 3. Zunge von *Chiromys madagascariensis*. Fig. 2 von oben,  $\frac{2}{1}$  nat. Gr., Fig. 3 von der Seite,  $\frac{1}{1}$  nat. Gr.
- 4, 5. Zunge von *Perodicticus potto*. Fig. 4 von der Seite, Fig. 5 von unten.  $\frac{1}{1}$  nat. Gr.
6. Zunge von *Pithecus satyrus* (junges Individuum) von oben.  $\frac{1}{1}$  nat. Gr.
7. Speicheldrüsen von *Canis familiaris*. *pa* Glandula parotis. *ds* Ductus Stenonianus. *sm* Gl. submaxillaris. *dw* Duct. Whartonianus. *el* Gl. retrolingualis. *db* Ductus Bartholinianus. *sl* Gl. sublingualis *nl* Nervus lingualis.  $\frac{1}{2}$  nat. Gr.

Alle Figuren sind Originale.

---

Fig. 2.



Fig. 1.



Fig. 3.



Fig. 5.



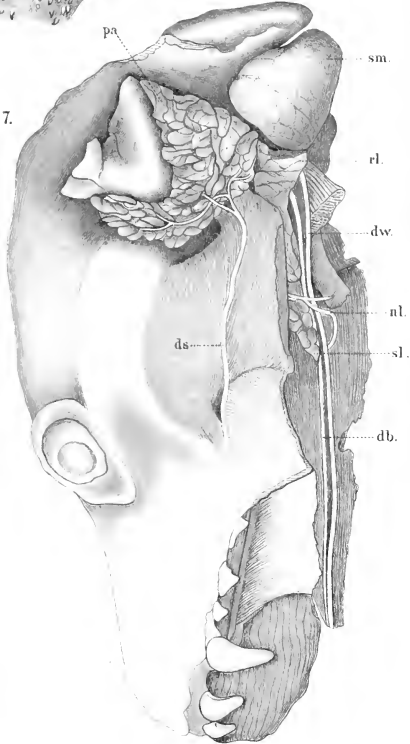
Fig. 4.



Fig. 6.



Fig. 7.







## Erklärung von Tafel CXVI.

---

Fig.

- 1 und 2. Magen von *Bradypus cuculliger*. *Cm 1—3*, *I—III* Cardiamagen. *F'* Fundusmagen. *L* Leber. *O* Oesophagus. *P* Pylorus. *Pm* Pylorusmagen. *Pdm* Pylorusdrüsenmagen. *Zf* Zipfelförmiger Blindsack des Fundusmagens.  $\frac{1}{2}$  nat. Gr.
3. Magen (geöffnet) von *Manatus americanus*. *oe* Oesophagus. *I* Cardiamagen. *gl* Anhang des Cardiamagens. *II* Anhang des Pylorusmagens. *IV* Pylorusmagen. *d* Duodenum. *1* Oesophagus. *3* Öffnung zwischen Cardia- und Pylorusmagen. *6* Pylorus. *ch* Mündung des Ductus choledochus. *p* Mündung des Ductus pancreaticus.

Fig. 1 und 2 nach v. Klinckowström (584); Fig. 3 nach Murie (221).

---

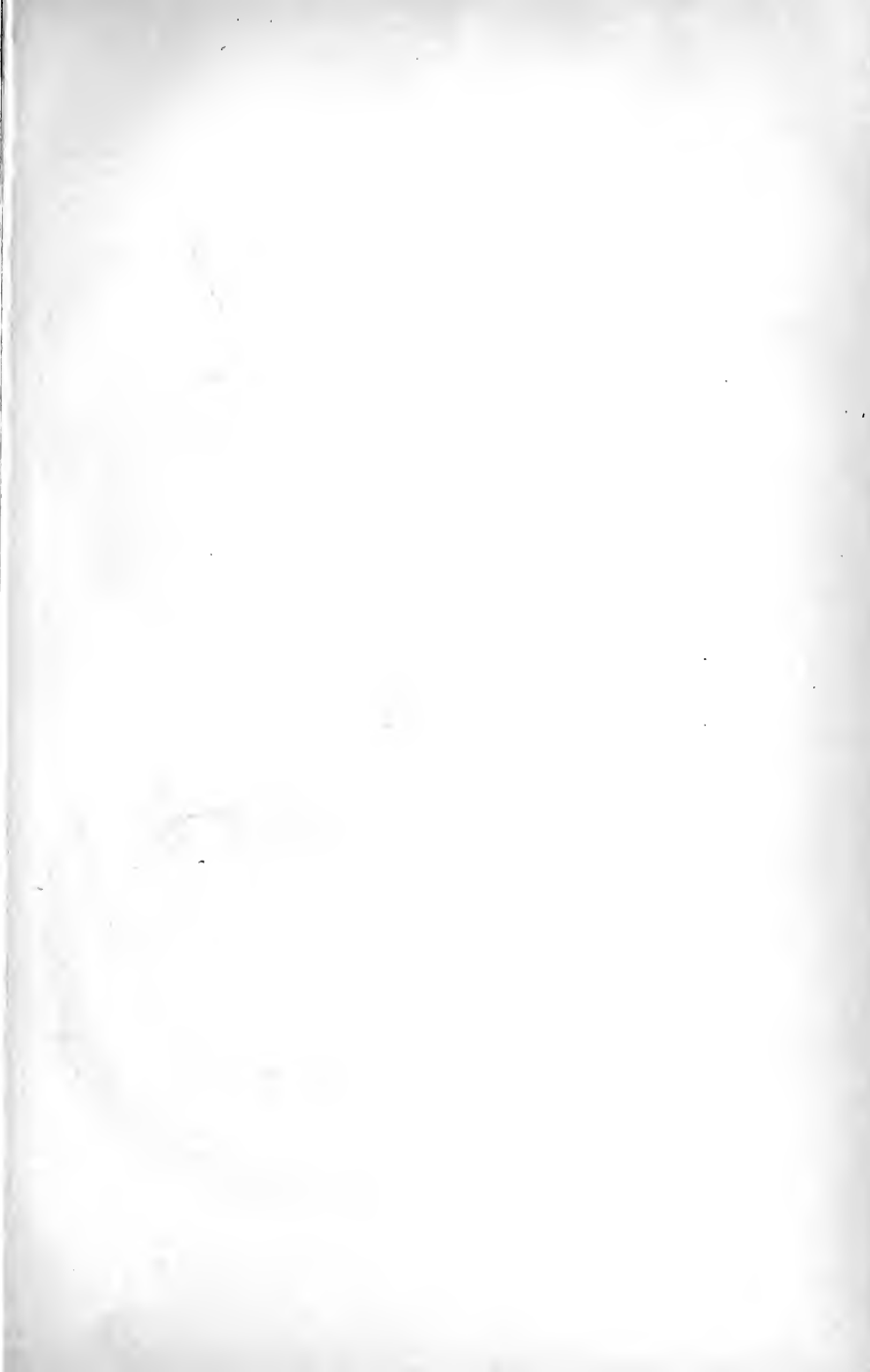


Fig. 1.

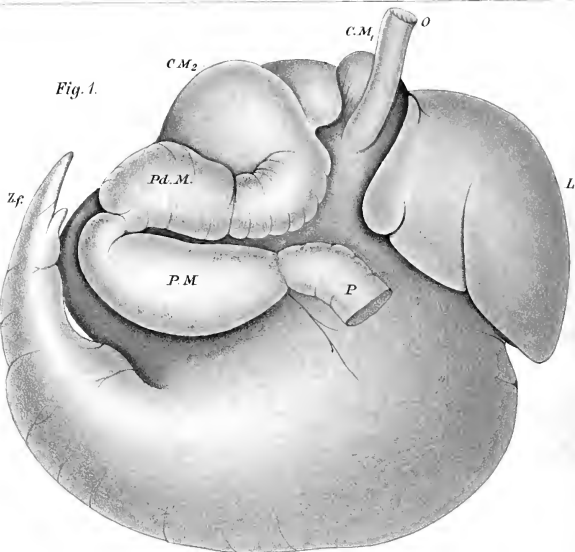


Fig. 2.

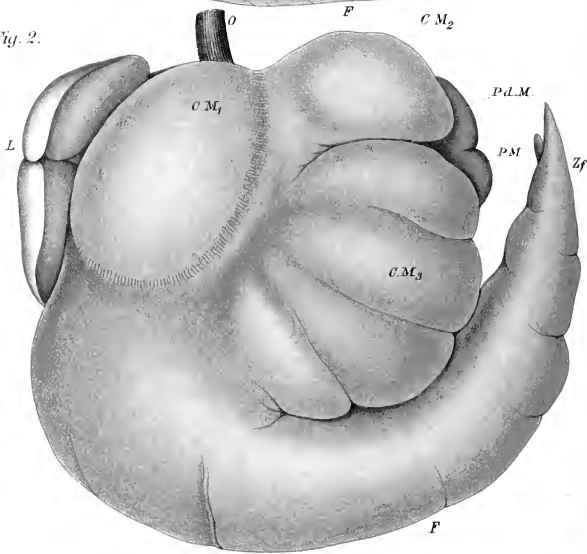
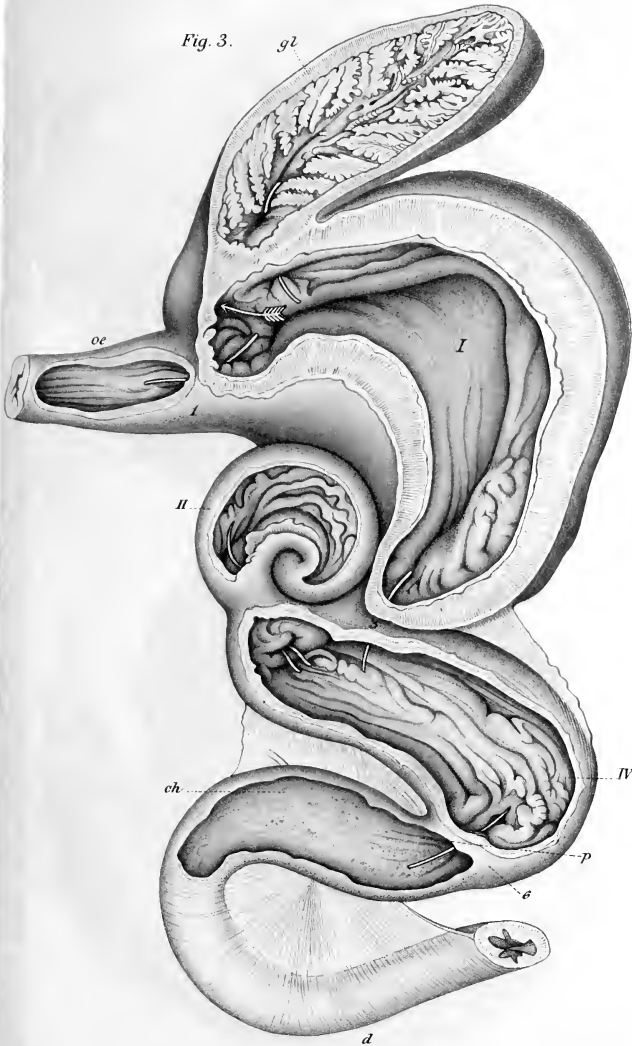


Fig. 3.





**Erklärung von Tafel CXVII.**

---

Fig.

1. *Echidna aculeata*. Caecum.
- 1a. Dasselbe Präparat aufgeschnitten und von der Innenfläche gesehen. *a* Einmündung des Caecum.  $\frac{1}{1}$  nat. Gr.
2. Caecum von *Didelphys azarae*.  $\frac{1}{2}$  nat. Gr.
3. " " *Phascolumys wombat*. Verkleinert.
4. " " *Cyclothurus didactylus*.  $\frac{1}{1}$  nat. Gr.
5. " " *Canis familiaris*, lappländische Rasse.  $\frac{2}{3}$  nat. Gr.
6. " " *Rhinoceros sumatrensis*; etwa  $\frac{1}{10}$  nat. Gr.
7. " " *Otolienus crassicaudatus*.  $\frac{1}{1}$  nat. Gr.
8. " " *Pithecus satyrus*.  $\frac{1}{1}$  nat. Gr.

*co* Colon. *i* Ileum. *po* Processus vermiformis.

Fig. 1, 4 und 7 sind nach Spirituspräparaten, 2, 5, 6 und 8 nach getrockneten Präparaten gezeichnet. Fig. 1, 2, 4–8 sind Originale; Fig. 3 nach Owen (426).

---





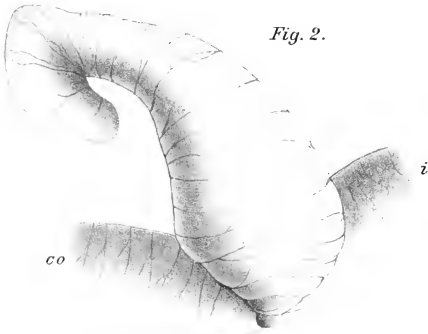


Fig. 2.

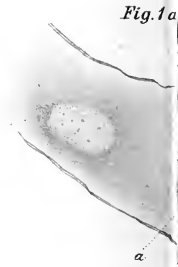


Fig. 1 a

Fig. 6.

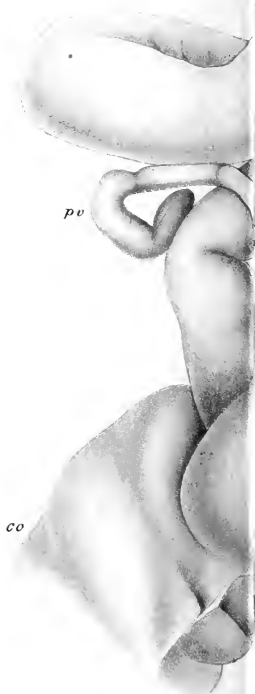
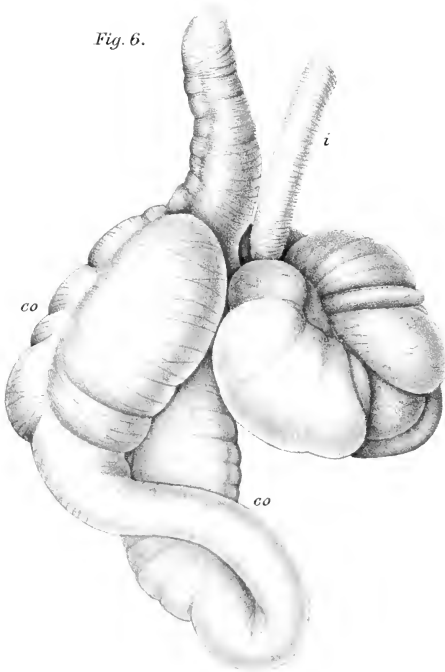


Fig. 8.

Fig. 4.



Fig. 3.



Fig. 5.



Fig. 1.



Fig. 2.





**Erklärung von Tafel CXVIII.**

---

Fig.

1. *Lagomys alpinus*. *i* Ileum. *c* Caecum. *c'* Homologon des Saccus rotundus. *co* Colon.  $\frac{1}{1}$  nat. Gr.
2. *Lagomys alpinus*. Theil der Spiralfalte des Colon mit fadenförmigen Auswüchsen, demselben Präparate wie Fig. 1 entnommen.  $\frac{1}{1}$  nat. Gr.
3. *Hyrax syriacus*, juv. *i* Ileum. *c* Caecum. *c'* paariges Caecum. *co* Colon.  $\frac{1}{1}$  nat. Gr.

Alle Figuren sind Originale und nach Spirituspräparaten gezeichnet.

---

Fig. 3.

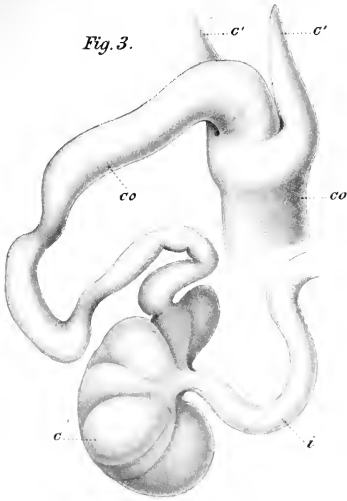


Fig. 2.

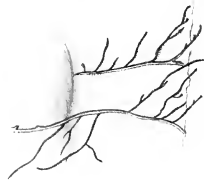
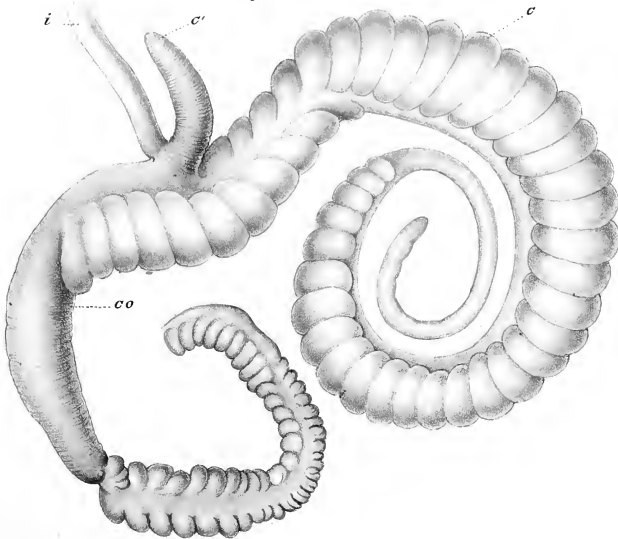


Fig. 1.







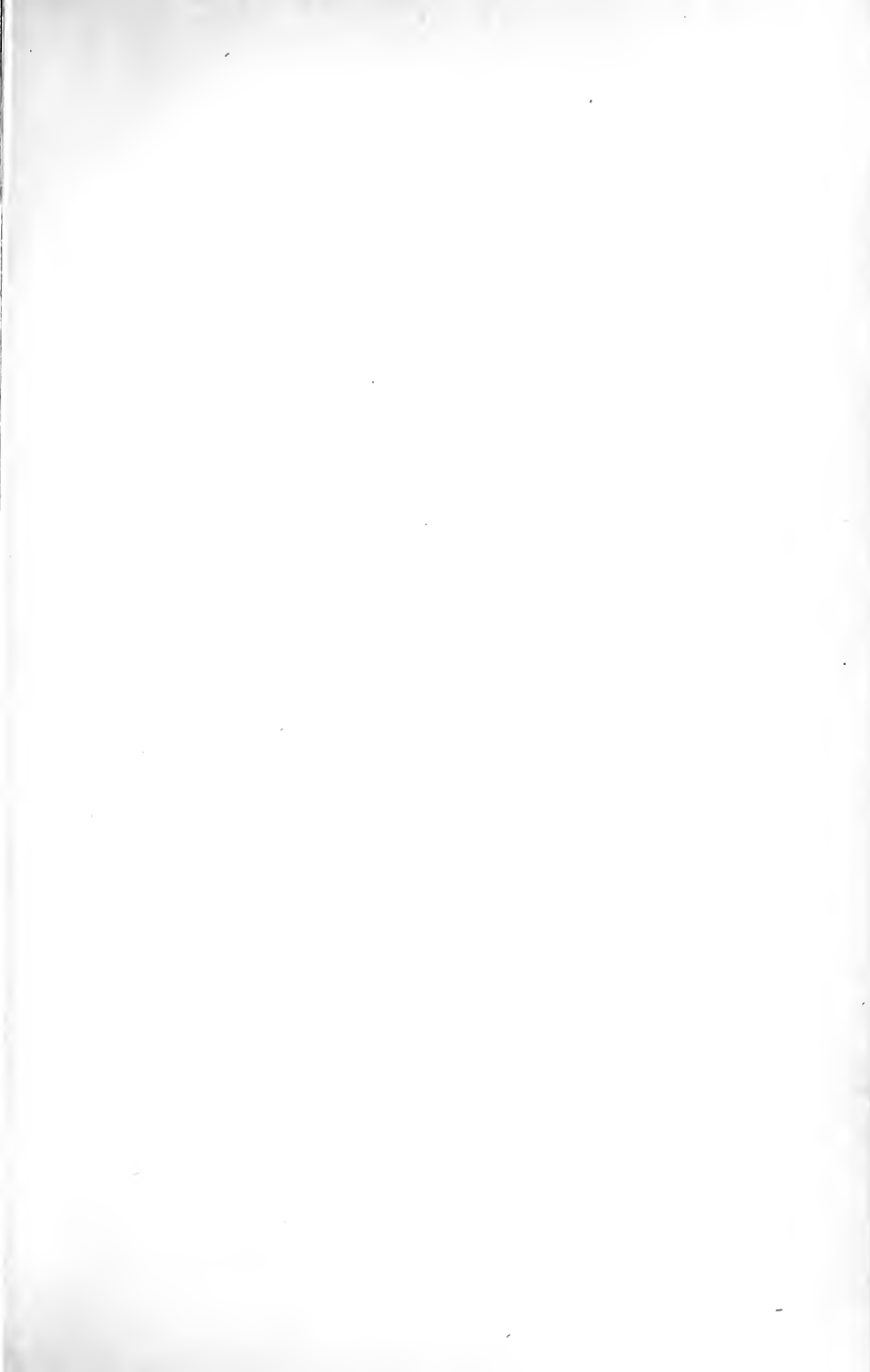
## Erklärung von Tafel CXIX.

---

Fig.

1. Kehlkopf von *Echidna aculeata* von der Ventralseite.  $\frac{2}{1}$  nat. Gr. *Ch* Corpus hyoidei. *Cph* Cornu posterius hyoidei. *A.a.th* Arcus anterior thyroidei. *A.p.th* Arcus posterior thyroidei. *Cric.* Cricoideum.
2. Kehlkopf von *Dasyprocta aguti* von der Ventralseite.  $\frac{2}{1}$  nat. Gr.
3. Kehlkopf von *Rhinolophus luctus* von der Ventralseite.  $\frac{4}{1}$  nat. Gr.
4. Kehlkopf von *Otaria californiana* von der Ventralseite, Fig. 5 von der Dorsalseite.  $\frac{1}{2}$  nat. Gr.
6. Kehlkopf von *Balaena mysticetus* von der Dorsalfläche, Fig. 7 von der Ventralfläche, Fig. 8 Theile desselben von der Lateralfäche; verkleinert. *a* Zungenbein. *h* Epiglottis. *f* vorderes, *g* hinteres Horn des Schildknorpels. *m, n, o* Stellknorpel. *r* Ringknorpel. *s* Innere Fläche des Ringknorpels.

Fig. 1—5 sind Originale, 1 und 2 nach getrockneten, 3—5 nach Spirituspräparaten gezeichnet. Fig. 6—8 nach Eschricht und Reinhardt (553).



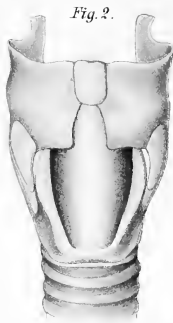


Fig. 2.

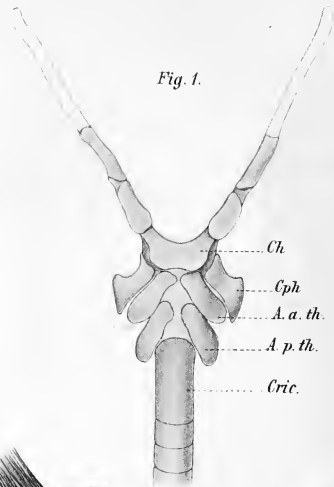


Fig. 1.

Ch

Cph

A. a. th.

A. p. th.

Cric.

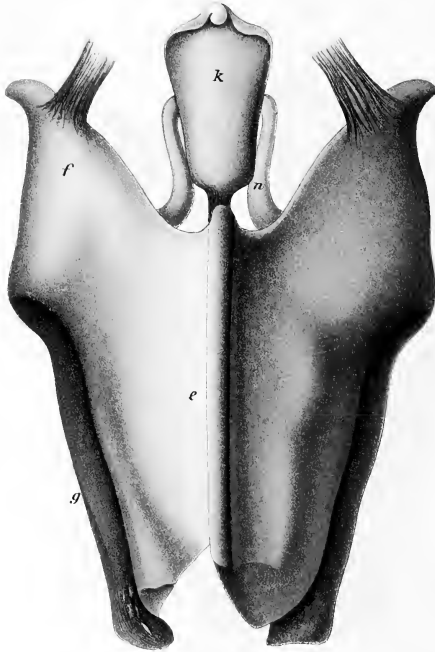


Fig. 7.

f

k

n

e

g



Fig. 8.

k

n

o

a

s

Fig. 3.



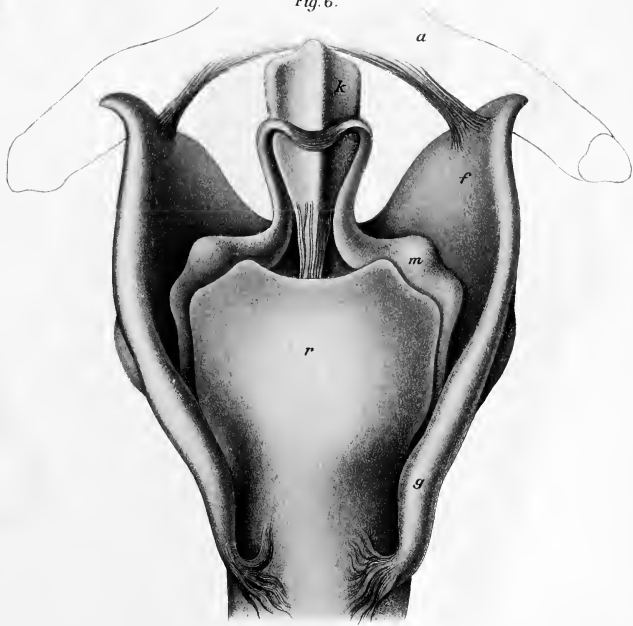
Fig. 4.



Fig. 5.



Fig. 6.





**Erklärung von Tafel CXX.**



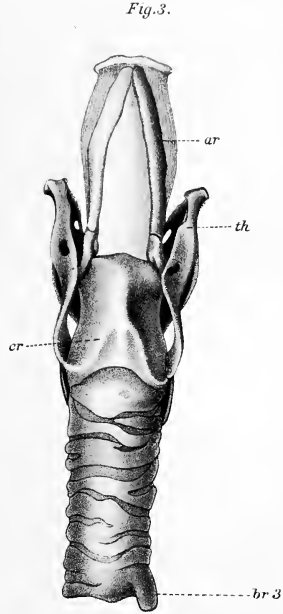
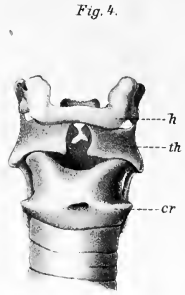
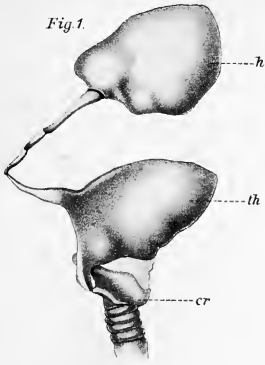
Fig.

1. Seitliche Ansicht eines Kehlkopfes von *Myctes ursinus*; junges Männchen.  
 $\frac{1}{2}$  nat. Gr.
2. Kehlkopf von *Beluga leucas* von der Ventralfläche, Fig. 3 von der Dorsalfläche.  
 $\frac{1}{4}$  nat. Gr.
4. Kehlkopf von *Cervus tarandus* von der Ventralfläche.  $\frac{1}{2}$  nat. Gr.

*ar* Cartilago arytenoidea. *cr* Cartilago cricoidea. *ep* Epiglottisknorpel. *h* Corpus hyoidi.  
*th* Cartilago thyreoidea. *br* 3. Dritter Bronchus.

Alle Figuren sind Originale, 1—3 nach Trocken-, 4 nach Spiritusexemplaren gezeichnet.







**Erklärung von Tafel CXXI.**

---

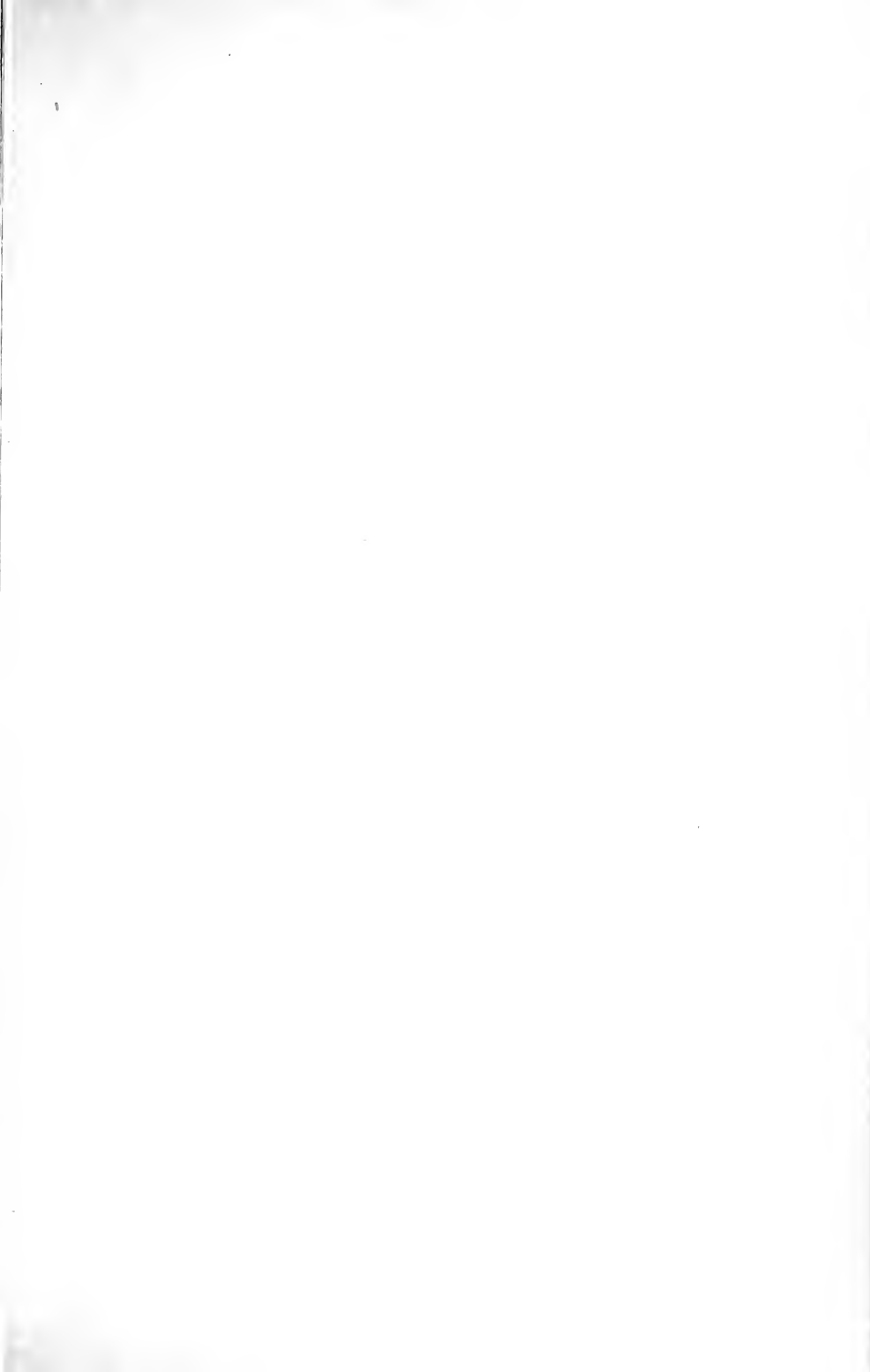
Fig.

1. Situs viscerum eines jungen *Manatus americanus*. *L* Lungen. *D* Diaphragma. *H* Herz. *St* Sternum. *Li* Leber. *Sto* Magensack. *J* Dünndarm. *B* Harnblase. *P* Penis. *Rab* Musculus rectus abdominis. *Be* M. bulbo-cavernosus. *A* Anus. *Spa* M. sphincter ani. *Isa* M. ischio-coccygeus. *Pt* Beckenknochen. *C* und *L* Rete Rete mirabile. *n* äussere Nasenöffnung. *Pmx* Zwischenkieferknochen. *T* Zunge. *la* Larynx. *oe* Oesophagus.
2. Lunge von *Rhinoceros sumatrensis*, Dorsalfläche.  $\frac{1}{6}$  nat. Gr.
3. Lunge von *Hystrix cristata*.  $\frac{2}{3}$  nat. Gr. Ventralansicht.
4. Lunge mit Bronchialbaum von *Lemur mongoz*.  $\frac{1}{1}$  nat. Gr. Ventralansicht.

Erklärung zu Fig. 3—4: *a* Eparterieller Seitenbronchus. *b* Erster hyperarterieller Ventralbronchus. *b'* Herzbronchus. *c* Erster hyperarterieller Dorsalbronchus.

Fig. 2 ist Original, nach einem frischen Präparate gezeichnet. Fig. 1 nach Murie (221).  
Fig. 3 und 4 nach Acby (653).

---



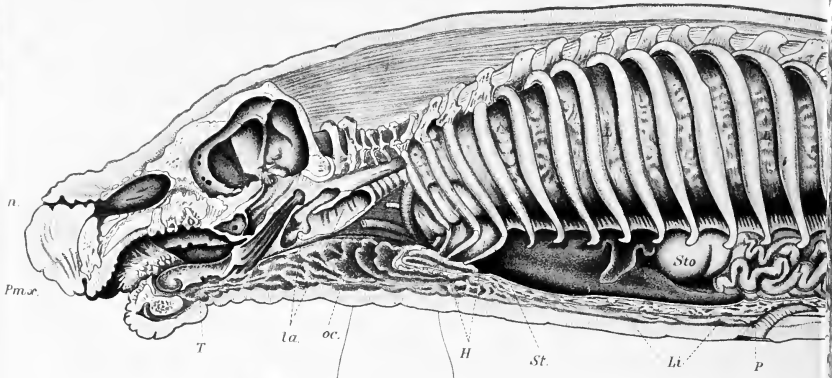


Fig. 4.

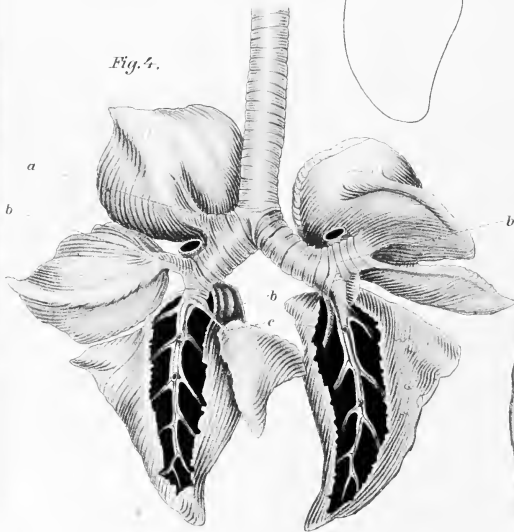
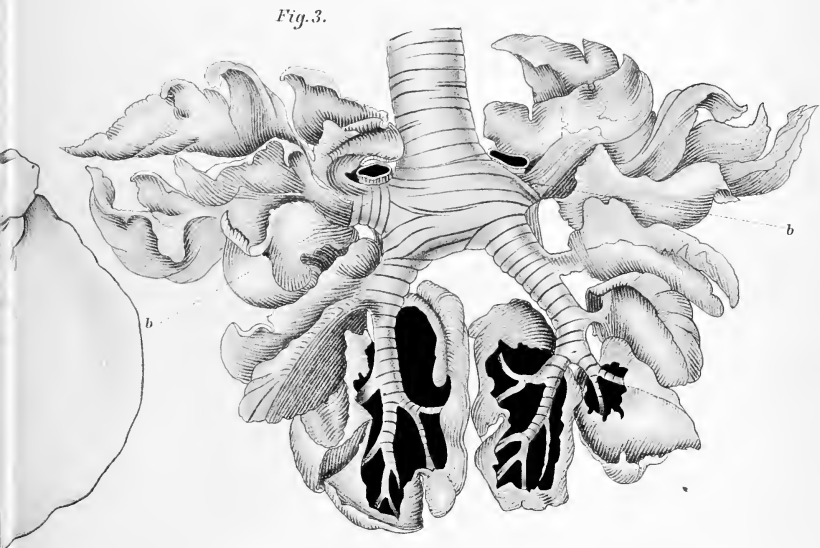
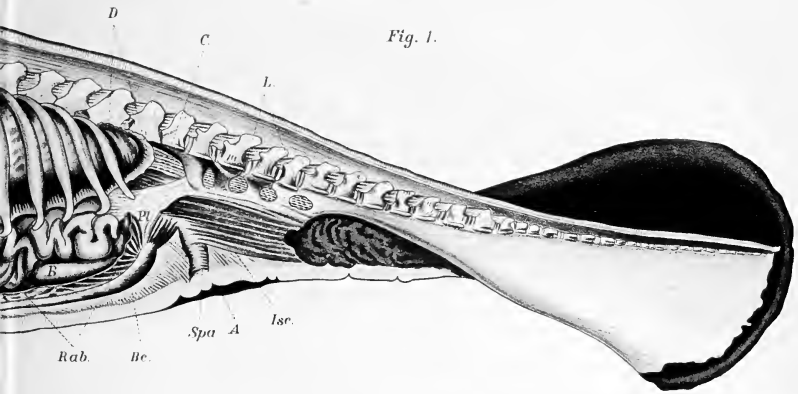


Fig. 2.





200

1999

1024

1













SMITHSONIAN INSTITUTION LIBRARIES



3 9088 00763 5949